

Muxamadiyev Abdivali Shukurovich

# VIDEOGA ISHLOV BERISH



O'ZBEKISTON RESPUBLIKASI  
OLIY TA'LIM, FAN VA INNOVATSİYALAR VAZIRLIGI

O'ZBEKISTON RESPUBLIKASI  
RAQAMLI TEXNOLOGİYALAR VAZIRLIGI

MUHAMMAD AL-XORAZMIY NOMIDAGI  
TOSHKENT AXBOROT TEXNOLOGİYALARI  
UNIVERSITETI

Muxamadiyev Abdivali Shukurovich

# VIDEOGA ISHLOV BERISH

O'zbekiston Respublikasi Oliy ta'lif, fan va innovatsiyalar vazirligi  
tomonidan 70611802 – “Videotexnologiyalar” mutaxassisligi  
magistrleri uchun o'quv qo'llanma sifatida tavsiya etilgan

TOSHKENT  
“METODIST NASHRIYOTI”  
2024

UDK: 621.397.3(075.8)

BBK: 32.94-5ya7

M 93

Muxamadiyev A.Sh.

Videoga ishlov berish. O'quv qo'llanma. – Toshkent: "METODIST NASHRIYOTI", 2024. – 220 b.

Ushbu o'quv qo'llanmada video oqimdag'i tasvirlarni raqamli qayta ishlashning nazariy asoslari keltirilgan. Tasvirming statistik xarakteristikalari, kolorimetrik tizimlar va ranglarni boshqarish, ko'rish tizimi va tasvirlarni qabul qilish, tasvirlarni raqamlashtirish, tasvirlarni chiziqli va nochiziqli qayta ishslash, tasvirlarni geometrik almashtirishlar, morfologik amallar va ulami tadbiqi, tasvirlarni segmentlash, axborotlarni yo'qotishlarsiz va yo'qotishlar bilan tasvirlarni siqish, hajmiy tasvirlar, virtual reallik va uch o'lchovli skannerlash, raqamli video va televidenie kabilalar batafsil ko'rib chiqilgan. Qo'zg'almas tasvirlar va video ketma-ketliklarni qayta ishslash va siqishning an'anaviy usullari bilan birgalikda yangi usullari ham ko'rib chiqilgan.

O'quv qo'llanma 70611802 – "Videotexnologiyalar" mutaxassisligi magistrлari uchun mo'ljallangan. O'quv qo'llanmada keltirilgan materiallardan bakalavr ta'lim yo'naliishi talabalari, magistrlar, o'qituvchilar va barcha qiziquvchular foydalanishlari mumkin.

#### Taqrizchilar:

Ravshanov N.

Raqamli texnologiyalar va sun'iy intellektini rivojlantirish ilmiy tadqiqot instituti direktori maslahatchasi, professori, t.f.d.

Beknazarova S.S.

Muhammad al-Xorazmiy nomidagi TATU, "Audiovizual texnologiyalar" kafedrasи mudiri, t.f.d.

Muhammad Al-Xorazmiy nomidagi Toshkent axborot texnologiyalari universitetining 2023-yil 25-apreldagi 439-sonli buyrug'iiga asosan nashr etishga ruxsat berilgan.

ISBN 978-9910-03-203-5

© Muxamadiyev A.Sh., 2024.

© "METODIST NASHRIYOTI", 2024.

#### KIRISH

Ushbu o'quv qo'llanma muallifning Muhammad al-Xorazmiy nomidagi Toshkent axborot texnologiyalari universitetida o'qilgan ma'ruzalar kursi va muallif tomonidan oxirgi yillarda amalga oshirilgan ilmiy izlanishlar, olib borilgan ilmiy tadqiqot natijalariga asoslanadi.

Ushbu o'quv qo'llanma shu mavzudagi boshqa kitoblardan asosan tarjima qilingan kitoblardan, uchta xususiyatga ko'ra farq qiladi:

□ Materiallarni taqdim qilish axborot oluvchining xususiyatlarini hisobga olgan holda, odatda bu insонning ko'rish tizimi, amalga oshiriladi;

□ Bir kontekstda ham ikki o'lchovli va ham uch o'lchovli tasvirlarni qayta ishslash va namoyish qilish hisobga olinadi;

□ o'quv qo'llanmada, tasvirlarni qayta ishslashning klassik usullari bilan bir qatorda, yangi usullari ham ko'rib chiqilgan.

1920 yilning boshida birinchi marta tasvirlar raqamli shaklda London va Nyu-York o'rtaсидagi suv osti transokean kabeli bo'ylab "Bartley" tizimi vositasida uzatilgan, biroq tasvirlarni raqamli qayta ishslash va uzatish usullarining samarali rivojlanishi o'tgan asrning 60-yillariga to'g'ri keladi. Bunga asosiy sabab, shu vaqtga kelib hisoblash texnikalarining tez suratlarda rivojlanishi va undan foydalanshining samarali usullarining yaratilishidir. Bu yangi texnologiyaning birinchi yaratuvchilari va tadqiqotchilari amaliy matematika, dasturlash va aloqa nazariysi sohasi mutaxassislari bo'lishgan. Agar o'sha vaqtning eng muhim adabiyotlariga, masalan, [17] ga murojaat qilsak, unda masalani taxminan quyidagicha qo'yilganligini ko'rish qeyin bo'lmaydi. Iffi o'zgaruvchining (koordinatalar) tasodifiy funksiyasi sifatida buzilgan tasvir berilgan va uning statistik xarakteristikalari ma'lum. Qayta tiklangan tasvirni buzilgan tasvir buzilmagan holatidan minimal darajada farqlanuvchi holatga olib keladigan almashtirishni topish talab qilinadi. Farqning mezonligi sifatida tasvirlarning piksellaro farqlarining o'rtacha kvadrati qabul qilinadi.

Tadqiqotning boshlang'ich bosqichidagi o'ta sodda yondashuvda ma'lumot oluvchining xususiyatlari hisobga olinmaydi (odatda bu shaxsning ko'rish tizimi), tomoshabin uchun ishlov berilgan tasvirning xususiyatlari, masalan, tasvirning kontur komponentalari xususiyatlari, ya'ni silliqligi, uzlusizligi va h.k. muhim hisoblanmaydi.

Axborot qabul qiluvchining xususiyatlari va tasvir xarakteristikalarining mayjud emasligi nafaqat vizual kuzatish uchun mo'ljallangan tizimlarda, balki avtomatlashtirilgan kuzatish tizimlarida ham optimal algoritmlarni sintez qilish va qayta ishlashga imkon bermaydi, bu esa tasvirlarni qayta ishlashning samarali algoritmlarini yanada rivojlantirish uchun jiddiy qiyinchiliklarni keltirib chiqaradi.

Bunday yondashuvdan farqli ravishda ushbu kitobda aniq xususiyatlari bilan xarakterlanuvchi real semantik tasvirlarga tadbiq qilinadigan materiallar bayon qilingan. Bunda qayta ishlashning maqsadi ko'rish modeli asosida olingan sifat kriteriyasi doirasida tasvirlarni yaxshilash hisoblanadi. Bunday yondashuv tasvirlarni semantik xarakteristikalari, insонning ko'rish tizimi va uning modeli hamda kolorimeriyaning asosiy qoidalarini tasviflashga bag'ishlangan boblarni kiritishni taqoza etdi.

O'quv qo'llanmada shuningdek, tasvirlarni kompyuter xotirasiga kiritishdan boshlab, ularni qayta ishlash va monitor ekraniga yoki bosib chiqarishgacha bo'lgan bir qator masalalar ko'rib chiqilgan. Tasvirlarni raqamlashtirish masalalariga, siqish masalalariga, chiziqli va nochiziqli qayta ishlash, geometrik buzilishlarni to'g'rilash hamda uch o'lchovli tasvirlar masalalariga ham e'tibor qaratilgan.

Qo'llanmada tasvirlarni raqamli, asosan kompyuterli qayta ishlashning nazariy asoslari tizimli ravishda ularning eng mashhur grafik muharrirlarda amaliy qo'llanilishi bilan keltirilgan. Mavzuga bunday yondashish grafik muharrirlarda qo'llaniladigan raqamli tasvirni qayta ishlashning mayjud usullaridan ongli ravishda foydalanishgogina emas, balki yangilarini yaratishga, shuningdek, ushbu sohada malakali mutaxassislarini tayyorlashga imkon beradi. Bundan tashqari, qo'llanmadada uch o'lchamli ob'ektlarni skanerlash orqali 3D tasvirlarni olish usullari, shuningdek ularni qayta ishlash usullari keltirilgan. Ko'rib chiqilayotgan usullarni raqamli video va virtual reallik tizimlarida amaliy qo'llashga katta e'tibor beriladi. Bu, ayniqsa, so'nggi payslarda 3D kino va televideniega qiziqish sezilarli darajoda oshayotgan bugungi kunda juda dolzarbdir.

Va nihoyat, ushbu qo'llanmada tasvirni qayta ishlashning so'nggi payslarda ishlab chiqilgan samarali usullari ham keltirilgan, masalan □ ko'rish tizimining xususiyatlaridan kelib chiqqan holda adaptiv filrlash orqali tasvirdagi qo'shimcha Gauss shovqinini kamaytirish

usullari;

- yorqinlikning katta dinamik diapazoniga ega bo'lgan sahnalarni suratga olish va namoyish qilish usullari;
- Bayer matritsalaridan foydalanishda qo'llaniladigan interpolyatsiya usullari;
- tasvirlar kattalashtirilganda chegaralar zinapoyaligini yo'q qilishga qaratilgan interpolyatsiya usullari,

hamda boshqalar.

O'quv qo'llanma tasvirlarni qayta ishslash sohasida faoliyat yurituvchi mutaxassislar, doktorantlar, magistrlar va bakalavriat ta'lim yo'nalishi talabalari uchun mo'ljallangan.

Mualif ushbu qo'llanmani muhokama qilishda, qo'lyozmani tahrirlashda va nashrga tayyorlashda yordam bergan audiovizual texnologiyalar kafedrasining professor-o'qituvchilariga hamda o'quv qo'llanmani nashr qilishda qo'llab qurvvatlagan Muhammad al-Xorazmiy nomidagi Toshkent axborot texnologiyalari universiteti rahbariyatiga o'z minnatdorligini bildiradi.

## 1-bob Tasvirlar va shovqinlar

### 1.1. Real olam ob'ektlari va ularning xususiyatlari

Ko'rish orqali bizni o'rab turgan olam obrazini qabul qilamiz. Bu olam uch o'lchovli va u uch o'lchovli ob'ektlardan tashkil topgan. Har bir ob'ekt uni o'rab turgan fazodan ajratib turuvchi qobiqqa (sirt) ega. Har bir ob'ektning qobig'i uni aks ettiruvchi xarakteristikalariga, shaffoflik xususiyati va nur qaytarish xususiyatiga ega. Bizni o'rab turgan ob'ektlarni ko'rishimiz va kuzatishimish uchun, agar ular nur taratuvchi bo'lmasalar, ular yoritilgan bo'lishi kerak.

Kuzatish jarayonida qaralayotgan ob'ektdan yorug'lik ko'z pardaga tushadi va u yerda qaralayotgan ob'ektning markaziy proksiyasini ifodalovchi tasviriň shakllantiradi. To'r parda sirti bo'yicha ko'rinvchi nurlanishning barcha spektrleri uchun intensivlik taqsimoti aks ettiruvchi xarakteristikalar, shaffoflik xarakteristikalar va ob'ektlarning sirtlarini nur qaytarish xarakteristikalar, ularning kuzatuv nuqtasiga nisbatan joylashuviga, yoritish manbasining spektral xarakteristikalariga hamda kuzatilayotgan ob'ektga nisbatan yoritish manbalarining holatiga bog'liq holda aniqlanadi.

Kuzatuvchining holati, yoritish manbaining holati va yoritish manbaining spektral xarakteristikalarining o'zgarish chegarasi juda keng, shuning uchun ko'zning to'r pardasiga bitta ob'ektning cheksiz ko'p miqdordagi proeksiyaları mos kelishi mumkin.

To'r pardada shakllanadigan tasvirlarda ob'ektlarning eng turg'un alomatlari ularning konturlari hisoblanadi, chunki konturlar ob'ekt qobig'ining proksiyasini ifodalaydi va bu proeksiyalar yorilish sharoitlariga bog'liq bo'lmaydi. Shuning uchun ham kontur yoki siluet rasmdan tasvirlanayotgan ob'ektni yengil ajratish mumkin bo'ladi [12, 14].

Uch o'lchovli sahnani ko'zatishda ko'rish tizimi bosh miya qobog'iga uning uch o'lchovli ifodasini shakllantiradi. Bu sahnani tashkil qilgan har xil ob'ektlarni manipulyatsiya qilishligimiz, fazoda harakatlanilganda ular bilan to'qnashuv bo'lmasigi, hamda ularni har xil burchaklarda kuzatganda ularni tanib olish uchun zarur bo'ladi [25].

Ta'kidlash lozimki, sahnani tashkil qiluvchi ob'ektlarni hajmiy ko'rinishini ko'rish tizimida shakllantirish uchun binokulyar

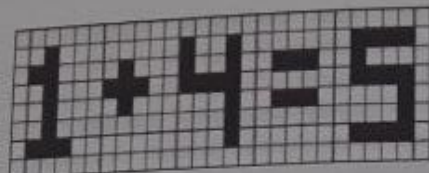
ko'rishning bo'lishi shart bo'lmaydi. Kuzatilayotgan sahanani binokulyar ko'rish imkoniyatiga ega bo'lmanan odamlar, hattoki binokulyar ko'rish imkoniyati bo'lmanan qushlar va jonzotlar ham uch o'lchovli ob'ektlarni hajmiy tasavvurini shakllantirish imkoniyatiga ega. Ko'rish tizimida notanish uch o'lchamli ob'ektning uch o'lchovli tasvirini shakllantirishda u haqidagi yagona ma'lumot manbai ko'zning to'r pardasidagi ularning ikki o'lchovli proeksiyalar bo'lganligi sababli, bu proeksiyalar bilan yonma-yon har xil ko'rish burchagidagi proeksiyalarni ham qo'yish kerak.

Aytigelanlardan kelib chiqadiki, masalan, fotosuratlarda tasvirlangan sahnalarini kuzatishda ko'zning to'r pardasida tasvirlangan bevosita sahnalarini kuzatish natijasida yaratilgan proeksiyalarga o'xshash proeksiyalar yaratiladi, buning natijasida yaratilgan taassurot reallikka yaqin bo'ladi. Ayniqsa tasviriň san'atning rangtasvir, fotografiya, kino kabi turlari bunga asoslanadi.

Agar tomoshabinga kuzatish uchun sahnaning uch o'lchovli tasviri taklif etilsa, voqelevi taassurotlari yanada kuchayadi, chunki bu holda tomoshabinda uni hayotdagisi kabi turli xil ko'rish burchaklaridan ko'rish imkoniyati paydo bo'ladi. Hozirda rivojlanayotgan yangi texnologiyalar – virtual reallik texnologiyalar asosida uch o'lchamli tasvirlar yotadi.

### 1.2. Saxna va uni tashkil qilgan ob'ektlar tasvirlarining ikki o'lchovli rastr modellari

Kompyuter grafikasida ikki o'lchovli tasvirlarning rastrli va vektorli modellaridan foydalaniladi [16]. Rastr modeli asosida *rastr* – piksellar matritsasi yotadi. Tasviriň misol sifatida, 1.1-rasmida, chiziqli o'lchamlari ikkala yo'nalishda ham bir xil bo'lgan piksellarning ortogonal joylashuviga ega rastr tasvirining fragmentini ko'rsatadi. Ortogonal pikseli rastrdan tashqari, boshqa rastrlar ham qo'llanilishi mumkin, masalan, piksellarning shaxmat joylashuvili rasterlar, piksellarning diagonal joylashuvili rastr, lekin ular kamdan-kam hollarda bo'ladi [2,22].



1.1-rasm. Rastrli tasvir

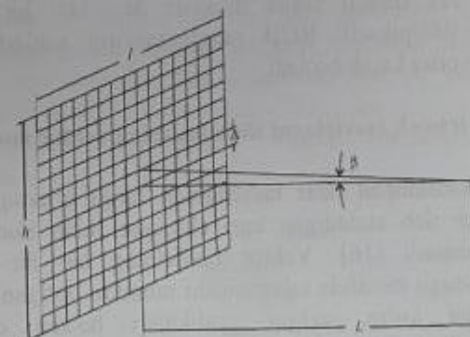
Rastr tasvir o'chamlari ("razresheniya"si) bilan tavsiflanadi, bu uzunlik birligiga to'g'ri keladigan piksellar sonidir. Uzunlik birligiga qancha piksel ko'p bo'lsa, o'cham shunchalik yuqori bo'ladi va tasvirda mayda detallarni ham qayd etish mumkin bo'ladi. Tasvirni kompyuterda qayta ishlash uchun uni raqamli shaklda taqdim etiladi. Kulrang oq-qora rangda, ya'ni rangli bo'lmagan tasvir holatida bu har bir pikselning intensivligi (yorqinligi) odatda 0 dan 255 gacha bo'lgan oraliqdagi son bilan ifodalanishini anglatadi. Boshqacha qilib aytganda, kulrang oq-qora rangli tasvir odatda 8 bitli ikkilik raqamlardan iborat bo'lgan ikki o'chovli matritsa ko'rinishida taqdim etiladi. Rangli tasvirni raqamli shaklda taqdim qilish uchun har biri odatda 8 bitli (ayrim hollarda 16 bitli) ikkilik raqamlardan iborat uchta matritsadan foydalilanigan. Shu bilan birga, ushbu matritsalarning har birining elementlari pikselning qizil, yashil va ko'k rangli komponentlarining intensivligini ifodalaydi, chunki rastrdagagi har bir pikselning rangi, rassomning palitrasidagi kabi, qizil, yashil va ko'k ranglarni aralashtirish orqali sintezlanadi.

Tasvir o'chamini tanlashda, tasvir tomoshabinga uzuksiz ko'rindi, ya'ni tomoshabin tasvirda rastr tuzilmasini ko'rmaydi deb taxmin qilinadi. Shu maqsadda tasvirdagi uzunlik birligi uchun piksellar soni ko'rish keskinligi (ravshanligi) asosida tanlanadi. Ma'lumki, orasidagi burchak masofasi bir yoy daqiqasidan kam bo'lgan ikkita ob'ektni kuzatishda ular bitta ob'ektga birlashadilar. Bundan kelib chiqadiki, rastr strukturasining ko'rinasligi uchun uni tashkil etuvchi piksellar orasidagi burchak masofasi  $\beta$  bir yoy minutidan kam yoki hech bo'lmagan hollarda unga teng bo'lishi kerak. Raster ko'rsatilgan 1.2-rasmda yuqoridagilar tushuntirilgan.

$\beta$  burchak kuzatish masofasiga bog'liq bo'lganligi uchun piksellar markazlari orasidagi chiziqli masofa  $\Delta$ (tasvirni fazoviy diskretlash

qadami) ham bu burchakka bog'liq bo'ladi. Ma'lum geometrik munosabatni yozib  $\Delta/L = \lg \beta$ , quyidagi munosabatga ega bo'lamiz  $\Delta = L \lg \beta$ , bunda  $N$  rastrni tashkil qilgan umumiyl piksellar soni bo'lib,  $N = hL/\Delta^2$  ga teng bo'ladi,  $\Delta$ ning qiymati qo'yilgandan so'ng,  $N = hL/(L \lg \beta)^2$  bo'ladi. Bir minutda  $\lg$  ning qiymati  $2,909 \cdot 10^{-4}$  ekanligini hisobga olib quyidagini olamiz

$$N = \frac{11817146h}{L^2} \quad (1.1)$$



1.2-rasm. Tinqlikni aniqlash

Tasvirda qatorlar soni  $z$  esa quyidagiga teng bo'ladi

$$z = \frac{3437h}{L^2}$$

(1.1) ifodadan kelib chiqadiki, tasvir rastrini tashkil etuvchi piksellarning minimal talab qilinadigan soni nafaqat uning o'chami, balki ko'p darajada tasvirni kuzatish shartlari, ya'ni kuzatuv olib boriladigan masofa bilan ham belgilanadi. Televideniyada kuzatish masofasi  $L \approx (5..6)h$  ga teng deb qabul qilinadi. Televizion standartga ko'ra tasvir kengligining uning balandligiga nisbati  $h/h$  ni  $4/3$  ga yaqin olinganligini hisobga olsak, yuqoridagi hisob-kitoblarga muvofiq televizor tasviridagi chiziqlar soni  $z \approx 574.689$  bo'lishi kerak, bu

standart [19] bo'yicha qabul qilingan 625 qiymatiga yaqin. Kompyuter displaylariga nisbatan ham muammo xuddi shunday tarzda hal qilinadi, ammoye monitor ekranidagi tasvirni kuzatishning o'ziga xos xususiyatlari hisobga olinadi.

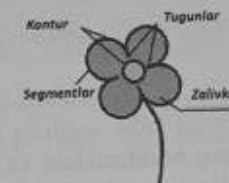
Rasmdagi rastr elementlarning soni yorqinlikni ifodalaydigan (rangli tasvirda qizil, yashil va ko'k ranglarning intensivligini ifodalaydigan) ikkilik kodning bit chuqurligi bilan bir qatorda tasvirni saqlash uchun talab qilinadigan xotira hajmini aniqlaydi. Oq-qora rangli (kulrang rang) yarim tonli tasvir bo'lsa, xotiraning kerakli miqdori  $M = 8N$  bit, RGB (True Color) rejimidan foydalanan rangli tasvirda esa kerakli xotira miqdori  $M = 24N$  bit bo'ladi. Masalan,  $1000 \times 1000$  piksellli RGB rangli tasvirni saqlash uchun taxminan 3 MB xotira kerak bo'ladi.

### 1.3. Ikki o'chovli tasvirlarni ifodalashning vektor modeli

Piksellarga asoslangan rastr tasvirlardan farqli o'laroq, vektor tasvirlar *vektorlar* deb ataladigan egri chiziqlar bilan ifodalangan konturlarga asoslanadi [16]. Vektor tasvirining har bir konturi boshqalardan mustaqil ravishda tahrirlanishi mumkin bo'lgan alohida ob'ektidir. Shunga ko'ra, vektor grafikalari ba'zan ob'ektga yo'naltirilgan grafikalari deb ham ataladi. Vektorli tasvir fayllari konturlarni qurish uchun ishlatiladigan formulalarga asoslangan ko'rsatmalar to'plamini o'z ichiga oladi. Konturlarning shakli ushbu ko'rsatmalar bilan o'matilganligi sababli, vektor tasvirini namoyish qilishning aniqligi, uning ravshanligi faqat namoyish qiluvchi qurilmaning (printer, display ekrani va boshqalar) o'lchamlari bilan belgilanadi. Shu sababli vektor tasvirni sifatni yo'qotmasdan cheksiz kattalashtirish mumkin, rastrli tasvirlarda esa jiddiy muammolarga duch kelamiz. Vektorli tasvirlarning yana bir afzalligi - ulami saqlashning ixchamligi. Darhaqiqat, to'g'ri chiziq kesmasining tasvirini vektor formatida saqlash uchun uning boshi va oxirini belgilovchi koordinatalarni, shuningdek rang va qalinlik ma'lumotlarini saqlash kerak. Buning uchun esa faqat bir necha bayt talab qilinadi. Xuddi shu kesmaning tasvirini rastr rejimida saqlash uchun juda katta hajmdagi ma'lumotlar talab qilinadi, chunki segmentni tashkil etuvchi ko'plab piksellarning har birining rangini saqlash kerak bo'ladi. Bundan kelib chiqadiki, vektor formati odatda rastr formatiga qaraganda ixchamroq

bo'ladi, garchi murakkab chizmalarda vektor tasvirining bayt hajmi rastr formatidagi xuddi shunday chizmalarning bayt hajmidan oshib ketishi mumkin. Vektorli tasvirni rastr formatiga osongina eksport qilish mumkin, lekin aksincha emas. Biroq vektorli grafikalarni yarim tonli rangli tasvirlarni, masalan, fotosuratlarni saqlash uchun yaroqli emas.

Vektorli tasvir ob'ektlardan tashkil topgan. Har bir ob'ekt bir yoki bir nechta konturdan iborat. Konturlar yopiq yoki ochiq bo'lishi mumkin, ya'ni yopiq emas. Yopiq konturga aylana, ochiq konturga misol qilib chiziq bo'lagi misol bo'la oladi. Yopiq konturlar quyma (zalivka) bilan to'ldirilishi mumkin. O'z navbatida, har bir kontur, murakkabligiga qarab, tugunlar (tayanch nuqtalari) bilan tugaydigan tekis yoki egri chiziqlar segmentlari bo'lgan bir yoki bir nechta segmentlardan iborat bo'lishi mumkin. Tugunlar konturda segmentning holatini aniqlaydi. 1.3-rasmda vektor tasvirning elementlari ko'rsatilgan.



1.3-rasm. Ikki o'chovli tasvirlarning taqdirm qilishning vektor modeli

Vektorli grafikaning matematik asoslarini qisqacha ko'rib chiqaylik. Vektorli grafikada nuqtaga tugun mos keladi.

Vektor grafikasida to'g'ri chiziq kesmasini ifodalash uchun quyidagi tenglamadan foydalilanadi

$$y = ax + b,$$

bu yerda  $x$  va  $y$ -dekart koordinatalar,  $a$  va  $b$  – o'zgarmas sonlar. Bulardan tashqari kesmaning boshi va oxiri  $x_0$  va  $x_1$  bilan beriladi.

Ikkinchisi tartibli egri chiziqlar – aylana, ellips, parabola va giperbolalarni ifodalash uchun ikkinchi tartibli egri chiziq

tenglamasidan foydalaniadi

$$x^2 + a_1y^2 + a_2xy + a_3x + a_4y + a_5 = 0,$$

bu yerda  $a_1, a_2, a_3, a_4, a_5$ lar o'zgarmas koefitsientlar. Segment chiziqning qismini ifodalaydi, bu holda egri chiziqning qismini, shuning uchun uning boshlanishini va oxirini aniqlovchi koordinatalarni berish zarur bo'ladi, misol uchun  $x_1$  va  $x_2$ . Vektor grafikasidagi bu egri chiziqlar asosiy primitiv elementlarni, xususan, ellips va aylanalarni qurish uchun ishlataladi. Ushbu egri chiziqlarning o'ziga xos xususiyati shundaki, ularda burilish nuqtalari yo'q.

Ikkinci tartibli egri chiziqlardan farqli o'laroq, uchinchi tartibli egri chiziqlar burilish nuqtalariga ega bo'lishi mumkin, bu esa ulardan turli xil tabiiy ob'ektlarni vektor shaklida tasvirlash uchun foydalinish imkonini beradi. Uchinchi tartibli egri chiziqlarni ifodalash uchun ishlataladigan tenglama quyidagi ko'rinishga ega

$$x^3 + a_1y^3 + a_2x^2y + a_3xy^2 + a_4x^2 + a_5y^2 + a_6xy + a_7x + a_8y + a_9 = 0,$$

bu yerda  $a_1, a_2, a_3, a_4, a_5, a_6, a_7, a_8, a_9$ lar o'zgarmas koefitsientlar. Yuqorida bo'lgani kabi, segment chiziqning qismini ifodalaydi, shuning uchun uning boshlanishini va oxirini aniqlovchi koordinatalarni berish zarur bo'ladi, misol uchun  $x_1$  va  $x_2$ .

Uchinchi tartibli Bezer egri chiziqlari vektor grafikasida keng qo'llaniladi. Ushbu egri chiziqlarning o'ziga xos xususiyati shundaki, ular nafaqat tasvir tekisligidagi tugunlarning holatini, balki bu nuqtalarda chiziqning birinchi hosilasi (qiyalik burchagi) va uning ikkinchi hosilasi (egrilik) qiymatlarini ham qulay boshqarishga imkon beradi. Bu, xususan, ulanish nuqtalarida hech qanday sinishlarsiz alovida segmentlarni ularsh va shu bilan Bezer egri chiziqlari segmentlari bilan har qanday murakkablikdagi konturlarni approksimatsiyalash imkonini beradi.

#### 1.4. Tasvirning ko'rinishlari

Statcionar axromatik tasvir - bu tekislikda  $L$  yorqinligi taqsimotini tasviflovchi funksiya, ya'ni  $L(x, y)$ , bu yerda  $x, y$  dekart koordinatalari.

Axromatik harakatlanuvchi tasvirni ifodalash uchun bu yozilgan ifodaga yana bitta mustaqil o'zgaruvchi – vaqt  $t$  qo'shiladi va ifoda  $L_c(x, y, t)$  ko'rinishini oladi. Tabiiy sahnalarning biror bir sirtga, masalan, televizor signallar datchigining yorug'likka sezgir yuzasiga optik proeksiyasi natijasida olingan rangli tasvirlari mustaqil o'zgaruvchilari tarkibida yorug'lik nurlanishining to'lqin uzunligi  $\lambda$  ham qatnashadi. Bunda rangli harakatsiz tasvir uchun  $L_c(x, y, \lambda)$  va harakatlanuvchi tasvir uchun esa  $L_c(x, y, \lambda, t)$  ga ega bo'lamiz, bunda  $L_c$  ni  $x, y$  koordinatali nuqtada, vaqttagi  $\lambda$  to'lqin uzunligidagi nurlanish intensivligi sifatida qabul qilinishi kerak. Xuddi shunday, yana bitta fazoviy  $z$  koordinatasini qo'shish orqali "hajmli" tasvirlarning tavsifiga o'tish mumkin.

Biroq, tasvirlarni uzatish, saqlash va namoyish qilishning zamonaviy texnikasi ularning bir qator komponentlar shaklida taqdim etilishiga asoslanadi. Masalan, televizor ekranida yoki kompyuter monitori ekranida ko'rsatish uchun mo'ljallangan rangli tasvir 3 ta rangdan ajratilgan tasvir sifatida taqdim etiladi: qizil, yashil va ko'k. Chop etishda esa tasvirdagi ranglarni ajratish soni ko'p bo'lishi mumkin. Xuddi shunday, harakatlanuvchi tasvirlar bilan ham o'xshash holat bo'ladi, ya'ni ular, harakatsiz, tezda bir-birini almashtiruvchi tasvirlar ketma-ketligi bilan ifodalanadi, ularning har biri tegishli harakat bosqichiga ega. Ushbu tasvirlarning tez o'zgarishi harakat illyuziyasini yaratadi.

Umuman olganda, haqiqiy rangli harakatlanuvchi tasvirlarni aks ettiruvchi harakatsiz ranglar bilan ajratilgan tasvirlar ketma-ketligi bitta ajoyib xususiyatga ega - ularning barchasi juda o'xshash xususiyatlar bilan tavsiflanadi. Bu xususiyat kelajakda harakatsiz axromatik tasvirlarni qayta ishlash xususiyatlari va usullarini ko'rib chiqishga, olingan natjalarni rangli tasvirlarga kengaytirishga va faqat zarur hollarda ushbu doiradan tashqariga chiqishga imkon beradi.

Ta'kidlash kerakki, tasvirlarni odatda ikkita sinfiga bo'lishga kelishilgan: semantik, ya'ni ma'noviy va tekstura. Ushbu tasvirlarning misollari mos ravishda 1.4 va 1.5 rasmlarda keltirilgan.



1.4-rasm. Semantik tasvir misoli



1.5-rasm. Tekstura tasviri misoli

Uzoq evolyutsiya jarayonida insonning ko'rish tizimi ko'z qorachig'i tomonidan ko'z to'r pardasiga proeksiyalangan yorqinlikning ixtiyoriylik bilan taqsimlanishini emas, balki faqat tashqi olam ob'ektlari tomonidan yaratilganlarni aniqlash, tanib olish va tasniflash uchun moslashdi. 1.5, a rasmida keltirilgan shovqin maydoni sonida 1.5, b rasmida ko'rsatilgan shovqin naqshini ("shovqin ob'ekti") aniqlashgi harakat qilsak, buni osongina ko'rish mumkin. Bu muammo har ikkala tasviri elementlararo solishtirish orqali qiyinchilik bilan hal qilinadi, holbuki, 1.4 rasmida har qanday ob'ekt osongina va tez topiladi.

Ko'rishning qayd etilgan xususiyati tabiatda kamuflyaj maqsadlarida keng qo'llaniladi. Shunday qilib, masalan, yo'lbarsning terisidagi tartibsiz shakldagi chiziqlar chakalakzorlarda ularni farqlashni qiyinlashtiradi.

Haqiqiy ob'ektlar tasvirlarining xarakterli xususiyati shundaki, ular ma'lum miqdordagi keskin yorug'lik chegaralari bilan ajratilgan maydonlardan iborat bo'lib, ular ichida yorqinligi va rangi nisbatan sekin o'zgaradi. Bu yorug'lik chegaralari (konturlari) ob'ektning shaklini bildiradi va uni aniqlash uchun asos bo'ladi. Tajribadan ma'lumki, konturlardagi ma'lumotlar, odatda ob'ektni shubhasiz tanib olish uchun yetarli bo'ladi. Shunday qilib, masalan, kontur chizmasidan tanish odamning yuzini osongina taniy olamiz.

Fure integral almashtirishi natijasida olingan real ob'ektlar tasvirlarining tuzilishi va ularning fazoviy spektrlari o'rtasidagi bog'liqlikni topamiz. Shu maqsadda  $\alpha$  oqiga perpendikulyar yo'naltirilgan, yorug'lik chegarasining keskinligi bo'yicha uchta har xil spektrlarini ko'rib chiqamiz. Bu holda tasvirlarning yorqinligi  $y$  koordinataga bog'liq emasligi sababli, muammoni uni bir o'lchovliga keltirish orqali juda soddalashtirish mumkin. 1.6-rasmida  $\alpha$  koordinatasidagi chegaradagi yorqinlikning o'zgarishining uch xil bog'liqligi ko'rsatildi, ular quyidagi ifodalar bilan tavslanadi

$$L_1(x) = \begin{cases} 0 & \text{axap } x \leq x_0 \\ L & \text{axapda } x > x_0 \end{cases}$$

$$L_2(x) = \begin{cases} \frac{L}{2} - \frac{L}{2} \exp[\alpha(x - x_0)] & \text{axap } x \leq x_0 \\ \frac{L}{2} + \frac{L}{2} \exp[-\alpha(x - x_0)] & \text{axapda } x > x_0 \end{cases}$$

$$L_3(x) = \begin{cases} \frac{L}{2} \exp[\alpha(x - x_0)] & \text{axap } x \leq x_0 \\ L - \frac{L}{2} \exp[-\alpha(x - x_0)] & \text{axapda } x > x_0 \end{cases}$$

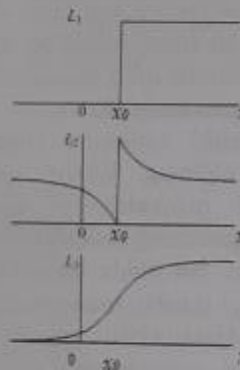
$L(x, y)$  funksiya spektrlarini aniqlab, almashtirishlar natijasida quyidagilarni olamiz

$$M_s(\omega_s) = (L/\omega_s) \exp[-i(\pi/2 + \omega_s x_0)],$$

$$M_{\pm}(\omega_s) = L\pi\delta(\omega_s) + \left[ (L\omega_s)/(\alpha^2 + \omega_s^2) \right] \exp[-i(\pi/2 + \omega_s x_0)],$$

$$M_{\pm}(\omega_s) = \left[ (L\alpha^2)/[\omega_s(\alpha^2 + \omega_s^2)] \right] \exp[-i(\pi/2 + \omega_s x_0)],$$

bu yerda  $\omega_s$  - aylanma fazoviy chastota,  $i = \sqrt{-1}$ .

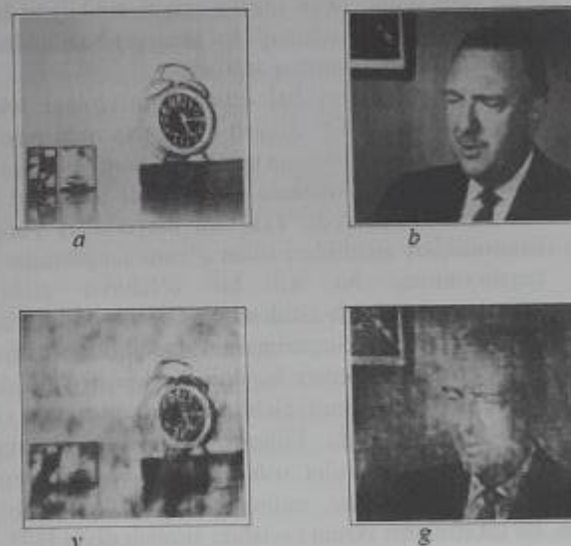


1.6-rasm. Yorug'lik chegaralarda yorqinlik taqsimotiga misollar

E'tiborni tortadigan birinchi narsa - barcha uchta chegara uchun ham faza spektrlarining aynan o'xshashligidir. Yorug'lik chegarasining mavjudligi va joylashuvi haqidagi ma'lumotlar faza spektrida mavjudligini ko'rish mumkin. Amplituda spektri chegaraning joylashuvi haqida ma'lumotni o'z ichiga olmaydi, lekin u tasvirning aniqligi haqida ma'umotni o'z ichiga oladi [10]. Tasvirlar bilan ishlash tajribasidan ma'lumki, tasvir sezilarli chiziqli va chiziqli bo'limgan buzilishlarga duchor bo'lishi mumkin, ammo agar fazalar spektrining buzilishlari kichik bo'lsa, ular mavjud yorug'lik chegaralarini yo'qolishiga yoki yangi yorug'lik chegaralarining paydo bo'lishiga olib kelmaydi va tasvir osongina tanib olinadi. Bunday buzilishlarga tasvir aniqligini yo'qotishga olib keluvchi integrallash, tasvir chegarasini ajratib ko'rsatishga olib keluvchi  $u = f(v)$  ko'rinishli elementlararo almashtirish (bu yerda  $f(v)$  - monoton funksiya) kabilar kiradi. Agar

tasvirni almashtirish natijasida uning faza spektri sezilarli darajada buzilgan bo'lsa, unda tasvirlangan ob'ektni tanib olish yo'qolishi mumkin.

Buning yaqqol misoli - katta dispersiyaga ega bo'lgan fluktuatsion shovqini ta'sirida tasvirni farqlashning yo'qolishini keltirish mumkin. Bunday ta'sir natijasida shovqinli amalga oshirishning chastota komponentlari fazasini taqsimlanish ehtimolining zichligi  $[0..2\pi]$  oralig'ida bir xilga yaqinlashadi, bu esa tasvirdagi yorug'lik chegaralarining to'liq xiralashishiga olib keladi.



1.7-rasm. Berilgan (a), (b) va sintezlangan (c), (d) tasvirlar.

Yuqorida mulohazalarning eng ishonchli dalili bu "chalkash" amplituda va faza spektrlari bo'yicha tasvirlarni qayta tiklash tajribasidir [15]. Tajriba shundan iborat ediki, rasmida ko'rsatilgan 1.7-rasm, a va b tasvirlar uchun, amplituda va faza spektrlari topildi, ularga ko'ra yangi spektrlar quyidagicha tuzildi:

$$M_s(\omega_s, \omega_v) = |M_s(\omega_s, \omega_v)| \exp[-i\varphi_s(\omega_s, \omega_v)],$$

$$M_r(\omega_x, \omega_y) = |M_s(\omega_x, \omega_y)| \exp[-i\phi_s(\omega_x, \omega_y)],$$

shundan so'ng  $M_s(\omega_x, \omega_y)$  va  $M_r(\omega_x, \omega_y)$  spektrlar bo'yicha 1.7-rasm,  $\nu$  va  $g$  lardagi tasvirlar sintezlandi. Rasmidan ko'rinish turibdiki, amplitudali spektrlarni almashtirish ("chalkashlik") faqat tasvirlarda ularning farqlanishini yo'qotmag'an holda biroz shovqinga olib keldi.

Yuqorida aytilganlarga asoslanib, shunday xulosaga kelish mumkinki, tasvirlarni uzatish va saqlash jarayonida fazalar spektrini uzatishning aniqligiga alohida e'tibor berilishi kerak. Televideniyada bu xulosaga ancha vaqt oldin, faqat tajriba orqali erishilgan bo'lib, amplituda-chastota va amplituda (chiziqli bo'lman) buzilishlar faza chastotasiga qaraganda tasvirda kamroq seziladi.

Bir qator amaliy masalalarni hal qilishda tasvirdagi tekstura maydonlari orasidagi farqni ko'rib chiqish kerak. So'nggi paytlarda Yermi masofadan zondlash orqali olingen tasvirlarni tahlil qilishga katta e'tibor qaratilmoqda, bu yerda tekstura maydonlari orasidagi farqi masalasi yetakchi o'rinni egallaydi. Tekstura maydonlari yorqinlik taqsimotining ehtimolliklari zichliklari bilan o'zarlo farqlansalar yoki ehtimolliklar taqsimotining bir xil bir o'lchovli zichligida avtokorrelyatsiya funksiyalarida har xillik mavjud bo'lsa inson tekstura maydonlarini farqlay olishligi eksperimental tadqiqotlar natijasida aniqlangan. Agar tekstura maydonlari faqatgina uchinchi yoki undan yuqori darajadagi ehtimollik taqsimoti zichligida farq qilsa, ular vizual ravishda farqlanmaydi. Bu qoida Yulesh gipotezasi deb ataladi. Keyinchalik, bir qator tadqiqotchilar ushbu gipotezaga zid bo'lgan teksturalarning misollarini topdilar, ammo tadqiqotchilarning o'zlarini ta'kidlaganidek, bu tekstralarni vizual ravishda ajratish qiyin [17].

### 1.5. Tasvir modellari

Raqamli tasvirmi qayta ishlash nazariyasida hal qilinayotgan muammoga qarab turli xil tasvir modellari qo'llaniladi. Tasvir modeli deganda, ko'rib chiqilayotgan tasvirlar sinfi approksimatsiyalanadigan teklislikdagi yorqinlikning taqsimlanishini taysiflovchi xususiyatlar to'plami tushuniladi. Model real tasvirlarga yetarlichha yaqinlikni qarama-qarshi talablariga javob berishi va nazariy tahlilning soddaligi bo'lishi kerak. Modelni tanlashda undan foydalanishda olinadigan

natijalarning umumiyligi darajasi ham muhim ahamiyatga ega. Talablarning qaysi biri muhimroq bo'lishiga qarab, turli darajadagi murakkablikdagi u yoki bu tasvir modeli qo'llaniladi. Misol sifatida tasvimi chiziqli bo'lman qayta ishlash algoritmlarini sintez qilishda ishlataladigan modellardan birini taqdim etamiz:

$$L_c(x, y) = kE(x, y)r_c(x, y),$$

bu yerda  $r_c(x, y)$  -  $(x, y)$  koordinatali tasvir signalini datchikning yorug'likka sezgir sirtiga proeksiyasiga mos keluvchi sahnaning har xil qismlarining aks ettirish koefitsientlari;  $E(x, y)$  - sahnaning har xil qismlarining yoritilganligi;  $k$  - o'lchamni kelishish koefitsienti.  $r_c(x, y)$  va  $E(x, y)$  funksiyalarning muhim xossalari quyidagilar hisoblanadi. Akslantirish koefitsienti  $r_c(x, y)$  - bu funksiya konturda yuzaga keluvchi keskin o'zgarishlar mavjudligini xarakterlaydi, bu vaqtida  $E(x, y)$  asosan  $(x, y)$  koordinataning juda sekin o'zgaruvchi funksiyasi hisoblanadi. Shu tufayli  $r_c(x, y)$  spekt keng polosali,  $E(x, y)$  funksiya spektri esa tor polosali hisoblanadi, hamda tasvir sifatini yaxshilash maqsadida uni gomomorf filplashda ishlataladi.  $r_c(x, y)$  va  $E(x, y)$  funksiyalarning boshqa muhim xususiyati ularning musbatligi hisoblanadi, bu esa  $L_c(x, y)$  ning musbatligini ta'minlaydi.  $L_c(x, y)$  ning musbatlik xususiyati qayta ishlashning mumkin bo'lgan algoritmlarini tanlashga katta cheklov yuklaydi, chunki qayta ishlash natijasi - qayta ishlangan tasvir - musbat funksiya bo'lishi shart, sababi, yorqinlikning manfiy qiymatini fizik amalga oshirib bo'lmaydi. Keyinchalik tasvirlarning boshqa modellari bilan ham tanishamiz.

Tasvirning yaxshi modeli tasviri qayta ishlashning samarali algoritmlarini sintez qilish uchun ishonchli asosdir va aksincha, yomon modellar ko'pincha bunday algoritmlarni ishlab chiqishda muvaffaqiyatsizlikka sabab bo'lgan.

### 1.6. Tasvirlarning fazoviy spektrlari

Tasvir chiziqli buzilishlarini tahlil qilishda, shuningdek, reproduksiyadagi ob'ektlar tasvirlarini aniqlash va tanib olish bilan bog'liq muammolarni hal qilishda tasvir spektrlari tushunchasi va "eng

"yaxshi" qoplashda ularning juftlik ayirmalarini ishlatish juda foydali. Tasvirlami "eng yaxshi qoplash" deganda shunday qoplash tushiniladiki, ularning nuqtalar bo'ylab ayirmasi kvadrati  $|L_i(x, y, i) - L_j(x, y, j)|^2$  minimumga erishadi, bu yerda  $L_i(x, y, i)$ ,  $L_j(x, y, j)$ lar va tasvirlardagi yorqinliklar taqsimoti [8].

Ta'rif bo'yicha, inchi tasvirning spektri tasvirda yorqinlik taqsimoti bilan bog'langan  $L_i(x, y, i)$ . Fure almashtirishlari juftligi kompleks funksiyasi ko'rinishida ifodalanadi:

$$M_i(\omega_x, \omega_y, j) = \int_{-\infty}^{\infty} \int_{-\infty}^{\infty} L_i(x, y, j) \exp[-i(\omega_x x + \omega_y y)] dx dy, \quad (1.2)$$

$$L_i(x, y, j) = \frac{1}{4\pi^2} \int_{-\infty}^{\infty} \int_{-\infty}^{\infty} M_i(\omega_x, \omega_y, j) \exp[i(\omega_x x + \omega_y y)] d\omega_x d\omega_y, \quad (1.3)$$

bu yerda  $i = \sqrt{-1}$ ,  $\omega_x$  va  $\omega_y$  - x va y o'qlar yo'nalishida spektrlarning aylanma fazoviy chastotalari.

Xuddi shunday, "eng yaxshi" qoplashda ( $i$ - va  $j$ -) ikki tasvirning spektr ayirmasini aniqlaymiz:

$$M_i(\omega_x, \omega_y, j, i) = \int_{-\infty}^{\infty} \int_{-\infty}^{\infty} [L_i(x, y, j) - L_j(x, y, j)] \exp[-i(\omega_x x + \omega_y y)] dx dy, \quad (1.4)$$

$$\begin{aligned} L_i(x, y, j) - L_j(x, y, j) = \\ = \frac{1}{4\pi^2} \int_{-\infty}^{\infty} \int_{-\infty}^{\infty} M_i(\omega_x, \omega_y, j, i) \exp[i(\omega_x x + \omega_y y)] d\omega_x d\omega_y, \end{aligned} \quad (1.5)$$

Tasvirlarning "eng yaxshi" bir birini qoplashda ularning spektrlari farqi tasvirlarda shovqin mavjudligida ob'ekt tasvirlarini tanish bilan bog'liq muammolarni hal qilishda qo'llaniladi. Shu tarzda aniqlangan spektrlar chastota komponentlarning ham amplitudalari, ham fazalar haqida to'liq ma'lumotni o'z ichiga oladi.

Buzilishlarni keltirib chiqaradigan chiziqli tizim tomonidan qayta ishlab chiqarilgan  $L_{ij}(x, y, j)$  reproduksiyada yorqinlikning taqsimlanishini berilgan tasvirdagi yorqinlikning ma'lum taqsimoti  $L_i(x, y, j)$  dan kelib chiqib quyidagi integral (Dyuamel integrali) yordamida topish mumkin:

$$L_{ij}(x, y, j) = \int_{-\infty}^{\infty} \int_{-\infty}^{\infty} L_i(\xi, \eta, j) h(x - \xi, y - \eta) d\xi d\eta, \quad (1.6)$$

bu yerda  $\xi, \eta$  - integralash o'zgaruvchilari;  $h(x, y)$  - chiziqli sistema nuqta tasvirini uzatganda, reproduksiyada yorqinlik taqsimoti bilan doimiy koefitsientgacha mos keladigan tizimning *impulsi karakteristikasi*.  $h(x, y)$  impuls xarakteristikasi yoki nuqtalarning tarqoqlik funksiyalari optik tizimlar atamalarida chiziqli tizim tomonidan kiritiladigan buzilishlarni to'liq xarakterlaydi. Bunda berilgan va chiziqli tizim tomonidan aks ettiriladigan tasvirlar o'zaro quyidagi munosabat bilan bog'langan

$$M_{ij}(\omega_x, \omega_y, j) = M_i(\omega_x, \omega_y, j) K(\omega_x, \omega_y), \quad (1.7)$$

bu yerda  $M_{ij}(\omega_x, \omega_y, j)$  -  $L_{ij}(x, y, j)$  ning reproduksiya spektri;  $K(\omega_x, \omega_y)$  - ko'rib chiqilayotgan chiziqli sistemaning Fure almashtirishi juftligi impuls xarakteristikasi bilan bog'liq chastota-uzatish funksiyasi:

$$K(\omega_x, \omega_y) = \int_{-\infty}^{\infty} \int_{-\infty}^{\infty} h(x, y) \exp[-i(\omega_x x + \omega_y y)] dx dy, \quad (1.8)$$

$$h(x, y) = \frac{1}{4\pi^2} \int_{-\infty}^{\infty} \int_{-\infty}^{\infty} K(\omega_x, \omega_y) \exp[-i(\omega_x x + \omega_y y)] d\omega_x d\omega_y, \quad (1.9)$$

Xuddi shunday, chiziqli tizim tomonidan yaratilgan tasvirlar o'rtasidagi farq spektri ularning "eng yaxshi" bir birini qoplanishi bilan topiladi:

$$M_{ij}(\omega_x, \omega_y, j, i) = M_i(\omega_x, \omega_y, j, i) K(\omega_x, \omega_y). \quad (1.10)$$

### 1-bob bo'yicha nazorat savollari

1. Real olam tasviri nima?
2. Ob'ektni qanday idrok etamiz?
3. Uch o'lichovli sahna deganda nimani tushunasiz?
4. Kuzatish tizimi tanish va notanish ob'ektni qanday ajratadi?

5. Tasvirlarni rastq va vektor modellari farqi va umumiyligi nimalardan iborat?
6. Kuzatish burchagi va kuzatish masofasi nima?
7. Tasvirlarning vektor modeli o'ziga hos jixati nimada?
8. Approximatsiyalovchi funksiya deganda nimani tushunasiz?
9. Rangli raqamli tasvir deganda nimani tushunasiz?
10. Axromatik tasvir deganda qanday tasvirlar tushunasiz?
11. Haqiqiy ob'ektlarni tasvirlashda uning qanday xarakteristikalariga e'tibor beriladi?
12. Fure integral almashirishdan nima uchun foydalananiz?
13. Tasvir modeli deganda nima tushuniladi?

2-bob

### Tasvirlarda ranglarni qayta tiklash va ranglarni boshqarish

#### 2.1. Grassman aksiomalari va ranglarning aralashish qonuniyati

Umuman olganda rasmlarni tahrirlashni, monitor ekraniga chiqarishni, bosib chiqarish qurilmasida chiqarishni muhim komponentasi ranglar hisob-kitobi hisoblanadi. Ranglar hisob kitobining asosini esa ko'rishning uch komponentali nazariyasi tashkil etadi. Ushbu nazariyaga ko'ra, ko'zning to'r pardasi uchta turdag'i yorqinlik sezgirligi kletkasini o'z ichiga oladi va ular o'zaro spektral sezgirlik bilan farqlanadi. Nur taratuvchi yorug'likning spektral tarkibiga bog'liq bo'lgan bu uch turdag'i nur sezuvchi xujayra biz sezadigan va farqlaydigan ranglarni aniqlaydi.

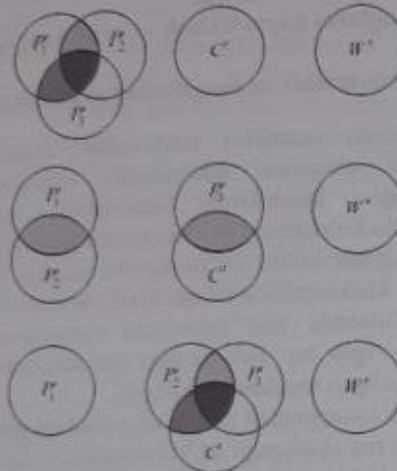
Ko'rishning uch komponetali tabiatni to'g'risidagi gipotezani 1756 yilda birinchi marta rus akademigi M.V.Lomonosov ilgari surgan. 46 yil o'tib esa Yung, 1854 yilda Grassmanlar bu gipotezaga murojaat qiladi, 1911 yilda Gelmgols ishlariida ranglarni ko'rish nazariyasiga batafsil to'tilingan. Bu nazariyaning asosiga ko'zning to'r pardasi tuzilishi va rang tenglamalari bo'yicha tajribalar qo'yilgan.

#### Rang tenglamalari bo'yicha tajribalar

Bu tajribalar 2.1-rasmda keltirilgan sxema asosida bajarilgan. Ideal diffuz qaytargich sirtiga ixtiyoriy spektral tarkibili  $C(\lambda)$  yorug'lik dog'i  $C$  proeksiyalanadi, bu yerda  $\lambda$  — yorug'likning to'lqin uzunligi. Shu sirda uning yoniga spektral tarkibi  $W(\lambda)$  bo'lgan tayanch oq nurning soyasisi  $W$  va spektral tarkibi mos ravishda  $P_1(\lambda), P_2(\lambda)$  va  $P_3(\lambda)$  bo'lgan asosiy ranglarning o'zaro kesishuvchi  $P_1, P_2, P_3$  dog'lari proeksiyalanadi.

Avval uch asosiy rang intensivligi shunday o'matiladiki, ularning umumiy qismi yorqinligi, rangtoni va to'yinganligi tayanch oq nurniki bilan bir xil bo'lsin. Uch asosiy rangning intensivligi  $A_1(W), A_2(W)$  va  $A_3(W)$  lar biror bir fizik kattalik bilan, misol uchun, vatlarda o'chansin.

Shundan so'ng  $C$  o'chanayotgan rangni tenglamasiga o'tiladi, bunda asosiy ranglarni intensivliklari  $A_1(C), A_2(C)$  va  $A_3(C)$  tanlanadi.



**2.1-rasm. Rangjarni tenglashtirish**

Tenglashtirish jarayonida  $C$  o'lchanayotgan rangga bog'liq holda quyidagi ucta holat ro'y berishi mumkin.

1. O'hashni bajarishda ucta o'zaro kesishuvchi dog'larni hosil qilgan asosiy ranglarning intensivligini shunday tanlash mumkinki, ular kesishish qismidagi rang o'lchanayotgan rangdan farqlanmaydi. Bu holda avval  $A_1(C), A_2(C)$  va  $A_3(C)$  lar o'lchanadi, keyin  $C$  rangni koordinatalari deb ataluvchi quyidagi kattaliklar o'lchanadi.

$$T_1(C) = A_1(C) / A_1(W), T_2(C) = A_2(C) / A_2(W), T_3(C) = A_3(C) / A_3(W). \quad (2.1)$$

2. O'lchanayotgan rangni hosil qilib (tenglashtirib) bo'lmaydi. Bu holda, 2.1-rasmda ikkinchi qatorda ko'rsatilgani kabi, navbat bilan asosiy ranglardan birining dog'i o'lchanayotgan rangga qoplanadi va chapdagi va o'ngdag'i dog'larning umumiy qismlari bir xil rang tengligiga erishgandagi intensivligi tanlashga harakat qilinadi. Agar bunga erishilsa, ranglar tengligini hosil qilgan asosiy ranglar intensivliklari qiymeti o'lchanadi, bunda o'lchanayotgan rangga qoplangan asosiy rang dog'i intensivligi "minus" ishora bilan olinadi.

2.1 - rasmda bunday rang sifatida  $P_i$  keltirilgan, shuning uchun

rasmda keltirilgan misolga mos keladigan rang koordinatalari quyidagicha bo'ladi:

$$T_1(C) = A_1(C) / A_1(W), T_2(C) = A_2(C) / A_2(W), T_3(C) = -A_3(C) / A_3(W).$$

3. Oxirgi holatda, ranglar tengligiga erishish uchun o'lchanayotgan rang ustiga bitta emas, ikki asosiy rang dog'ini qoplashga ehtiyoj sezildi. Bu holda quyidagilar zarur bo'ladi: birinchidan ranglar tengligiga erishish uchun qaysi ikki asosiy rang dog'i o'lchanayotgan rangga qoplanishi aniqlanadi, ikkinchidan, asosiy ranglarning tenglikka erishiladigandagi intensivliklari tanlanadi va o'lchanadi. Oldingi holdagi kabi, chapdan o'ngga ko'chirilgan asosiy rang intensivligi manfiy ishora bilan yoziladi. 2.1- rasmda ko'rsatilani kabi, bunday asosiy rang  $P_1$  va  $P_2$  va rang koordinatalari quyidagicha aniqlanadi

$$T_1(C) = A_1(C) / A_1(W), T_2(C) = -A_2(C) / A_2(W), T_3(C) = -A_3(C) / A_3(W).$$

Bu tajribalar asosida Grassman tomonidan ranglar tengligi aksiomalari ishlab chiqilgan va keyinchalik u kolorometriyaning asosini tashkil qildi.

### Ranglar tengligi aksiomalari

1. Ixtiyoriy rang uchtadan ortiq bo'limgan chiziqli erkli ranglarni aralashdirish yo'li orqali hosil qilinishi mumkin, ya'ni uch erkli rangni hech birini boshqa ikkisi orqali hosil qilib bo'lmaydi. Bu aksioma ranglarni aralashdirishning *birinchi qonuni* sifatida ma'lum.

2. Yorug'likning bitta intensivligida erishilgan tenglik intensivliklarning keng diapazonda o'zgarishida saqlanib qoladi.

3. Ranglar aralashmasini inson ko'rish tizimi orqali alohida komponentalarga ajratish imkoniyati mavjud emas. Yoki, boshqacha aytganda, bir qancha nurlarning aralashmasidan hosil bo'lgan rang qanday hosil bo'lishidan qat'iy nazar aralash yorug'likda ishtirot etuvchi har bir nur rang bilan aniqlanadi. Bu aksioma *ranglarni aralashdirishning uchinchi qonuni* deyiladi.

4. Ranglar aralashmasining yorqinligi uning komponentalari yorqinliklari yig'indisiga teng.

5. *Qo'shish qonuni.* Agar  $M$  rang  $N$  rangga ekvivalent,  $P$  rang  $Q$  rangga ekvivalent, ya'ni ular inson uchun ajratib bo'lmasa, u holda  $M$  va  $P$  ranglar aralashmasi  $N$  va  $Q$  ranglar aralashmasiga ekvivalent bo'ladi. Bu fikr quyidagicha yoziladi:

agar  $M=N$  va  $P=Q$  bo'lsa, u holda  $M+P=N+Q$  □ bo'ladi.

Bu yerda va keyingi shunga o'xshash ifodalarda " $=$ " belgini ekvivalentlik belgisi sifatida tushinish kerak.

6. *Ayirish qonuni.* Agar  $M$  va  $P$  ranglar aralashmasi  $N$  va  $Q$  ranglar aralashmasiga ekvivalent,  $P$  rang  $Q$  rangga ekvivalent bo'lsa, u holda  $M$  va  $N$  ranglar ham bir biriga ekvivalent bo'ladi. Bu fikri quyidagicha yozish mumkin:

agar  $M+P=N+Q$ ,  $P=Q$  bo'lsa, u holda  $M=N$  bo'ladi.

7. *Tranzitivlik qonuni.* Bu qo'nunga ko'ra: agar  $M$  rang  $N$  rangga ekvivalent,  $N$  rang o'z navbatida  $P$  rangga ekvivalent bo'lsa, u holda  $M$  rang  $P$  rangga ekvivalent bo'ladi.

8. *Ranglar tenglamasi.* Ixtiyoriy  $C$  rang uchun quyidagi uch munosabatdan bittasi o'rindilidir:

- $C$  rang  $M$  rangning birlik miqdorining  $A_1(C)$  birligi,  $N$  rangning birlik miqdorining  $A_2(C)$  birligi va  $P$  rangning birlik miqdorining  $A_3(C)$  birligi aralashmasiga tenglashadi;

- $C$  rangning  $M$  rang birlik miqdorining  $A_1(C)$  birligi bilan aralashmasi  $N$  rangning birlik miqdorining  $A_2(C)$  birligi va  $P$  rangning birlik miqdorining  $A_3(C)$  birligi aralashmasiga tenglashadi;

- $C$  rangning  $M$  rang birlik miqdorining  $A_1(C)$  birligi va  $N$  rangning birlik miqdorining  $A_2(C)$  birligi bilan aralashmasi  $P$  rangning birlik miqdorining  $A_3(C)$  birligi bilan tenglashadi.

Uchta munosabatdan qaysi biri bajarilishligi aralashtirilayotgan ranglarga bog'liq bo'ladi.

Grassman aksiomalari *ranglarni aralashtirishning ikkinchi qonuni* sifatida mashhur bo'lgan tajribalarda aniqlangan yana bitta qonun bilan to'ldiriladi. Bu qonun nurlanishning fizik xarakteristikasini uzuksiz o'zgarishiga rangning uzlusiz o'zgarishi mos qo'yiladi.

Sanab o'tilgan munosabatlar ranglarni o'chash haqidagi fan hisoblanuvchi kolorometriyaning asosi hisoblanadi.

## 2.2. Kolorimetrik tizim tuzilishining tamoyillari

Grassmannning sakkizinchı aksiomasidan quyidagi kelib chiqadi,  $C$  rang uchta asosiy ranglar  $P_1, P_2$  va  $P_3$  ranglar aralashmasiga tenglashadi, ya'ni

$$C = A_1(C)P_1 + A_2(C)P_2 + A_3(C)P_3 \quad (2.2)$$

bu yerda  $A_1(C), A_2(C), A_3(C)$  - musbat qiymat ham manfiy qiymat ham qabul qilishi mumkin bo'lgan asosiy ranglar intensivligi (bu kattaliklarning manfiy qiymat qabul qilishligining fizik ma'nosi yuqorida keltirilgan). Kogerent bo'lgagan yorug'lik manbalarining intensivligi chiziqli jamlanadi, shuning uchun aralashmaning spektral intensivligi (zichligi) uning komponentalari (uni tashkil etuvchilar) spektral intensivliklari yig'indisiga teng.

(2.2) formuladan  $C(\lambda)$  asosiy ranglar aralashmasi spektral zichligiga ekvivalent bo'lgan spektral zichlikka almashtirilishi mumkin, ya'ni

$$C(\lambda) = A_1(C)P_1(\lambda) + A_2(C)P_2(\lambda) + A_3(C)P_3(\lambda), \quad (2.3)$$

bu yerda  $\lambda$  — yorug'lik to'lqin uzunligi. Boshqacha so'z bilan aytganda,  $C(\lambda)$  spektral zichlikli nurlanish va  $A_1(C)P_1(\lambda) + A_2(C)P_2(\lambda) + A_3(C)P_3(\lambda)$  spektral zichlikli nurlanish bir xil rang hissini yuzaga keltiradi.

(2.3) formulada asosiy ranglar intensivligini (2.1) formulaga mos ravishda ranglar koordinatalari orqali ifodalab, quyidagini olamiz

$$C(\lambda) = T_1(C)A_1(W)P_1(\lambda) + T_2(C)A_2(W)P_2(\lambda) + T_3(C)A_3(W)P_3(\lambda). \quad (2.4)$$

Grassmannning to'rtinchi aksiomasidan  $L(C)$  rang yorqinligi uning komponentalari yorqinliklari yig'indisiga teng, ya'ni

$$L(C) = \int_{\lambda_{\min}}^{\lambda_{\max}} C(\lambda)V(\lambda)d\lambda = \int_{\lambda_{\min}}^{\lambda_{\max}} [A_1(C)P_1(\lambda) + A_2(C)P_2(\lambda) + A_3(C)P_3(\lambda)]V(\lambda)d\lambda.$$

Bu yerda  $V(\lambda)$  kunduzi ko'rish uchun (ko'rinish egri chizig'i)

monoxromatik nur tarqalishi nisbiy spektral yorug'lik effektivligi funksiyasi;  $\lambda_{\min}$ ,  $\lambda_{\max}$  - yorug'lik tarqalishi sifatida qabul qilinuvchi va elektromagnit tarqalishi oraliq'ini belgilovchi yorug'lik tarqalishi to'lqin uzunliklari. Asosiy ranglar intensivliklarini ranglar koordinatalari orqali ifodalab, quyidagi hosil qilamiz

$$L(C) = T_1(C)L(P_1) + T_2(C)L(P_2) + T_3(C)L(P_3), \quad (2.5)$$

Bu yerda

$$L(P_1) = \int_{\lambda_{\min}}^{\lambda_{\max}} A_1(W)P_1(\lambda)V(\lambda)d\lambda,$$

$$L(P_2) = \int_{\lambda_{\min}}^{\lambda_{\max}} A_2(W)P_2(\lambda)V(\lambda)d\lambda,$$

$$L(P_3) = \int_{\lambda_{\min}}^{\lambda_{\max}} A_3(W)P_3(\lambda)V(\lambda)d\lambda \quad - \text{asosiy ranglarning yorqinlik koefitsientlari.}$$

(2.4) va (2.5) formulalar kolorometriyaning miqdoriy asosi hisoblanadi.

Kolorometrik tizim yaratish uchun quyidagilarni bajarish zarur:

1. Asosiy ranglarni tanlab olish va ularning o'lchov birliklari  $P_1, P_2, P_3$  ni aniqlash. Asosiy ranglarni tanlash chegaralanmagan, demak hosil qilinishi mumkin bo'lgan kolorometrik tizimlar soni ham chegaralanmagan.

2. Tanlangan asosiy ranglar uchun solishtirma koordinatalar yoki aralashish egri chizig'i deb ataluvchi birlik quvvatlari  $\overline{T_1(\lambda)}, \overline{T_2(\lambda)}, \overline{T_3(\lambda)}$  spektral nurlanishli ranglar koordinatalarini aniqlash.

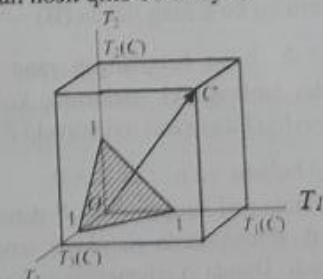
Solishtirma koordinatalarni bilish ixtiyoriy spektral zichlikka  $C(\lambda)$  ega nurlanishning ranglar koordinatalarini  $\overline{T_1(\lambda)}, \overline{T_2(\lambda)}, \overline{T_3(\lambda)}$  larni muallaq yig'ish yo'li orqali aniqlashga imkon beradi. Bunda muallaqlik funksiyasi spektral zichlik hisoblanadi.

$$T_1(C) = \int_{\lambda_{\min}}^{\lambda_{\max}} C(\lambda)\overline{T_1(\lambda)}d\lambda,$$

$$T_2(C) = \int_{\lambda_{\min}}^{\lambda_{\max}} C(\lambda)\overline{T_2(\lambda)}d\lambda, \quad (2.6)$$

$$T_3(C) = \int_{\lambda_{\min}}^{\lambda_{\max}} C(\lambda)\overline{T_3(\lambda)}d\lambda.$$

(2.6) formuladan ixtiyoriy rangni uning uchta  $T_1(C), T_2(C), T_3(C)$  koordinatalari berilganda to'lqifodalash mumkin ekanligi kelib chiqadi, demak, 2.2-rasmda ko'rsatilgani kabi u  $T_1, T_2, T_3$  uch o'lchovli fazodagi nuqtaning yoki vektorning holati bilan ifodalanadi. Bunda rangning ayrim koordinatalari manfiy qiymatlarni qabul qilishi mumkin, biroq (2.5) formula bilan aniqlanuvchi yakuniy yorqinlik har doim musbat qiymathi bo'ladi. Yuqorida ta'kidlanganidek, rang koordinatasining manfiy qiymati quyidagicha talqin qilinadi: koordinataning manfiy qiymatiga mos keluvchi asosiy rang qolgan ikki asosiy rang aralashmasiga tenglashishiga erishish uchun o'lchanayotgan rangga qo'shilishini anglatadi. Bu fikr muhim ahamiyatga ega. Chunki, misol uchun, hech bo'lmaganda bitta koordinatasi manfiy bo'lgan rangni uchta asosiy rangni fizik aralashtirish yo'li orqali hosil qilib bo'lmaydi.



2.2-rasm. Ranglar fazosida ranglarni ifodalash

Ko'p hollarda rangni ifodalashda uning yorqinligi muhimlik kash etmaydi, bunday holda rang koordinatalaridan rang to'yinganligi va rang tonini to'liq ifodalovchi rangdorlik koordinatalariga  $\eta = \frac{I_1}{I_1+I_2+I_3}, \frac{I_2}{I_1+I_2+I_3}, \frac{I_3}{I_1+I_2+I_3}$ , (birlik ranglar koordinatalariga) o'tiladi.

To'g'riligini oson hosil qilish mumkin bo'lgan  $I_1 + I_2 + I_3 = 1$ , ifoda 2.2, rasmida shtrixda ko'satilgan birlik ranglar tekisligini ifodalaydi, birlik ranglar koordinatası esa – bu tekislikni rang vektori bilan teshib o'tish nuqtasini aniqlaydi.  $I_3 = 1 - I_1 - I_2$  bo'lganligi sababli, rangdorlikni to'liq aniqlash uchun atiga ikki o'zgaruvchidan  $I_1, I_2$  dan foydalanish yetarli bo'ladi, bu esa ikki o'lchovli grafikada rang hisob kitobi natijalarini ifodalashda qulaylik tug'diradi. Bunday grafikaga o'tish birlik ranglar tekisligini  $I_1 O I_2$  tekislikka proeksiyalash yo'li orqali hal qilinadi, bunda 2.2-rasmida shtrixda ko'satilgan birlik ranglarning teng tomonli uchburchagi to'g'ri burchakli uchburchakka almashtiriladi.

Kolorometriyaning asosiga qo'yilgan prinsiplarni ko'rishda amaliyotdan ko'p qo'llaniladigan kolorometrik tizimlarni ifodalashga o'tamiz.

### 2.3. RGB kolorimetrik tizimi

1931 yilda xalqaro yoritish komissiyasida (XYoK) *RGB kolorimetrik tizimi* ishlab chiqildi va amaliyotga qo'llashga tavsiya etildi. Bu kolorometrik tizimning o'ziga xosligi unda asosiy ranglar sifatida quyidagi to'lqin uzunliklariga ega bo'lgan uchta monoxromatik nurlardan foydalanilgan: qizil rang uchun (R) — 700 nm, yashil rang uchun (G) — 546,1 nm va ko'k rang uchun (B) — 435,8 nm.

Bu tizimda  $r, g, b$  bilan belgilangan rang koordinatalarining o'lchov birligi shunday tanlanganki, spektrning ko'rindigan qismida doimiy spektral intensivligi bilan xarakterlanuvchi  $E$  turdag'i tayanch oq rang uchun ular bir xil bo'lsin, ya'ni  $r = g = b$ .

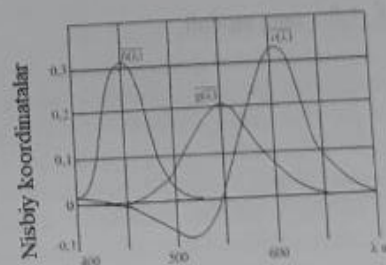
Asosiy ranglar sifatida real ranglar  $R, G, B$  dan foydalanish qulay, chunki u kolorometrik o'lchovlarda ranglarni tenglashtirish usulini qo'llashga imkon beradi. Bunda o'lchanayotgan rang  $c$  quyidagicha yozilishi mumkin:

$$C' = r'R + g'G + b'B,$$

va uning yorqinligi esa quyidagicha yozilishi mumkin

$$L = r' + 4,5907 g' + 0,0601 b',$$

bu yerda  $R, G, B$  mos ravishda qizil, yashil va ko'k birligi miqdori. Yozilgan foymuladan ko'rindadi, yorqinlikka eng ko'p hissani rangning yashil komponentasi, eng kam esa ko'k rang komponentasiga to'g'ri keladi.



2.3-rasm. RGB kolorimetrik tizimida solishtirma koordinatalar grafigi

RGB kolorimetrik tizimi uchun eksperimental o'lchash yo'li bilan solishtirma koordinatalar  $r(\lambda), g(\lambda), b(\lambda)$  ning  $\lambda$  to'lqin uzunligiga bog'liqligi munosabati olingan va 2.3-rasmida  $2^{\circ}$  li ko'rish maydoni uchun grafigi keltirilgan.  $R, G, B$  asosiy ranglardan tashqari ixtiyoriy monoxromatik rang uchun uning nisbiy koordinatalari  $r(\lambda), g(\lambda), b(\lambda)$  dan birortasi har doim manfiy bo'ladi. Bundan kelib chiqadiki, eng asosiy ranglardan tashqari monoxromatik ranglarni asosiy ranglarni aralashtirish yo'li bilan fizik hosil qilib olib bo'lmaydi. Nisbiy koordinatalar (aratashma egri chizig'i) nurlanishning fizik xarakteristikalari – uning spektral intensivligi  $C(\lambda)$  va rang koordinatalari  $r, g, b$  o'tasidagi bog'lovchi bug'in bo'lib xizmat

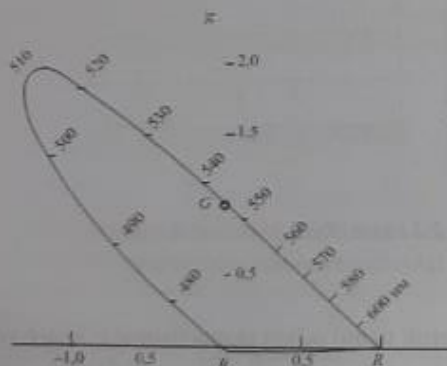
qiladi.

$$r = \int_{\lambda_{\min}}^{\lambda_{\max}} C(\lambda) \overline{r(\lambda)} d\lambda, g = \int_{\lambda_{\min}}^{\lambda_{\max}} C(\lambda) \overline{g(\lambda)} d\lambda, b = \int_{\lambda_{\min}}^{\lambda_{\max}} C(\lambda) \overline{b(\lambda)} d\lambda,$$

Rang koordinatalarini hisoblab, rangdorlik koordinatasini (birlik ranglar koordinatasini) oson topish mumkin bo'ladi

$$r = \frac{r}{m}, g = \frac{g}{m}, b = \frac{b}{m}.$$

bu yerda  $m=r+g+b$  - rang moduli.



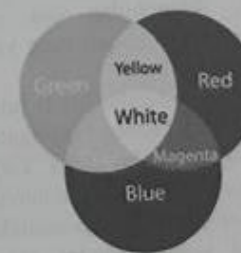
2.4-rasm. RGB kolorimetrik tizimda rangdorlik grafigi

2.4-rasmda RGB kolorimetrik tizimda qabul qilingan asosiy ranglarda hosil qilingan  $R$ ,  $G$ ,  $B$  ranglar uchburchagini ko'rsatuvchi rangdorlik grafigi hamda lokus – bu grafikda spektral sof ranglar holatini aniqlovchi nuqtalarining geometrik o'rni keltirilgan. Ta'kidlash lozimki, asosiy ranglar  $R$ ,  $G$ ,  $B$  ni qo'llab ixtiyoriy real mavjud rangning koordinatalarini aniqlash mumkin, ya'ni ifodalash mumkin, bunda ularning ayrimlari manfiy bo'lishi mumkin. Shunga qaramasdan,

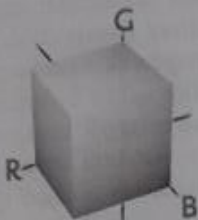
ularni ixtiyoriy mutanosiblikda aralashtirib rangdorlik uchburchagi ichida yotgan ranglarning sintez (hosil) qilish mumkin bo'ladi. Bu quyidagicha izohlanadi, rangdorlik uchburchagidan tashqarida joylashgan ranglarni sintez qilish uchun nafaqat musbat, balki manfiy ranglarni ham aralashtirish talab etilar edi, buni esa fizik amalga oshirib bo'lmaydi. Shu sababli asosiy ranglarni aralashmasidan asosiy rang bilan ustma ust tushuvchi ranglardan tashqari spektral sof ranglarni olish mumkin emas. Bu xulosa ayniqsa, aks ettiruvchi qurilmalar asosiy rangini tanlashda muhim, misol uchun, kineskop yoki suyuq kristal panellarda ularni ishlab chiqarishda kolorometrik tizimning asosiy ranglari bilan ustma ust tushmasdan qoladi.

Uchlarida asosiy ranglar yotuvchi aks ettiruvchi qurilma rangdorlik uchburchagi yuzasi qancha katta bo'lsa, shuncha ko'p ranglarni hosil qilish imkoniyati bo'ladi. Biroq aks ettiruvchi qurilmaning ekranida tabiatda mavjud barcha ranglarni aks ettirib bo'lmaydi.

Bu rang sistemasi kompyuter ekranini uchun moslashtirilgan (texnik rang hisoblanadi (2.5-2.6-rasmlar)). Unda uch xil rang aralashmasi mavjud bo'lib, ular Red (qizil), Green (yashil) va Blue (ko'k) ranglardir. Har bir rang miqdori 0÷255 oraliqida bo'ladi. Demak, uchta rangning har birlik miqdorlari asosida  $256^3 = 16777216$  ta rangni ifodalash mumkin bo'ladi. Bu rang sistemasi qurilmaning xususiyatiga bog'liq bo'ladi. Masalan, RGB ning biror bir xil qiymatga ega bo'lgan rangi ikki xil monitorda ikki xil ko'rinishi.



2.5-rasm. RGB rang sistemasining oddiy ko'rinishi.



2.6-rasm. Uch koordinatali RGB rang fazosi.

RGB kolorometrik tizimi bugungi kunda rangli tasvirlarni raqamli fotoapparatlar, videokameralar, skanerlar yordamida kompyuter xotirasiga kiritishda hamda ularni monitor ekranida chiqarishda ranglarni ifodalash uchun keng qo'llaniladi.

#### 2.4. XYZ kolorimetrik tizimi

RGB kolorometrik tizimi bilan bir vaqtda yoritish bo'yicha xalqoro komissiya tomonidan 1931 yilda XYZ (CIE) kolorimetrik tizimi deb ataluvchi boshqa kolorometrik tizim ham ishlab chiqilgan va foydalanishga tavsija etilgan. Bunga sabab, RGB kolorometrik tizimining ranglarni o'lhashda qo'llaniladigan asosiy afzalliklari bilan bir qatorda rang hisob kitobida noqulayliklar keltirib chiqaruvchi ikkita jiddiy kamchiligi mavjudligidir. Ulardan birinchisi, manfiy koefitsientlari mavjudligi, ikkinchidan esa — rangning uchta koordinatasining muallaq yig'indisi orqali rang yorqinligini aniqlash zaruratidir.

CIE komissiyasi tomonidan odamlar ko'zi bilan bog'liq ko'plab tajribalar o'tkazilgandan keyin qabul qilingan. Ya'ni ko'plab insonlarning ko'rish imkoniyatlari bo'yicha ko'plab ma'lumotlar to'plangan va ulardan o'rtacha ko'rish holati uchun ushbu model ishlab chiqilgan. Bu modelda rangning qizil komponentalari X o'qi bo'ylab (horizontal) tortilgan, yashil komponentalar esa, Y o'qi bo'ylab (vertikal) tortilgan (2.7-rasm). Bunda rang tiniqligi hisobga olinmaydi.



2.7-rasm. CIE XYZ rang modeli

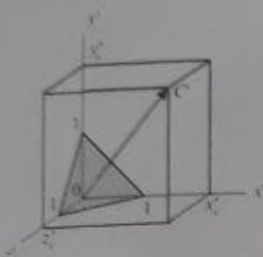
XYZ kolorometrik tizimda asosiy rangni tanlashda quyidagilar talab qilindi:

- Ixtiyorli nurlanish uchun rang koordinatlari har doim musbatligini saqlaydi;
- Nurlanish yorqinligi rangning bitta koordinatasi bilan aniqlanadi;
- E turdag'i tayanch oq rangga mos nuqta rangdor uchburchak og'irlik markazida joylashadi.

Bu shartlarni bajarilishi natijasida asosiy ranglari X, Y, Z fiktiv bo'lgan tizim ishlab chiqilgan, ya'ni tabiatda mavjud bo'lmasagan, biroq biror bir matematik belgilarni bildiradi. Bu kolorometrik tizimda rang quyidagi ifoda bilan aniqlanadi

$$C' = x'X + y'Y + z'Z,$$

bu yerda  $x', y', z'$  — rang koordinatalari. 2.8 rasmida  $x', y', z'$  koordinata o'qlari va e'vektor grafigi keltirilgan bo'lib, u yaratilgan kolorometrik tizim pangdorlik fazosida rang holatini hamda shtrix bilan ajratilgan birlik ranglar tekisligini aniqlaydi. Bu kolorometrik tizimda rang yorqinligi y' bitta koordinata bilan aniqlanadi.



2.8-rasm. XYZ kolorometrik tizimida ranglarni tasvirlash

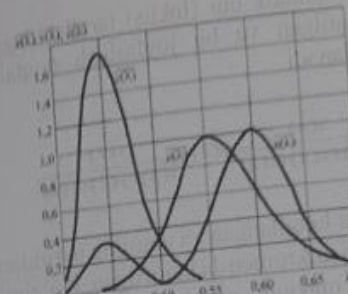
Bir kolorometrik tizimdan boshqasiga o'tish rang koordinatalarini chiziqli almashtirish orqali amalga oshiriladi

$$\begin{aligned}x' &= 0,49000r' + 0,31000g' + 0,20000b', \\y' &= 0,17700r' + 0,81238g' + 0,01062b', \\z' &= 0,00002r' + 0,01002g' + 0,98996b', \\r' &= 2,36467x' - 0,89658y' - 0,46809z', \\g' &= -0,51523x' + 1,42647y' + 0,08877z', \\b' &= 0,00518x' - 0,01442y' + 1,00925z'.\end{aligned}$$

RGB kolorometrik tizimi uchun bo'lgani kabi, XYZ kolorometrik tizimi uchun ham solishtirma koordinatalar  $\overline{x(\lambda)}, \overline{y(\lambda)}, \overline{z(\lambda)}$  aniqlangan hamda 2.9-rasmda 2° lik ko'rish maydoni uchun  $\lambda$  to'lqin uzunligiga bog'liqlik grafigi keltirilgan. Bu holatda solishtirma koordinatalarni aniqlashning o'ziga xos xususiyati shundaki, RGB kolorometrik tizimdan farqli ravishda ular tajriba yo'li orqali aniqlanmaydi, sababi bu tizimda asosiy ranglar fiktivdir. Shuning uchun ular, RGB kolorometrik tizimidan XYZ kolorometrik tizimiga solishtirma koordinatalarni qayt hisoblash yo'li orqali aniqlanadi.

Solishtirma koordinatalar nur taralishining spektral intensivligi  $C(\lambda)$  asosida  $x', y', z'$  rang koordinatalarini hisoblash uchun foydalaniлади

$$x = \int_{\lambda_{\min}}^{\lambda_{\max}} C(\lambda) \overline{x(\lambda)} d\lambda, \quad y = \int_{\lambda_{\min}}^{\lambda_{\max}} C(\lambda) \overline{y(\lambda)} d\lambda, \quad z = \int_{\lambda_{\min}}^{\lambda_{\max}} C(\lambda) \overline{z(\lambda)} d\lambda.$$



2.9-rasm. XYZ kolorometrik tizimining solishtirma koordinatalar grafigi

Ta'kidlanganidek, ko'p hollarda rangni ifodalashda uning yorqinligi muhimlik kasb etmaydi, bunday hollarda quyidagi almashtirish orqali rang koordinatalaridan rangdorlik koordinatalariga (birlik ranglar koordinatalariga) o'tiladi

$$x = \frac{x'}{m}, \quad y = \frac{y'}{m}, \quad z = \frac{z'}{m},$$

bu yerda  $m$  – rang moduli bo'lib, u qo'yidagiga teng

$$m = x' + y' + z'.$$

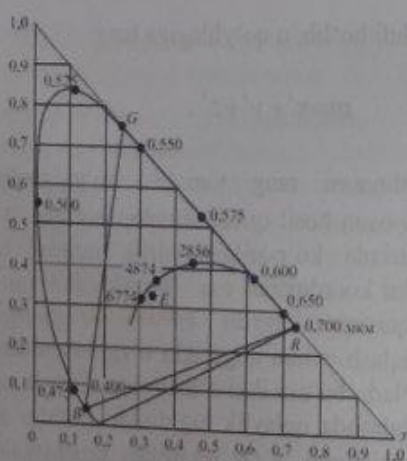
Rangdorlik koordinatasi rang toni va to'yinganliginito'liq ariqlaydi. To'g'riligini oson hosil qilish mumkin bo'lgan  $x+y+z=1$ , ifoda 2.8-rasmda shtrixda ko'rsatilgan birlik ranglar tekisligini ifodalaydi, birlik ranglar koordinatasi esa – bu tekislikni rang vektori bilan teshib o'tish nuqtasini aniqlaydi.  $z=1-x-y$  bo'lganligi sababli, rangdorlikni to'lq aniqlash uchun atiga ikki o'zgaruvchidan  $x, y$  dan foydalanish yetarli bo'ladi, bu esa ikki o'lchovli grafikada rang hisob kitobi natijalarini ifodalashda qulaylik tug'diradi. Bunday grafikaga o'tish birlik ranglar tekisligini  $x'-Oy'$  tekislikka proeksiyalash yo'li orqali hal qilinadi, bunda 2.8-rasmda shtrixda ko'rsatilgan birlik ranglarning teng tomonli uchburchagi to'g'ri burchakli uchburchakka almashtiriladi. 2.10-rasmda XYZ kolorometrik tizimi uchun rangdorlik

grafigi keltirilgan.

Bu grafikda monoxromatik nur (lokus) taralishidaga ranglarning joylashish holat ko'rsatilgan va bu joylashish nuqtalari quyidagi formula bo'yicha hisoblanadi

$$x(\lambda) = \frac{\overline{x(\lambda)}}{x(\lambda) + y(\lambda) + z(\lambda)}, \quad y(\lambda) = \frac{\overline{y(\lambda)}}{x(\lambda) + y(\lambda) + z(\lambda)},$$

hamda ayrim nuqtalar belgilangan va ularning ayrimlari uchun mos keluvchi to‘lqin zunliklari mikrometrda keltirilgan. Ko‘zimiz qabul qila oladigan barcha real mavjud ranglar grafikning lokus bilan chegaralangan va uning chetki nuqtalarini birlashtiruvchi to‘g‘ri chiziq bilan chegaralangan qismida joylashgan. Rangdorlik uchburchaginining og‘irlik markazida  $E$  turdagisi oq rang joylashgan. Uchlari lokusni yopib turuvchi to‘g‘ri chiziq kesmasining chetlariga va  $E$  turdagisi oq rang nuqtasida joylashgan uchburchak bilan chegaralangan grafikaning sohasiga qirmizi rang mos keladi. Shu grafikning o‘zida uchlarida kolorometrik tizimning asosiy ranglari R, G, B joylashgan RGB kolorometrik tizim rangdorlik uchburchagi ham keltirilgan.



2.10-rasm. XYZ kolorometrik tiziminin rangdorlik grafigi

### 3.5 XYZ kolorometrik tizimda ranglar hisob kitobi

XYZ kolorometrik tizimi rang hisob kitoblari olib borish qulay bo'lishligi uchun maxsus ratilgan, shuning uchun u bosqqa kolorometrik tizimlar orasida vositachi tizim sifatida foydalaniлади. Buni aniq masalalarni yechish misolida ko'rsatib o'tamiz.

Ranglar koordinatasи bilan berilgan ikki rang aralashmasining rangini aniqlash

$C_1$  va  $C_2$  ranglarning aralashtirilishi natijasida hosil bo'ladigan  $C_2$  rang koordinatasi aralashtirilayotgan ranglar komponentalarining mos koordinatalari  $x_1, y_1, z_1$  va  $x_2, y_2, z_2$  lar yig'indisi bilan aniqlanadi, ya'ni

$$x_\Sigma = x_1 + x_2, y_\Sigma = y_1 + y_2, z_\Sigma = z_1 + z_2,$$

bunda natijaviy rangning rangdorlik moduli berilgan ranglarning rangdorlik modullari yig'indisiga teng bo'ladi

$$m_S = m_1 + m_2$$

aralashmaning rangdorlik koordinatalari esa quyidagi formula bilan aniqlanadi

$$x_{\Sigma} = \frac{m_1 x_1 + m_2 x_2}{m_1 + m_2}, y_{\Sigma} = \frac{m_1 y_1 + m_2 y_2}{m_1 + m_2}$$

yoki sodda almashtirishlardan keyin quyidagi orqali aniqlanadi

$$x_{\Sigma} = \frac{x_1 + x_1 m_2/m_1}{1+m_2/m_1}, y_{\Sigma} = \frac{y_1 + y_1 m_2/m_1}{1+m_2/m_1} \quad (2.7)$$

(2.7) formula parametrik berilgan to'g'ri chiziq tenglamasini beradi, bu

yerda parametr sifatida aralashtirilayotgan ranglarning rangdorlik modullari nisbati  $m_2 / m_1$  olinadi. Bundan kelib chiqadiki, rangdorlik grafigida olingan aralashmaning rangdorligini xarakterlovchi nuqta aralashtirilayotgan  $C_1$  va  $C_2$  ranglar rangdorligining ikki nuqtasini tutashiruvchi to'g'ri chiziqda yotadi. Nuqtaning aniq holati aralashtirilayotgan ranglar moduli nisbati bilan aniqlanadi.  $m_2 / m_1$  nisbat qancha katta bo'lsa, aralashmaning rangdorligi  $C_2$  rang rangdorligiga yaqin bo'ladi.

#### Rang koefitsientlari bilan berilgan uch rang aralashmasi rangini aniqlash

Yuqorida keltirilgani kabi fikrlab,  $C_1, C_2, C_3$  uch rang aralashmasidan olingan  $C_\Sigma$  rang koordinatalari quyidagi formula orqali hisoblanishini ko'rishimiz mumkin

$$x'_\Sigma = x'_1 + x'_2 + x'_3, y'_\Sigma = y'_1 + y'_2 + y'_3, z'_\Sigma = z'_1 + z'_2 + z'_3,$$

bunda rangdorlik koefitsienti quyidagiga teng bo'ladi

$$x'_\Sigma = \frac{m_1 x_1 + m_2 x_2 + m_3 x_3}{m_1 + m_2 + m_3}, y'_\Sigma = \frac{m_1 y_1 + m_2 y_2 + m_3 y_3}{m_1 + m_2 + m_3}, z'_\Sigma = \frac{m_1 z_1 + m_2 z_2 + m_3 z_3}{m_1 + m_2 + m_3}, \quad (2.8)$$

bu yerda  $x_1, y_1, z_1, x_2, y_2, z_2, x_3, y_3, z_3, m_1, m_2, m_3$  - mos ravishda birinchi, ikkinchi, uchinchi aralashtirilayotgan komponentalarning rang koordinatalari va rangdorlik modullari. Rangdorlik grafigida aralashmaning rangdorligini xarakterlovchi nuqta uchi aralashtirilayotgan ranglarning rangdorligini aniqlovchi nuqtalarda yotuvchi uchburchakning ichida joylashadi. Lokus (spektral toza ranglar egri chizig'i) qabariq shaklda bo'lganligi sababli aralashmasidan tabiatda mavjud bo'lgan har qanday rangni hosil qilish mumkin bo'lgan uchta rangni tanlab bo'lmaydi, chunki lokusni hosil qiluvchi shaklga ichki chizilgan va uning to'g'ri chiziqlarini yopuvchi uchburchak yuzasi bu shakl yuzasidan kichik. Bu cheklov muhim

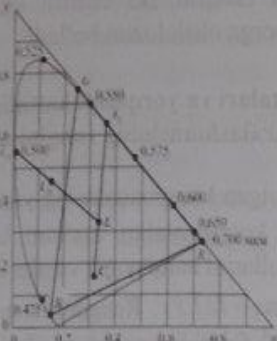
ahamiyat kasb etadi va tasvirni aks ettirish qurilmasining asosiy ranglarini tanlashda e'tiborga olish lozim bo'ladi.

#### Rangdorlik koordinatalari va yorqinlik kattaligi bilan berilgan uchta rang aralashmasining rangini aniqlash

Uchta aralashtirilayotgan komponentaning yorqinliklari  $L_1, L_2, L_3$  va ularning rangdorlik koordinatalari ma'lum bo'lsa, avvalombor ularning rangdorlik modullarini aniqlaymiz va ular quyidagicha bo'ladi  $m_1 = L_1 / y_1, m_2 = L_2 / y_2, m_3 = L_3 / y_3$ . Rangdorlik modullari qiyatlari aniqlangandan so'ng (2.8) formula bo'yicha aralashmaning rangdorlik koordinatalari topiladi.

#### Ustun turuvchi to'lqin uzunligi va rangning sofligini aniqlash

Rangdorlik koordinatalari rangdorlikni xarakterlovchi sub'ektiiv parametrlarga, ya'ni rang toni va to'yinganligiga bevosita bog'liq emas. Rang toni va to'yinganligi xarakteristikalar uchun ayrim hollarda ob'ektiv parametrlar foydalaniladi: ustun turuvchi to'lqin uzunligi va rang sofligi. Bu parametrlarni aniqlashning asosida ikkita rang mos proporsiyasi aralashmasi natijasida hosil qilingan har qanday rangdag'i spektral toza va  $E$  turdag'i oq rang haqidagi tasavvur yotadi. Bu holda ustun turuvchi to'lqin uzunligi  $\lambda_o$  va sof rang  $P$  aniqlanayotgan rang rangdorlik grafigida  $E$  turidagi oq rang nuqtasi va  $\lambda_o$  to'lqin uzunligiga mos keluvchi spektral ranglar egri chizig'idagi nuqtani birlashtiruvchi to'g'ri chiziq kesmasida joylashgan bo'ladi. Boshqacha aytganda,  $\lambda_o$  ni aniqlash uchun rangdorlik grafigiga o'chanayotgan rang nuqtasi  $C_0$  ni qo'yish, keyin shu nuqta va  $E$  turdag'i oq rang nuqtasi orqali to'g'ri chiziq o'tkaziladi, bu to'g'ri chiziq spektral sof rang egri chizig'i bilan kesishguncha davom ettiriladi va kesishish nuqtasida  $\lambda_o$  hisoblanadi. Bu aytilanlar 2.11-rasmda keltirilgan. Agarda rang toni aniqlanayotgan  $C_n$  rang qirmizi ranglarga tegishli bo'lsa, uning uchun ustun turuvchi to'lqin uzunligini aniqlab bo'lmaydi, chunki u mayjud emas. Bu hol uchun ustun turuvchi to'lqin uzunligi o'miga qo'shimcha to'lqin uzunligi deb ataluvchi  $\lambda_c$  kiritiladi va u  $C_n$  nuqtadan  $E$  nuqta orqali o'tuvchi to'g'ri chiziqning spektral ranglar chizig'ini kesib o'tgan nuqta orqali aniqlanadi.



2.11-rasm. Ustun turuvchi to'lqin uzunligini aniqlashga

Sof rang  $P$  ta'rif bo'yicha  $L_\lambda$  spektral sof rang yorqinligini o'lchanayotgan rang yorqinligi  $L$  ga nisbatiga teng. O'lchanayotgan rang yorqinligini spektral sof rang va  $E$  turdag'i tayanch oq rang aralashmasi natijasi deb qarash mumkin. Bundan kelib chiqadiki, uning yorqinligi uni tashkil qiluvchi ranglar yorqinliklari  $L_\lambda$  va  $L_E$  larning yig'indisiga teng, shuning uchun  $P = \frac{L_\lambda}{L_\lambda + L_E}$ .

Bu ifodadan kelib chiqib, sof rang hisobi uchun quyidagi formulalarni olishimiz mumkin:

$$P = \frac{y_\lambda y_C - y_E}{y_C y_\lambda - y_E}, \quad (2.9)$$

$$P = \frac{y_\lambda x_C - x_E}{y_C x_\lambda - x_E}, \quad (2.10)$$

bu yerda  $x_C, y_C, x_E, y_E, x_\lambda, y_\lambda$  - o'lchanayotgan rang cning rangdorlik,  $E$  turdag'i tayanch oq rang va ustun to'lqin uzunligiga mos spektral sof rang koordinatalari. Agar (2.9) formulada maxraj kichik qiymatlarni qabul qilsa, u holda sof rang hisoblarini (2.10) formula bilan yuritish, agar (2.10) formulada maxraj kichiklashib ketsa esa (2.9)

formuladan foydalanish maqsadga muvofiq bo'ladi. Yozilgan formulalardan spektral sof ranglar uchun  $P = 1$ , tayanch oq rang uchun  $P = 0$  ekanligi kelib chiqadi.

Xulosada ta'kidlash kerakki, XYZ kolorometrik tizim ma'lumotlarni bir kolorometrik tizimdan boshqasiga qayta hisoblash uchun tez tez ishlataladi. Bunday ehtiyojlar, xususan, kompyuter ish stolida ishlataladigan bir qator qurilmalarning ishini, masalan, skaner, monitor va bosma qurilmasining ishini muvofiqlashtirish kerak bo'lganda paydo bo'ladi. Odatda, bunday qayta hisoblash har safar bitta rang maydonidan, masalan, RGB rang maydonidan boshqasiga, masalan CMYK rang maydoniga o'tilganda amalga oshiriladi.

## 2.6. Rang temperaturasi

Barcha kolorimetrik o'lchovlar va hisoblari asosida tayanch oq rang tushunchasi yotadi. Aynan tayanch oq rangga nisbatan ixtiyoriy kolorometrik tizimda asosiy ranglar birligi aniqlangan. Ko'p hollarda tayanch oq sifatida  $E$  turdag'i teng energetik oq rang ishlataladi, biroq o'lchashlarda uni ishlatalish noqulayliklar tug'diradi. Gap shundaki, tabiatda yorug'lik oralig'ida to'lqin uzunligiga bog'liq bo'limgan tarqalish spektri mavjud emas, lekin sun'iy usulda bunday spektrni hosil qilish mumkin. Bu shunga olib keldiki, tayanch oq rang sifatida nur tarqatuvchining spektral tarkibi *rang temperaturasi (harorati)* deb ataluvchi  $T_u$  temperaturagacha qizdirilgan absolyut qora jismning nur tarqatishining spektral tarkibiga yaqin bo'lgan manbalardan foydalanishni boshladilar. Bunda bu manbalarning rangdorligi Kelvin gradusida rang temperaturasi kattaligida xarakterlana boshlandi. Bu esa ancha qulay, chunki ularning rangdorligini xarakterlash uchun ikki son o'rniga (misol uchun,  $x = 0,310$ ,  $y = 0,316$ ) bitta sonni ( $T_u = 6674 K$ ) aytish yetarli bo'ladi. Grafikda (2.7-rasm) absolyut qora jismning temperaturasi o'zgarganda nur taratish rangdorligi qanday o'zgarishini ko'rsatuvchi rang temperaturasi egri chizig'i keltirilgan. Bunda nur taratish rangdorligining spektral tarkibi Plank formulasi bilan aniqlanadi.

Rangdorlik nuqtasi rang temperaturasi egri chizig'ida bo'lmasdan, unga yaqin joylashgan hollarda korrelyatsiyalangan rang temperaturasi tushunchasidan foydalilaniladi [11].

1931 yilda yoritish bo'yicha xalqaro komissiya (YoXK) mos ravishda  $A, B, C$  bilan belgilangan oq rangning uchta standart manbalaridan biridan o'chashlarda foydalanishni taklif qilgan. Keyinchalik ularga  $D_{55}, D_{65}, D_{75}, 9300 K + 27 MRS$  lar va boshqalari qo'shilgan. 2.1-jadvalda bir qator manbalarining nur taratishini asosiy xarakteristikalari keltirilgan. Amanba sifatida rang temperaturasi  $T_n = 2856 K$  bo'lgan cho'g'lama ipi volframlik gaz to'ldirilgan cho'g'lama lampa qo'llanilgan, jadvalda keltirilgan nurlanishning boshqa manbalarini amanbagaga rang filtrlarini qo'shish orqali olinadi.

**2.1-jadval. Oq rang standart manbalarining nur taratish xarakteristikalari**

Nur taratishi	x	y	$\lambda_n, \text{nm}$	$p, \%$	Rang temperaturasi $T_n, K$
A (cho'g'lanma lampa standartlashtirilgan vorug'ligi)	0,4476	0,4075	0,583	65	2856
B (standartlashtirilgan to'g'ri quyosh nuri)	0,3484	0,3516	0,574	15	4874
C (standartlashtirilgan o'rtacha kunduzgi vorug'lik)	0,310	0,316	0,482	5	6774
$D_{55}$					5500
$D_{65}$	0,313	0,329			6504
$D_{75}$	0,3003	0,3103			7500
9300 K + 27 MRS	0,281	0,34			
E (teng energetik manba vorug'ligi)	0,333	0,333		0	5700

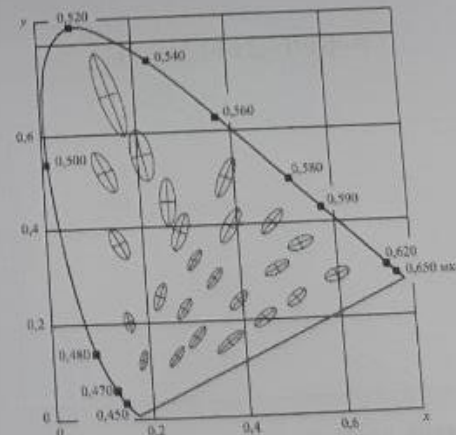
## 2.7. Boshqa kolorimetrik tizimlar

RGB va XYZ kolorometrik tizimlar bilan bir qatorda hozirgi kunda bir qator amaliy masalalarni yechish uchun qulay bo'lgan boshqa kolorometrik tizimlar ishlab chiqilgan va qo'llanmoqda. RGB va XYZ kolorometrik tizimlarining kamchiligi shundaki, bu tizimlarda rangdorlik grafiklaridagi bir xil masofalarga bir vizual farqlar mos tushmaydi. 2.12-rasmdagi rangdorlikning teng seziluvchi farqlari ellipslari buni ko'rsatib turibdi. Ko'rinarli bo'lishi uchun ellipslar rasmida o'n barobar kattalashtirib ko'rsatilgan. Rasmidan kelib

chiqadiki, ko'k ranglar sohasidagi ellipslar yashil rang sohasidagilarga qaraganda anchagina kichkina, natijada ko'k rang sohasida diagrammaning birlik yuzasiga to'g'ri keluvchi farqlanuvchi ranglar soni yashil sohaga nisbatan 400 marta katta bo'lar ekan. Bu keltirilgan kamchiliklardan qutilishga bo'lgan intilishlar teng kontrastli deb ataluvchi bir qator tizimlarni ishlab chiqishga olib keldi va ularning ayrimlari quyida keltiriladi.

## Mansella kolorimetrik tizimi

Bu tizim asosiga rangning uchta xarakteristikasi qo'yilgan va bu xarakteristikalar quyidagi atamalar bilan belgilangan: hue — rang toni, chroma — to'yinganlik va value — yorqinlik. Tizim ranglarning taxminan bir xil zinapoyalarda o'zgarishi namunalari atlasi ko'rinishida amalga oshirilgan va mumkin bo'lgan ranglar sohalarining ko'proq qismi qamrab olingan. Bu namunalar fazoviy rang jismlariga guruhlashtirilgan, hamda axromatik rang (qoradan oqqa) vertikal o'q bo'ylab, rang toni aylana bo'ylab, to'yinganlik radius bo'ylab joylashtirilgan.



**2.12-rasm. Rangdorlikning teng seziluvchi farqlari ellipslari**

Berilgan namunaning rangini aniqlashda uning rangi atlasda

joylashtirilgan namuna ranglar bilan solishtiriladi va berilgan rangdan eng kam farq qiladigan atlasdagι namuna rang topiladi. O'lichash natijasi Mansella rang fazosi shkalasi bo'yicha raqamli indekslarda ifodalanadi [2].

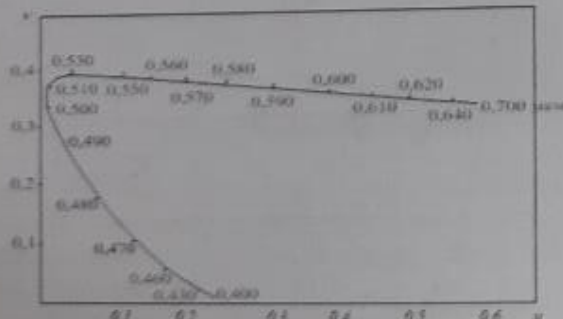
Mansella tizimi hozirgi vaqtida har xil materialarning ranglarini aniqlashda qo'llanilmoxda. Bu tizimning eng katta kamchiligi unda olingan o'lichov natijalarini boshqa kolorimetrik tizimlarda qayta hisoblashda murakkablik tug'dirishidadir. Xuddi shu kabi tizim Ostvald tomonidan ham yaratilgan.

### Mak-Adam kolorimetrik tizimi

Mak-Adam kolorimetrik tizimi teng kontrastli tizim hisoblanadi, ya'ni bu tizimda rangdorlik grafigida bir xil masofalarga bir xil vizual farqlar mos kelishladi. Bu tizim XYZ kolorometrik tizimidan rangdorlik koordinatalarini nochiziqli almashtirish yo'li orqali olingan. Rangdorlikning yangi teng kontrastli koordinatalari  $u, v$  lar nur tarqalishining rangdorligini aniqlaydi va quyidagicha topiladi:

$$u = 4x / (-2x + 12y + 3),$$

$$v = 6y / (-2x + 12y + 3).$$



2.13-rasm. Rangdorlikning teng kontrastli grafigi

2.13-rasmida rangdorlikning teng kontrastli grafigi keltirilgan.

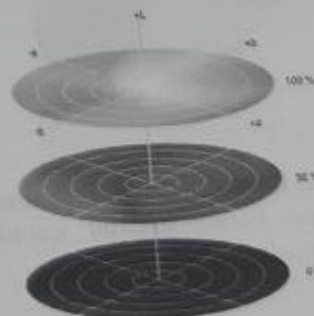
Mak-Adam kolorimetrik tizimi YoXK tomonidan 1960 yilda vaqtincha foydalanish uchun tavsija etilgan.

### L\*a\*b\* kolorimetrik tizimi

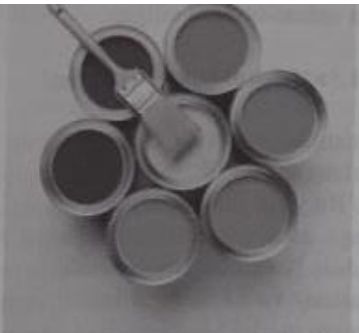
L\*a\*b\* rang sistemasi inson ko'zi orqali tabiiy ranglarni ko'rish texnologiyasiga asoslangan bo'lib, uning qiymatlari hayotiy (real) ranglarga mos keladi. Bu yirik ilmiy kashfiyat hisoblanadi. Shu sababli ham bu rang sistemaga asos solgan olimlar Devid Xyubl va Torsten Vayzel lar haqli ravishda Nobel mukofoti sovrindori bo'lishgan.

Lab – bu to'rtta asosiy va ikkita qo'shimcha, hammasi bo'lib oltita ranglardan tashkil topgan model hisoblanadi (2.14-rasm). Bunda a ning musbat qiymati qizil rangga, manfiy qiymati esa yashil rang qiymatiga mos keladi. b ning musbat qiymati sariq rangga, manfiy qiymati esa ko'k rang qiymatiga mos keladi. a va b larning qiymat qabul qilish chegaralari -120 dan 120 gacha. L ning qiymati 0-100 gacha bo'lib, rangning yorug'lik darajasini beradi. Bunda 0 qiymat qora rangni, 100 esa oq rangni anglatadi. 0 dan 100 gacha oraliqdagi raqamlar oq-qora ranglar aralashmalarini ifodalaydi.

Ta'kidlaganmizdek, ushu CIE Lab rang sistemasi inson ko'zi bilan qabul qilinuvchi real ranglarga yaqin keladi. Shu sababli ham bu rang sistemasi yordamida rang va bo'yoq ishlari bilan bog'liq ilmiy-amaliy masalalarni hal etsa bo'ladi. Bunda albatta standartdagi rang bo'yoqlari yoki rang pigmentlaridan foydalaniladi (2.15-2.16-rasmlar).



2.14-rasm. CIE Lab rang sistemasining fazoviy ko'rnishi.



2.15-rasm. Rang bo'yoglari.



2.16-rasm. Rang pigmentlari.

Bu tizim ham teng kontrastli tizim hisoblanadi va XYZ kolorimetrik tizimidan uning rang koordinatalarini quyidagi formula orqali almashtirish yo'li bilan olingan

$$\begin{aligned} L^* &= 116(y'/y'_n)^{1/3} - 16, \\ a^* &= 500(x'/x'_n)^{1/3} - (y'/y'_n)^{1/3}, \\ b^* &= 200(y''/y'_n)^{1/3} - (z''/z'_n)^{1/3}, \end{aligned} \quad (2.11)$$

bu yerda  $x'n, y'n, z'n$ -lar XYZ tizimida tayanch oq rangning rang koordinatalari.

Bu tizimda  $L^*$  koordinata rangning vizual yorqinligini  $a^*$  - qizil va yashil ranglar nisbatni,  $b^*$  - ko'k va sariq ranglar nisbatini bildiradi. Bu kolorimetrik tizimda ikki rang o'rtasidagi to'liq rang farqi quyidagi formula bilan hisoblanadi

$$E_{ab} = \sqrt{(L^*)^2 + (a^*)^2 + (b^*)^2}, \quad (2.12)$$

bu yerda  $L^*, a^*, b^*$  - har bir rang koordinatasi uchun hisoblangan taqqoslanayotgan ranglar orasidagi masofa. (2.11) va (2.12) formulalar quyidagi shartlardagina qo'llanilasha mumkin  
 $x'/x'_n \geq 0,01, y'/y'_n \geq 0,01, y''/y'_n \geq 0,01$ .

$L^*a^*b^*$  kolorimetrik tizimi YoXK tomonidan 1976 yilda tavsija etilgan. Ko'pgina ishlab chiqaruvchi rangshunoslar rang koordinatalarining qiymatini shu tizimda o'chashadi. Bu kolorimetrik tizim ko'pgina Photoshop, Corel PHOTO-PAINT, CorelDRAW kabi grafik redaktorlarda qo'llaniladi. Grafik redaktorlarda bu tizimdan foydalanilganda rang koordinata qiymatlari shartli birlikka keltiriladi, bunda har xil redaktorlarda ular bir biridan o'zaro farqlanishi mumkin. Corel PHOTO-PAINT grafik redaktorida

$$0 \leq L^* \leq 100, -60 \leq a^* \leq 60, -60 \leq b^* \leq 60,$$

Photoshop grafik redaktorida esa

$$0 \leq L^* \leq 100, -128 \leq a^* \leq 127, -128 \leq b^* \leq 127$$

$$a^*=b^*=0.$$

Ta'kidlaganmizdek, yuqorida keltirilgan rang tizimlaridan turli amaliy masalalarini hal etishda foydalilanadi. Hozirgi kunda rang texnologiyalari bilan ilmiy va amaliy ishlar olib boray otgan dunyodagi bir qator ilmiy markazlar, laboratoriylar hamda firmalarning ish faoliyatini to'g'risida quyida qisqacha ma'lumotlar keltirib o'tamiz.

> **HunterLab ilmiy ishlab chiqarish laboratoryasi**. AQShda joylashgan bu laboratoriyyada ranglar bilan ilmiy tadqiqotlar olib boriladi va uning tadbiqi asosan to'qimachilik fabrikalarida amalga oshiriladi. Tadqiqotlar asosan Lab rang sistemasi uchun mo'ljallangan. Bu laboratoriyaning ish faoliyatini bilan to'liqroq tanishish uchun <http://www.hunterlab.com/> saytiga murojaat qilish mumkin.

> **BabelColor kompaniyasi**. Bu kompaniyada ham ranglarning ilmiy tadqiqotlari va amaliy tajribalari olib boriladi. Unda asosan RGB, XYZ va Lab rang sistemalarida ishlashadi. Ularni bir-biriga almashtirish usullari va rang farqlarini hisoblash kabi tadqiqotlarni olib borishadi. Kompaniyaning ish faoliyatini bilan to'liqroq tanishish uchun [www.BabelColor.com](http://www.babelcolor.com/) saytiga kiring.

> **MetrologyColorLab ilmiy-teknikaviy laboratoryasi**. Rang sistemalari, yorug'liqning optik ta'sirlarida ranglarning o'zgarishlari va ularni hisoblash usullarini taklif etishgan. Shuningdek, ranglar miqdorlarini o'chovchi turli texnik asboblarni ishlab chiqarish va ularning ishslash prinsiplari to'g'risida ko'plab ma'lumotlarni ommaga yetkazishadi. Bu laboratoriya to'g'risida to'liqroq [www.djsu.com](http://www.djsu.com) saytida tanishishingiz mumkin.

> **Avantes firmasi**. Ranglarni kolorimetrik o'chash usullari hamda o'chash asboblarining targ'iboti va savdosi bilan shug'ullanuvchi ishlab chiqarish firmasi. [www.avantes.ru](http://www.avantes.ru) saytida firmaning ish faoliyatini bilan to'liq tanishish mumkin.

> **Techkon firmasi** Techkon firmasi. Germaniyada joylashgan bu firma ranglarni o'chovchi qurilmalarni ishlab chiqarish, targ'ib etish va sotish bilan shug'ullanadi. Bu firmanın Rossiya va MDHdagи vakili "Mak sentr" firmasidir. Firmanın rasmiy sayti <http://www.techkon.com>.

Shuningdek, ranglar tadqiqotlari va uning amaliyotga tadbiqi bilan shug'ullanuvchi boshqa markazlarga DataColor International, CIE,

Munsell Color System, Massachusetts College of Art, Committee for graphic arts technologies standards, Federal Institute for Materials Research and Testing kabilarni misol sifatida ko'rsatish mumkin.

### **HLS va HSB kolorimetrik tizimlari**

Dizaynerlar va rassomlarga yaxshi tanish bo'lgan bu tizimlarning nomlanishi quyidagi so'zlarning qisqartmasidan olingan: hue, lightness, saturation — rang toni, yorqinligi, to'yinganligi, birinchi holda, hue, saturation, brightness — rang toni, to'yinganlik, yorqinligi, ikkinchi holda. Mansella kolorimetrik tizimi kabi bu tizimda rang toni graduslarda beriladi, to'yinganlik va yorqinlik protsentlarda beriladi. Bu ikkala kolorimetrik tizimlar ko'pgina umumiylklarga va ayrim farqlarga ega. HSB tizimida rangning barcha uchta koordinatasi o'zar erklili va bu uning ustun jihatni hisoblansa, HSL tizimida *L* koordinata *S* to'yinganlikka bog'liq bo'ladi. Rang koordinatalarining o'zar erkliligi tasvirlarni qayta ishslashda ma'lum qulayliklarni yaratadi, misol uchun, yorqinlik va rang buzilishlарини alohida tahrirlash imkoniyatini beradi.

### **CMY va CMYK kolorimetrik tizimlari**

Bu kolorimetrik tizimlari tasvirlarni qog'ozga bosib chiqarish qurilmalari bilan ishslashda ranglar hisobi uchun mo'ljallangan. Bu kabi qurilmalarga purkovchi va lazer printerlari va bosma stanoklari kiradi. CMY kolorimetrik tizimining nomi bu tizim uchun asosiy ranglar sifatida qabul qilingan ranglarning nomlari bosh harflaridan hosil qilingan: Cyan — moviy, Magenta — qirmizi, Yellow — sariq. Bu ranglar RGB kolorimetrik tizmida foydalaniладиган asosiy ranglar (qizil, yashil, ko'k)ga qo'shimcha hisoblanadi. CMYK kolorimetrik tizimida qo'shimcha yana bitta rang koordinatasi K – asosiy qora rang kiritilgan. Bu qo'shimcha rangning kiritilishi bosib chiqarishda ranglar sarfini qisqartirish hamda tasvirlarda qora va kulrang tonlar sifatini yaxshilash imkoniyatini beradi. Bu kolorimetrik tizimlar ham rangli tasvirlarni bosib chiqarishga tayyorlash uchun mo'ljallangan zamonaviy grafik redaktorlarda qo'llaniladi.

Bu rang sistemasi asosan rangli printerlar uchun mo'ljallangan rang sistemasi hisoblanadi. Bunda CMYK: Cyan-havorang, Magenta-binafsha (siyoh) rang, Yellow-sariq, Key-kalit (qora) ma'nolarini anglatadi (2.17-rasm).



2.17-rasm. CMYK rang sistemasi.



2.18-rasm. RGB kolorimetrik tizimida rangli tasvir komponentalari

Xulosa qilib shuni aytishimiz mumkinki, yuqorida bugungi kunda qo'llaniladigan barcha kolorimetrik tizimlar keltirilmadi, balki raqamli tasvirlarni qayta ishlash uchun muhim deb hisoblanuvchi ayrim tizimlar keltirildi. Quyidagi kolorimetrik tizimlar bu yerda keltirilmasdan qoldi: U\*V\*W\*, SØW\*, L\*U\*V\*, NTSC va boshqalar. Ular haqidagi to'liqroq ma'lumotlar ushbu adabiyotlarda keltirilgan [2, 18].

Kolorimetrik tizimlar bir biridan o'zaro farq qilishiga qaramasdan, ular uchun umumiy bo'lgan bitta xususiyat kuzatiladi, ya'ni tasvirdagi har xil rang komponentalariga konturlar aro kuchli korrelyatsion bog'liqlikning mavjudligi. 2.18-rasm bu aytilgan fikrni ko'rsatib turibdi. Bu quyidagicha izohlanadi, kontur bilan chegaralangan soha bo'ylab rang nisbatan sust o'zgaradi, bir ob'ektdan boshqa ob'ektga

o'tganda esa kuchli o'zgarish kuzatiladi.

### 2.8. Rang modellari (sistemalari)ni o'zaro bir-biriga matematik almashtirish usullari

Энди стандарт ранг системаларини бир-бирига математик алмаштириш усуллари билан танишамиз.

Bir rang systemasidan ikkinchi rang systemasiga ytiishi "→" cabi belgi bilan ifodalaimiz. Masalan, RGB rang systemasidan ISH rang systemasiga ytiish usuli учун  $RGB \rightarrow ISH$  cabi belgilashidan foydalananamiz. Demak, boşladik.

#### **RGB → ISH .**

Bunda  $ISH$  rang systemasini  $I$  – кувват,  $S$  – тўйинганлик ва  $H$  – ранглилик cabi tushuniladi.  $RGB$  dan  $ISH$  rang systemasiga ytiish formulasi kуйидаги кўринишга эга,

$$\left. \begin{aligned} I &= (r + g + b) / 3 \\ S &= 1 - \min(r, g, b) / I \\ H &= \arctan (\sqrt{3}(g - b) / (2r - g - b)) \end{aligned} \right\},$$

$$\text{бу ерда, } r = \frac{R}{R + G + B}; \quad g = \frac{G}{R + G + B}; \quad b = \frac{B}{R + G + B}$$

#### **RGB → YUV.**

$$\left. \begin{aligned} Y &= 0.299R + 0.587G + 0.114B \\ U &= -0.147R - 0.289G + 0.437B \\ V &= 0.615R - 0.515G - 0.100B \end{aligned} \right\}$$

#### **RGB → XYZ .**

$$\left. \begin{aligned} X &= 0.607R + 0.1740G + 0.200B \\ Y &= 0.299R + 0.5870G + 0.114B \\ Z &= 0.000R + 0.0660G + 1.116B \end{aligned} \right\}$$

**XYZ → RGB .**

$$\begin{bmatrix} R \\ G \\ B \end{bmatrix} = \begin{bmatrix} 3.240479 & -1.537150 & -0.498535 \\ -0.969256 & 1.875992 & 0.041556 \\ 0.055648 & -0.204043 & 1.057311 \end{bmatrix} \cdot \begin{bmatrix} X \\ Y \\ Z \end{bmatrix}$$

**XYZ → Lab.**

$$L' = 116f(Y/Y_n) - 16,$$

$$a^* = 500[f(X/X_n) - f(Y/Y_n)],$$

$$b^* = 200[f(Y/Y_n) - f(Z/Z_n)].$$

бу ерда,

$$f(t) = \begin{cases} t^{1/3}, & \text{ағар } t > (6/29)^3 \\ \frac{1}{3}\left(\frac{29}{6}\right)^2 t + \frac{4}{29}, & \text{акс холда.} \end{cases}$$

$$X_n = 96,720; \quad Y_n = 100; \quad Z_n = 81,427.$$

*Lab* системасында үхшаш (яқын) бүлгелер *Luv* системасында күйидегида үтилады.

$$\begin{aligned} u &= 13 W(4X/(X+15Y+3Z) - 0.199) \\ v &= 13 W(6Y/(X+15Y+3Z) - 0.308) \end{aligned}$$

**Lab → XYZ.**

$$X = X_n \cdot (P + a^*/500)^3$$

$$Y = Y_n \cdot P^3$$

$$Z = Z_n \cdot (P - b^*/200)^3$$

бу ерда  $P = (L' + 16) / 116$ .

**RGB → PHS .**

$$\begin{aligned} P &= \sqrt{R^2 + G^2 + B^2} \\ H &= \arctan\left(\frac{\sqrt{2}(B-R)}{\sqrt{2}G-R-B}\right) \\ S &= \arccos\left(\frac{R+\sqrt{2}G+B}{2P}\right) \end{aligned}$$

**RGB → YIQ .**

$$\begin{bmatrix} Y \\ I \\ Q \end{bmatrix} = \begin{bmatrix} 0.299 & 0.587 & 0.114 \\ 0.596 & -0.275 & -0.321 \\ 0.212 & -0.523 & 0.311 \end{bmatrix} \cdot \begin{bmatrix} R \\ G \\ B \end{bmatrix}.$$

**YIQ → RGB .**

$$\begin{bmatrix} R \\ G \\ B \end{bmatrix} = \begin{bmatrix} 1 & 0.956 & 0.621 \\ 1 & -0.272 & -0.647 \\ 1 & -1.105 & 1.702 \end{bmatrix} \cdot \begin{bmatrix} Y \\ I \\ Q \end{bmatrix}.$$

**RGB → CMYK .**

$$\begin{aligned} C &= 1 - (R/255) \\ M &= 1 - (G/255) \\ Y &= 1 - (B/255) \\ K &= \min(C, M, Y) \end{aligned}$$

**CMYK → RGB .**

$$\begin{aligned} R &= (1-C) \cdot 255 \\ G &= (1-M) \cdot 255 \\ B &= (1-Y) \cdot 255 \end{aligned}$$

**RGB → HLS .**

$$H = \text{Cos}^{-1} \left\{ \frac{\frac{1}{2}[(R-G)+(R-B)]}{\sqrt{(R-G)^2 + (R-B)(G-B)}} \right\},$$

$$S = 1 - \frac{3}{R+G+B} [\min(R,G,B)],$$

$$V = \frac{1}{3}(R+G+B),$$

$$P = \begin{cases} 0, & \text{azap max} = \min \\ 60^\circ \times \frac{g-b}{\max-\min} + 360^\circ \mod 360^\circ, & \text{azap max} = r \\ 60^\circ \times \frac{b-r}{\max-\min} + 120^\circ, & \text{azap max} = g \\ 60^\circ \times \frac{r-g}{\max-\min} + 240^\circ, & \text{azap max} = b \end{cases}$$

$$l = \frac{1}{2}(\max+\min)$$

**HSV → RGB .**

1)  $0^\circ < H \leq 120^\circ$  учун

$$b = \frac{1}{3}(1-S), \quad r = \frac{1}{3} \left[ 1 + \frac{S \cos H}{\cos(60^\circ - H)} \right], \quad g = 1 - (r+b).$$

2)  $120^\circ < H \leq 240^\circ$  учун

$$r = \frac{1}{3}(1-S), \quad g = \frac{1}{3} \left[ 1 + \frac{S \cos H}{\cos(60^\circ - H)} \right], \quad b = 1 - (r+b).$$

3)  $240^\circ < H \leq 360^\circ$  учун

$$g = \frac{1}{3}(1-S), \quad g = \frac{1}{3} \left[ 1 + \frac{S \cos H}{\cos(60^\circ - H)} \right], \quad r = 1 - (r+b).$$

## 2.9. Rangli tasvirlarni ekranga va bosmaga chiqarish

Real sahna kuzatilanda ko'z to'r pardasiga tabiatda mavjud barcha ranglarni o'z ichiga olgan tasvir proeksiyalanadi. Bunga sabab, bu tasvirni hosil qiluvchi nurlanishning spektral tarkibi hech qanday chegaralanmagan. Biroq televizor ekranidagi tasvir, fotografiya yoki bosib chiqarilgan mahsulotlarda rangli tasvirni kuzatishda boshqa holat bo'ladi. Bunda ranglar chekli sondagi komponentalardan sintez qilinadi, misol uchun, kompyuter ekranini monitoridagi angli tasvir yoki rangli fotografiya holatida uchta rangdan foydalilanadi. Bunday tasvirlarni taqdim qilishda foydalilanadigan chekli sondagi komponentalar chegaralangan rang diapazonini hosil qilish imkoniyatini beradi. Bu muammoni batafsil ko'rib chiqamiz.

Ma'lumki, tasvirni hosil qilishda rangni olishning ikki usulidan foydalilanadi: subtraktiv va additiv. Rang hosil qilishning *subtraktiv usuli* shundan iboratki, oq rang bo'yalgan muhit orqali o'tkaziladi (rang filtri), natijada uning spektral tarkibining ma'lum qismi yutiladi. Bunga mos ravishda hosil qilingan rang yorqinligi berilgan oq rang

yorqinligidan past bo'ladi.

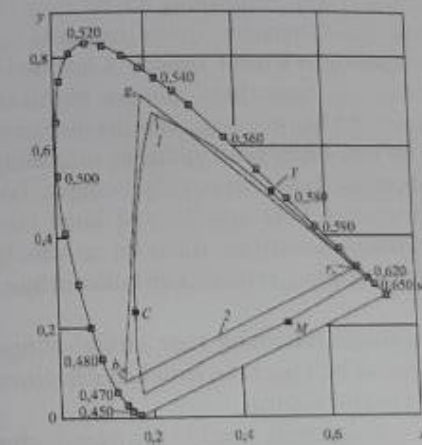
Additiv usulda rang hosil qilishning mazmuni shundan iboratki, bo'yagan yorug'lik oqimlari aralashtiriladi (yig'iladi), yangi rang hosil qilinadi. Subtraktiv usuldan farqli ravishda, additiv usulda natijaviy rang yorqinligi aralashtirilayotgan ranglar yorqinligidan yuqori bo'ladi va ularning yig'indisiga teng bo'ladi.

Subtraktiv usul raqamli fotografiyada fotokartochka tayyorlashda, slaydlar tayyorlashda, bukletlar yaratishda, rangli kinoda qo'llaniladi. Rangli slaydlarni mozaykali rangli tasvir hosil qiluvchi elementar rangfiltrleri to'plami sifatida qarash mumkin. Elementar rangfiltrlari ularni tashkil qilgan uchta qatlardan iborat: zangori, qirmizi va sariq, va ularning har biri yorug'likning o'z spektri bo'yicha 1/3 qismini yutadi. Bo'yagan qatlamlar yutush koefitsientlari qiymati elementar rangfiltrni rangini aniqlaydi. Rang qamrovini, ya'ni rangli fotografiyada taqdim qilinayotgan ranglar sohasini uchlarida fotomaterialning asosiy ranglari joylashtirilgan rang uchburchagi yordamida baholash mumkin. Qaralayotgan holatda uchburchak ichida yotgan barcha ranglar taqdim qilinadi, uchburchakdan tashqarida yotgan ranglarni esa taqdim qilib bo'lmaydi. Rang uchburchagini uchlaridagi ranglar bugungi kunda ishlatalayotgan bo'yovchi moddalarda (zangori, qirmizi va sariq) qizil, yashil va ko'k bo'ladi. Aniq tahlillar shuni ko'rsatadiki, qaralayotgan holat uchun taqdim qilinayotgan ranglar sohasi to'g'ri chiziqli emas, balki 2.19-rasmda ko'rsatilganidek egri chiziqli uchburchak bilan aniqlanadi. Bu quyidagicha izohlanadi, ya'ni additiv usuldan farqli ravishda subtraktiv usulda rang hosil qilishda natijaviy rang berilgan rang nuqtalarini tutashtiruvchi to'g'ri chiziq kesmasida emas, balki egri chiziq kesmasida joylashadi. Bu haqdagi to'liq ma'lumotlarni [7] dan topish mumkin.

Tasvirmi kineskop yoki suyuq krista panel ekraniga chiqarishda, hamda ularni bosib chiqarishda rang hosil qilishning additiv usulidan foydalaniлади.

Rasvirmi ekranga chiqarishda, misol uchun kineskop ekraniga, tasvirda rang qizil, yashil va ko'k ranglarini aralashtirish yo'li orqali hosil qilinadi. Bu uch rang esa uchta skanerlanuvchi elektron nur ta'siri ostida uning mozayka ekranida lyuminoforlarning uch turdag'i dog'i ko'rinishida hosil qilinadi. Yoritilayotgan lyuminafor dog'lari orasidagi masof millimetrlaring o'ndan bir ulushicha, dog'ning o'lchami ham taxminan shuncha bo'ladi. Bu esa ko'ruchilarga bu ranglarni fazoviy

aralashtirilganday ko'rindi. Bu hol uchun taqdim qilinayotgan ranglar sohasi uchlarida lyuminoforlarda ishlataladigan spektrlar bilan aniqlanuvchi ranglar joylashtirilgan rang uchburchagi bilan aniqlanadi. 2.19-rasmda NTSC rangli televideniya tizimi uchun qabul qilingan lyuminoforlar ranglarini tashkil qiluvchi rang uchburchagi ko'rsatilgan. Rasmdan ko'rini turibdiki, yashil rangning ko'pgina qismini kineskop ekranida ko'rsatib bo'lmaydi, shunga qaramasdan buning tasviri vizual sifatiga ta'siri deyarli sezilmaydi. Bunga sabab, rangdorlikning bu sohasida ko'rishning rang farqlashi paysayadi (2.19-rasmga qaralsin).



2.19-rasm. Rang grafigi: 1 — fotomaterialning rang qamrovi;  
2 — NTSC kineskopning rang qamrovi

Kineskop ekraniga tasvirmi chiqarish bilan bog'liq rang hisoblarini bajarishni qulaylashtirish maqsadida ayrim hollarda uning kolorimetrik tizimi yaratiladi va bunda asosiy ranglar sifatida lyuminoforlarning yoritilish ranglaridan foydalaniлади. Shu tarzda tayanch sifatida S turdag'i oq rang ishlataladigan NTSC kolorimetrik tizim yaratilgan. Bunda rangdorlik koordinatalari: qizil  $r_N$   $x=0,67, y=0,33$ , yashil  $g_N$   $x=0,21, y=0,71$ , ko'k  $b_N$   $x=0,14, y=0,08$ , yorqinlik esa quyidagi formula bilan aniqlanadi

$$L = 0,3r_N + 0,59g_N + 0,11b_N.$$

Suyuq kristalli va plazmali panellardan foydalanishda ham xuddi shunday yo'l tutiladi.

Tasvirlarni bosmaga chiqarishda rastrlash usulidan foydalaniladi. Bu usulning asosida har bir yacheyka rastr elementi (piksel) sifatida aniqlanuvchi tasvirni rastga yoyish yotadi. Odatda tasvirni bosmaga chiqarishda kerakli rang to'rtta rangni aralashtirish yo'li orqali hosil qilinadi: zangori, qirmizi, sariq va qora. Bu uch rangga qora rangni qo'shilishiga sabab, bosib chiqarishda qo'llaniladigan bo'yoqlardagi aralashmalar bilan kulrang va qora tuslarni hosil qilishga erishilmaydi. Buning o'miga ifloslangan jigarrang tus hosil bo'ladi. Raster elementidagi aralashtirilayotgan ranglarning har birining to'yinganligi dog'lardan iborat nuqtalar o'chami va qo'shilgan qora rang miqdori bilan aniqlanadi. Nuqtaning o'chami qancha katta bo'lsa, ya'ni u qancha ko'p miqdordagi dog'lardan hosil qilingan bo'lsa va qora rang qancha kam qo'shilgan bo'lsa bu rang shuncha to'yingan bo'ladi. Aksincha, berilgan bo'yoq bilan hosil qilingan nuqtaning o'chami nolligi qog'ozning berilgan rastr elementida berilgan bo'yoq bilan qoplash amalga oshirilmagan yoki qora bo'yoq bilan hosil qilingan nuqta bilan qoplash amalga oshirilgan. Rang bir qancha bo'yoqlarni aralashtirish natijasida hosil qilingan murakkab hollar uchun ham xuddi shu kabi ish tutiladi.

Bosib chiqarilgan rangli tasvirning rastr tarkibi normal kuzatuv sharoitida sezilarli darajada bo'lmasa, tasvirni kattalashtiruvchi shisha ostida ko'rulganda juda yaxshi seziladi.

Bosib chiqarish mashinalarida rangli tasvirlarni chop etishda ranglarni ajaratish bosma shakllari ishlab chiqiladi va ularning har biri o'zining tasvirga mos rastr ko'rinishida ifodalangan rang komponentasini qog'ozga o'tkazadi. Bosib chiqarilgan tasvir rastr tarkibi sezilarligini kamaytirish uchun zangori, qirmizi, sariq va qora rastrlar gorizonal o'qqa nisbatan har xil burchakka buriladi. Misol uchun, eng sezilarli bo'lgan rastrning qora komponentasi 45°ga buriladi, bunda qora rastr shaxmatli tuzilishni oladi, ya'ni tasvimi fazoviy diskretlashda eng qulay tuzilishni oladi. Qolgan rastrlarning taklif qilinayotgan burish burchaklari: zangori uchun — 105°, qirmizi uchun — 75°, sariq uchun — 90° yoki 0°. Bunda rastrlar o'zaro birin qoplashi ham mumkin, qoplamasligi ham mumkin. To'rt rangli bosib chiqarishda ranglarni aks ettirishning yuqoridaagi xususiyatlari tufayli ranglarni aks ettirish sohasi qog'ozda rangli fotografiya va

monitor ekranidagiga nisbatan kichik bo'ladi.

RGB kolorimetrik tizimidan CMYK kolorimetrik tizimiga ranglarni almashtirishdagi hisoblar yetarlicha murakkab bo'ladi.

Ranglari ajratilgan tasvirlarni olish uchun ranglarni ajratishning maxsus dasturlaridan foydalaniladi, ularning ayrimlari grafik muharrirlar tarkibida bo'ladi, misol uchun, Photoshop, Corel PHOTO-PAINT va boshqalar. Bunda almashtirishning quyidagi variantlari bo'lishi mumkin.

□ *Persepson*. Joriy tasvirdagi ranglarning nisbatlarini saqlab qoladi, bunda rangning o'zi o'zgarishi mumkin.

□ *To'yinganlikni saglash bilan*. Joriy tasvirdagi to'yinganliklar nisbatlarini saqlanishi ta'minlanadi, bunda ham rangning o'zi o'zgarishi mumkin.

□ *Nisbiy kolorimetrik*. Berilgan tasvirning bosib chiqarish qurilmasining ranglarni aks ettirish sohasiga kiruvchi ranglari saqlab qolish ta'minlanadi. Sohadan tashqarida bo'lgan ranglar esa yorqinligi shunday bo'lgan boshqa ranglar bilan almashtiriladi.

□ *Absolyut kolorimetrik*. Oq nuqtalarni o'chirib qo'yishni ta'minlaydi. To'rtrangli bosib chiqarish qizil rangni yaxshi aks ettiradi, biroq ko'k, yashil, pushtirang, binafsharang va jigarrang ranglarni yorqin aks ettirishi mumkin emas.

Bu kamchilikni bartaraf etish maqsadida bosib chiqarishning HiFiColor deb nomlanuvchi yangi texnologiyasi ishlab chiqilgan. Buni amalga oshirishning bir qator variantlari mavjud bo'lib, bu variantlarning umumiyligi bosib chiqarish uchun ranglar sonini kengaytirish hisoblanadi. Misol uchun, HiFiColor 300 tizimida yorqin qizil, yashil va ko'k ranglar olish uchun yetti xil har xil bo'yoqlardan ishlatiladi. Hexachrome tizimida CMYK ranglariga qo'shimcha yana ikki rang, to'q sariq va yashil qo'shilgan. Hewlett Packard firmasida ishlatilgan tizimlarda purkovchi printerlarda rasmlarni bosib chiqarish uchun oltita rang qo'llaniladi [3].

## 2.10. Ranglarni boshqarish, kalibrovkalash, CMS tizimi asoslari

Kompyuter texnologiyalarining rivojlanishi kichik nashriyot tizimlarini yaratish va qo'llashga olib keldi va bularda kompyuter grafikasi muhim o'rnlardan birida turadi. Tasvirlarni bosib chiqarishga tayyorlashda grafik muharrirlardan foydalanish bosib chiqarilayotgan

mahsulot sifatini oshirib, bunga ketadigan vaqtini qisqartirib poligrafiyaning imkoniyatlarini kengaytirmoqda. Bunda bir texnologik jarayonga quyidagilar kiritilgan bo'ladi:

- tasvirlarni kiritish qurilmasi: skanerlar, videokameralar, raqamli fotoapparatlar;
- tasvirlarni kompyuterda qayta ishlash jarayonlarini nazorat qilish uchun ishlatalidigan monitorlar;
- tasvirlarni bosib chiqarish qurilmalari, bunga purkovchi va lazerli printerlar, har xil turdag'i bosib chiqarish stanoklarini kiritish mumkin.

Bir qator sabablarga ko'ra bu qurilmalar har xil kolorimetrik tizimlarda yoki boshqacha aytganda har xil rang modellarida ishlaydi. Bu qurilmalarning tasvirlarda ranglarni aks ettiruvchi rang fazosida aniqlangan asosiy ranglari ustma ust tushmaydi. Misol uchun, kompyuter monitorida ishlatalidigan kineskoplarning asosiy ranglari ishlatalayotgan lyuminoforlar turi bilan aniqlanadi, chunki har xil turdag'i monitorlarda nurlanishning spektral xarakteristikalari bilan o'zaro farqlanuvchi lyuminoforlar ishlatalidi. Suyuq kristalli panellardan foydalanilganda ham shunga o'xshash holat o'rinni bo'ladi. Nashriyotda ham shunga o'xshash holat o'rinni, bunda aks ettiruvchi ranglarning ranglar fazosi bosib chiqariladigan qog'oz sorti va poligrafik bo'yonna bog'liq holda o'zgaradi. Bundan tashqari, ushbu bog'lanishga kiritilgan qurilmalarning har birining xarakteristikalari (rang profillari) vaqt o'tishi bilan o'zgaradi. Agar bularning barchasi e'tiborga olinmasa, bosib chiqarilgan tasviri asl tasviming ranglarini to'g'ri takrorlashini kutish mumkin emas. Tasviri chop etishga tayyorlashning barcha bosqichlarida ranglarni boshqarish zarurati shundan kelib chiqadi. Rangni boshqarish muammosining mohiyati tizimdag'i har bir bo'g'inining barqaror rang profillarini o'zaro muvofiqlashtirish va saqlashdan iborat.

Rangni boshqarish texnologiyasining birinchi va asosiy komponenti tasvirlarni chop etishga tayyorlashda ishlatalidigan barcha qurilmalarni kalibrovkalashdir. Kalibrovkalash - bu tizimdag'i har bir qurilmani ishlab chiqaruvchining spesifikasiyasiga muvofiq ranglarni berishi uchun sozlash jarayoni.

Kalibrash jarayonini birinchi navbatda electron nur trubkasidan foydalanadigan monitorni o'z ichiga olgan tizim misolida ko'rib chiqamiz. Kalibrovkalashni monitoridan boshlash tavsija etiladi, chunki monitor tizimdag'i barqarorligi eng past qurilma bo'lib, kamida oyiga

bir marta kalibrovkalash kerak. Kalibrovkalashni boshlashdan oldin, uning xususiyatlari barqarorlashishi uchun uni yarim soat ishlashiga ruxsat berish kerak. Ham apparat, ham qo'lida kalibrovkalash usullari qo'llaniladi. Uskunani kalibrovkalash moslamalari odatda ekranga so'rg'ichda maxkamlangan datchikdan va kalibrovkalash dasturidan iborat. Ushbu qurilmalar monitoring "oq"ini oldindan belgilangan rang haroratiga moslashtiradi, bu esa monitor tomonidan qayta ishlab chiqarilgan barcha boshqa ranglarni avtomatik ravishda moslashtiradi. Ushbu qurilmalar monitoring "oq"ini ma'lum bir rang haroratiga moslashtiradi, bu esa monitor tomonidan qayta ishlab chiqarilgan barcha boshqa ranglarni avtomatik ravishda moslashtiradi. Bundan tashqari, ushbu qurilmalar yordamida yorug'lik balansi va uzatish funksiyasini (yorug'lik xarakteristikasi) sozlash mumkin. To'g'ri sozlash kulrang tonlarning maksimal neytralligini ta'minlashga imkon beradi. Apparatli kalibrash uskunalarini uning natijalarini diskka yoziladigan ISS profili ko'rinishida saqlashga imkon beradi. Profilni saqlash undan boshqa monitorlarni sozlash uchun foydalanish imkonini beradi.

Qo'lida kalibrash usuli bilan odatda grafik muharrirga biriktirilgan maxsus dasturiy ta'minot modulli ishlataladi - Adobe Photoshop bo'lgan holda bu Adobe Gamma bo'ladi.

Qo'lida kalibrash ish olib boriladigan yorug'lik muhitini standartlashtirishdan boshlanishi kerak. Avvalo, yorug'lik va devorlarning yorug'ligi neytral ekanligiga ishonch hosil qilish kerak. Rasmlar yaqinidagi yorqin chiroqlar yorug'likni idrok etishni buzadi. Haqiqiy kalibrashni kalibrash dasturiy modulli o'z ekranida ko'rsatadigan sinov tasviriga muvofiq monitoring yorqinligi va kontrasti sozlamalarini o'rnatish bilan boshlash kerak. Ushbu sozlash monitorni boshqarish tugmalari yordamida amalga oshiriladi. Keyinchalik, kalibrash dasturi tomonidan taqdim etilgan ro'yxatda monitor turini tanlash kerak va agar ro'yxatda kerakli turdag'i monitor bo'lmasa, lekin foydalanuvchi monitor kineskopida ishlatalidigan lyumenoflarning texnik ma'lumotlarini bilsa, ushbu ma'lumotlarni onlayn kiritish lozim. Shundan so'ng, kineskopning uzatish funksiyasini (yorug'lik xarakteristikasini) aniqlaydigan gamma qiymatini belgilash kerak. Ushbu sozlash, shuningdek, kalibrash modulli tomonidan ekranda ko'rsatiladigan maxsus sinov tasviriga muvofiq amalga oshiriladi. Gamma qiymatini sozlashda ikkita

imkoniyat ko'zda tutilgan, xususan kuilrang komponent uchun uning kerakli qiymatlarni tanlash, ya'ni bir vaqtning o'zida uchta yorug'lik komponenti uchun yoki har bir komponent uchun alohida-alohida kerakli qiymatlarni tanlash mumkin. Niroyat, tayanch oq nurining yorug'lik harorati o'matiladi. Garchi rangli tasvirlar uchun standart 5000 K yorug'lik haroratini talab qilsa-da ko'pincha yorug'lik harorati 6500 K qilib o'matiladi. Kalibrlash natijalari ISSning yorug'lik profilini sifatida saqlanadi. Endi, suyuq kristalli panelni ishlataligan monitorni qo'lda kalibrlash xususiyatlarini ko'rib chiqaylik. Bunday holda, elektron nur trubka monitorida bo'lgani kabi, oq rangdagi yorqinlik darajasini birinchi navbatda sinov namunasi yordamida o'matish va quyidagi fikrlarga amal qilish kerak. Ushbu parametrn sozlashda orqa yorug'likning yorqinligini o'zgartirish hisobiga bir vaqtning o'zida butun dinamik diapazonda yorqinlik darajasi o'zgaradi. Yorqinlik darajasini pasaytirish tasvirning chuqur soyalaridagi detallarning farqlanmasligiga olib keladi, chunki ularning kontrasti ko'rishning differentsial chegarasidan past bo'ladi, bu vizual tizimning kichik kontrastlarni ajratish qobiliyatini belgilaydi (3.3-bo'limga qarang). Keyingi qadam kontrastni o'matishdir. Kontrastni sozlashda qora darajaga mos keladigan signal o'zgarmaydi, boshqa darajalarga mos keladigan signallar esa ularning raqamli qiymatlariiga mutanosiblikni saqlagan holda o'zgaradi. Kontrastni pasaytirish buning natijasida yuzaga keladigan barcha oqibatlari bilan oq rangdagi yorqinlikning pasayishiga olib keladi va kontrastning haddan tashqari oshishi oq sohada yorqinlikning cheklanishiga olib keladi, chunki suyuq kristall panelning yorug'lik xarakteristikasi C shaklida bo'ladi. Oq rangdagi cheklowning natijasi yorqin detallarni ajratishning yo'qolishidir. Va niyoyat, asosiy RGB ranglarining intensivligini kanallar bo'yicha moslashtirish yo'li orqali oq yorug'likning rang haroratini belgilash kerak bo'ladi. Rangli tasvirlar bilan ishlash uchun rang harorati 5000 K standart bo'lishiga qaramasdan, bu yerda ham electron nur trubkali monitorlarda bo'lgani kabi ko'p hollarda rang haroratini 6500 K qilib o'matiladi. Kalibrlash natijalari ISSning yorug'lik profilini sifatida saqlanadi.

Monitorni kalibrlash tugagach, skanerni kalibrashga o'tiladi. Barabonli skanerlar, yuqori darajadagi planshet skanerlari, shuningdek, diapositivlardan rasmlarni kiritish uchun mo'ljallangan skanerlar har bir yooqishda avtomatik ravishda kalibrланади. O'rta sinfdagi planshet

skanerlarini ushbu maqsad uchun maxsus kalibrlash dasturlaridan va skanerlar bilan birga kuilrang yarim ton yoki rangli shablonlar shaklida yetkazib beriladigan etalon rasmlaridan foydalangan holda qo'l bilan kalibrash zarur.

## 2 Bob bo'yicha nazorat savollari

1. Nima uchun ranglarni bosil qilish uchun uchta asosiy rangdan foydalilanildi?
2. Ko'rishning uch komponentalni tabiatini haqidagi gipoteza kim tomondan ilgari surilgan ?
3. Rang tenglamalari bo'yicha tajribani tushuntirib bering.
4. Ranglarni tengligi aksiomalari nima uchun ishlataladi?
5. Ranglarni aralshtirishning uchunchi qonuni nimadan iborat ?
6. Ranglarni qo'shish qonunini izohlab bering.
7. Ranglamni ayirish qonunini tushuntirib bering.
8. Kolorometrik tizim yaratish uchun qanday talablar qo'yiladi ?
9. RGB poloremetrik tizimini sharxlab bering.
10. XYZ kolorimetrik tizimlarining afzalligi va kamchiligi nimaladan iborat ?
11. Ikki rang aralashmasidan xosil bo'lgan rang koordinatalari qanday aniqlanadi?
12. Uch rang aralashmasi rangini aniqlashda qanday koordinatalaridan foydalilanildi ?
13. Rang temperaturasi deganda nima tushiniladi ?
14. Mansella kolorimetrik tizimi asosida nima yotadi ?
15. Lab kolorimetrik tizimini tushuntirib bering.
16. HLS va HSB kolorimetrik tizimlari haqida fikr bildiring.
17. CMY va CMYK kolorimetrik tizimi nima uchun kiritilgan ?

### 3 Bob

#### Ko'rish tizimi va tasvirlarni qabul qilish

##### 3.1. Tasvirlarni qayta tiklash sifatini baholash muammolari

Tasvirlarni sur'atga olish, uzatish va taqdim etish jarayonlarida rasmlarga buzilishlar(xato ko'rsatishlar) va shovqinlar qo'shiladi. Buzilishlar chiziqli (chastotali), nochiziqli, rangli va geometrik bo'lishi mumkin.

Chastotali buzilishlar amplituda-chastotali va faza-chastotali buzilishlarga bo'linadi.

Amplituda-chastota buzilishlarida spektrning turli chastotali komponentlar orasidagi boshlang'ich amplituda munosabatlari o'zgaradi.

Faza-chastota buzilishida spektrning chastota komponentlarining dastlabki fazalari o'zgaradi. Nochiziqli signal buzilishlari signalning lahzali qiymatlar orasidagi dastlabki bog'liklar buzilganligida namoyon bo'ladi.

Rang buzilishlarida ranglar to'g'ri uzatilmaydi. So'ngisi, geometrik buzilishda sahnada ko'rsatilgan ob'ektlarning shakli o'zgaradi. Bu buzilishlarning barchasi tomoshabin tomonidan turliqa qabul qilinadi. Tasvirlarning amplituda-chastotali buzilishlari uzatiladigan yorug'lik va rang chegaralarini turidek va tasviri keyingisiga ergashgan buzilishlar ko'rinishida namoyon bo'ladi.

Shunday qilib, spektrning yuqori fazoviy chastotalarining susayishi aniq yorug'lik va rang chegaralarining xiralashishiga olib keladi va spektrning pastki fazoviy chastotalarining susayishi tasvirda soya deb ataladigan narsalarning paydo bo'lishiga sababchi bo'ladi.

Agar tasvir axromatiik bo'lsa, tasvirning o'tkir yorug'lik chegarasi bo'lsa yorug'roq detallardan keyin soyalar cho'zilgan to'qroq davomiyliklarni tashkil qiladi, aksincha to'qroq detallardan keyin davomiyliklar yorqinroq bo'ladi.

Rangli tasvirlarga, ularga rangli soyalar qo'shiladi, ular o'tkir rang o'tishlari bilan yorqin rangli tafsilotlardan keyin qo'shimcha rangdagi cho'ziq davomiyliklar hisoblanadi. Tasvirlarning fazoviy spektridagi faza-chastotali buzilishlar, ularning turiga qarab, tasvir detallarining konturlanishiga, takrorlanishlar paydo bo'lishiga va boshqa keraksiz hodisalarga olib kelishi mumkin. Shuni ta'kidlash kerakki, insonning

ko'rish tizimi faza-chastotali buzilishlarga juda sezgir.

Tasvir signalining nochiziqli buzilishi yorqinlik gradatsiyasini uzatishda xatolarga, shuningdek, rangli gammaning noto'g'ri uzatilishiga olib keladi.

Tasvirlarni uzatishda, rang va geometrik buzilishlarnig kichik o'lchamini ta'minlashga e'tibor berish kerak. Buzilish va xalaqitlar tasviri ko'rsatishda sifatini pasaytiradi va ularni baholash uchun miqdoriy mezonlar zarur bo'ladi.

Ehtimol, yulduz tasvirini optik qurilma yordamida ko'rsatish sifatini baholash uchun taklif qilingan birinchi mezonlardan biri Reley mezon bo'lgan. Reley mezonidan foydalanib, ijro etish sifatining faqat bitta xususiyati, ya'ni piksellar soni baholandi.

Biroq, fotografianing rivojlanishi allaqachon tasviri ko'rsatish sifatini piksellar sonini aniqlash muhim bo'lsada, faqat bitta shu parametrga asoslanib baholash yetarli emasligini ko'rsatdi. Fotografik tasvirlarning ko'rsatish sifatini baholash uchun tasvirda donsimon shovqinlar, parda mavjudligi sababli kontrastni ko'rsatish cheklanishini, geometrik buzilishlarni hisobga olish kerak edi, bunga optikaning nomukammalligi va boshqa bir qator omillar sababchi edi. Rangli fotografiya, kino va televideniyaning paydo bo'lishi muammoni yanada murakkablashtirdi.

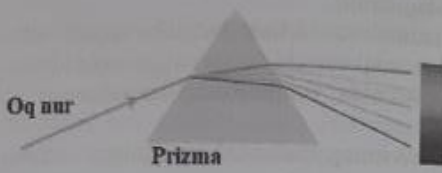
Akromatik tasvirlarni qayta ishlab chiqarish sifatini baholash uchun tez-tez ishlataladigan eng oddiy mezon - bu tasvir egallagan yorqinlikning dinamik diapazoniga normallashtirilgan o'rtacha kvadratik baho:

$$\sigma = \frac{\sqrt{[L_c(x, y) - L_{\text{B}}(x, y)]^2}}{L_{c, \text{Max}}} \quad (3.1)$$

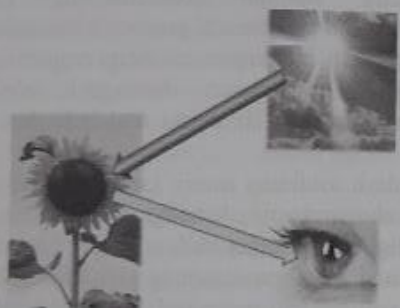
Ushbu formulada quyidagi belgilari qo'llaniladi:  $L_c(x, y)$  - (x,y) koordinatali nuqtada buzilmagan tasvирning yorqinligi,  $L_{\text{B}}(x, y)$  - xuddi shu nuqtada buzilishlarni o'z ichiga olgan tasvирning yorqinligi,  $L_{c, \text{Max}}$  - yorqinlikning dinamik diapazonini belgilaydigan buzilmagan tasvirdagi maksimal yorqinlik qiymati, yorqinlikning dinamik diapazonini belgilaydi. Kvadrat qavslar ustidagi chiziq tasvирning butun maydoni bo'ylab o'rtacha hisoblash belgisidir.

Ushbu mezonning shubhasiz afzalligi - uni hisoblash va





3.1-rasm. Oq nurning prizmaga ta'siri orqali ranglarni hosil qilish



3.2-rasm. Yorug'lik ta'sirida jism sirtida rang hosil bo'lishi

Fizika (optika) kursidan ma'lumki, tabiatda ranglar oq nur (yorug'lik) ning jism sirtiga tushishi va sinishi oqibatida paydo bo'ladi va bu ranglar bizning ko'zimizga ko'rindi (3.2-rasm). Ta'kidlash kerakki, oq nur tabiiy sharoitda quyoshdan keladi, shu bilan birga boshqa yoritish vositalari (masalan, cho'g'lanma lampochka) yordamida ham sun'iy yorug'likni paydo qilishimiz mumkin. Qorong'u sharoitda (yorug'lik bo'limganda) ko'zimiz ranglarni payqamaydi va ob'ektlarni ko'ra olmaymiz.

Ko'z strukturasining asosiy optik elementlariga muguz parda (ko'zning eng ustki tiniq pardasi), ko'zning rangdor pardasi, ko'z qorachig'i, ko'z gavhari va to'r pardalar kiradi (3.3-rasm). Ushbu elementlar orqali qabul qilingan tasviriy axborotlar ko'rish nervi orqali miyaga yetib boradi.

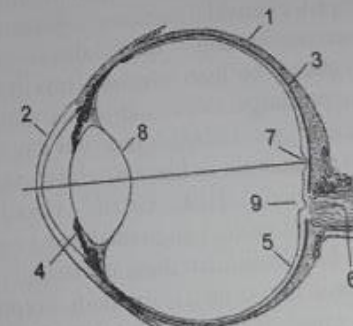
3.3-rasmda ko'zning bir qismi ko'rsatiladi. Ko'zning sklera deb ataladigan tashqi qismi oq elastik membrana bo'lib, old qismida shaffof

shox pardaga o'tadi. Shox parda ostida kamalak parda, ko'z gavhari, skleraning qarama-qarshi tomonida esa to'r parda joylashgan.

Ko'zning ichki qismi shaffof shishasimon modda bilan to'ldirilgan. Kuzatilgan ob'ektning teskari tasviri qavariq linzalari bo'lgan to'r pardaga qaratilgan gavhar. Ob'ektivning fokus uzunligi ko'z mushaklari ta'sirida o'zgaradi, bu uning yuzasi egrilagini shunday o'zgartiradi. To'r pardaga qaratilgan tasvir imkon qadar aniq bo'ladi. Ko'pgina linzalarda bo'lgani kabi, linzalarning fokus uzunligi yorug'lik to'lqin uzunligiga bog'liq, ko'k nurlar yashil yoki qizil rangga qaraganda yaqinroq masofaga qaratilgan.

Kamalak parda diafragma rolini o'yinaydi. Boshqa mushak guruhining ta'siri ostida uning ochilishining diametri (ko'z qorachig'i diametri) yorug'lik intensivligining o'zgarishi bilan o'zgaradi.

Kam yorug'likda diametri 7,5 mm, yuqori yorug'likda esa 1,8 mm. Ko'z qorachig'i torayganda, ko'zning to'r pardasidagi tasvirming ravshanligi oshadi [20].



3.3-rasm. Ko'z kesimi: 1 — sklera; 2 — Shox parda; 3 — ko'zning qon-tomir pardasi; 4 — kamalak parda; 5 — to'r parda; 6 — ko'ruv nervi; 7 — markaziy chuqur; 8 — ko'z gavhari; 9 — ko'rinmas dog'

To'r parda bir necha qatlamlardan iborat bo'lib, linzaga qaragan qatlamlar shaffof bo'lib, yorug'likning ikki turdag'i fotoreceptorlar: tayoqchalar va konuslar tomonidan hosil qilingan qatlamga o'tishiga

to'sqinlik qilmaydi.

Konuslarda taxminan 6,5 million konus mavjud bo'lib, ular ranglarni ajrata oladigan kunduzgi (fotopik) ko'rish tizimining bir qismi spektral sezgirligi bilan farq qiluvchi uch turdag'i konusni o'z ichiga olganligi bilan bog'liq. Konuslarning bir turi qizil nurlanish hududida, ikkinchisi - yashil nurlanish hududida, uchinchisi - ko'k nurlanish hududida maksimal spektral sezgirlikka ega. Konusning markaziy qismida (markaziy chuchurcha) har bir konus qo'zg'alishni optik asabning tolesi bo'ylab ko'rish tizimining keyingi qismlariga uzatganligi sababli, kunduzi ko'rishning to'r pardasi yuqori fazoviy ruxsatga ega.

To'r pardada 130 millionga yaqin tayoqchalar ranglarni ajrata olmaydigan va fazoviy o'lchamlari past, ammo yorug'likga sezgirligi yuqori bo'lgan (skotopik) ko'rish tizimining bir qismidir. To'r pardaning yuqori yorug'lik sezgirligi novdalarning katta guruhidan (ularning 400 tagacha) signallari birlashtirilganligi bilan bog'liq.

To'r pardada sinaptik ularnishlar sxemasi 3.4-rasmida ko'rsatilgan, optik tasvir fotoreseptorlarning qo'zg'alishlarini taqsimlash, shuningdek, uni birlamchi bo'lgan neyron tasvirga aylantiriladi. Yorug'likning fotoreceptorlarga ta'siri natijasida ularda fotosensitiv moddaning (vizual pigment) parchalanish jarayoni davom etadi, bu esa ularning chiqishlarida (presinaptik uchlarida) elektr potentsiallарining paydo bo'lishiga olib keladi. Tirik ko'zda vizual pigmentning parchalanishi bilan bir vaqtida uning yangilanish jarayoni sodir bo'ladi va to'r pardaning har bir yoritilishi darajasi uchun bu jarayonlar o'rtasida o'ziga xos dinamik muvozanat o'matiladi. Fotoreseptorlar to'r pardaning gorizontal va bipolyar hujayralari bilan bog'lanib, triadalar deb ataladigan narsalarni hosil qiladi (3.4-rasmga qarang).

Zamonaviy tushunchalarga ko'ra, fotoreseptorlardan keladigan signallar gorizontal hujayralar tizimini qo'zg'atadi. Gorizontal hujayralar kuchli o'zaro aloqaga ega, shuning uchun hatto ulardan birining qo'zg'alishi butun tizim bo'ylab tarqaladi. Gorizontal hujayralar tizimi signallarning fotoreceptorlardan bipolyar hujayralarga uzatilishini tartibga soladi, ya'ni teskari aloqa gorizontal hujayralar tizimi orqali amalga oshiriladi. Qayta aloqa mavjudligi sababli signallar qayta kodlanadi, buning natijasida to'r pardada yorug'likning taqsimlanishi mahalliy va vaqtinchalik kontrastlarning

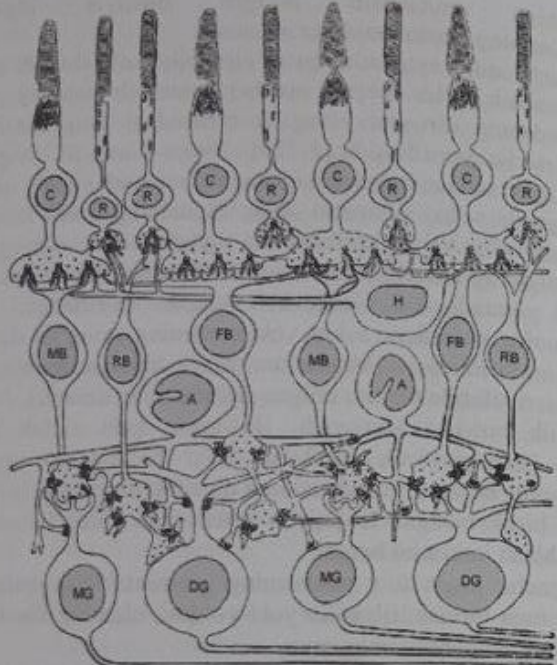
taqsimlanishiga mutanosib bo'lgan bipolyar hujayralar qo'zg'alishlarining taqsimlanishiga aylanadi.

Boshqacha qilib aytganda, qo'zg'alish qiymati (chiqish signali) kasrga mutanosib bo'lib chiqadi, bunda hisoblagich mahalliy yoritish va to'r pardaning o'rtacha yorug'lik o'rtasidagi fard, maxraj esa to'ming o'rtacha yoritilishidir [8, 23]. Natija yorug'lik yoqilganda (yoki kuzatilgan sahnaning yorqin qismiga qaralganda) ijobjiy qiymatni va o'chirilganda salbiy qiymatni oladi. Signalning triada tomonidan o'zgartirilishi ochiq va yopiq tizimlarda signallarni, xususan, ganglion hujayralarini qo'zg'atuvchi signallarni shakllantirish uchun zarur shart-sharoitlarni yaratadi, 3.4-rasmda ko'rsatilgan. Ta'riflangan jarayon vizual tizimning kuzatilgan sahna yoki tasvirning yorug'lik darajasiga moslashishini ta'minlaydi. Moslashuv tufayli bipolyar hujayralarning qo'zg'alishlari sifatida taqdim etilgan signallarning dinamik diapazoni 2 logarifmik birlikka kamayadi. Bu optik asab kichik dinamik diapazonli (2 logarifmik birlikdan ko'p bo'limgan) signallarni uzatishga qodir bo'lgan vizual tizimga dinamik diapazoni taxminan 9 logarifmik birlik bo'lgan haqiqiy o'zgaruvchan yorug'lik sharoitida samarali ishslash imkonini beradi.

Hozirgacha inson to'r pardasining gorizontal hujayralari uchta alovida tizimga birlashtirilganmi yoki yo'qmi, ularning har biri faqat bir-biriga bog'langanligi aniq emas.

Bir turdag'i konuslar bilan "qizil", "yashil" va "ko'k" yoki bunday tizimlar kamroq. Birinchi taxmin ko'proq ehtimolga o'xshaydi, chunki u bir qator eksperimental kuzatilgan faktlarni, xususan, ranglarni idrok etishning doimiyligi fenomenini tushuntiradi [20]. Biroq, hozirgi kunga qadar odamning to'r pardasida faqat ikkita gorizontal hujayralar tizimi topilgan.

Bipolyar hujayralar, o'z navbatida, amakrin va ganglion hujayralari bilan bog'lanib, yuqorida muhokama qilinganlarga o'xshash triadalarni hosil qiladi. Mavjud eksperimental ma'lumotlar shuni ko'rsatadiki, amakrin hujayralar, xuddi gorizontal hujayralar kabi, bipolyar hujayralardan ganglion hujayralariga signallarning uzatilishini tartibga soluvchi o'zaro bog'langan hujayralar tizimini ham tashkil qiladi..



**3.4-rasm.** To'r pardadagi sinaptik bog'lanishlar diagrammasi: R — tayloqcha, C — konus, MB — kichkina bipolar, RB — tayloqcha bipolar, FB — tegis bipolar, H — horizontal hujayra, A — amakrin hujayrası, MG — kichik ganglioz kletka, DG — difuz ganglioz kletka

Shunday qilib, ko'rish tizimida kuzatilayotgan sahnaning yoritilishiga moslashishning ikkita ketma-ket faollashtirilgan mexanizmi mavjud. Birinchisi, "fotoreseptor - gorizontal hujayralar - bipolar hujayra" triadalari tomonidan amalga oshiriladi, bu ko'zning o'rtacha yoritilishiga moslashadi, ikkinchisi esa "bipolar hujayra - amakrin hujayralar - ganglion hujayra" triadalari tomonidan amalga oshiriladi. Birinchi mexanizm inertsiyalangan. U moslashishni ta'minlaydigan vaqt daqiqalarda o'lchanadi, chunki u vizual pigmentlarni qayta tiklash uchun vaqt konstantalari bilan belgilanadi.

Ikkinci mexanizm past inersiyalanga. Ikkinci moslashish mexanizmiga bo'lgan ehtiyoj kuzatilayotgan sahnada qorong'u joylar ham, yorug'lilik darajasi yuqori bo'lgan joylar ham mavjudligi bilan bog'liq. Haqiqiy sahnalar kuzatilganda, ko'rish o'qi soniyaning o'ndan bir oralig'i bilan muxitda harakat qiladi, bu signaling bir lahzali o'zgarishiga olib keladi, ba'zan esa juda katta. Moslashuvning tezkor javob mexanizmi ganglion hujayralarini qo'zg'atuvchi signallarning dinamik diapazonini bitta logarifmik birlikka kamaytiradi. U amalgalashiradigan transformatsiya aniq ko'rish maydonidagi o'rtacha qiymatga nisbatan qo'zg'atuvchi signallarni mahalliy markazlashtirishga qisqartiriladi.

Signallar bipolar hujayralardan ganglion hujayralariga uzatilganda, ular ham analog shakldan impulsli shaklga aylanadi. Ganglion hujayralaridan boshlab, optik nerv tola bo'ylab, signallar impulslar ketma-ketligi shaklida uzatiladi, bunda pulsning takrorlanish tezligi uzatilgan signallarning intensivligi bilan belgilanadi.

Bir millionga yaqin tolalardan tashkil topgan ko'rish nervining ko'zdan chiqadigan joyi ko'r nuqta deb ataladi, chunki to'r pardaning bu joyida fotoreseptorlar yo'q.

Ko'rish nervlari ko'zdan chiqib, boshning orqa tomoniga o'tadi, u yerda ular ikki qismga bo'linadi va kesishadi, shunda har bir optik qismda ikkala ko'zning tolalari mavjud. Ikkala to'plam ham miyaning asosigacha davom etadi va har biri lateral genikulyar tanaga ulanadi. Har bir ko'zda miyaning ikkala yarim sharlari bilan bog'langan markaziy, taxminan dumaloq maydon mavjudligi aniqlandi. Ushbu zonating yon tomonlarida, har bir ko'zning chap yarmi (vertikal bo'lingan bo'lsa) miyaning bir tomoniga va o'ng tomoniga ulanadi. Markaziy ko'rishdagagi ob'ektlar miyaning ikkala yarim sharida ifodalangan bo'lsa, periferik ob'ektlar har qanday yarim sharda ifodalananadi. Tashqi genikulyatsiya tanasi murakkab nerv sistemasi orqali ko'rish qobig'ining 17-maydoniga bog'langan. Vizual ma'lumotlar ko'rish qobig'ida tahlil qilinadi.

Vizual tizimning eng ko'p o'r ganilgan bo'limi - bu ko'zning to'r pardasi bo'lib, uning xususiyatlari asosiy psixofizik qo'ounlarni belgilaydi. Ko'rish qobig'ida lokalizatsiya qilingan ko'rish tizimining yuqori qismlari kamroq darajada o'r ganilgan.

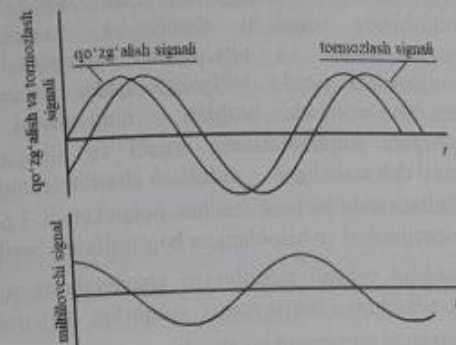
### 3.3. Ko'rishning barqarorligi

Vizual tizimning inertsiysi ikki sababga bog'liq: inertsiya fotoreseptorlarida sodir bo'ladigan fotokimyoiy jarayonlar va uning neyron tarmoqlari orqali signal tarqalish jarayonlarining inertsiyasи.

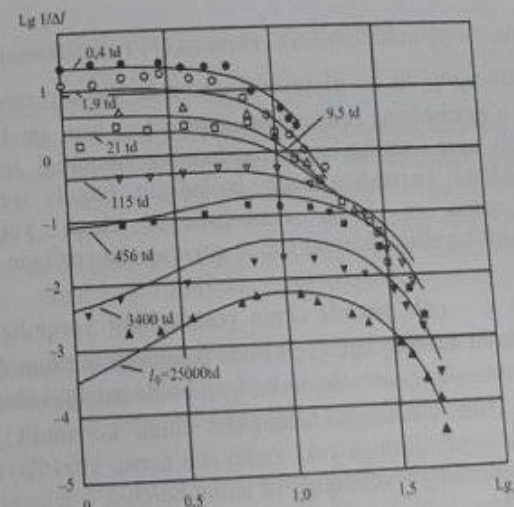
Birinchi turdagи inertsiya kuzatilgan sahnaning o'rtacha yoritilishi o'zgarganda namoyon bo'ladi, buning natijasida fotoreseptorlardagi vizual pigmentlarning parchalanish va yangilanish tezligi o'ttasida dinamik muvozanat buziladi. Ushbu muvozanatni tiklash uchun moslashuv sodir bo'ladigan boshlang'ich va oxirgi yoritish darajalariga qarab, bir necha daqiqadan bir necha o'nlab daqiqalargacha davom etadi.

Vizual tizimning neyron tarmoqlarida signalning tarqalish jarayonlari bilan belgilanadigan inersiya bir soniyadan ko'p bo'lmagan qisqaroq vaqt oralig'ida o'zini namoyon qiladi.

Keling, ushbu turdagи inertsiyaning paydo bo'lish mexanizmini ko'rib chiqaylik. Ma'lumki, insonning ko'rish tiziminинг to'r pardasining retseptiv sohalari qo'zg'alishning markaziy zonasini va tormozning periferik zonasini o'z ichiga oladi. Shunday qilib, retinaning retseptiv maydonidan olingan signal retseptiv maydonning markaziy zonasidan qo'zg'alish signalni va uning periferik zonasidan tormoz signalni o'tasidagi farqdir. Vaqt o'tishi bilan to'r pardanining doimiy yoritilishi darajasida, retseptiv maydon markazidan qo'zg'alish signalni va periferiyadan tormoz signalni bir-birini muvozanatlashtiradi. Agar to'r pardanining yoritilishi vaqt o'tishi bilan uning o'rtacha qiymatiga nisbatan o'zgarsa, masalan, miltillash chastotasi / bo'lgan sinusoidal qonunga muvofiq, u holda o'zgarishlar qo'zg'alish signalining o'zgarishiha nisbatan tormoz signallari kechiktiriladi. Bundan tashqari, tormoz signalni uzoqroqdan qanchalik ko'p kelsa, u shunchalik uzoqroq kechiktiriladi. Bu kechikish o'zini namoyon qiladi bunda tormoz signalining o'zgarishi fazasi qo'zg'alish signalining o'zgarishi fazasidan orqada qoladi, buning natijasida ular bir-birini muvozanatlashtirmaydi. Bunday holda, bu ikki signal o'tasidagi farq signali, ya'ni miltillovchi signal vizual tizimning neyron tarmog'i orqali tarqaladi. 3.5-rasmda yuqoridagilar tushuntirilgan.



3.5-rasm. Qo'zg'alish, tormoz va miltillovchi signallarning vaqtga bog'liqligi



3.6-rasm. 1/Δ ning f ga bog'liqligi

Past chastotalarda miltillash chastotasi  $f$  ning ortishi miltillash signalining amplitudasi ortishiga yoki shunga mos ravishda, miltillash

amplitudasi  $\Delta$  qiyatining pasayishiga olib keladi. Biroq, bu signal tarqalish kechikishining tarqalishi, shuningdek, retseptorlar va o'tkazuvchi nerv yo'llari va retseptorlari inertsiyasi tufayli signallarning zaiflashishi paydo bo'lguna qadar davom etadi. Natijada, ma'lum bir chastotadan boshlab,  $f$  ning ortishi bilan  $\Delta$  miltillashning chegara amplitudasining ortishi va nihoyat, kritik miltillash chastotasi deb ataladigan  $f_c$ , miltillash chastotasining ma'lum bir qiyatida miltillash sodir bo'ladi. sezilmas holga keladi. 3.6-rasmida  $\Delta$  ning  $f$  ga eksperimental va hisoblangan bog'liqliklari berilgan.

Kritik chastotadan oshgan miltillovchi chastotalarda miltillash sezilmaydi va kuzatilayotgan maydonning yorqinligi  $L(t)$  doimiy va uning o'rtacha qiyamatiga mutanosib ko'rindi.

$$L_{\varphi} = \frac{1}{T} \int_0^T L(t) dt, \quad (3.2)$$

bu yerda,  $T = \frac{1}{f}$  miltillash davri. Formula (1) Talbot qonunidir. Bu qonun nafaqat yorug'lik  $L(t)$  sinusoidal qonun bo'yicha o'zgarganda, balki uning o'zgarishining boshqa qonunlari uchun ham amal qiladi. Shunday qilib, agar kuzatilayotgan maydonning yorqinligi, masalan, televizor ekranini kuzatishda sodir bo'ladiqan impuls qonuniga muvofiq o'zgarsa, u holda tomoshabinga ekran yorqinligi o'zgarmagandek tuyulishi shart bo'ladi, u quy'idagicha yozilgan

$$LT_H = \text{const.} \quad (3.3)$$

bu yerda,  $L$  - puls paytida ekran porlashining yorqinligi,  $T_H$  - ekranning porlashi davomiyligi. (3.3) ifoda hammaga ma'lum Bloch-Charpentier qonunidir,  $T_H \leq 60-100 \text{ ms}$  bo'lgan holda amalga oshiriladi. Miltillashning kritik chastotasi, tadqiqotlar shuni ko'rsatdiki, to'r pardaning o'rtacha yoritilishiga yoki xuddi shu narsa, kuzatilayotgan miltillovchi maydonning yorqinligiga va uning burchak o'lchamlariga bog'liq. Displaylar kabi tasvirlash qurilmalarini loyihalashda bu qiyatni bilish juda muhim, chunki u kadr tezligini aniqlaydi. Shunday qilib, kompyuterning ishlataligan ekran yorqinligida  $f_t \approx 60 \text{ Hz}$ , ko'rsatiladi, shuning uchun ulardag'i kadrlar tezligi ushu qiyatdan yuqoriq tanlangan. Shuni ta'kidlash kerakki, to'r pardaning markaziy

qismi va uning periferik qismining inertsiyasi sezilarli darajada farq qiladi. To'r pardaning periferik qismining inertsiyasi ancha past bo'ladi, bu periferik ko'rishga ega katod nurlari trubkasida display ekranini kuzatishda osongina ko'rindi, bu holda uning miltillashi aniq ko'rindi, agar siz unga to'g'ridan-to'g'ri qarasangiz, umuman ko'rinnmaydi.

### 3.4. Harakatni idrok etish

Harakatni idrok etish-vizual tizim tomonidan hal qilinadigan eng muhim vazifalardan biridir. Hozirda bu sohada juda ko'p nomalum narsalar mavjud. Umuman harakatni ikki komponentga ajratish mumkin: radial komponent (kuzatuvchi tomon yoki undan uzoqlashuvchi harakat) va tangensial komponent.

Tangensial komponent uchun harakatni idrok etishning deyarli barcha xususiyatlari olinadi. Foveal ko'rish uchun minimal sezilarli tezlik aniqlangan ob'ektning ko'rish sohasida qo'zg'almas belgililar mavjud bo'lganda harakati sekundiga 1-6 yoy daqiqasi, diqqatga sazovor joylar bo'lmaganda - 10-20 yoy daqiqasi soniyada. Harakat hali ham seziladigan maksimal tezlik ob'ekt 12-32 ° / s oralig'ida joylashgan. Bundan tashqari, sezgirlik aniqlangan harakatni idrok etish uchun chiziqli qonun bo'yicha markaziy chuchurchadan periferiyaga kamayadi. Foveadan 9 ° og'ish bilan periferik ko'rish uchun minimal chegaralar ko'rish maydonida qat'iy belgilangan belgililar mavjud bo'lganda va belgilangan belgililar bo'lmaganda sekundiga 18 yoy daqiqasini tashkil qiladi minimal chegaralarning qiyomi 10-20 marta kattaroqdir.

Ob'ektning harakatlanish tuyg'usini yaratish uchun uning proektsiyasi kerak emas ko'zning to'r pardasi doimo o'zgarib turardi. Bu tuyg'u hatto bezvtalanmaydi agar ob'ektning bir qator tez o'zgaruvchan tasvirlari ko'zning to'r pardasiga proyeksiya qilinsa, bu uning harakatining ketma-ket bosqichlarini ifodalaydi. Aynan shu ko'rish xususiyati kinoda harakat illyuziyasini yaratish uchun ishlataladi. va televizorda. O'qga perpendicular yo'nalishda harakat qilish uchun kuzatish uzlusiz deb qabul qilingan, harakatning turli bosqichlari bilan tasvirlarni o'zgartirish chastotasi yetaricha katta bo'lishi kerak, aks holda harakat sodir bo'ladi. intervalgacha ko'rindi. Biroq, ekran qanchalik yorqinroq bo'lsa, bu chastota shunchalik yuqori

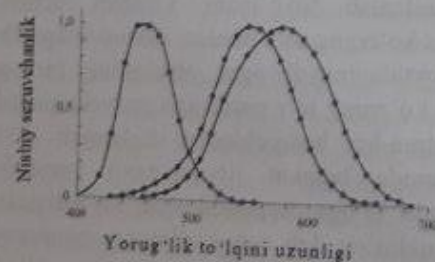
bo'ladi ishlataladigan ekran yorqinligida u 60-70 Gts dan oshmaydi.

Keling, harakatlanuvchi tasvirning hiralashishi kabi muhim hodisaga to'xtalib o'tamiz. Ma'lumki, harakatlanuvchi ob'ektning o'tkir yorug'lik chegaralari tomoshabin tomonidan idrok etiladi. Ko'rishning inertsiyasi tufayli hiralashgan. Biroq, agar biz chegaralari allaqachon loyqa bo'lgan harakatlanuvchi ob'ektning tasvirini kuzatadigan bo'lsak va agar bu loyqalik 10 yoy daqiqasidan oshsa, unda bunday tasvir biz tomonidan aniqroq qabul qilinadi. Biz sport televideniesini tomosha qilayotganda bunday holatga duch kelamiz tez harakatlarni o'z ichiga olgan sahnalar mavjud bo'lgan dasturlar. Natijalar Ushbu hodisaning eksperimental tadqiqotlari nashrda keltirilgan [24], va uning nazariy tadqiqotlari natijalari bilan [11] tanishish mumkin. Bu hodisa bo'lishi mumkin harakatlanuvchi tasvirlarni siqish usullarini ishlab chiqishda foydalanildi.

### 3.5. Rangni idrok etish

Ranglarni ajratish qobiliyatি bir biridan spektral sezgirliklari bilan farq qiladigan uch turdagи konuslarning to'rpardadagi mavjudligi bilan izohlanadi.. 3.7-rasmда normallashtirilgan spektral sezgirlik egri chiziqlari ko'rsatiladi [20]. Uold ma'lumotlariga ko'ra, bu egri chiziqlarning maksimal qiymati 430, 540 va 575 nm ga mos tushadi.

Spektral sezgirlikning egri chiziqlari, ayniqsa, qizil, yashil va yashil nurlanish hududida spektral sezgirlikning maksimal darajasiga ega bo'lgan kolbochkalar uchun keng polosali va kuchli o'zaro bog'liqlikka egaligi o'ziga e'tiborni tortadi.



3.7-rasm. Normallashtirilgan konusning spektral sezgirligi egri chiziqlari

Tasvirlarni yorug'lik ta'sirida ko'zning to'r pardasiga projeksiyalashda kolbochkalarda (konuslarda) ko'rish pigmentining parchalanishi yuz beradi, bu esa ularning chiqishlarida  $e_q$ ,  $e_s$  va  $e_i$  elektr signallarining paydo bo'lishi olib keladi, ularning kattaligi nurlanish spektri  $F(\lambda)$  va kolbochkalarning spektral xususiyatlari bilan belgilanadi:

$$e_q = \int_{\lambda_{\min}}^{\lambda_{\max}} \varepsilon_q(\lambda) F(\lambda) d\lambda, \quad e_s = \int_{\lambda_{\min}}^{\lambda_{\max}} \varepsilon_s(\lambda) F(\lambda) d\lambda, \quad e_i = \int_{\lambda_{\min}}^{\lambda_{\max}} \varepsilon_i(\lambda) F(\lambda) d\lambda \quad (3.4)$$

bu yerda  $e_q$ ,  $e_s$  va  $e_i$  - mos ravishda qizil, yashil va ko'k nurlanish hududlarida spektral sezgirlikning maksimal darajalariga ega bo'lgan konuslarning chiqishlaridagi signallar;  $\varepsilon_q(\lambda)$ ,  $\varepsilon_s(\lambda)$  va  $\varepsilon_i(\lambda)$  - bu konuslarning spektral harakteristikaları;  $\lambda$  -yorug'lik nurlanishining to'lgan uzunligi;  $\lambda_{\max}$  va  $\lambda_{\min}$  - yorug'lik nurlanishining diapazonini aniqlaydigan to'lgan uzunliklarining chegara qiymatlari.

Shunday qilib, ko'rish tizimining tasvir ustida bajaradigan birinchi operatsiya uning rangini ajratishdir. Konusdan chiqqan signallar to'r pardada dastlabki qayta ishlanishi va axromatik qayta kodlanishidan keyin ikki guruhdagi rang farqi signallari ko'rish tizimining olyi bo'limaliga ko'rish nervlari bo'ylab uzatiladi.

Ko'rinishidan, ko'z to'r pardasi yordamida tasvirni qayta ishlashda hal qilinadigan asosiy vazifa ko'rish tizimining yuqori bo'limaliga uzatiladigan signallarning shakllanishi bo'ib, ular nafaqat kuzatilgan sahnaning yorug'lik intensivligidan, balki ko'p jihatdan yoritishni spektral tarkibidan ham mustaqil bo'ladi. Rangni idrok etishning yoritishning spektral tarkibidan mustaqilligi *rang idrokingin doimiyligi* deb ataladi. Rang idrokingin doimiyligini tadqiqot mexanizmlariga ko'p sonli ishlar bag'ishlangan. Ammo bu muammo to'liq hal etilmagan.

Hozirgi vaqtida ma'lumki, bir qator hayvonlarning, xususan, baliqlarning to'r pardasida gorizontal hujayralar bir xil spektral sezgirlikka ega bo'lgan fotoreseptorlarning ma'lum guruhlari bilan bog'langan tizimlarga birlashtirilgan. To'r pardaning bunday tashkil etilishi yorug'likning spektral tarkibi o'zgarganda turli xil spektral sezgirlikka ega bo'lgan fotoreseptorlarni alohida tartibga solishni ta'minlaydi.

Primatlar va odamlarning to'r pardasidagi gorizontallar hujayralarning tashkil etilishi haqida hozirda ko'p narsa aniq emas. Ammo, agar biz primatlar va odamlarning to'r pardasida turli xil spektral sezgirlikka ega bo'lgan fotoretseptorlar bilan bog'langan gorizontal hujayralarning 3 ta tizimi mavjud deb taxmin qilsak, u holda vizual tizim tomonidan tasvirmi qayta ishslash modelini quyidagicha ifodalash mumkin.

Sahna tasvirini ko'z to'r pardasiga proektsiyalashda kolbochokning chiqish joylarida gorizontal hujayralarning uchta tizimini qo'zg'atadigan elektr signallari paydo bo'lib, ularning har biri bir xil spektral sezgirlikka ega bo'lgan kolbochoklar bilan bog'langan. Gorizontal hujayralar tizimining har birining qo'zg'alishi ushbu turdagiga barcha kolbochoklar bo'yicha o'rtacha hisoblangan bir xil spektral sezgirlikka ega bo'lgan to'r pardasi kolbochogining qo'zg'alishiga mutanosibdir. Bular orqali gorizontal hujayralar tizimi teskari aloqani ta'minlaydi, bu orqali kolbochoklardan bipolyar hujayralarga signallarning uzatilishi tartibga solinadi. Natijada, qizil, yashil va ko'k nurlanishi hududlarda spektral sezgirlikning maksimal darajasiga ega bo'lgan kolbochoklar bilan bog'langan bipolyar hujayralarning chiqishlarida signalla quyidagicha bo'ladi:

$$s_e = \frac{e_1 - \bar{e}_1}{e_1}, \quad s_g = \frac{e_2 - \bar{e}_2}{e_2}, \quad s_b = \frac{e_3 - \bar{e}_3}{e_3} \quad (3.5)$$

Bu yerda  $\bar{e}_1, \bar{e}_2, \bar{e}_3$  - bu uchta kolbochoklar guruhidagi signallarning o'rtacha qiymatlari. (3.5) formulalardan ko'rinish turibdiki, "kolbochok - gorizontal hujayralar tizimi - bipolyar hujayra" triadasiga signallarni shunday almashtirishni amalga oshiradiki, unda qizil, yashil va ko'k ranglarning "yorqinlik" taqsimoti mos kontrast taqsimotiga aylantiriladi. Ushbu almashtirish tufayli kuzatilayotgan sahnaning yorug'lik intensivligiga invariantlikka (o'zgarmaslikka) erishiladi, chunki kontrastlarning taqsimlanishi uning kattaligiga bog'liq emas. Bundan tashqari, bu almashtirish sahna yorug'ligi spektral tarkibining  $s_e, s_g, s_b$  signallariga ta'sirini sezilarli darajada susaytiradi.

To'r pardada signallarni keyingi almashtirishi  $s_e, s_g, s_b$  signallardan axromatik va ranglar farqi signallarining ikki guruhini hosil qilish yo'li

orgali quyidagi tengliklarga mos holda rang ma'lumotlarini qayta kodlashdan iborat bo'ladi:

$$U_o = s_e + s_g + s_b, \quad U_{e-g} = s_e - s_g, \quad U_{b-g} = s_b - (s_g + s_b)$$

(3.5) formulalardagi  $s_e, s_g, s_b$  qiymatlarini almashtirgandan so'ng quyidagi hosil bo'ladi:

$$U_o = \frac{e_1 - \bar{e}_1 + e_2 - \bar{e}_2 + e_3 - \bar{e}_3}{e_1}, \quad (3.6)$$

$$U_{e-g} = \frac{e_1 - \bar{e}_1 - e_2 - \bar{e}_2}{e_1}, \quad (3.7)$$

$$U_{b-g} = \frac{e_3 - \bar{e}_3}{e_3} - \left( \frac{e_1 - \bar{e}_1 + e_2 - \bar{e}_2}{e_1} \right) \quad (3.8)$$

Ushbu qayta kodlash natijasida ma'lumot ko'rish nervi bo'ylab to'r pardadagi sahna tasvirining "qizil", "yashil" va "ko'k" tarkibiy qismlarida kontrastlarning taqsimlanishi haqidagi axborotni emas, balki ularning algebraik yig'indilarining taqsimlanishi haqidagi axborotni uzatadi. Buning narijasida, rangni idrok etishda yoritishning spektral tarkibning ta'sirini yanada kamaytirish ta'minlanadi. Bunday holda, "qizil" va "yashil" kolbochoklarning spektral yaqinligi xususiyatlari ham muhim, chunki yoritish spektrining o'zgarishi signal farqiga kamroq ta'sir qiladi. Adabiyotlarda bu qayta kodlash bipolyar, amakrin va ganglion hujayralarining o'zaro ta'siridan kelib chiqqanligi haqida dalillar mavjud, bir qator ma'lumotlar tasvirning qizil-yashil komponenti rang ma'lumotlarini uzatish asosiy, sariq-ko'k komponenti esa ikkinchi darajali rolni egallashi keltirilgan.

Ko'rib chiqilayotgan model rangni idrok etish bilan bog'liq bir qator illyuziyalarni, shu jumladan bir vaqtning o'zida rang kontrasti deb ataladigan hodisani, masalan, rangli soya fenomenida o'zini namoyon qiladi. Ushbu hodisani qizil rangli yorqin nurlarini oq rang bilan teng ravishda yoritilgan oq ekranga yo'naltirilsa, hamda uning yo'liga kichik

shaffof bo'lmagan ob'ekt qo'yilgan bo'lsa kuzatish mumkin va u 3.8. rasmida keltirilgan.



3.8-rasm. Hodisani tushuntirish uchun bo'yalgan soya

Shaffof bo'lmagan ob'ektning ekranga tushiriladigan soyasi tomoshabinga yashil rangga bo'yalgan bo'lib ko'rindi. Bu hodisa (3.7) formula bilan izohlanadi. Formuladan kelib chiqadiki, yashil rang  $U_e$ , signaling manfiy, qizil - musbat qiymatlariga mos keladi. Signal qiymati bilan aniqlanadigan lokal kontrast o'rtacha qiymatga nisbatan o'lchanligi sababli, soya sohasida qizil rang yo'qligi (3.7) formulaning birinchi kasr qismining manfiy bo'lishida namoyon bo'ladi, bu ko'rish tizimi uchun yashil rangning ko'payishi bilan yuzaga keladigan ikkinchi kasrning absolyut qiymatining oshishiga teng bo'ladi. Rang kontrasti izchilligi (ketma-ket kelish) hodisasi huddi shunga o'xshab izohlanadi.

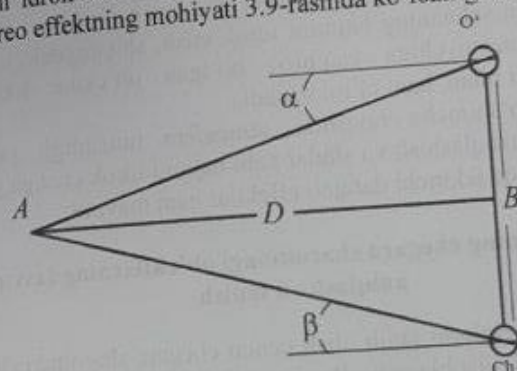
### 3.6. Hajmni idrok etish

Insonning ko'rish tizimi kuzatilayotgan ob'ektning uzoqligini kuzatish jarayoni bilan birga keladigan bir qator effektlar orqali baholay oladi.

Birinchi va afidan, asosiy ta'sir kuzatilayotgan ob'ekt uzoglashganda burchak o'lchamlarini kamaytirish effektidir. Agar ob'ektning haqiqiy chiziqli o'lchamlari, shuningdek uning burchak o'lchamlari aniq bo'lsa, u holda uning kuzatuv nuqtasidan uzoqlashishini aniqlash qiyinchilik tug'dirmaydi. Perspektiv qonunlariga rioya qilgan holda yozilgan filmlar, teledasturlar, fotosuratlar va rasmlarni tomosha qilish bu holatga misol bo'la oladi. Garchi tasvirlarning o'zi ikki o'lchovli bo'lsa ham ushbu tasvirlarni

kuzatishda biz ob'ektlarning kuzatish nuqtasidan uzoqligini taxmin qilishda muammoga duch kelmaymiz. Bu kuzatuvlarda kuzatuvchi ixtiyoridagi kuzatilayotgan ob'ektlar to'g'risidagi aprior ma'lumotlar ham muhim rol o'ynaydi. Shunday qilib, masalan, fotosuratni ko'rib chiqayotganda, biz unda tasvirlangan notanish ob'ektning uzoqligini osongina aniqlashimiz mumkin, agar biz uning yerda ekanligini bilsak, buda faqat uning tasvirining gorizont chizig'idan pastga uzoqligiga e'tibor qaratamiz. Uzoqligi bizga ma'lum bo'lgan boshqa ob'ektlar orasidagi notanish bo'lgan ob'ektni uzoqlikni aniqlash qeyin bolsalar.

Hajmni idrok etishni ta'minlaydigan ikkinchi effekt - bu stereo effekt. Stereo effektning mohiyati 3.9-rasmida ko'rsatilgan.



3.9-rasm. Stereo effekt.

Bu rasmda A belgisi D masofadan kuzatilayotgan nuqtaviy ob'ektni bildiradi. Sharli ravishda doira shaklida ko'rsatilgan kuzatuvchining ko'zлari (o'ng va chap) orasidagi masofa (asosiy) B ga teng. Rasmdan kelib chiqadiki, kuzatuvchi ob'ekt yo'nalishiga qaraganida, ob'ektning ko'zning to'r pardasidagi proyeksiyalari o'zarо siljydi. Buning sababi shundaki, ob'ektga yo'nalishlar va ko'zлarning har biri uchun asosga normal o'tasidagi burchaklar nolga teng emas va qarama-qarshi belgilarga ega. Ko'rib chiqilayotgan holatda,  $\alpha = -\beta$ . Ob'ekt kuzatuvchiga qanchalik yaqin bo'lsa, bu burchaklarning absolyut qiymatlari shunchalik katta bo'ladi va shuning uchun ko'z to'r

pardasida ob'ektlar proektsiyalarining o'zaro mos kelmasligi shunchalik katta bo'ladi, bu nomutanosiblik (disparantlik) deb ataladi. Nomutanosiblik mavjudligi tufayli ob'ektning kuzatish nuqtasidan uzoqligi seziladi.

Kuzatilgan sahnaning hajmini idrok etishni ta'minlovchi uchinchi effekt - bu uni tashkil etuvchi ob'ektlarning relef, ya'ni ob'ektlarning aks ettiruvchi yuzalarini burchak orientatsiyasiga qarab, ularga tushayotgan yorug'likni turli yo'llar bilan aks ettirishidir. Ushbu effekt tufayli biz silindrsimon ustun tasvirini to'rtburchak kesimli ustun tasviridan osongina ajrata olamiz. Diffuz aks ettiruvchi yuzalar uchun yorug'lik manbasining uchta turli pozitsiyasida olingan uchta tasviridan foydalanib ularning uch o'lchamli tasvirini olishingiz mumkin, ya'ni ularning chuqurligi haqida to'liq tasavvurga ega bo'lishingiz mumkin.

Kuzatilgan sahnaning hajmini idrok etish, shuningdek, uzoqdagi ob'ektlarni kuzatuvchiga yaqinroq bo'lgan ob'ektlar tomonidan skrining effekti bilan ham ta'minlanadi.

Bunga qo'shimcha ravishda, atmosfera tumanligi, yorug'lik manbalaridan uzoqlashish va shular kabi hajmni idrok etishga yordam beradigan boshqa ikkinchi darajali effektlar ham mavjud.

### 3.7. Kuzatishning chegara sharoitidagi ob'ektlarning tasvirlarini aniqlash va tanish

Ma'lum ob'ektlarni tanib olish uchun chegara sharoitida shovqin cheklovchi omil hisoblanadi. Bu ko'rish tizimining ichki shovqini bo'lishi mumkin, agar kuzatilgan tasvir juda past kontrastga ega bo'lsa, yorug'lik oqimining shovqini, agar kuzatuv kam yorug'likda o'tkazilsa, aloqa kanali orqali uzatish paytida tasvirga qo'shiladigan shovqin va h.k. Ko'rish tizimida tasvirni qayta ishlash jarayonida bu shovqinni fazoviy filtrlanishi sodir bo'ladi.

1958 yilda ilgari surilgan gipotezaga ko'ra, apriori ma'lum parametrlarga ega, ya'ni qo'shimcha og Gauss shovqini bilan shovqinlantirilgan tasvirdagi ob'ektni aniqlash va tanib olishda ko'rish tizimi fazoviy filplashni amalgalash oshiradi [9]. Keyinchalik bu gipoteza eksperimental tarzda tasdiqlangan. Ushbu gipotezaga muvofiq, tanib olinayotgan  $L(x, y)$  tasvir andoza (etalon) tasvir  $L_e(x, y, i)$ , bilan mos yozuvlar tasvirlari bilan taqqoslanadi va mos yozuvlar bilan aniqlanadi

$$[L(x, y) - L_e(x, y, j)]^2 = \min,$$

ya'ni Sigert-Kotelnikov algoritmini ifodalaydigan qoida bajariladi

$$\int \int [L(x, y) - L_e(x, y, j)]^2 dx dy < \int \int [L(x, y) - L_e(x, y, i)]^2 dx dy.$$

Bu yerda  $i$  va  $j$  andozalar raqamlari. Bu holda,  $i = 1, 2, 3, \dots, N$ , lekin  $i \neq j$ .

Agar tanib olinayotgan tasvirming ba'zi parametrlari apriori noma'lum bo'lsa, ular birma-bir ko'rib chiqish orqali topiladi. Masalan, agar ob'ektning tasvir tekisligidagi o'mi apriori noma'lum bo'lsa, ya'ni uning  $x$  va  $y$  koordinatalari noma'lum bo'lsa, qaror qabul qilish qoidasi quyidagi shaklni oladi.

$$\left\{ \int \int [L(x, y) - L_e(x - \xi, y - \eta, j)]^2 dx dy \right\}_{\min} < \\ < \left\{ \int \int [L(x, y) - L_e(x - \xi, y - \eta, i)]^2 dx dy \right\}_{\min},$$

bu yerda  $\xi$  va  $\eta$  integrallarning har biri uchun uning qiymati minimal bo'ladigan tarzda tanlangan o'zgaruvchilardir. Aniqlash muammosi identifikasiya muammosining alohida holati sifatida ko'rib chiqilishi mumkinligi sababli, yuqoridaqilarning barchasi aniqlash muammosi uchun ham to'g'ri bo'lib qoladi.

### 3 bob bo'yicha nazorat savollari

1. Tasvirlardagi buzilishlarning qanday turlarini bilasiz?
2. Chastotali buzilishlarni tafsiflab bering.
3. Rangli buzilishlar deganda nimalarni tushunasiz?
4. Geometrik buzilishlarni xarakterlab bering.
5. Axromatik va rangli tasvirlardagi buzilishlardagi farqli jihatlarni aytib bering.
6. Tasvir sifatini baxolashning Reley mezoni haqida nima bilasiz?

7. Ekspert baholashning asosiy kamchiliglari nimalar ?
8. Oq nuring fizik xususiyatlarini keltiring.
9. Ko'rish tizimini tasviflab bering.
10. Ko'rishning barqarorligi nimalarga bog'liq bo'ladi ?
11. Sahnadagi harakatni qanday qabul qilamiz ?
12. Ob'yektning ranglari qanday farqlanadi ?
13. Fazoviy ob'yektlar sezgilarda qanday aks etadi ?
14. Stereo effect nima ?

4 bob

#### Video tasvirlar va ularni qayta ishlash

##### 4.1. Raqamli tasvir va video tushunchalari Raqamli tasvir tushunchalari

Hozirgi zamonaviy kompyuterlarda grafik rejim asosan RGB rang sistemada ishlaydi. Unda bitta pikselda uchta rang (R-qizil, G-yashil, B-ko'k) aralashmasidagi rang qiymati bo'ladi. Unda mumkin bo'lgan ranglar soni  $256^3 = 16\,777\,216$  taga yetadi. Bu rejim jonli tabiatdagi kuzatilgan ranglardan qolishmaydigan tasviri saqlash, ishllov berish va uzatish imkonini beradi. Har qanday rangni uchta asosiy bo'lgan - qizil, yashil va ko'k ranglarning aralashmasi yordamida tasvirlash mumkin. Agar biz 3 bayt yordamida nuqtaming rangini kodlashtirmoqchi bo'lsak, unda 1-bayt qizil, 2-bayt yashil, 3-bayt esa ko'k rangni ifodalaydi. Rangli to'plamning bayt qiymati qanchalik katta bo'lsa, mazkur rang shunchalik aniq va ravshan bo'ladi.

RGB va boshqa rang sistemalarining xususiyatlari bilan yuqoridaagi bo'limlarda kengroq tanishganimiz.

Endi, raqamli tasvirning bevosita kompyuter xotirasida qanday ko'rinishda saqlanishini ko'rib chiqamiz. Bizga ma'lumki, kompyuterlarning yassi ekranlarida tasvirlar asosan ikki o'lchovli (2D) massiv (yoki matritsa) shaklida ifodalanadi. Ikki o'lchovli tasviri ikkita  $x, y$  koordinatalar o'qiga joylash mumkin. Bunda faqat y bu holda koordinatalar boshi matritsaning chap yuqori burchagida joylashadi. Tasvирning eni –  $w$  va bo'yи –  $h$  kabi ifodalanib, ular matritsaning ustunlari va qatorlari sonini ifodalaydi (4.1-rasm).

Matritsaning  $x, y$  elementlarida tasvir rangiga mos qiymat saqlanadi. Rang qiymati saqlanadigan joyni piksel (*Pixel*) deb ham yuritiladi. Demak, piksel deganda eng kichik tasvir nuqtasi (yoki bo'lagi)ni tushunish mumkin. Buni yanada soddarroq tushunishingiz uchun quyidagi holatni ko'z oldingizga keltiring.

Aytaylik, sizning qo'lingizda qog'oz shaklidagi biror surat va qaychi bor. Siz qaychi bilan qo'lingizdagi suratlari enlab va bo'ylab shunday maydalangki, uni boshqa yana maydalab qirqishingizni iloji bo'lmasin. Ana o'sha eng kichik qog'oz bo'lagini "piksel" sifatida qarashingiz mumkin. Maydalangan qog'oz bo'lakchalariga e'tibor

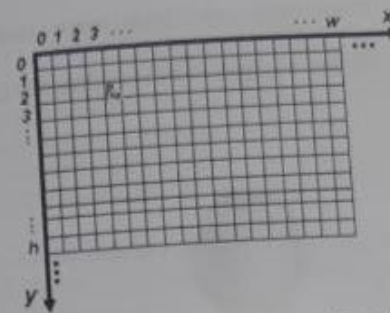
bersangiz faqat bir xildagi rangni ko'rasiz. Demak, raqamli tasvirlar pikselida faqat bitta rang qiymati joylashadi. Biror  $x, y$  koordinatadagi piskeli  $P_{x,y}$ , kabi ifodalash mumkin.

Shu o'rinda, "Megapiksel" (Mp) tushunchasini izohlab o'tsak. Mega – bu million degan ma'noni beradi. Masalan, 1 Megapiksel o'chovimiz 1 mln. ta piksel degani. Misol uchun tasvirimizning o'chhami  $1920 \times 1200$  hajmda bo'lsa, u holda bu tasvirning piksellardagi hajmi  $2,3\text{ Mp}$  bo'ladi. Ya'ni, bunda tasvirning eni  $1920$  ta piksel (yoki nuqta), bo'yisi esa  $1200$  ta piksel, jami piksellarni soni  $1920 \times 1200 = 2\,304\,000$  ta piskelga teng bo'ladi va h.k. Turli raqamli tasvirlar bilan bog'liq qurilmalar, xususan, fotoapparatlarning asosiy texnik xususiyatlari ularning bitta kadrga (yoki matritsaga) qanchalik ko'p piksellarni sig'dira olishi bilan baholanadi. Ya'ni, bitta kadrda qanchalik ko'p piksellarni o'zida qamrab olsa, ana o'sha fotoapparatning tasvirlar sifati yuqori bo'ladi.

Te'kidlash kerakki, piksellardagi rang qiymatlari axborot o'chov birliklaridan bo'lgan 1 bayt hisobida o'chanadi. Ya'ni, piksellardagi rang qiymatlari  $0 \div 255$  oralig'idagi qiymatlardan biriga teng bo'ladi. Bunda ranglar  $0$  dan  $255$  gacha to'q rangdan ocharib borishi kuzatiladi.

Agar tasvir **rangli** bo'lsa, yuqorida ta'kidlaganimizdek, bitta pikselda uchta rang (Red-qizil, Green-yashil, Blue-ko'k) aralashmalari mavjud bo'lib, ularning har biri  $0 \div 255$  oralig'ida tuslanadi. Agar tasvir **kulrang** (yoki nimrang; ingl. "Grayscale"; rus. "Полутоновый") bo'lsa, u holda pikseldagi rang qiymatlari faqat bitta rang komponentidan iborat bo'lib, u  $0 \div 255$  oralig'ida, ya'ni qora ( $0$ )dan oq ( $255$ )gacha bo'lgan ranglardan iborat bo'ladi. Kulrang tasvirlar hozirgi kunda maishiy hayotimizda deyarli uchramaydi. Lekin, ularni oldinroq, ya'ni bir necha o'n yillar oldin ko'p uchratganmiz. Masalan, oldingi (eski) televizorlarimiz hozirgidek rangli emas, kulrang (odamlar tilida oq-qora deyilgan) bo'lgan, shuningdek, fotosuratlar ham xuddi shunday bo'lgan va h.k.

Kulrang tasvir (yuz tasviri)ning bir bo'lagini kattalashtirilgan holati va undagi piksellarda rang qiymatlarining namuna ko'rinishini 4.2-rasmda ko'rishningiz mumkin.



4.1-rasm. Ikki o'chovli koordinatalar o'qi bo'yicha tasvir matritsasining ko'rinishi.



4.2-rasm. Kulrang (yuz) tasviri bo'lagi va undagi piksel rang qiymatlari

### Raqamli video tushunchalari

Raqamli video-tasvirlar o'z naybatida raqamli tasvirlarning vaqt bo'yicha ketma-ket kelishi bilan ifodalanadi. Masalan, 1 sekund ichida o'rtacha 25 ta tasvir (kadр)ning ketma-ket kelishi bizning ko'zimizga harakatdagi video-tasvir bo'lib ko'rindi.

Video-tasvirlarni turli uslublar bilan hosil qilish mumkin. Masalan, kameralar yordamida tasvirlarni raqamli ko'rinishda xotiraga yozish mumkin. Kameralalarning ham turlari ko'p, masalan Veb-kamera (4.3-rasm), video kamera (4.4-rasm), IP kamera (4.5-rasm).

Video fayllar tasvir+ovozi yoki faqat tasvir shaklida bo'lishi mumkin.

Odatda video fayllar siqilgan holda saqlanadi. Ularning turli formatlari mavjud.



4.3-rasm. Veb kamerasi



4.4-rasm. Video kamerasi



4.5-rasm. IP kamerasi

### Rangli tasvirlar haqida

Rangli tasvirlarning har pikseli uchun eng kamida 2 bit kerak. Har bir pikselda rang chuhurligi 16 bit bo'lgan (65536 rangli) tasvir HighColor nomini, har bir pikselda 24 bit bo'lgan (16,7 mln. rangli) tasvir TrueColor nomini oлган. Kompyuterlarning grafik tizimlarida har bir piksel 32, 44 va undan ko'п bit bo'lgan tasvirlardan ham foydalilanadi.

Rangli tasvir uch matritsa (qizil, yashil va ko'k ranglar uchun) yordamida, yoki har bir rang uchun ma'lum bitlarni ajratgan holda bir matritsa yordamida saqlanishi mumkin. Ma'lumki, yoritiganlik darajasining bir-biridan farqi 1 foizdan kam bo'lsa, u holda buni odamning ko'zi odatda sezsa olmaydi. Shuning uchun rangli tasvirlarni saqlashda uni har bir pikselining rangi uchun bir bayt ajratish yetarli. Ammo foydalanan mumkin bo'lgan natijalarga erishish uchun rangli tasvirning har bir pikselini xotiraga joylashtirishda bir bayt axborotni ishlatalish yetarli. Bu holda ikki xil rangning har biri uchun 3 bit va uchinchi rangni berish uchun 2 bit zarur. Matematik nuqtai nazardan, ayrim hollarda rangli tasvirni uch o'chamli vektorlar matritsasi sifatida qarash qulay.

Rangli tasvirlarni namoyish qilish, qayta ishlash hamda tahlil qilish jarayonlarida texnika va texnologiyalarga bog'liq ravishda turli tipdagagi ranglar sistemalaridan foydalilanadi. Hozirda dunyoda keng foydalilanadigan rang sistemalari bilan quyida batafsil tanishib chiqamiz.

### 4.2. Tasvir sifatini yaxshilash usullari

Tasvirlarni qabul qiluvchi texnik qurilmalarning xususiyati, yorug'lik darajalari va shu kabi xalaqitlar (shovqinlar) ko'rinishidagi boshqa omillar tasvir sifatini tushirib yuborishi mumkin. Tasvirning xalaqitlar komponentlari  $n[k_1, k_2]$  tasvirning foydali qismi  $s[k_1, k_2]$  ga additiv  $f[k_1, k_2] = s[k_1, k_2] + n[k_1, k_2]$  yoki multiplikativ  $f[k_1, k_2] = s[k_1, k_2] * n[k_1, k_2]$  qo'shilishi mumkin. Additiv shovqinlar, asosan, video yoki foto kameralarning sezuvchi elementlarining xususiyatlaridan kelib chiqadigan shovqinlardir. Signalning shovqin bilan multiplikativ o'zaro ta'sirining misoli sifatida video ob'ektning yoritilishi (foydali signal) va mahalliy ob'ektlardan aks ettirilgan

yorug'lik oqimi (shovqin) o'rtasidagi munosabatdir.

Agar tasvir sifati yomon bo'lsa, uni yaxshilash zarur. Chunki, sifatli bo'Imagan tasvirlarni qayta ishlash va belgilarni aniqlash qiyin kechadi. Tasvir sifatini yaxshilashning turli usullari mavjud. Masalan, chegaralarni kuchaytirish, xalaqitlarni yo'qotish, tiniqlikni oshirish va h.k.

#### Mediana usuli

Tasvir sifatini yaxshilashda **mediana usulida** filtrlash keng ko'llaniladi. Bu usulning moxiyati tasvir bo'ylab biror oyna bilan harakatlanish va markaziy nuqta qiymati oynadagi qiymatlarni kattaligi bo'yicha tartiblanganda o'rta ga tushuvchi qiymat bilan almashtiriladi. Misol uchun,  $3 \times 3$  oyna markazida 7 qiymati, ikki yonida 38,45, yuqorisida 3,43,56 va pastida 25,18,93 qiymatlar joylashgan deb faraz qilaylik, ya'ni  $\begin{bmatrix} 3 & 43 & 56 \\ 25 & 18 & 93 \\ 38 & 7 & 45 \end{bmatrix}$  bo'lsin.

Ularni tartiblaymiz: 3, 7, 18, 25, 38, 43, 45, 56, 93. Markazdagi qiymat (mediana) 38 ga teng. Demak, 7 o'rniغا 38 yoziladi:  $g(m,n) = \text{med}(f(x,y))$ , bu yerda  $W(m,n)$  - markazi  $(m,n)$  dagi oyna,  $f(x,y) -$  shu oynadagi nuqtalar qiymati. Natijada anchagina tekislangan tasvir hosil bo'ladi.

Mediana usuli asosan tasvirda mayda sochma dog'lar bo'lganda ularni yo'qotishda qo'l keladi. Ushbu usulni ketma-ket ikki marta ishlatib olingan natijani quyida (4.6-rasm) ko'rishimiz mumkin. Bunda 4.6a-rasmga e'tibor beradigan bo'lsak, tasvirda mayda nuqtalar (dog'lar) ko'p uchraydi. Natija tasvirda esa (4.6b-rasm) dog'lar bir muncha yo'qolgan. Lekin, aniqlik biroz pasaygan.



4.6-rasm. Sochma dog'li tasvir (a) va dog'lar yo'qotilgan tasvir (b).

#### Chiziqli tiniqlashtirish usuli

**Chiziqli tiniqlashtirish usuli** ham tasvirlar sifatini oshirish masalalarida ko'p qo'llaniladi. Uning ko'rinishi quyidagicha:

$$G(x,y) = 255 \cdot \frac{G(x,y) - G_{\min}}{G_{\max} - G_{\min}}.$$

Bu yerda  $G_{\min}$  va  $G_{\max}$  - tasvirdagi eng kichik va eng katta rang qiymatlari,  $G(x,y) - (x, y)$  koordinatadagi rang qiymati. Bu usulda olingan natija 4.7-rasmda ko'rsatilgan.



4.7-rasm. Berilgan tasvir (a) va sifati oshirilgan tasvir (b).

Shuningdek, tasvir gistogrammalarini tahlili asosida ham tasvir tinisligini oshirish mumkin. Gistogramma usuli quyidagi formula asosida amalga oshiriladi:

$$Q = \sum_{i=0}^{255} (H_i, Y), \quad S_{G(x,y)} = \frac{255}{Q} \sum_{i=0}^{255} (H_i, Y),$$

$$G(x,y) = \begin{cases} 0, & S_{G(x,y)} \leq 0; \\ S_{G(x,y)}, & S_{G(x,y)} > 0; \\ 255, & S_{G(x,y)} \geq 255. \end{cases}$$

bu yerda  $H_i$  – tasvirdagi  $i$  rangdagi piksellar soni ( $0 \leq i \leq 255$ ),  
 $G(x,y)$  –  $(x,y)$  koordinatada joylashgan pikselning rang qiymati,  
 $r$  – normallashtiruvchi parametr.  
 $r=0.3$  bo'lganda algoritm natijasi 4.8-rasmida keltirilgan.



4.8-rasm. Berilgan tasvir (a) va sifati oshirilgan tasvir (b).

Shuningdek, tasvirda notejis taqsimlangan yorug'liklarni normallashtirish amallari ham bajariladi, bu tasvir sifati yaxshilashga imkon beradi. Odatda tasvir yorug'liklarini normallashtirishda ikki o'ichovli **Gauss filtridan** foydalaniлади. Uning ko'rinishi quyidagicha:

$$H(x, y) = A \cdot e^{-\frac{(x^2+y^2)}{2\sigma^2}},$$

bu yerda  $A$  – normallashtiruvchi konstanta,  $\sigma$  – yorug'lik darajasini sozlovchi filtr kengligi.

Bu formula yordamida tasvir yorug'ligini normallashtirish natijasi 4.9-rasmida ko'rsatilgan.



4.9-rasm. Berilgan tasvir (a) va olingan natija (b).

Tasvirda yorug'lik notekis taqsimlangan holatda tasvir yorqinligini normallashtirish bo'yicha o'zimiz ham bir qator tadqiqotlar olib bordik va bir nechta algoritmlar ishlab chiqildi. Quyida ushbu algoritmardan birini keltiramiz.

**Algoritm** quyidagi qadamlardan iborat bo'ladi:

1-qadam. Tasvir gistogrammasi –  $H$  ni quramiz va undagi og'irlik markazi  $m_H$  ni aniqlaymiz.

2-qadam  $d$  parametr (farq)ni aniqlaymiz, ya'ni:  $d = |m_H - 128|$ .

3-qadam  $k$  parametrni aniqlaymiz. Agar  $m_H < 127$  bo'ssa, u holda  $k=1$ , aks holda  $k=-1$ .

4-qadam. Tasvirning har bir koordinatasi bo'yicha piksel rang qiymatlarini yangidan hisoblaymiz, ya'ni:

$$g_{x,y}^{new} = \begin{cases} g_{x,y} + k \cdot d \cdot \frac{g_{x,y}}{m_H}, & aksap g_{x,y} < m_H; \\ g_{x,y} + k \cdot d \cdot \frac{255 - g_{x,y}}{255 - m_H}, & aks xolda. \end{cases}$$

Yuqorida keltirilgan algoritm asosida olingan natijani 4.10-rasmida ko'rishimiz mumkin.



4.10-rasm. Notekis yoritilgan (a) va normallashtirilgan (b) tasvirlar.

### 4.3. Tasvirni binarlashtirish usullari

“Binar” (Binary) so‘zi “ikkili”, “qo‘sish” degan ma’nolarni beradi. Demak, tasvirni binarlashtirish deganda undagi rang qiyatlarini faqat ikki xil rangga, ya’ni oq va qoraga o’tkazish tushuniadi.

Ba’zi bir masalalarni yechishda tasvirni binar ko’rinishga o’tkazish talab etiladi. Buning eng asosiy sababi shundaki, binar tasvirda axborot anchayin qisqaradi (ranglar sonini keskin kamayishi hisobiga) va bu holat tasvirni qayta ishlash va tahsil qilish ishlarini osonlashtiradi.

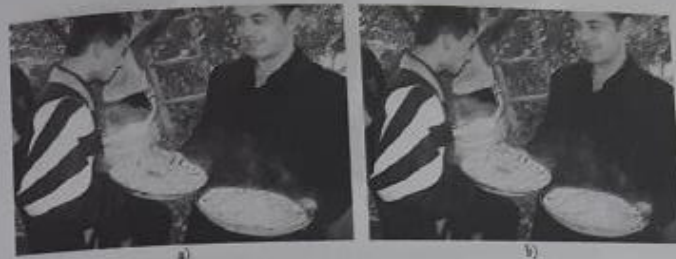
Oldingi bo’limlarda ta’kidlaganimizdek, bizda asosan rangli va qisman kulrang tasvirlar mavjud. Binarlashtirish uchun esa, bizga kulrang tasvirlar kerak bo’ladi. U holda, biz dastavval rangli tasvirlarni ham kulrangga o’tkazib olishimiz talab etiladi.

Quyida rangli tasvirni kulrang tasvirga o’tkazish formulalarini ko’ramiz.

$$Gray_i = 0,3 \cdot R_i + 0,59 \cdot G_i + 0,11 \cdot B_i \quad \text{yoki} \quad Gray_i = \frac{R_i + G_i + B_i}{3}.$$

Bu yerda,  $R_i, G_i, B_i$  - rangli tasvirning  $i, j$  koordinatasida R-qizil, G-yashil va B-ko’k ranglarning yorug’lik qiyamti,  $Gray_i$  – tasvirmig  $i, j$  koordinatasida yangi hosil bo’layotgan kulrang pikselning yorug’lik qiyamti.

Rangli tasvirni kulrang tasvirga o’tkazilgan namunaci quyida (4.11-rasm) ko’rsatilgan.



4.11-rasm. Rangli (a) va kulrang (b) tasvirler.

Endi, tasvirni binarlashtirish masalasiga o’tamiz. Ta’kidlaganimizdek, binar tasvirda faqat ikkita rang qatnashadi. Bular oq va qora ranglardir. Ko’pincha oq rangdagi sohalar - *fon*, qora rangdagi sohalar - *ob’ekt* sifatida qaraladi. Kulrang tasvirni binartashtirish sharti quyidagicha bo’ladi:

$$P_{x,y}^{new} = \begin{cases} 0 & \text{agar } P_{x,y} < T, \\ 255 & \text{akcholida.} \end{cases}$$

Bu yerda  $P_{x,y}$  - tasvirning  $x, y$  koordinatasidagi qaralayotgan rang qiyamti;  $T$  - chagaraviy shart (bo’sag’a);  $P_{x,y}^{new}$  - tasvirning  $x, y$  koordinatasida yangi hosil qilinayotgan rang (shart asosida oq yoki qora).

Kulrang tasvirni binar tasvirga o’tkazishda asosiy muammo bo’sag’a (ingl. “Threshold”, rus. “Porog”) qiymatini avtomatik tanlash hisoblanadi. Ko’pincha, bo’sag’ani  $T$  o’zgaruvchi bilan ifodalanadi.

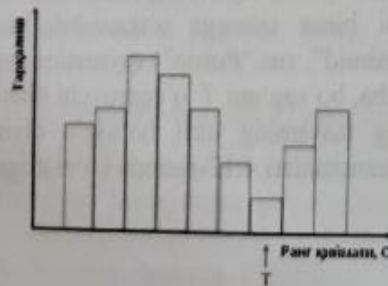
Berilgan kulrang tasvirning turli bo’sag’ a qiyatlarida binar tasvirga o’tkazilgan namunalarini 4.12-rasmda ko’rsatilgan.



4.12-rasm. Kulrang tasvimi binar tasvirga o'tkazilgan namunalar: a) berilgan kulrang tasvir; b)  $T=60$  bo'lganligi natija; c)  $T=120$  bo'lganligi natija; d) T avtomatik tanlangandagi natija.

4.12-rasmdagi namunadan ko'rinish turibdiki, bo'sag'a qiymatini avtomatik, ya'ni biror matematik usul yordamida aniqlanganda (4.12d-rasm), natija qoniqarli bo'ldi. Demak, bo'sag'a qiymatini biror usul yoki algoritm asosida aniqlanishi maqsadga muvofiqdir. Quyida bo'sag'ani aniqlash usullari bilan tanishamiz.

Bo'sag'ani aniqlash uchun tasvir histogrammalari tahlilidan foydalilanildi [6]. 4.12-rasmda namuna sifatida biror tasvir histogrammasi va undagi bo'sag'a qiymati -  $T$  ning joylashuvi aks etgan. Histogrammada ikkita o'q mavjud bo'lib, unda gorizontal o'q 0 dan 255 gacha bo'lган ranglar shkalasini bildirsa, vertikal o'q esa, har bir rang qiymatining qaralayotgan tasvirdagi miqdorini, ya'ni tarqalish sonini bildiradi.



4.13-rasm. Bo'sag'ani tanlash uchun qurilgan tasvir histogrammasi.

Hozirga qadar  $T$  ni aniqlashning histogramma tahliliga asoslangan bir qator usullari ishlab chiqilgan. Ular ichida eng mashhuri k-o'rtacha algoritmidir. Quyida bo'sag'a tanlashning histogramma tahliliga asoslangan **k-o'rtacha algoritmini** ko'ramiz.

**Algoritm** quyidagi qadamlardan iborat bo'ladi:  
1-qadam. Yorug'liklar diapazonida To'rtta qiymat aniqlanadi, ya'ni:

$$T = G_{mn} + \frac{G_{max} - G_{mn}}{2},$$

bu yerda  $G_{mn}$  - tasvirdagi eng kichik,  $G_{max}$  - tasvirdagi eng katta rang qiymatlari.

2-qadam.  $T$  ga nisbatan histogrammaning har ikki tomonida og'irlilik markazlari  $m_1, m_2$  hisoblanadi;

3-qadam. Bo'sag'a qaytadan hisoblanadi,  $T^{new} = \frac{m_1 + m_2}{2}$ ;

4-qadam. Agar  $|T - T^{new}| > 0$  bo'lsa, u holda  $T = T^{new}$  va 2-qadamga o'tiladi.

Bu jarayon toki eski va yangi bo'sag'a orasidagi absolyut farq nol bo'lgunga qadar davom etadi.

4.13-rasmdagi kulrang tasvirning histogrammasi va unda k-o'rtacha algoritmi bo'yicha topilgan  $T$  bo'sag'a qiymati hamda shu qiymat bo'yicha olingan binar tasvir natijasini quyida (4.14-rasm) ko'rishimiz mumkin.



4.14-rasm. K-o'rtacha algoritmi bo'yicha tasviri binarlashtirish natijasi.

Yana, bo'sag'a qiymatini aniqlashning mashhur usullaridan biri

tanishamiz.

**Otsu usulida** bo'lishi mumkin bo'lган optimal bo'sag'aning eng katta qiymatini tanlaydi va natijada tasvirda ob'ekt va fon ajratiladi. Bo'sag'a tanlash orqali tasvirdagi barcha nuqtalarni eng yaxshi qismlarga ajratishga erishiladi. Nazariya orqali qism chegarasida biz faqat uning natijalarini tekshiramiz va ularni bajarishga beramiz. Asos sifatida tasvirda har bir qiymatdagi ajratilgan nuqtalarning umumiy sonidan iborat bo'lган histogrammadan foydalaniлади.

Ehtimolli taqsimlanish quyidagicha hisoblanadi:

$$p_i = \frac{n_i}{N},$$

bu yerda  $n_i$  - i - chi rangdagi piksellar soni,  $N$  - tasvirdagi barcha piksellar soni.

Gistogrammaning boshlang'ich qiymatidan  $k$  qiymatigacha bo'lган yig'indini quyidagicha hisoblash mumkin:

$$\omega(k) = \sum_{i=1}^k p_i \quad \text{va} \quad \mu(k) = \sum_{i=1}^k i \cdot p_i.$$

Tasvirda natija qiymatiga quyidagi formula orqali ega bo'linadi:

$$\mu_T = \sum_{i=1}^L i \cdot p_i,$$

bu yerda  $L$  - k- chi darajadagi bo'sag'a.

Quyidagi munosabat orqali qismlarga ajratish qiymati aniqlanadi:

$$\sigma_\theta^2(k) = \frac{[\mu_T \omega(k) - \mu(k)]^2}{\omega(k)[1 - \omega(k)]}.$$

Qismlarga ajratish qiymatining eng katta qiymati optimal bo'sag'a qiymatini beradi, ya'ni  $T_{opt}$  optimal bo'sag'a qiymati quyidagicha hisoblanadi:

$$\sigma_\theta^2(T_{opt}) = \max_{1 \leq k \leq L} \sigma_\theta^2(k).$$

Otsu usulida tasvirni binarlashtirish natijasini quyida quyida (4.15-rasm) ko'rishimiz mumkin.



4.15-rasm. Berilgan kuirang tasvir (a) va Otsu usulida binarlashtirish natijasi (b).

Shuningdek, soddalashgan holda bo'sag'a tanlash usullari mavjud. Qaralayotgan sohada bo'sag'ani tanlashda shu sohadagi rang qiymatlarining o'rtaqchasi, ya'ni o'rta arifmetigini olish mumkin ya'ni,

$$T = \frac{1}{M \cdot N} \sum_{i=1}^M \sum_{j=1}^N P_{i,j},$$

bu yerda  $P_{i,j}$  - berilgan tasvirning  $i,j$  koordinatasidagi pikselning yorug'lik qiymati.

**Mediana usulida** esa, qaralayotgan soha qiymatlari bo'yicha qurilgan to'plam tartiblanib, ularning markazida joylashgan qiymat olinadi. Masalan,  $G = \{G_1, G_2, \dots, G_k\}$  to'plam berilgan bo'lsin. Uning tartiblangan ko'rinishini  $G^{(N)} = \{G_1, G_{p-1}, G_p, G_{p+1}, \dots, G_n\}$  deb olsak, u holda mediana usulida bo'saga qiymati quyidagiga teng bo'ladi:

$$T = G_p.$$

Va nihoyat soddalashgan holda bo'sag'a tanlashning uchinchi ko'rinishi quyidagicha.

$$T = (G_{min} + G_{max}) / 2.$$

Tasvir kattaroq xajmda bo'lsa, bu usul bo'yicha tanlab olingen bo'sag'a tasvirming barcha sohasi uchun ham yaxshi natija bermasligi mumkin. Shuning uchun tasviri binar tasvirga o'tkazish jarayonlarini kichik sohalarda amalga oshirish maqsadga muvofiqdir. Masalan,  $10 \times 10$ ,  $16 \times 16$  yoki  $32 \times 32$  kabi kichik sohalarda tasvir binar tasvirga o'tkazilganda undagi sezilarsiz farqlar ham aniqlanadi.

#### 4.4. Tasvir kontur chiziqlarini aniqlash usullari

Tasvir konturlari (yoki chegara chiziqlari) tasvirdagi ob'ektni xarakterlovchi asosiy belgilardan hisoblanadi. Ya'ni, biz bu usullar yordamida tasvirdagi ortiqcha axborotlarni yo'qotish va ishonchli axborotlarni ajratib olishdek muhim jarayonni amalga oshiramiz.

Endi, bevosita tasvir konturi tushunchasiga to'xtalsak. Fiziologarning tajriba yo'lli bilan aniqlashlaricha, inson ko'rish jarayonida o'z diqqatini tasvirdagi bir jinsli deb atash mumkin bo'lgan, o'rtacha yorug'ligi bir xil soxalar orasidagi chegaralarga qaratadi. Bu chegara chiziqlari (kontur) ning axborotga naqadar boyligi va tasviri tahlil etish uchun ulami ajratib olish maqsadga muvofiqligidan dalolat beradi.

Aslida tasvirlarga ishlov berish va taxlil etishning mazmuni - bu ularni soddalashtirishdir. Murakkab ob'ekt (manba tasvir) bir necha ketma-ket amallar yordamida oddiyroq tasvirga aylantiradi. Ko'pincha, bu ketma-ketlikning tabiiy bosqichi sifatida tasvirdan kontur olish tushuniladi, chunki kontur tasvirning barcha muhim qismlari va xususiyatlarni o'zida saqlab qoladi. Ob'ekt konturi deganda uning barcha chegaraviy chiziqlarining yig'indisi tushuniladi. Tasvirda chegara soxasi yorug'likning keskin o'zgarishi bilan belgilanadi, ya'ni tasviring yorug'ligi taqriban bir xil deb qabul qilinishi mumkin bo'lgan qismidan sezilarli farq qiluvchi ikkinchi shunday bir qismga o'tadigan soxalar chegaraviy soxalar deyiladi. Ko'pincha tasvirdagi chegara saqlovchilarning nur qaytarish xususiyati va sirtining kamchiliklari, soyalar va notekis yoritish hamda boshqa sabablarga ko'ra paydo bo'ladi. Lekin shunga qaramay, konturlar tasvir va undagi ob'ektlar tavsifini tuzish uchun muhim xususiyatlarni aniqlovchi belgilarning asosi bo'lib xizmat qiladi.

Kontur (cheгарави чизиqlar)ni oddiy misolda tushuntirsak. Faraz

qiling, siz kimningdir hovlisiga (uyiga) kirdingiz. U yerda siz shu hovli bilan qo'shni hovli o'rtasida devorni (chegarani) ko'rasiz. Devor nima uchun aniqlab qo'yiladi? Sababi, ikki qo'shnilar bir xil emaslar, familyayadosh ham emas, qarindosh ham emas. Xullas, ikki qo'shni har xillilik, ya'ni bir-biridan keskin farqlanish mavjud.

Demak, tasvirdagi kontur chiziqlari deb shunday nuqtalarga (pixsellarga) aytildiki, bu nuqtadagi rang qiymati uning atrofidagi biror qo'shni nuqtalardagi rang qiymatidan keskin farq qilishi kerak. Masalan, tasvirda qaralayotgan  $i, j$  nuqta rangi bilan uning o'ng qo'shnisi bo'lgan  $i+1, j$  nuqtadagi rang qiymati farqi yetarlicha katta bo'lishi, shu ikkita nuqtadan birini kontur nuqtasi deb olishga asos bo'ladi. Ya'ni:

$$|P(i, j) - P(i+1, j)| > e,$$

bu yerda  $P(i, j)$  – tasviring  $i, j$  kordinatasidagi rang qiymati,  $e$  – yetarli katta son miqdori.

Tasvir konturlarini aniqlash masalalarida tasvir gradienti tushunchasi ko'p uchraydi. Konturli gradient – bu tasvirdagi o'zar o'z shni nuqtalar ranglarining farqidir. Masalan,  $P(i, j)$  va  $P(i+1, j)$  o'zar o'z shni nuqtalarining gradienti, shu nuqtalar rang qiymatlarining absolyut farqiga teng, ya'ni:

$$\text{Grad}(i, j) = |P(i, j) - P(i+1, j)|.$$

Bu yerda  $P(i, j)$  – tasviring  $i, j$  koordinatasidagi nuqta (pixsel) ning rang qiymati. Tasvir gradientlari aksariyat hollarda kulrang tasvirlarda aniqlanadi. Shuning uchun kulrang tasviring ixtiyoriy nuqtasidagi rang qiymati 0-255 oraliq'idagi qiymatlarni qabul qiladi.

Endi, bevosita tasvir gradientlarini aniqlash usullari bilan tanishsak.

**Vertikal yo'nalishda gradientni hisoblash.** Bunda ikkita qo'shni nuqtalar shunday tanlanadiki, ular bir vertikal chiziqda bo'lishi (yotishi) kerak. Demak, qaralayotgan nuqtaning yuqori yoki pastki (quyi) qo'shnisi bilan rang farqi hisoblanadi. Masalan, qaralayotgan  $P(i, j)$  nuqtaning quyi qo'shnisi bilan gradient farqini quyidagicha hisoblash mumkin:

$$Grad(i, j) = |P(i, j) - P(i, j+1)|.$$

**Gorizontal yo'nalishda gradientni hisoblash.** Bunda ikkita qo'shni nuqtalar shunday tanlanadiki, ular bir gorizontal chiziqda bo'lishi (yotishi) kerak. Demak, qaralayotgan nuqtaning chap yoki o'ng qo'shnisi bilan rang farqi hisoblanadi. Masalan, qaralayotgan  $P(i, j)$  nuqtaning o'ng qo'shnisi bilan gradient farqini quyidagicha hisoblash mumkin:

$$Grad(i, j) = |P(i, j) - P(i+1, j)|.$$

**Gradient hisoblashning Robert usuli.** Robert quyidagi oddiy chiziqsiz formulani tavsiya qildi:

$$Grad(i, j) = \sqrt{(P(i, j) - P(i+1, j+1))^2 + (P(i, j+1) - P(i+1, j))^2}.$$

Robertning keyingi formulasi esa, hisoblash uchun osonroq va u quyidagicha:

$$Grad(i, j) = |P(i, j) - P(i+1, j+1)| + |P(i, j+1) - P(i+1, j)|.$$

**Gradient hisoblashning Sobel usuli.** Chegara ajratishning  $3 \times 3$  darchali Sobel usuli ham o'ziga xosdir. Sobel quyidagi formulani taklif qildi:

$$G(i, j) = \sqrt{X^2 + Y^2},$$

bu yerda

$$X = (A_2 + 2A_1 + A_0) - (A_6 + 2A_5 + A_4)$$

$$Y = (A_0 + 2A_1 + A_2) - (A_6 + 2A_5 + A_4)$$

A ning qiymatlarini 4.16-rasmdagi  $3 \times 3$  oynadan olinadi.

$A_0$	$A_1$	$A_2$
$A_7$	$A(i, j)$	$A_3$
$A_6$	$A_5$	$A_4$

4.16-rasm.  $3 \times 3$  o'lchamli Sobeloynasi.

**Kontur ajratishning niqoblar usuli.** Bu usulda  $3 \times 3$  ishchi oynaning mos koordinatalardagi rang qiymatlari niqobdagagi mos koordinatalardagi son qiymatlariga ko'paytiriladi va natijalar yig'iladi (qo'shiladi). Masalan, niqob ko'rinishi quyidagicha bo'lsin.

$$H = \begin{matrix} 1 & 1 & 1 \\ 1 & -2 & 1 \\ -1 & -1 & -1 \end{matrix}$$

U holda ishchi oynadagi gradient quyidagicha hisoblanadi.

$$\begin{aligned} Grad(i, j) = & [1 * P(i-1, j-1)] + [1 * P(i, j-1)] + [1 * P(i+1, j-1)] + \\ & [1 * P(i-1, j)] + [-2 * P(i, j)] + [1 * P(i+1, j)] + \\ & [-1 * P(i-1, j+1)] + [-1 * P(i, j+1)] + [-1 * P(i+1, j+1)] \end{aligned}$$

Quyidagi jadvalda (4.1-jadval) bir necha niqob turlarini ko'rishimiz mumkin.

Niqob nomi	Niqob ko'rinishi	4.1-jadval
Shimol	$H = \begin{matrix} 1 & 1 & 1 \\ 1 & -2 & 1 \\ -1 & -1 & -1 \end{matrix}$	
Shimolly-sharq	$H = \begin{matrix} 1 & 1 & 1 \\ -1 & -2 & 1 \\ -1 & -1 & 1 \end{matrix}$	

Sharq	$H = \begin{matrix} -1 & 1 & 1 \\ -1 & -2 & 1 \\ -1 & 1 & 1 \end{matrix}$
Janubiy-sharq	$H = \begin{matrix} -1 & -1 & 1 \\ -1 & -2 & 1 \\ 1 & 1 & 1 \end{matrix}$
Janub	$H = \begin{matrix} -1 & -1 & -1 \\ 1 & -2 & 1 \\ 1 & 1 & 1 \end{matrix}$
Janubiy-g'arb	$H = \begin{matrix} 1 & -1 & -1 \\ 1 & -2 & -1 \\ 1 & 1 & 1 \end{matrix}$
Harb	$H = \begin{matrix} 1 & 1 & -1 \\ 1 & -2 & -1 \\ 1 & 1 & -1 \end{matrix}$
Shimoliy-G'arb	$H = \begin{matrix} 1 & 1 & 1 \\ 1 & -2 & -1 \\ 1 & -1 & -1 \end{matrix}$

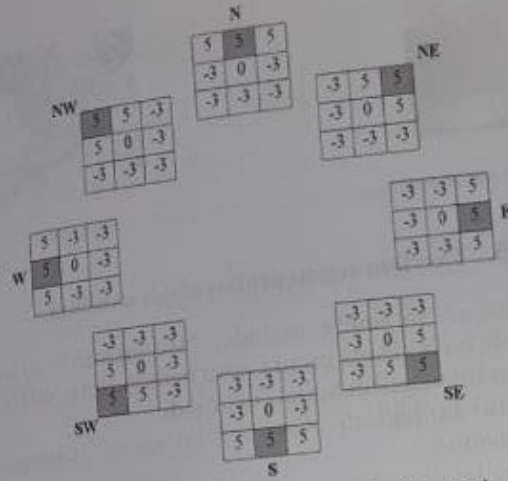
Shuningdek, gradientlarni hisoblashda Laplas niqoblaridan ham foydalanish mumkin. Laplas niqoblarining uch xilini quyida ko'ramiz.

$$H_1 = \begin{matrix} 0 & -1 & 0 & -1 & -1 & -1 & 1 & -2 & 1 \end{matrix}$$

$$H_2 = \begin{matrix} -1 & 4 & -1 \\ H_3 = & -1 & 8 & -1 \\ 0 & -1 & 0 & -1 & -1 & -1 & 1 & -2 & 1 \end{matrix}$$

$$\begin{matrix} H_1 = -2 & 4 & -2 \\ H_2 = -3 & 5 & 5 \\ H_3 = 5 & 5 & 5 \end{matrix}$$

Chegara ajratuvda Kirsh (Kirsch) niqoblaridan ham foydalaniladi. Bizga ma'lumki, Kirsh niqoblaridan  $3 \times 3$  ishchi oynaning markaziga nisbatan 8 ta qo'shni nuqtalar qiymatlarini o'zgartirish (niqob yordamida qayta hisoblash) orqali chegaraviy nuqtalarni aniqlashda foydalaniladi. Kirsh niqoblarini quyida ko'rishimiz mumkin (4.17-rasm).



4.17-rasm. 8 yo'nalishli Kirsh niqoblari.

Bu yerda **N** – North (Shimol), **S** - South (Janub), **W** – West (G'arb), **E** – East (Sharq), **NW** - North West (Shimoliy g'arb), **SE** - South East (Janubiy sharq), **SW** - South West (Janubiy g'arb), **NE** - North East (Shimoliy sharq) yo'nalishlarini anglatadi.

Niqoblarni o'zimiz ham qurib olishimiz mumkin. Bunda faqat shuni e'tiborga olish lozimki, niqoblardagi 9 ta qiymatlar o'zarlo qo'shilganda natija 0 ga teng bo'lishi kerak.

Odatda, tasvir gradienti kontur chiziqlarini aniq-tiniq bermaydi. Gradient tasvirning konturlarini yaqqol aniqlash uchun uni binarlashtirish zarur. Binarlashtirish usullari bilan oldingi bo'limlarda tanishgan edik.

Quyidagi tasvirlarda (4.18-rasm) kulrang tasvir (a) va uning Robert usuli bo'yicha aniqlangan gradienti (b) hamda konturi (c) ko'rsatilgan.



4.18-rasm. Keling tasvir (a), uning Robert gradienti (b); hunda kozmetri (c).

#### 4.5. Tasvirni segmentatsiyalash usullari

“Segmentatsiya” so‘zining ma’nosи “Bo’laklash” so‘ziga mos keladi. Shu sababli, bu ikki so‘z bir ma’noni beradi. Ilmiy adabiyotlarda har ikki termindan foydalanish hollari uchraydi.

Quyida tasvirni bo’laklash bilan bog’liq asosiy tushunchalar va usullar bilan tanishamiz.

Tasvirlarni bo’laklash deb, ularni talqin etish mumkin bo’lgan bo’laklarga ajratish tushuniladi. Shu sababli uning amaliy jihatdan muhim xususiy holi – bu yorug’lik, geometrik va boshqa xususiyatlari tomonidan ham, mohiyati jihatidan ham turlicha bo’lgan ob’ektlarni ajratib olish masalasıdir. Bo’laklashning muhim vazifalaridan biri tasvirga ishlov berishning keyingi bosqichlarida ishlatilmaydigan axborotni tashlab yuborishdir.

Masalaning bir necha matematik ifodasi mavjud, ularning umumiyyrog’i bir jinsilik predikati orqali berilgan. Agar  $f(x,y)$ -bo’laklanayotgan tasvir yorug’lik funksiyasi;  $x$  – uning aniqlanish sohasining chekli to’plamostisi;  $S = \{S_1, S_2, \dots, S_k\}$  –  $x$  ni  $k$  ta bo’shmas bog’langan to’plamostilarga ajratish;  $P_n - S$  to’plamida aniqlangan va faqatgina biror  $S_i$ :  $i \in [0,k]$  to’plamostining ikki nuqtasi ma’lum bir birjinsilik kriteriyisini qanoatlantirgandagina *I “rost” (TRUE)* qiymatni oladigan predikat bo’lsa, tasvirni bo’laklash deb, uni  $S^* = \{S_1^*, S_2^*, \dots, S_k^*\}$  bo’laklarga ajratish tushuniladi.

Tasvirlarni bo’laklashda elementlarning o’xshash yoki farqlanishini nazariy asoslovchi birjinsilik predikati muhim shamiyatga ega. Bo’laklashning biror algoritmini qo’llash jarayonida bo’laklash sohalari va bir jinsli sohalarni qanday belgilashni oldindan hal etish lozim. Bunday belgilarning soni ob’ektlar yoki ob’ekt

sinflarining soni bilan aniqlanadi.

Bo’laklash masalasini yechishga ikki xil yondoshish mumkin. Birinchisi bir soxadan ikkinchisiga o’tishda tasvir nuqtalari xususiyatlarning «uzilish» g’oyasiga asoslangan. U bo’laklashni soxalarning chegaralarini aniqlash masalasiga keltiradi. Ikkinchisi esa, bir xil xususiyatlari nuqtalarni ajratib olib, ularni birlashtirish, nom berish yoki mazmunan nishonlashga asoslangan. Birinchi yo’nalish soxalarning chegaralarini ajratib bo’laklash deyilsa, ikkinchisi soxa nuqtalarini tanlab nishonlash asosida bo’laklash deyiladi.

Tasvirlarni bo’laklashda soha o’stirish usullari ko’proq qo’llaniladi. Bu usullar tasvirlarni bo’laklash uchun lokal belgilarni haqidagi axborotdan faol foydalishga asoslangan va g’oyasi juda sodda. Manba tasvida bir nechta boshlang’ich nuqta olinadi va ma’lum belgilarni bilan belgilanadi, so’ngra ularning atrofidagi nuqtalar tahlil qilinadi. Agar ko’rileyotgan ikki nuqta (dastlab boshlang’ich va atrofdagi biror nuqta, keyin esa oldindi qadamda aniqlangan nuqta va uning biror qo’shnisi) uchun birjinsilik sharti qanoatlansa, qo’shni nuqta bo’laklangan sohaning belgisi bilan belgilanadi. Keyin belgilangan yangi nuqta uchun yana shu jarayon qaytariladi, ya’ni atrofda u bilan birjinsilik shartini qanoatlantiruvchi yangi nuqta izlanadi. Bu jarayon toki tasvirning hamma nuqtalari belgilanmaguncha davom etadi.

Agar oldindan tasvirdagi birjinsli maydonlar soni va boshlang’ich nuqtalarning o’rnini (maydon chegarasidan yetarlicha uzoqda) ma’lum bo’lsa, va birjinsilik mezoni hisoblash uchun murakkab bo’lmasa, ko’rileyotgan usul yordamida yetarlicha sodda algoritmlar tuzish va sifatli natijalar olish mumkin, aks xolda (amalda ko’pincha shunday) bu usullar ancha murakkab jarayonga aylanadi.

Umuman olganda, tasvirlarni segmentatsiyalar usullarini quyidagi to’rtta sinfga ajratish mumkin.

- 1) Vizual bir jinsli sohalar asosida segmentatsiyalash.
- 2) Sohalar chegaralarini ajratish orqali segmentatsiyalash.
- 3) Piksel xususiyatlari asosida segmentatsiyalash.
- 4) Fizik xususiyatlari asosida segmentatsiyalash.

Masalan, fizik xususiyatlari asosida segmentatsiyalashga misol sifatida odam teri rangini ajratib olish masalasini ko’rishimiz mumkin. Ma’lumki, rangli tasvirlarda bitta nuqtadagi rang qiymati uchta rang (*R-qizil, G-yashil, B-ko’k*) aralashmalaridan tashkil topgan. Teri rangidagi

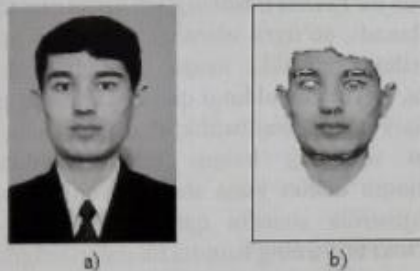
sohalarni ajratish uchun aynan shu ranglar uchun quyidagi shartlar bajarilishi talab etiladi:

$R > 95$  va  $G > 40$  va  $B > 20$  va  $\max(R, G, B) - \min(R, G, B) > 15$  va

$|R-G| > 15$  va  $R > G$  va  $R > B$  va  $[(R*100)/(R+G+B)] < 57$  va

$[(G*100)/(R+G+B)] < 35$  va  $[(B*100)/(R+G+B)] < 35$ .

Berilgan rangli tasvirda teri rangini bo'laklab olish natijasi quyida (4.19-rasm) ko'rsatilgan.



4.19-rasm. Berilgan rangli tasvir (a) va teri rangi sohasi (b).

Endi, bevosita tasvirlarni bo'laklashning bir nechta usullari bilan tanishamiz.

**Tasvirlarni bo'laklashning bo'sag'ali usullari.** Eng oddiy va shu sababli keng tarqalgan bo'laklash usullaridan biri tasvir nuqtalari yorug'ligini bo'sag'alashdir. Bo'sag'ali ishlov berishning mazmuni tasvir yorug'lik funksiyasi —  $f(x,y)$  ni  $S(x,y)$  ga akslantiruvchi  $T$  operator ishlatalish demakdir:

$$S(x, y) = \begin{cases} \lambda_i, & \text{by epda } T_i \leq f(x, y) < T_{i+1}; \\ \lambda_0, & \text{by epda } f(x, y) \leq T_0; \\ \lambda_{i-1}, & \text{by epda } f(x, y) > T_{i-1}; \end{cases}$$

bu yerda  $S(x,y)$  — tasvirlarning bo'laklangan holdagi yorug'lik

funksiyasi,  $K$  — bo'laklangan sohalarni soni;  $\lambda_0, \lambda_1, \dots, \lambda_{k-1}$  — bo'laklangan sohalarning nishonlari;  $T_0, T_1, \dots, T_{k-1}$  — qiymatlarining o'sishish bo'yicha tartiblangan bo'sag'alar ketma-ketligidir. Berilgan oraliqda birjinsli sind tashkil etadilar.

$f(x,y)$  tasvirlardan bo'laklangan  $S(x,y)$  ko'rinishga o'tish faqat mahalliy xususiyat  $N(x,y)$  asosida ham amalga oshirilishi mumkin. Demak, bo'sag'ali ishlov berishga ma'lum bir vaziyatda  $T = [f(x,y), (x,y), N(x,y)]$  bo'sag'a funksiyasini ishga tushirish amali sifatida ham qarash mumkin. Tasvirning har bir nuqtasi bir emas bir necha xususiyatlar to'plami  $N_1(x,y), N_2(x,y), \dots, N_i(x,y)$  bilan bo'laklanishi adabiyotlardan ma'lum tanib olish (raspoznavanie) nazariyasiga aylanadi.

$T$  operator funksiyasining ko'rinishiga karab bo'sag'ali bo'laklash usullari ikkiga bo'linadi. Agar bo'sag'a qiymati tasvir bo'ylab o'zgarmas bo'lsa va mahalliy xususiyat  $N(x,y)$  ga bog'liq bo'lmasa, bunday ishlov berish hamda bo'sag'aning o'zi umumiyligi (global) deyiladi. Agar  $T$  funksiya  $F(x,y)$  gagina emas,  $(x,y)$  koordinatalar va mahalliy xususiyat  $N(x,y)$  ga ham bog'liq bo'lsa, unday ishlov berish va bo'sag'aning o'zi mahalliy deb ataladi. Mahalliy bo'sag'ali ishlov berishga ko'pincha mos umumiyligi usullarning uzviy rivoji deb qarash mumkin.

**O'zgaruvchan bo'sag'ali bo'laklash usuli.** Bunda barcha tabiiy tasvirlar uchun xos bo'lgan notejis yoritilganlik hollarida qo'llaniladi. Bunda ob'ekt va fon elementlarining yorug'lik darajalari nisbatan ko'p ham buzilmasada, tasvirning bir qismida fon va ob'ekt yorug'rak, boshqa qismida xiraroq bo'lishi mumkin. Agar shu tasvir uchun o'zgarmas bo'sag'a ishlatsa u tasvirni biror qismida yaxshi, ikkinchisida esa yomon natijalar berishi mumkin, ya'ni nuqtalarini fonga yoki aksincha bo'laklashi mumkin. Shu kabi muhokamalar tasvirdagi manzaralarda soyalar bo'lsa yoki tasvir sezgirligi o'zgaruvchan qurilma yordamida xosil qilinganda ham o'rini bo'ladi.

Agar notejis yoritish (yoki soya tushishi) biror funksiya yordamida ifodalananadigan bo'lsa, yorug'lik darajasidagi bu xatolikni dastlabki ishlov berish jarayonida matematik yo'l bilan yo'qotish mumkin. Bu

holda umumiy bo'sag'ali bo'laklash qoniqarli natijalar beradi. Agar xatolik haqida oldindan berilgan axborot mavjud bo'lmasa, unda tasvir yoritilish sifati taxminan bir xil maydonlarga bo'linadi va ularning har biri uchun alohida bo'sag'a tanlanadi. Odatda fon va (bitta) ob'ektdan tashkil topgan tasvir histogrammasi qo'sh cho'qqili bo'ladi va bo'sag'a qiymati ular orasidagi eng past joyga mos keladi. Agar maydon faqat ob'ekt yoki fondan iborat bo'lib, mahalliy bo'sag'a tanlashning iloji histogrammalni maydonlarning mahalliy bo'sag'alarining interpolyatsiyasi yordamida topiladi.

Bo'laklashning bu usuli tasvirdagi kichik yuzali ob'ektlarni ajratishda yaxshi samara beradi. Bu usul bilan ishlaganda aniq ko'riniib turgan cho'qqi olishning imkonii bo'lмаган kichik maydonlardan kattarok yuzali maydonga o'tish va uning histogrammasini qo'shcho'qqilikka tekshirish lozim. Tekshirish muvaffakiyatli chiqqan holda olingen mahalliy bo'sag'a qiymati qolgan maydonga interpolyatsiya qilinadi. Yorug'ligi juda xilma-xil bo'lgan tasvirlarda histogramma yordamida bo'sag'a tanlash usuli yaxshi samara bermaydi. Bunday hollarda bo'laklashning boshqa usullari, masalan soha o'stirish usulidan foydalaniлади.

**Donalab o'stirish algoritmlarida** nuqta shoxlanish nuqtasi deb qaraladi va yorug'lik darajasi unikiga yaqin bo'lgan elementlar unga qo'shib olinadi. Bog'lanish uzilmagan komponentaga tegishli nuqtalarning maksimal to'plami izlangan bo'laklar bo'ladi. Bu yerda birjinslilik mezoni – «yetarlicha o'xhash» tushunchasi – qo'shni nuqtalar yorug'ligining farqi bilan aniqlanadi: ikkita nuqta yetarlicha o'xhash bo'ladi, agar ularning yorug'liklari farqi yetarlicha kichik bo'lsa. Bu usul algoritmlari o'zining soddaligi bilan diqqatga sazovor, lekin ularda turli soha nuqtalarining qo'shilib ketish ehtimoli yuqori, shuning uchun birjinslilik mezonini aloxida e'tibor bilan tanlash zarur.

**Duragay qo'shib olish usuli bilan o'stirish algoritmlari** donalab o'stirishga nisbatan ishonchlirok, chunki o'xhashlikni aniqlashda ma'lum xossalardan foydalaniб, turli sohalarning qo'shilib ketishiga kamroq yo'l qo'yadilar. Bu xossalardan nuqtaning  $N \times N$  atrofida nuqtalarga bog'liq: nuqtalar o'xhash deyiladi, agar ularning atroflari ma'lum ma'noda o'xhash bo'lsalar (bo'laklash nuqtalarining xususiyatlari vektorlarini solishtirish yo'li bilan amalga oshiriladi).

Masalan,  $(f_1, a), (f_2, b)$  – ikki nuqtaning belgilari (xususiyatlari) vektori bo'lsin, bu yerda  $f_1, f_2$  nuqtalarning yorug'lik qiymati,  $a, b$  – ularning  $n \times n$  atrofining o'rtacha yorug'ligi.  $P = W_1(f_1, f_2) + W_2(f_1, b) + W_3(f_2, a)$  ifoda, bu yerda  $W_1, W_2, W_3$  – musbat ta'sir koefitsientlari, o'xhashlikni aniqlaydi. Agar  $P$  yetarlicha kichik bo'lsa, nuqtalar o'xhashdir.

**Markaziy qo'shib olish yuli bilan o'stirish bo'laklashning eng keng tarqalgan usullariga kiradi.** Unda boshlang'ich nuqta va nishonlarni tanlashda xech qanday turli nishonli ikki nuqta qo'shni nuqtalar turli ob'ektlarga; 2) bir xil nishonli ob'ektlar 1 ta ob'ektga qarashli bo'lishi kerak degan talablar bajarilishiha intilish kerak. Bu talablar faqat boshlang'ich nuqtalar bir-biridan yetarlicha uzoq olinib (ob'ektning maksimal kengligidan kattaroq masofada), aloxida nishonlar bilan nishonlangandagina bajariladi. Bir nechta nuqta bir xil nishon bilan nishonlanganda ular deyarli bir jinsli maydon xosil qilishi ma'lum axborot asosan boshlang'ich nuqtalar tanlash uchun ishlataladi.

Boshlang'ich nuqtalar tanlash nolinchi qadam,  $k$  – qadamdan  $(k+1)$  – chisiga o'tish quyidagicha. Agar  $S_k K$  – qadamdan so'ng xosil bo'lgan nuqtalar to'plami bo'lsa,  $(k+1)$  – qadamda  $S_{k+1}$ ga taqalib turgan, ya'ni  $S_k$ ga kirmaydigan, lekin xech bo'lмаганда bitta  $S_{k+1}$ ga qarashli qo'shni bo'lgan nuqtalar taxlil qilinadi. Faraz qilaylik  $A$  shunday nuqta va  $\lambda_1, \dots, \lambda_r$  lar  $(K+1)$  – qadamda ishlataligan nishonlar bo'lsin. 1) Agar  $A$  ning barcha qo'shnilarini  $\lambda_i$  nishonli bo'lsa va  $A$  ular bilan birga biror bir jinslilik shartini (odatda  $|B(A) - B_2| < T$ ,  $B(A)$   $A$  nuqtadagi yorug'lik  $B_A$  – nishonli nuqtalarning o'rtacha yorug'ligi,  $T$  tanlab olingen bo'sag'a qondirsa  $A$  nuqta  $\lambda_i$  nishon bilan, aks holda  $\lambda_{i+1}$  nishon bilan belgilanadi; 2) qo'shni elementlar  $\lambda_1, \dots, \lambda_r$  nishonli bo'lsa ( $4$ -bog'lanishda  $1 \leq i \leq 4$ ) ularning har biri uchun

$$|B(A) - B_{\lambda_i}| < T, i \in [1, l]$$

shart tekshiriladi, agar u yagona  $i = i^0$  uchun bajarilsa  $A$  nuqta  $\lambda_{i^0}$  bilan nishonlanadi, aks holda  $A$  yangi nishon bilan nishonlanadi. Murakkab hollarda bu shart bir nechta nuqta uchun, masalan  $i=1$  va  $i=2$  uchun o'rinni. Bu hollarda  $\lambda_1$  va  $\lambda_2$  nishonli sohalar qo'shilib ketadi. Qo'shilib

ketish deganda  $\lambda_1, \lambda_2$  nishonlardan yagona  $\min(\lambda_1, \lambda_2)$  nishonga o'tib  $K$  qadamda olingen nishonlash o'zgartiriladi. Oldin ko'rib o'tilgan nuqtalarni qayta boshdan nishonlashga to'g'ri keladi. Sohalarning qo'shilib ketishi markaziy qo'shib olish usulining muhim vaziyatlaridandir. Bu muammo (qo'shilib ketish) qanchalik kam uchrasa, algoritm natijasi shuncha ishonchli va ishlash vaqt shuncha kam bo'ladi. Odatda qo'shilib ketishlar soni bo'sag'ani va boshlang'ich nuqtalarni to'g'ri tanlashga bog'liq. Odatda bu muammoni hal etishda evristik shartlardan foydalaniladi. Faraz qilaylik  $P_1$  perimetrali  $R_1$  soha  $P_2$  perimetrali  $R_2$  sohaga chegaradosh va ularning umumiy chegarasi  $S$  uzunlikka ega bo'lsin. Bu chegaraning ikki yonidagi nuqtalar yorug'ligi farqi  $T > 0$  bo'sag'adan kichik bo'lgan qismi uzunligi  $D$  ni topamiz. Agar  $D > 0,5\min(P_1, P_2)$  bo'lsa,  $R_1$  va  $R_2$  qo'shnilar, aks holda o'zgarishsiz koladi. Bu kichik yuzali sohalarning katta yuzalilariga singib ketishiga olib keladi, o'zaro yaqin yuzalilar esa o'zicha koladi.  $D > 0,75 c$  da ortiqcha qo'shilib ketish ro'y beradi.

**Sohalarning qo'shilishi-bo'linishi usulida tasvirlarni bo'laklash.** Bu usul algoritmlari markaziy qo'shib olish algoritmlaridan asosan nuqtalarni ko'rib chikish tartibi bilan farqlanadi. Ular iloji boricha kattaroq bir jinsi maydonlar ajratishga qaratilgan.

Tasvir  $m*m(m=2^k)$  nuqtadan iborat deylik. Aloxida nuqtalarini 0 darajali sohalar deb ularni  $S_{ij}^0, i, j \in [1, 2^k]$  bilan nishonlaymiz. Birinchi darajali sohalarni esa 4 ta 0-darajali soha yig'indisini  $S_y = S_{2i-1, 2j-1}^0 \cup S_{2i-1, 2j}^0 \cup S_{2i-1, 2j+1}^0 \cup S_{2i, 2j}^0$  bilan aniqlaymiz. Endi  $P \leq K$  uchun R-darajali sohani aniqlaymiz:

$$S_y^P = S_{2i-1, 2j-1}^{P-1} \cup S_{2i-1, 2j}^{P-1} \cup S_{2i-1, 2j+1}^{P-1} \cup S_{2i, 2j}^{P-1};$$

Oxirgisi  $K$  - darajali soha bo'ladi, u yagona bo'lib, manba tasvirga tengdir. Bu bo'linishlarning asosiy xususiyatlari quyidagilardan iborat:

- 1)  $R$  - darajali sohalari soni,  $0 \leq P \leq K$ ,  $2^{2(K-P)}$  ga teng;
- 2) ixтиiyoriy daraja sohalari yig'indisi manba tasvirni beradi;
- 3) har bir  $R$  - darajali soha  $2^{2k}$  ta elementdan iborat;
- 4) har bir  $(R+1)$  - darajali soha  $R$  - darajali 4 soha yig'indisidan iborat.

Bu algoritm ko'rileyotgan daraja uchun har bir mos 4 ta qo'shnini

ko'rib, agar ular biror birjinslilik shartini qanoatlantirsa, hammasiga o'rtacha qiymat beradi (shu 4 qiyamatning o'rtachasini), aks holda ularni alohida nishon bilan nishonlaydi va keyingi boskichlarda ulardan foydalanmaydi. Shu darajali barcha sohalar ko'rib chiqilgach, navbatdag'i darajaga o'tiladi va oldingi daraja elementlarining 4 tasini bu darajadagi 1 ta element deb qarab, yuqorida jarayon takrorlanadi. Masalan,  $S_y$  sohalarning har bir elementi  $S_{2i-1, 2j-1}, \dots, S_{2i, 2j}$  lardan,  $S_y^2$  niki esa,  $S_{2i-1, 2j-1}, \dots, S_{2i, 2j}$  lardan (ya'ni 16 ta 0-daraja elementlaridan) tuzilgan va xokazo. Bu jarayon navbatdag'i daraja uchun birorta ham birjinsli soha topishning iloji bo'lmasa to'xtaydi. Natijada turli darajali va turli kattalikdag'i bir qancha bir jinsi maydonlarga bo'lingan tasvirga ega bo'lamiz. Ko'riniib turibdiki, bu algoritm yorug'lik qiymati o'zgarishi kam bo'lgan tasvirlarda esa mayda-mayda sohalar hosil qiladi. Yuqorida biz pastdan yuqoriga yurib bo'laklashni ko'rdik. Ba'zi hollarda esa aksincha, yuqorida pastga yurib bo'laklanadi (bo'linish uslubi), ba'zan esa biror  $q$  darajadan boshlab bu ikkala yo'nalish ham qo'llash o'rini bo'ladi. Bu yo'llardan qaysi birini tanlash yechilayotgan masala, ishlataligan algoritm va boshqalarning xususiyatlariiga bog'liq.

Ko'rib o'tganimiz - bo'laklash usullarini umumiy holda tahlil qiladigan bo'lsak, ularda hisoblash amallarining juda ko'pligini bilamiz. Bu esa, o'z navbatida algoritm ishlash tezligini tushbrib yuborishi mumkin. Bu ayniqsa, "Real vaqt" rejimida algoritm va dasturlarning ishonchsiz ishlashiga sabab bo'lishi mumkin. Shu sababli ham algoritmlarning ishlash tezligini hamda samaradorligini oshiruvchi usullardan foydalanish zarur.

Algoritm ishlash tezligini oshirivchi eng samarali usullardan biri **rekursiya usulidir**. Biz o'z tadqiqotlarimizda tasvirlarni bo'laklash masalasida rekursiyadan foydalanish usullarini ishlab chiqdik [54]. Quyida ushu usulni ko'rib chiqamiz.

**Rekursiya** g'oyasi shundan iboratki, ko'rileyotgan jarayonda bajariladigan amal o'zining ichki jarayonida yana qayta o'ziga murojaat qiladi. Natijada dastlabki olingen natija uchun shu funksiya yana o'z vazifasini bajaradi. Buni matematik nuqta'i nazardan quyidagicha ifodalash mumkin:

$$\begin{cases} x \rightarrow x \\ x \rightarrow C \end{cases}$$

Bu yerda  $x$  funksiyasi o'ziga  $x$  yoki o'zgarmas qiymat  $S$  ga teng.

Bu amalni tasvirlarni soha o'stirish usuli uchun tadbiq qilinsa, algoritm yoki dastur matni hajmining kattalashib (yoki murakkablashib) ketishi va vaqtini ko'p sarflanishini oldi olinadi. Ya'ni, ehtimolli xatoliklardan halos bo'linadi. Bu esa, albatta, natijaning ishonchli va tezkor bo'lismiga imkon beradi. Tasvirni bo'laklashning soha o'stirish usuli algoritmiga quyidagicha tadbiq qilish mumkin.

$$f(x, y) = \{rang; g(m, n) = 1; f(m, n)\} \text{ bo'ladi,}$$

$$\text{agarki } f(x, y) - f(m, n) < T \text{ ea } g(m, n) > 1 \text{ bo'lsa.}$$

bu yerda  $f(x, y)$  - tanlangan nuqta uchun bajariladigan funksiya;  $rang$  - ko'rileyotgan nuqta uchun beriladigan rang turi;

$g(x, y)$  - tekshirilgan nuqta koordinatasi tekshirilganligini ta'minlovchi nishonlar massivi;

$T$  - tanlangan va ko'rileyotgan nuqtalar o'rtasidagi tafovut (farq)ni tekshirish bo'sag'asi;

$f(m, n)$  - ko'rileyotgan nuqta koordinatasi.

Rekursiv funksiyadan foydalanib tasvirni bo'laklash natijasini quyida (4.20-rasm) ko'rishimiz mumkin.



a)



b)



c)

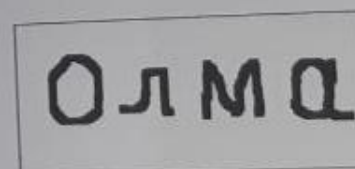
4.20-rasm. Soha o'stirish usulida rekursiv funksiyadan foydalanish. a) - berilgan rangli tasvir; b) - taslash natijasida tilangan tasvir; c) - taslash natijasida bo'laklangan tasvir.

#### 4.6. Tasvir skeletini aniqlash usullari

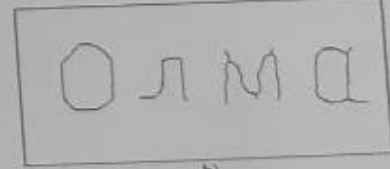
"Tasvir skeleti" – bu binar tasvirni ingichkalashtirish usullari yordamida olingan tasvir asosidir.

Tasvirlarni ingichkalashtirishning bir necha usullari ishlab chiqilgan. Xususan, "Topologik qisish", "Ingichkalashtirish", "Skelet olish", "Masofa almashtirish" kabilalar shular jumlasidandir. Tasvirni, to'g'riroq'i tasvirdagi ob'ektni ingichkalashtirish masalasini hal etishda bir qator shartlarni qanoatlantiruvchi mezonlarni e'tiborga olish zarur. Bular, "Halaqtamlarni yo'qotish", "Uzilishga yo'l qo'ymaslik", "Bog'liqlik shartlari" kabi mezonlardir. Ta'kidlash kerakki, bu jarayonlar ba'zan murakkab jarayonlarga aylanishi mumkin. Shuning uchun ishlarni tashkil etishda ketma-ketlikka hamda aniqlikka e'tiborni qaratish lozim. Ayniqsa, tasvir hajmi katta yoki ob'ekt shakli murakkab ko'rinishga ega bo'lganda algoritmlarning ishlash tezligi tushib ketish yoki umuman ishlamaslik holatlari uchrab turadi.

Binar tasvirda ob'ektning skeleti (asosi) uning muhim belgilarini ifodalovchi omil hisoblanadi. Ob'ektni atrofidan yemirib borish natijasida markaziy asos ajratib olinadi. Yemirish, ya'ni ingichkalashtirish jarayoni toki nuqta(piksel)lar kengligi 1 ga teng bo'lib qolgunga qadar davom etadi. Demak, 1 kenglikdagi ob'ekt yoki binar tasvir ingichkalashgan tasvir, ya'ni asos sifatida qaraladi. Quyidagi rasmda (4.21-rasm) "Olma" so'zining binar tasviri va uning skeleti (asosi) ko'rsatilgan.



a)



b)

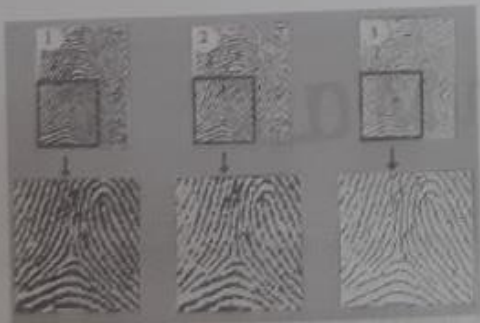
4.21-rasm. "Olma" so'zining binar tasviri va uning skeleti.

Ta'kidlash kerakki, tasvir yoki undagi ob'ektning assosi, ya'ni skeleti ayni shu ob'ektning muhim xususiyat(belgi)larini ifodalaydiki, bu belgilarni keyinchalik tasvirlarni tanib olishda yoki ularni tahlil

qilishda ishlataladi. Belgilarning qanchalik aniq topilganligi pirovard natijada qo'yilgan ilmiy-amaliy masalaning yechimiga bevosita ta'siri bilan ifodalanadi. Aslida, ingichkalashtirish usullarining asosiy maqsadi belgilarni yanada ishonchli aniqlashdir. Ingichkalashtirish usullari ham turlicha bo'lib, ularni masalaning mohiyatidan kelib chiqib, o'z o'mida qo'llash lozim.

Ingichkalashtirish amallarida bir qator shartlarni e'tiborga olish zarur. Masalan, chiziqlarning uzilib qolmasligi, yemirilib ketmasligi, ob'ekt kengligi 1 ta dan ko'p bo'lmasligi, chiziqlarning ortib ketmasligi kabilar shular jumlasidandir.

Ingichkalashtirish, ya'ni skelet olish usullari bevosita ilmiy-amaliy masalalarni hal etishda muhim ahamiyat kasb etishini ta'kidlagan holda, biror amaly masalaning yechimida bu usullarning ahamiyati to'g'risida to'xtalsak. Masalan, odam shaxsini biometrik usullar yordamida, xususan barmoq izi tasviri yordamida tanib olish masalasini ko'raylik. Bizga ma'lumki, barmoq izi turli shakldagi chiziqlardan iborat. Unda muhim identifikatsion belgilarni aniqlash uchun avvalo tasvirni biror usul yordamida binarlashtirish va keyingi bosqichda ingichkalashtirish kerak bo'ladi. Ingichkalashtirish amali bajaraligandan keyingina undagi belgilarni ishonchli topish imkoniy paydo bo'ladi. 4.22-rasmida barmoq izining binar tasvirlari va ularning skeleti, ya'ni ingichkalashtirilgan ko'rinishi aks etgan.

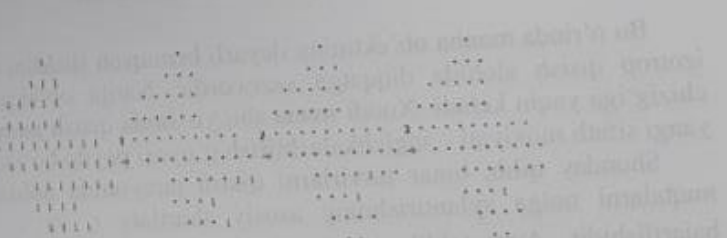


4.22-rasm. Barmoq izini binarlashtirish va undan skelet olish natajalari.

Endi, bevosita ingichkalashtirish usullari bilan tanishamiz. **Topologik qisish.** Adabiyotlarda eroziya deb ataladigan topologik qisish tasvirdagi bog'liq komponentlar sonini aniqlash vositasi, ingichkalashtirish va skelet olish usullarining asosi sifatida diqqatga molikdir. Topologik qisishning (bundan buyon oddiy qilib qisish deb ataladi) maqsadi tasvirdagi bir bog'lamlili komponentlarni bitta elementga keltirishdir. Siqishning mavjud algoritmlari birinchi navbatda ularni vazifasi - bir yoki ko'p bog'lanishli komponentlarga ishlov berish imkoniyati; masalaning sifati - sohalarni (to'plamostilarini) bitta elementga keltirish kerakmi, yo markaziy qismini qoldirish kerakmi?; amalga oshirish vositalari-parallel ishlov berish kerakmi, yoki ketma-ketmi? degan nuqtai-nazarlar asosida farqlash lozim. Siqish amali mos elementlarni birin-ketin yo'qotishga asoslangan.

Bir bog'lanishli komponentlarni qisishda sifatiga qarab yo'nalgan, yoki izotrop qisish amalga oshirilishi mumkin.

Yo'nalgan qisishda elementlarni tasvir bo'ylab yurish paytida agar ular komponentning bog'lanishini ta'minlab turgan bo'lmasa, yo'qotib boriladi. Bunday qisish algoritmlari ketma-ket ishlaydi va bitta (agar ob'ekt qabariq bo'lsa), yoki bir nechta iteratsiyani talab etadi (4.23-rasm).

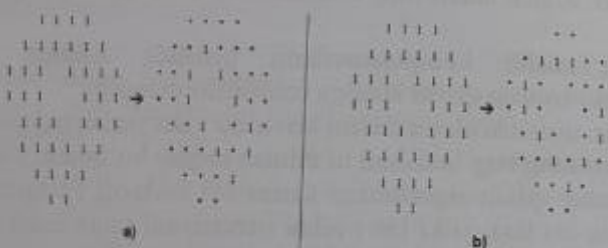


4.23-rasm. Qobariq ob'ekt uchun iteratsiya.

Izotrop qisishda esa natija bog'liq komponent markazi (yoki uning yaqin atrofi)ga intildi. Ya'ni, har bir qadamda ob'ekt faqatgina chegaraviy nuqtalarigina yo'qotiladi, ob'ekt chegara bo'ylab yemiriladi. Nuqtalarni ko'rib o'tish boshlash joyiga karab turlicha

natija olinadi. Ketma-ket ko'rib o'tish uslubini parallel bilan ajratish mumkin, lekin bu kutilmagan natijalarga olib kelishi mumkin, masalan, komponentning butunlay yoyilib ketishiga. Bunday hollarda parallel algoritm har iteratsiyada 4 ta qadamga bo'linadi va ularning har birida bitta yo'nalishdagi chegara elementlari tahlil qilinadi.

Ko'pbog'lik komponentlarni qisish paytida topologik xususiyatlarini saqlab qolish maqsadga muvofiqdir, shuning uchun  $Y_2$  shart -elementini yo'qotish komponent (fon) bog'liqligiga ziyon bermasligi ishlataladi. Bunday hollarda ixtiyoriy chiziqli ob'ektlarni olamiz. Bir teshikli komponentni qisish esa yagona element emas, yopiq eni bir nuqta bo'lgan chiziqli tuzilmaga olib keladi (4.24-rasmda a) - yo'nalgan algoritm natijasi, b) - izotrop algoritm natijasi).



4.24-rasm. Yo'nalgan (a) va izotrop (b) algoritm natijasi.

Bu o'rinda manba ob'ektining deyarli benuqson shaklini saqlagan izotrop qisish alohida diqqatga sazovordir. Natija ob'ektning o'q chizig'iga yaqin keladi. Xuddi mana shu yo'sinda qisish jarayonining yangi sifatlari moxiyati – ingichkalashtirish g'oyasi paydo bo'ladi.

Shunday qilib, binar tasvirlarni qisish jarayonida noldan farqli nuqtalarini nolga aylantirishning asosiy shartlari  $Y_1$  va  $Y_2$  larning bajarilishidir. Agar tahlil etishda ob'ektni 8-bog'lanishli, fanni 4-bog'lanishli desak,  $Y_1$  va  $Y_2$  larni  $X_0$  va uning 8-atrofi

$$\begin{pmatrix} X_0 & X_1 & X_2 \\ X_1 & X_2 & X_3 \\ X_2 & X_3 & X_4 \end{pmatrix} \text{ uchun } X_i = (0, 1) \quad \forall f \in [0, 8]$$

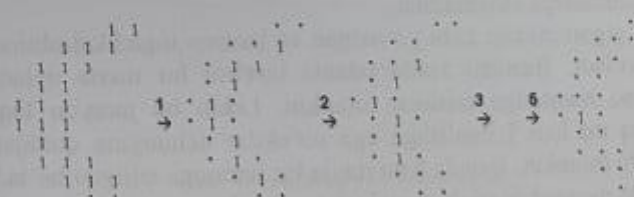
$Y_1 : X_0$  – chegara nuqta, agar  $3x_i \in N^8_j : x_i = 0, 1 \in [1, 8]$

$$Y_2 : CN^{[8]}(x_0) = 1, \text{ o'y epoda } CN^{[8]}(X_0) = \sum_{k=1,3,5,7}^8 (x_k - x_1 x_{k+1} x_{k+2}),$$

$$\overline{X_k} = 1 - X_k, k = k \bmod 8, \text{ o'y epoda } X_1 \in (0, 1) \quad \forall f \in [1, 8].$$

Mavjud algoritmning ko'pchiligi  $Y_1$  shart ko'rinishini o'zgartirish va yuqorida keltirilgan algoritmardan foydalanish yo'li bilan olingan. Siqish sifati asosan qo'llangan algoritm va tahlil etilayotgan ob'ekt tuzilishiga bog'liq. Algoritmning tezroq ishlaydigani ketma-ket qisishdir.

**Ingichkalashtirish.** Agar ob'ekt cho'zinchoq bo'lsa (ya'ni bo'y ni eniga nisbatan bir necha marta katta), uni sifatlari qisish uchun anchagina ko'p iteratsiya lozim bo'ladi (4.25-rasm). Shuning uchun uni bir nuqta kenglikdagi chiziq ko'rinishiga keltirish, ya'ni qisish jarayonini shunday chiziq hosil bo'lishi bilan to'xtatish maqsadga muvofiqroq bo'ladi. Bu chiziq ob'ektning o'q chizig'i yoki o'rtal chizig'ini beradi. Bu holda qisish algoritmi yangi mazmun kasb etadi: har bir iteratsiyadan so'ng olingan nuqtalar to'plami chiziqli ko'rinishiga kelgan-kelmaganligi tekshiriladi. Xuddi ana shu amal sifatlari ingichkalashtirish tushunchasini aniqlaydi.

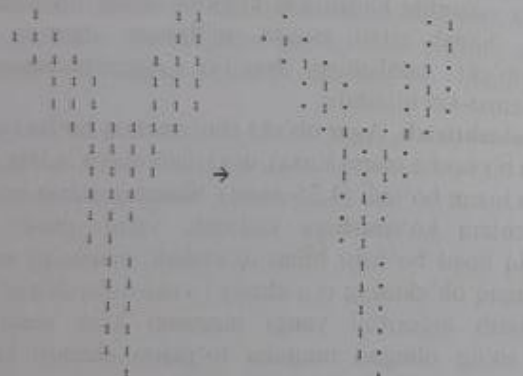


4.25-rasm. Ingichkalashtirishning umumiy sxemasi.

**Odatda** chiziqli ob'ektlarni qisish ularning to'gallanish nuqtalarini ketma-ket yo'qotish demakdir, shu sababli ingichkalashtirish jarayoniga ayni  $Y_3$  shart tugallanish nuqtalarini saqlash sharti kiritilishi

tabiiy xoldir. Shunday qilib ingichkalashtirish amali  $Y_3$  shartni xisobga oluvchi qisish jarayoni umumlashmasi ekanligiga amin bo'ldik. Ko'p sonli ingichkalashtirish algoritmlarni topologik qisish jarayoniga o'xshab sinflarga bo'lismumkin.

Bir bog'liq komponentlarni ingichkalashtirish approksimatsiyaga olib keladi, umumiyo ko'rinishda bu daraxt ko'rinishidagi bog'langan tuzilmadir (4.26-rasm).



4.26-rasm. Chiziqli approksimatsiyalangan holat.

Ko'p bog'liq komponentlar manbaga topologik teng kuchli mos chiziqli tuzilmalarga akslanadilar.

Siqish algoritmidagi kabi yo'nalgan va izotrop ingichkalashtirish amallari bo'ladi. Birinchi xolda odatda tasvirni bir marta aylanib chiqishdayoq maqsadga erishish mumkin. Lekin bu jarayon faqat cho'zinchoq ma'lum yo'nalishga ega ob'ektlar uchungina qoniqarli natija berishi mumkin, shunda ham natija bir tomoniga siljigan bo'ladi. Ikkinci xol maqsadga erishish uchun tasvir elementlarini bir necha katta aylanib chiqishni (interativ usulda) talab etadi, ularning soni komponentlarning parametrlariga bog'liq bo'ladi.

**Skelet olish.** Odatda algoritmlar 4 yoki 8 bog'li tugallanish nuqtalari bilan ishlaysilar. Lekin, agar ob'ekt chegarasi qaychisimon bo'lsa, uning ko'pgina nuqtalarini tugallanish nuqtalari bilan adashitirish mumkin, bu hol ingichkalashtirish sifatini pasaytirishi

mumkin (masalan juft enli chiziqlar butunlay yo'qolishi mumkin). Xuddi siqishdagiday, bu yerda ham ma'lum yo'nalishli elementlarni yo'qotuvchi qo'shimcha amallar kiritamiz.

**Bunday** ob'ektlarning tuzilishi nisbatlari va xususiyatlarni hisobga olish uchun ingichkalashtirish jarayoniga  $Y_4$  shart-burchaklami saqlash-kiritildi va tasvirdan skelet olish (o'q yoki qovurg'a qurish) jarayoniga umumlashtirildi. Tabiatiga ko'ra  $Y_4$  shart ham  $Y_3$  ga o'xshab diskret sohada yagonalik shartini qanoatlantirgani sababli skelet olish va yoki ingichkalashtirishning behisob yangi soddalashtirilgan algoritmlari tug'ilishiga asos bo'ladi.

**Skelet** olish usuli bo'yicha algoritmi ko'rib chiqsak. Bu algoritanchagina tezkor, soddha va ko'p hollarda qoniqarli natija beradi. Ob'ekt (qiymati 1 ga teng) va fon (qiymati 0 ga teng) nuqtalarini mos ravishda qora va yorug' nuqtalar deylik. Ob'ekt konturi nuqtasi deb o'zining 4-atrofida xech bo'limganda 1 ta yorug' qo'shnisi bo'lgan nuqtaga aytildi. 8-atrofida faqtgina 1 ta qora nuqtali element tugallanish nuqtasi deyiladi. Tashlab yuborish ob'ektda uzilish hosil bo'lishiga olib keladigan nuqta uzilish nuqtasi deyiladi. Nuqta va uning atrofini 4.27-rasmdagiday belgilaymiz.  $P$  nuqta quydagi hollarda kontur nuqtasi bo'lishi mumkin: 1) chap qo'shnisi yorug' nuqta; 2) o'ng qo'shnisi yorug' nuqta; 3) yuqori qo'shnisi yorug' nuqta; 4) pastki qo'shnisi yorug' nuqta.

$n_3$	$n_2$	$n_1$
$n_4$	$p$	$n_0$
$n_5$	$n_6$	$n_7$

4.27-rasm. Nuqta va uning atrofi.

$P$  kontur nuqta nishonlanadi, agar u tugallanish yoki uzilish nuqtasi bo'lmasa. Bu shartlar uning atrofini tekshirib aniqlanadi (4.28-rasm), bu yerda  $P$  va \* qora nuqtalar,  $d, e$  lar yo qora yo yorug' nuqqlar. Agar  $d$  va uning atrofi 4.28a, b, c) - rasmlardagi nuqtalarga mos kelsa ikki hol bo'lishi mumkin: 1) barcha  $d$  lar yorug' nuqta, demak  $P$

tugallanish nuqtasi. 2) birorta  $d$  qora bo'lsa  $P$  uzilish nuqtasi. Ikki holda ham  $P$  nishonlanmaydi.

a)	<table border="1"><tr><td>*</td><td>d</td></tr><tr><td>p</td><td>d</td></tr><tr><td>d</td><td>d</td></tr></table>	*	d	p	d	d	d			
*	d									
p	d									
d	d									
b)	<table border="1"><tr><td>d</td><td>d</td><td>d</td></tr><tr><td>*</td><td>p</td><td>d</td></tr><tr><td>d</td><td>d</td><td></td></tr></table>	d	d	d	*	p	d	d	d	
d	d	d								
*	p	d								
d	d									
c)	<table border="1"><tr><td>d</td><td></td><td></td></tr><tr><td>p</td><td>*</td><td></td></tr><tr><td>d</td><td></td><td></td></tr></table>	d			p	*		d		
d										
p	*									
d										
d)	<table border="1"><tr><td>d</td><td>d</td><td>d</td></tr><tr><td>e</td><td>e</td><td>e</td></tr><tr><td>e</td><td>e</td><td>e</td></tr></table>	d	d	d	e	e	e	e	e	e
d	d	d								
e	e	e								
e	e	e								

4.28-rasm. Tekshirish shartlari.

$R$  nuqta va atrofini 4.28-rasmdagi 4 niqobga mosligi bul mantiqiy algebrasining quyidagi formulasi yordamida tekshiriladi:  $V_4 = n_0 \vee n_1 \vee n_2 \vee n_3 \vee n_4 \vee n_5 \vee n_6 \vee n_7$ , bu yerda  $V$ ning indeksi 4 chap qo'shni  $n_4$  yorug' nuqtaligini, nuqta belgisi (.) -mantiqiy «va» amalini,  $\vee$  -mantiqiy «yoki» amalini, tepe chiziq ( $n$ ) matiqiy raddiyani bildiradi. Buning uchun oldin nishonlanmagan qora nuqtalar va nuqtalarga 1 (true), va nishon olgan nuqtalarga 0 (false) qiymat beriladi, shunda  $V_4 = 1$  (true) bo'lsa nishonlanadi, aks holda o'zgarishsiz qoladi.  $V_4$  ga qo'yilgan shartlar 4.28-rasmda keltirilgan 4 niqobning har biri uchun bar vaqtda bajarilishini osongina ko'rsatish mumkin. Shunga o'xshash ifodani o'ng qo'shnisi nolga teng bo'lgan hol uchun ham yozish mumkin:

$$V_0 = n_4 (n_2 \vee n_3 \vee n_5 \vee n_6) \cdot (n_5 \vee \bar{n}_7) \cdot (\bar{n}_1 \vee n_2); \quad \text{yuqori nol uchun:}$$

$$V_2 = n_6 (n_0 \vee n_1 \vee n_5 \vee n_7) \cdot (n_0 \vee \bar{n}_1) \cdot (\bar{n}_3 \vee n_4); \quad \text{va pastki nol uchun:}$$

$$V_6 = n_2 (n_0 \vee n_1 \vee n_3 \vee n_4) \cdot (n_4 \vee \bar{n}_5) \cdot (n_6 \vee \bar{n}_7) \quad \text{bo'ladi.}$$

Algoritm bu formulalar yordamida iterativ ishlab tasvirni ikki qaytadan ko'rib chiqadi. Ko'rib chiqishni satr bo'ylab ham, ustun bo'ylab ham bajarish mukin, lekin odatda qay usuldan harakatlanish natijaga ta'sir ko'rsatadi. Birinchi holda nishonlash  $V_4$  va  $V_0$  asosida bajariladi. Ikkinci qayta aylanib chiqishda tasvirda o'zgarish bo'imasa, algoritm o'z ishini to'xtatadi va manba skelet nishonlangan nuqtlardan iborat bo'ladi, aks holda jarayon yangidan boshlanadi. Shuni qayd etish kerakki bul ifodalarni hisoblash oldindan qora nuqtalarga nol qiymat yuboriladi. Bu alternativ jarayonning mohiyati nishonlangan

nuqtalarga nol yuborish va uning natijasiga fon nuqtalariga ishlov berish skelet olish jarayoni oxirida amalga oshiriladi. 4.29-rasmda tasvir va uning shu algoritm bilan olingen skelet ko'rsatilgan.



4.29-rasm. Tasvir va uning skeleti.

Ta'kidlash kerakki, binar tasvirni ingichkalashtirish (skeletini olish) usullaridan tasvirning asosini (yoki belgilarini) aniqlashda foydalaniladi. Masalan, amaliy dasturimiz asosida biror fotosuratning konturini aniqlab, so'ng uning skeleti (asosi)ni ajratishga harakat qilamiz. Avvalo, dastur asosida fotosurat konturlarini ajratamiz. Shundan so'ng olingen kontur natijaning skeletini aniqlash uchun ingichkalashtirish usulidan foydalananamiz va natijaga erishamiz. Bu yerda 4.30a-rasm - berilgan fotosurat; 4.30b-rasm - uning konturlari natijasi; 4.30c-rasm - kontur skeleti.

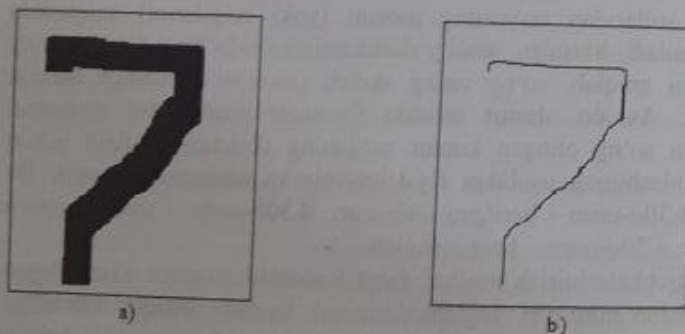
Ingichkalashtirish usullari faqat fotosuratlar uchun o'rinni degan fikr albatta noto'g'ri. Ingichkalashtirish usullari ayniqsa, tasvirdagi xarflar (yoki sonlarni) tanib olish (aniqlash) da ham qo'l keladi. Masalan avtomobil nomerlarini aniqlash masalasida ingichkalashtirish usullariga albatta murojaat qilinadi. Keling, bitta raqam uchun natijani ko'ramiz. 4.31a-rasmda "7" soni aks etgan binar tasvir berilgan. Dastur asosida uning ingichkalashgan (skelet) ko'rinishini aniqlaymiz (4.31b-rasm). Natijadan ko'rish mumkinki, haqiqatan ham "7" raqaming

asosi ajratib olingan.

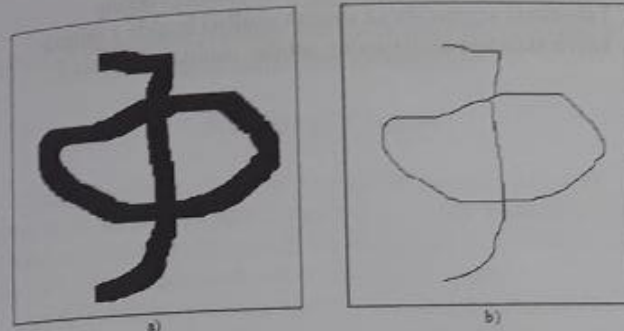
Shuningdek, ingichkalashirish usullaridan xarflarni tanib olishda ham foydalaniladi. Masalan, mashxur FineReader dasturi skanerdan olingan tasvir ko'rinishidagi yozuvlarni (xarflarni) tanib olish (aniqlash)ga mo'ljallangan bo'lib, unda ingichkalashirish usulidan albatta foydalanilgan. Dasturimiz asosida "F" xarfining binar tasviri va uning skeletini aniqlashga harakat qilamiz. Natija yomon chiqmadi. 4.32-rasmda natijani yaqqol ko'rishimiz mumkin.



4.30-rasm. Berilgan tasvir (a), uning kostusi natjasi (b) hamda uning ingichkalashirilgan (skelet) natjasi (c).



4.31-rasm. "7" soni aks etgan binar tasvir (a) va uning skelet asosi (b).



4.32-rasm. "F" xarfi aks etgan binar tasvir (a) va uning skelet asosi (b).

#### 4 bob bo'yicha nazorat savollari

1. Rangli tasvir deganda nima tushinasiz ?
2. Kompyuter xotirasida ranglar qanday saqlanadi ?
3. Rangli va kulrang tasvirlar kompyuterdag'i ifodalanishini tushuntiring.
4. Tasvirlar va tasvirlar oqimini tushuntirib bering.
5. Video oqim hosil qilish usullarini tavsiflang.
6. Rangli tasvirlar haqidagi fikrlaringizni aytинг.
7. Tasvir sifatini yaxshilashning mediamma usuli mohiyati nimada ?
8. Tasvir sifatini yaxshilashda chiziqli tiniqlashtirish usuli ahaniyati va imkoniyati.
9. Tasvir distogrammalari tahlilini tushuntirib bering ?
10. Tasvirni binarlashtirish deganda nimani tushunasiz ?
11. Kulrang tasvirlarni binarlashtirish shartini tushuntiring.
12. Yapon olimi Nobuyuki Otsu yaratgan usul nima uchun xizamat iladidi ?
13. Nima uchun tasvir kontur chiziqlarni aniqlashga ehtiyoj sezamiz ?
14. Vertikal va gorizontal yo'naliш bo'yicha gradiyent xisoblashlar nima uchun kerak bo'ladi ?
15. Gradient hisoblashning Robert va Sobel usullarini tushuntirib bering.

16. Kontur ajratishning niqob usulini tushuntirib bering.
17. Tasvirlarni segmentlarga ajratish usullari haqida gapiring.
18. Tasvir skeletini aniqlashning qanday usullarini bilasiz?

**5 bob**  
**OpenCV bibliotekasi funksiyalaridan foydalanib video-tasvirlarni qayta ishlash texnologiyalari**

### 5.1. OpenCV haqida

OpenCV (Open Source Computer Vision Library) bu – kompyuterli ko'rish va tasvirlarga ishlov berish algoritmlari hamda sonli algoritmlarning ochiq kodli bibliotekasidir. C/C++ da yaratilgan. Ilmiy va tijoriy maqsadlarda erkin foydalanish mumkin.

OpenCV bibliotekasining asosiy modullari quyidagilardan iborat:  
**core** - yadro, asosiy ma'lumotlar tuzilmalari va algoritmlarini o'z ichiga oladi, ya'ni:

- ko'p o'lchovli sonli massivlar ustida asosiy amallar;
- matriksali algebra, matematik funksiyalar, tasodifiy sonlar generatori;
- xotiraga yozish / XML ga/dan ma'lumotlar tuzilmasini tiklash;
- 2D grafikaning asosiy funksiyalar.

**CV** – tasvirlarga ishlov berish va kompyuterli ko'rish moduli.

Quyidagi funkisyalari mavjud:

- tasvirlar ustida asosiy amallar (filtrlashlar, geometrik almashtirishlar, rang fazolarini almashtirish va h.k.);
- tasvirlarni tahlil qilish (farqli belgilarni tanlash, morfologiya, kontur ajratish, gistogrammalar);
- harakat tahlili, ob'ektni kuzatish;
- ob'ektlarni topish, xususan yuz tasvirini;
- kameralarni kalibrash, fazoviy tuzilmalarni qayta tiklash elementlari.

**Highgui** – tasvirlar va videoni kiritish/chiqarish, foydalanuvchi interfeysi yaratish moduli. Quyidagi funksiyalarni o'z ichiga oladi.

- kameradan va video fayldan tasviri olish, statik tasvirlarni o'qish/yozish;

- oddiy UI ni tashkillash uchun funksiyalar.

OpenCV ning keyingi versiyalarida modullar funksional foydalanish bo'yicha kichikroq modullarga ajratildi. Xususan:

**opencv\_core** – yadro: asosiy tuzilmalar, hisoblashlar (matematik funksiyalar, tasodifiy sonlar generatsiyasi, dikret Fure va Kosinus almashtirishlash, XML da kiritish/chiqarish v sh.k.);

**opencv\_imgproc** – tasvirlarga ishlov berish (filtrlar, almashtirishlar va h.k.);  
**opencv\_highgui** – oddiy UI, tasvirlar va video ni yuklash/saqlash;  
**opencv\_ml** – mashinali o'qitish usullari va modellari (SVM, qaror qabul qilish va h.k.);  
**opencv\_features2d** – turli identifikatorlar (SURF).  
**opencv\_video** – ob'ekt harakatini tahlil qilish va kuzatish (optik oqim, harakat andozasi, foni yo'qotish);  
**opencv\_objdetect** – tasvirda ob'ektlarni topish (Xaar vevvleti, HOG va h.k.);  
**opencv\_calib3d** – kamera kalibrovkasi, stereo-moslikni izlash va uch o'chovli ma'lumotlarni qayta ishlash elementlari;  
**opencv\_flann** – yaqin qo'shnilarni tezkor izlash kutubxonasi (FLANN);  
**opencv\_gpu** – OpenCV ning ba'zi funksiyalarini CUDA (NVidia) hisobiga tezlatish.

## 5.2. OpenCVda ko'p foydalilaniladigan funksiyalar

Tasvirlarni qayta ishlash va namoyish qilish uchun OpenCV da maxsus tiplar mayjud bo'lib, asosan *IplImage* va *Mat* tiplaridan ko'p foydalilanadi. Quyida ko'rib chiqiladigan funksiyalar asosan ana shu tipi tasvirlarni qayta ishlashga mo'ljallangan. Funksiyalarni kichik-kichik dastur namunalari negizida ko'rib chiqamiz.

Masalan, 620 qator va 440 ta ustundan iborat 8 bitli, 3 kanalli *IplImage* hamda *Mat* tipi tasvirlarni yaratish uchun quyidagi funksiyalardan foydalananiz:

```

int height =620; // tasvir bo'yisi
int width =440; // tasvir eni
IplImage* tasvir = cvCreateImage(cvSize(height, width),8,3); // IplImage tipi tasvir nomli tasvirni yaratish
Mat matritsa(Size(height, width), CV_8UC3); // Mat
tiplimatritsa nomli tasvirni yaratish
  
```

Tasvimi qora rang bilan bo'yash quyidagicha:  
 cvSet(tasvir, cvScalar(0,0,0));

Quyida esa, diskdan tasvir faylini xotiraga yuklash va ekranda namoyish qilish uchun kichik dasturni ko'ramiz:

```

IplImage* img = cvLoadImage("c:\\tasvir.jpg"); // Diskdan tasvirni img ga o'qish
cvNamedWindow( "Example1", CV_WINDOW_AUTOSIZE ); // Example1 namoyish oynasini yaratish
cvShowImage( "Example1", img ); // namoyish oynasiga img tasviri yuklash va ko'rsatish
cvWaitKey(0); // kutib turish
cvReleaseImage( &img ); // img tasvirni xotiradan o'chirish
cvDestroyWindow( "Example1" ); // Example1 namoyish oynasini xotiradan o'chirish
  
```

Tasvirni bir necha ma'lumotlari bilan namoyish qilish dasturi quyida berilgan:

```

<cv.h>
<highgui.h>
<stdlib.h>
<stdio.h>

#include <cv.h>
#include <highgui.h>
#include <stdlib.h>
#include <stdio.h>

IplImage* image = 0;
IplImage* src = 0;

int main(int argc,char* argv[])
{
    // tasvir nomi birinchi parametr bilan berilmogda
    char* filename = argc == 2? argv[1]:"Image0.jpg";
    // tasvirani olamiz
    image = cvLoadImage(filename,1);
    // tasvirni klonlaymiz (nusxalaymiz)
    src = cvCloneImage(image);

    printf("[i] image: %s\n", filename);
    assert(src != 0);
  
```

```

    // tasvimi namoyish qilish uchun oyna
    cvNamedWindow("original",CV_WINDOW_AUTOSIZE);
    // tasvimi ko'shatamiz
    cvShowImage("original",image);

    // tasvir to'g'risidagi axborotlarni (konsol oynasida) chiqaramiz
    printf("[i] channels: %d\n", image->nChannels );
    printf("[i] pixel depth: %d bits\n", image->depth );
    printf("[i] height: %d pixels\n", image->height );
    printf("[i] image size: %d bytes\n", image->imageSize );
    printf("[i] width step: %d bytes\n", image->widthStep );
    // tugma bosilishini kutamiz
    // resurslarni bo'shatamiz
    cvReleaseImage(&image);
    // oynani uchiramiz
    cvDestroyWindow("original");
    return0;
}

```

Natija quyidagicha (5.1-rasm.) bo'ladi:

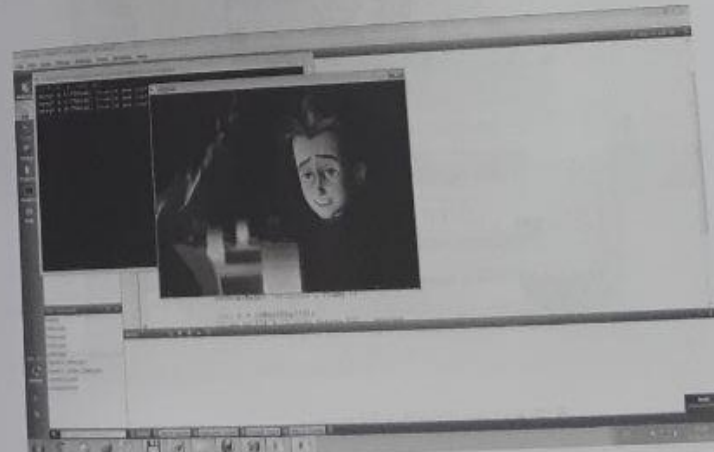


**5.1-rasm.** Tasviri ma'lumotlari bilan namoyish qilish.

```

Keyingi dastur video-faylni namoyish qilish (ovozsiz, har bir
kadni ketma-ket ko'rsatish) uchun xizmat qiladi:
cvNamedWindow( "Example2", CV_WINDOW_AUTOSIZE ); //
"Example2"namoyish oynasini yaratish
CvCapture* capture = cvCreateFileCapture("d:\\video.avi"); //
IplImage* frame; // tasvir uchun xotiradan joy ajratish
while(1) { // tugallanmas takrorlash jarayonini boshlash (sikl
boshi)
frame = cvQueryFrame( capture ); // videodan bitta kadrni
(tasviri) olish
if (frame ) break; // agar tasvirni ololmasa, sikldan chiqib ketish
cvShowImage( "Example2", frame ); // bitta kadni (tasvirani)
namoyish qilish
char c = cvWaitKey(33); // 33 sekund kutib turish (kadrlar
orasidagi vaqt)
if (c == 27 ) break; // agar Esc bosilsa, chiqib ketish
} // sikl oxiri
cvReleaseCapture( &capture ); // video ni xotiradan tozalash
cvDestroyWindow( "Example2" );//Example2 namoyish oynasini
xotiradan o'chirish

```



**5.2-rasm.** OpenCVda videofaylni namoyish qilish.

Quyidagi funksiya esa, tasvirni Gaussli tekislash (filtrlash) uchun xizmat qiladi:  
`cvSmooth( image, out, CV_GAUSSIAN, 3, 3 ); // image kiruvchi tasvir 3x3 oyna o'lchamida filtrlanadi`  
`// va natija tasvir out ga beriladi.`

Quyidagi dastur yordamida dastlabki tasvirni (5.3-rasm) hamda uni 7x7 oyna o'lchamida filrlab (5.4-rasm) namoyish qilinadi:

```
IplImage* img = cvLoadImage("c:\\car\\2.jpeg");
cvShowImage("Kiruvchi tasvir", img);
IplImage* out = cvCreateImage(cvGetSize(img), IPL_DEPTH_8U,
3);
cvSmooth( img, out, CV_GAUSSIAN, 7, 7 );
cvShowImage("Gauss filtrlili tasvir", out);
cvWaitKey();
```



5.3-rasm. Dastlabki tasvir.



5.4-rasm. 7x7 Gauss filtri qo'llangandan so'ng.

Shu o'rinda OpenCV ning oddiy ma'lumotlar tiplari to'g'risida qisqacha to'xtalamiz.

Strukturni	O'z ichiga oladi	Ifodalaydi
CvPoint	int x, y	Tasvirdagi nuqta
CvPoint2D32f	float x, y	R <sup>2</sup> dagi nuqta
CvPoint3D32f	float x, y, z	R <sup>3</sup> dagi nuqta
CvSize	int width, height	Tasvir hajmi
CvRect	int x, y, width, height	Tasvir bo'lagi (qismi)
CvScalar	double val[4]	RGBA qiymatlar

Masalan, `myImg` tasvirida chap yuqori burchagi (5, 10), ya'ni  $x=5$ ,  $y=10$  va o'ng quyi burchagi (20, 30) koordinatali to'rtburchakni oq rangda chizish uchun quyidagicha dastur kodini yozish kerak bo'ladi:

```
cvRectangle( myImg, cvPoint(5,10), cvPoint(20,30),
cvScalar(255,255,255) );
```

OpenCV da quyidagicha tasvir turlari mavjud:

Tasvir tipi (Macro)	Tasvir piksel tipi
IPL_DEPTH_8U	Unsigned 8-bit integer (8u)
IPL_DEPTH_8S	Signed 8-bit integer (8s)
IPL_DEPTH_16S	Signed 16-bit integer (16s)
PL_DEPTH_32S	Signed 32-bit integer (32s)
IPL_DEPTH_32F	32-bit floating-point single-precision (32f)
IPL_DEPTH_64F	64-bit floating-point double-precision (64f)

Quyidagi jadvalda matritsa va tasvirning asosiy operatorlari keltirilgan.

Funksiya	Ta'rif
cvAbs	Massiv (matritsa) dagi barcha elementlarning absolut qiymati
cvAbsDiff	Ikkita massiv o'rtaqidagi farqlarning absolut qiymati
cvAbsDiffS	Massiv va skalyar o'rtaqidagi farqlarning absolut qiymati
cvAdd	Ikkita massivni elementlari bo'yicha qo'shish
cvAddS	Massiv va skalyarni elementlari bo'yicha qo'shish
cvAddWeighted	Ikkita massivni elementlari bo'yicha vazn (ves)li qo'shish (alfa qorishtirish)
cvAvg	Massividagi barcha elementlarning o'rtacha qiymati
cvAvgSdv	Massividagi barcha elementlarning absolut qiymati va standart chetlashishi
cvCalcCovarMatrix	n-o'ichovli vektor to'plamining kovariansini hisoblash
cvCmp	Ikkita massivning barcha elementlariga tanlangan taqqoslash operatorini qo'llash.
cvCmpS	Skalyarga nisbatan massivga tanlangan taqqoslash operatorini qo'llash.
cvConvertScale	Qiymatning tanlovli qayta o'ichovi orqali massiv tipini o'zgartirish.
cvConvertScaleAbs	Tanlovli qayta o'ichov orqali absolut qiymatdan keyin massiv tipini o'zgartirish.
cvCopy	Bir massivdagi elementlarni boshqasiga nusxalash.
cvCountNonZero	Massivdagi nolga teng bo'lgan elementlarni hisoblash.
cvCrossProduct	Uch o'ichovli ikkita vektorni ko'paytirish.
cvCvtColor	Massiv rang kanallarini bir rang fazosidan boshqasiga o'zgartirish (almashtrish).
cvDet	Kvadrat matritsaning determinantini hisoblash

cvDiv	Elementlar bo'yicha bir massivni boshqasiga bo'lish.
cvDotProduct	Ikkita vektorni skalar (ichki) ko'paytirish.
cvEigenVV	Kvadrat matritsaning xos son va xos vektorlarini hisoblash.
cvFlip	Tanlangan o'q bo'yicha massivni to'ntarish (oynalni namoyish qilish).
cvGEMM	Umumlashgan matritsa ko'paytirish.
cvGetCol	Massivning ustun kesimidan elementlarni nusxalash.
cvGetCols	Massivning turli qo'shni ustunlaridan elementlarni nusxalash.
cvGetDiag	Diagonal bo'yicha massiv elementlarini nusxalash.
cvGetDims	Massiv o'ichamini qaytaradi.
cvGetDimSize	Massivning barcha o'ichamlari hajmini qaytaradi.
cvGetRow	Massivning qator kesimidan elementlarni nusxalash.
cvGetRows	Massivning turli qo'shni qatorlaridan elementlarni nusxalash.
cvGetSize	Ikkii o'ichovli massiv hajmini olish va uni CvSize shaklida qaytarish.
cvGetSubRect	Massiv bir bo'lagi elementlarni nusxalash.
cvInRange	Massiv elementini boshqa ikkita massiv qiymatlari ichida mayjudligini tekshirish.
cvInRanges	Massiv elementini boshqa ikkita skalyar o'rtaida mayjudligini tekshirish.
cvInvert	Kvadrat matritsani invertlash (barcha element qiymatlari 255 dan ayirladi).
cvMahalonobis	Ikkita vektor orasidagi Maxalonobis masofasini hisoblash.
cvMax	Ikkita massivning elementlari bo'yicha maxsumular operatsiyasi.
cvMaxS	Massiv va skalyar o'rtaida elementlari bo'yicha maxsumular operatsiyasi.
cvMerge	Bir nechta bir kanalli tasvirlarni bitta ko'p kanalli tasvirga birlashtirish.
cvMin	Ikkita matritsada elementlar bo'yicha minimumlar operatsiyasi
cvMinS	Massiv va skalyar o'rtaida elementlar bo'yicha minimumlar operatsiyasi
cvMinMaxLoc	Massivda minimum va maksimum qiymatlarni topish.
cvMul	Ikkita massivni elementlar bo'yicha ko'paytirish.
cvNot	Massivni har bir elementini bitli invertlash.
cvNorm	Ikkita massiv o'rtaqidagi normalangan korrelyatsiyani hisoblash.
cvNormalize	Massividagi elementlarni biror songacha nomallash.
cvOr	Ikkita massivning elementlari bo'yicha "YoKI" (OR) bit-darajasi.
cvOrS	Massiv va skalyarning elementlari bo'yicha "YoKI" (OR)bit-

	darajasi.
cvReduce	Berilgan amal bo'yicha ikki o'chovli massivni vektorga aylantrimoq.
cvRepeat	Bir massiv majmuini boshqasiga qurish.
cvSet	Massivning barcha elementlariga berilgan son qiymatini o'matish.
cvSetZero	Massivning barcha elementlariga 0 qiymati o'matiladi (beriladi).
cvSetIdentity	Massivning barcha elementlariga diagonal bo'yicha 1, qolganiga esa 0 qiymati beriladi.
cvSolve	Chiziqli tenglamalar sistemasini yechish.
cvSplit	Ko'p kanallli massivni turli bir kanallli massivlarga bo'lish.
cvSub	Bir massivdan ikkinchisini elementlar bo'yicha ayirish.
cvSubS	Skalyarni massivdan elementlar bo'yicha ayirish.
cvSubRS	Massivni skalyardan elementlar bo'yicha ayirish.
cvSum	Massivning barcha elementlarini summasi (yig'indisi).
cvSVD	Ikki o'chovli massivning yagona bo'linish qiymatini hisoblash.
cvSVBkSb	Teskari almashtirishning yagona qiymatini hisoblash.
cvTrace	Massiv belgililarini hisoblash.
cvTranspose	Massivning barcha elementlarini diagonal bo'yicha o'zgartirish.
cvXor	Ikkita massiv elementlari bo'yicha XOR (istisno YoKI) bit – darajasi.
cvXorS	Massiv va skalar o'tasidagi massiv elementlari bo'yicha XOR bit – darajasi.
cvZero	Massivning barcha elementlariga 0 qiymati beriladi.

### 5.3. OpenCV da chizish

Ba'zan tasvir ustida biror figurani chizish kerak bo'lib qoladi. OpenCV da to'g'ri chiziq, to'rburchak, aylana va shu kabi geometrik figuralarini chizish funksiyalari mavjud. Ular bilan quyida tanishamiz.

To'g'ri chiziq:

```
void cvLine( CvArr* array, CvPoint pt1, CvPoint pt2, CvScalar
            color,
            int thickness = 1, int connectivity = 8 );
```

Bu yerda CvArr – tasvir, pt1 – chiziqning boshlanish koordinatasi, pt2 – chiziqning yakunlanish koordinatasi, color – chiziq rangi,

thickness – chiziq qalinligi, connectivity – chiziq turi.

To'g'ri to'rburchak:

```
void cvRectangle( CvArr* array, CvPoint pt1, CvPoint pt2,
                  CvScalar color, int thickness = 1 );
```

Aylana:

```
void cvCircle( CvArr* array, CvPoint center, int radius, CvScalar
               color, int thickness = 1, int connectivity = 8 );
```

Bu yerda center – aylana markazi, radius – aylana radiusi.

Ellips:

```
void cvEllipse( CvArr* img, CvPoint center, CvSize axes, double
                angle,
                double start_angle, double end_angle, CvScalar color,
                int thickness = 1, int line_type = 8 );
```

Bu yerda axes – o'q hajmi, start\_angle – boshlang'ich burchak, end\_angle – oxirgi burchak.

Polygonlar:

Polygonlarni quyidagi uch xil funksiya yordamida chizish mumkin.

```
void cvFillPoly( CvArr* img, CvPoint** pts, int* npts, int contours,
                 CvScalar color, int line_type = 8 );
```

```
void cvFillConvexPoly( CvArr* img, CvPoint* pts, int npts, CvScalar
                      color, int line_type = 8 );
```

```
void cvPolyLine( CvArr* img, CvPoint** pts, int* npts, int
                  contours, int is_closed,
                  CvScalar color, int thickness = 1, int line_type = 8 );
```

Matnlar:

```
void cvPutText( CvArr* img, const char* text, CvPoint origin, const  
CvFont* font, CvScalar color );
```

#### 5.4. HighGUI moduli funksiyalari

Ushbu bo'limda HighGUI moduli funksiyalari bilan tanishamiz.

Namoyish oynasini yaratish:

```
int cvNamedWindow(const char* name,int flags=  
CV_WINDOW_AUTOSIZE);
```

Tasvirni yuklash:

```
IplImage* cvLoadImage(const char* filename,int iscolor =  
CV_LOAD_IMAGE_COLOR);
```

Tasvirni saqlash:

```
int cvSaveImage(const char* filename,const CvArr* image);
```

Tasvirni namoyish qilish:

```
void cvShowImage( const char* name, const CvArr* image );
```

Sichqoncha xodisalari (bosilishi):

```
void CvMouseCallback(int event,int x,int y,int flags,void* param);
```

Bu yerda event ga quyidagi xodisalar bog'langan:

Event (xodisa)	Raqam qiymati
CV_EVENT_MOUSEMOVE	0
CV_EVENT_LBUTTONDOWN	1
CV_EVENT_RBUTTONDOWN	2

CV_EVENT_MBUTTONDOWN	3
CV_EVENT_LBUTTONUP	4
CV_EVENT_RBUTTONUP	5
CV_EVENT_MBUTTONUP	6
CV_EVENT_LBUTTONDOWNDBLCLK	7
CV_EVENT_RBUTTONDOWNDBLCLK	8
CV_EVENT_MBUTTONDOWNDBLCLK	9

#### 5.5. OpenCVda tasvirlarni qayta ishlash

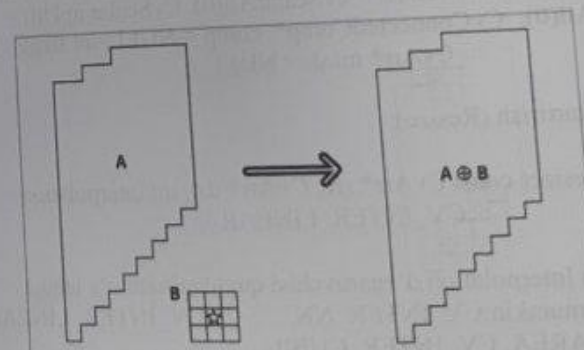
Tekislash:

```
void cvSmooth( const CvArr* src, CvArr* dst, int smoothtype =  
CV_GAUSSIAN, int param1 = 3, int param2 = 0, double param3 = 0,  
double param4 = 0 );
```

Bu yerda Smoothtype o'zgaruvchisi quyidagi tekislash turlarini o'z  
ichiga olishi mumkin: CV\_BLUR, CV\_BLUR\_NO\_SCALE,  
CV\_MEDIAN, CV\_GAUSSIAN, CV\_BILATERAL.

Morfologik Kengaytirish (Dilation):

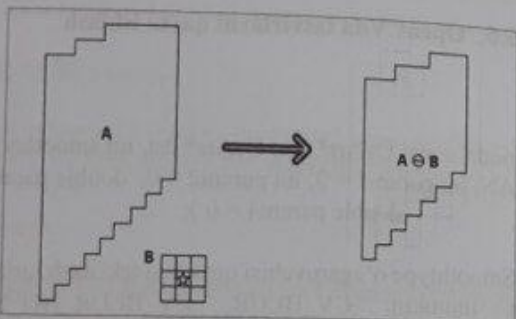
```
void cvErode( IplImage* src, IplImage* dst, IplConvKernel* B =  
NULL, int iterations = 1 );
```



5.5-rasm. Morfologik kengaytirish.

### Morfologik Yemirish (Erosion):

```
void cvDilate( IplImage* src, IplImage* dst, IplConvKernel* B =
    NULL, int iterations = 1 );
```



5.6-rasm. Morfologik yemirish.

### Oqimli to'ldirish (Flood Fill):

```
void cvFloodFill(IplImage* img, CvPoint seedPoint, CvScalar
    newVal, CvScalar loDiff = cvScalarAll(0), CvScalar upDiff =
    cvScalarAll(0), CvConnectedComp* comp = NULL, int flags = 4,
    CvArr* mask = NULL );
```

### Hajmni o'zgartirish (Resize):

```
void cvResize( const CvArr* src, CvArr* dst, int interpolation =
    CV_INTER_LINEAR );
```

Bu yerda Interpolation o'zgaruvchisi quydagi larni o'z ichiga olishi mumkin: CV\_INTER\_NN, CV\_INTER\_LINEAR, CV\_INTER\_AREA, CV\_INTER\_CUBIC.

### Bo'sag'alash (Threshold):

```
double cvThreshold( CvArr* src, CvArr* dst, double threshold,
    double max_value, int threshold_type );
```

Bu funksiya global bo'sag'a qiymati orqali tasvirni bo'laklash (masalan binarlashtirish orqali) uchun hizmat qiladi. Undagi threshold\_type o'zgaruvchisi quyidagi bo'sag'alash turlarinini o'z ichiga oladi:

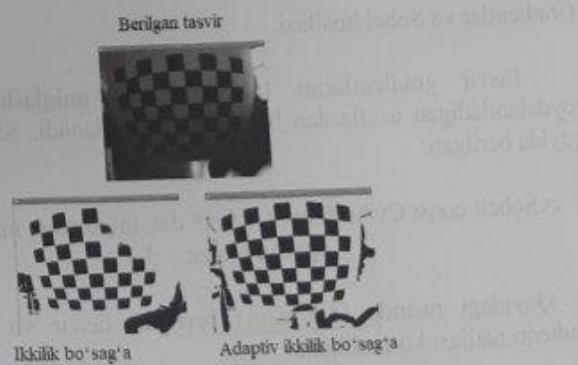
CV\_THRESH\_BINARY, CV\_THRESH\_BINARY\_INV,  
CV\_THRESH\_TRUNC, CV\_THRESH\_TOZERO\_INV,  
CV\_THRESH\_TOZERO.

### Adaptiv bo'sag'alash (Adaptive Threshold):

```
void cvAdaptiveThreshold( CvArr* src, CvArr* dst, double max_val,
    int adaptive_method = CV_ADAPTIVE_THRESH_MEAN_C, int
    threshold_type = CV_THRESH_BINARY, int block_size = 3, double
    param1 = 5 );
```

Bu funksiyada bo'sag'alash bloklarda, ya'ni kichik sohalarda amalga oshiriladi.

Quyidagi rasmda (5.7-rasm) berilgan tasvirni global va adaptiv bo'sag'alash yordamida binarlashtirish namunalari ko'rsatilgan.



5.7-rasm. Berilgan tasvir hamda uning global va adaptiv bo'sag'alash natijasi

## 5.6. OpenCV da tasvir o'zgartirishlar

O'rama (Svyortka):

"O'rama" usulida ma'lum bir xajmdagi (masalan,  $3 \times 3$  o'chamli yadro) oyna ichida qiymatlar tasvirga moslanadi va tasvirdagi mos koordinatalardagi qiymatlar oynadagi mos qiymatlar bilan ko'paytiriladi va ularning yig'indisi yig'iladi. Yig'indi natija tasvirning ishchi oyna markaziga qo'yiladi. Buni formula ko'rinishida quyidagicha ifodalash mumkin.

$$H(x, y) = \sum_{i=0}^{M-1} \sum_{j=0}^{N-1} I(x+i-a, y+j-a) G(i, j)$$

OpenCVda bunday filtrlashni quyidagi protsedura yordamida amalga oshiriladi:

```
void cvFilter2D( const CvArr* src, CvArr* dst, const CvMat* kernel,
CvPoint anchor = cvPoint(-1,-1));
```

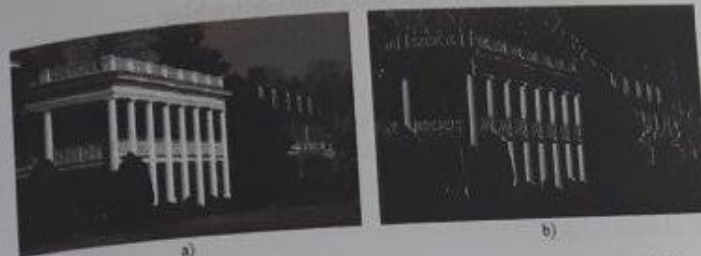
Bu yerda kernel (yadro) ga oldindan mayjud ishchi oynalarni (masalan, Sobel ishchi yadrosi) qo'yishimiz mumkin, yoxud o'zimiz yangi yadro qurib olishimiz ham mumkin.

Gradientlar va Sobel hisoblasi:

Tasvir gradientlarini (chegaralarini) aniqlashda eng ko'p foydalilanligan usullardan biri Sobel hisoblanadi. Sobel funksiyasi quyida berilgan:

```
cvSobel( const CvArr* src, CvArr* dst, int xorder, int yorder, int
aperture_size = 3 );
```

Quyidagi rasmda (5.8-rasm) berilgan tasvir va uning Sobel gradienti natijasi ko'rsatilgan.



5.8-rasm. Berilgan tasvir (a) va uning Sobel gradienti natijasi (b)

Laplas (Laplace) gradienti:

```
void cvLaplace(const CvArr* src,CvArr* dst,int apertureSize= 3);
```

Kanni (Canny) gradienti:

```
void cvCanny( const CvArr* img, CvArr* edges, double lowThresh,
double highThresh,
int apertureSize= 3);
```

## 5.7. OpenCV da Xaf (Hough) almashtirishlari

Xaf almashtirishi yordamida chiziqlarni topish:

```
CvSeq* cvHoughLines2(CvArr* image,void* line_storage,int
method,double rho,double theta,int threshold,double param1 =
0,double param2 = 0);
```

Xaf almashtirishi yordamida aylanalarni topish:

```
CvSeq* cvHoughCircles(CvArr* image, void* circle_storage,int
method,double dp,double min_dist,double param1 = 100,double
param2 = 300,int min_radius = 0,int max_radius = 0);
```

## 5.8. OpenCV da Affin almashtirishlar

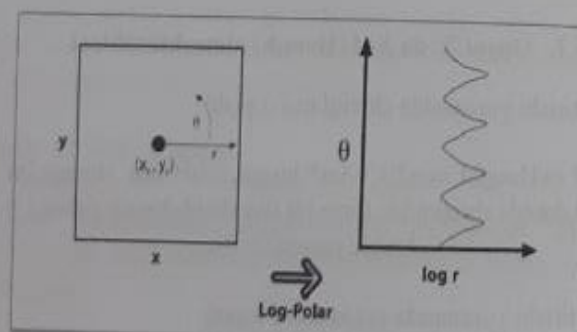
Tasvimi burish:

```
CvMat* cv2DRotationMatrix( CvPoint2D32f center, double angle,  
                           double scale,  
                           CvMat* map_matrix );
```

Polyar almashtirish:

```
void cvLogPolar(const CvArr* src, CvArr* dst, CvPoint2D32f center,  
                double m,  
                int flags = CV_INTER_LINEAR | CV_WARP_FILL_OUTLIERS );
```

Polyar almashtirish deb, markazdagi nuqtaga nisbatan qaralayotgan nuqta(piksel) ning joylashuv koordinatasi bo'yicha burchagi -  $\theta$  va masofasini -  $r$  ko'rsatuvchi yangi fazoga aytildi (5.9. rasm).



5.9-rasm. Polyar almashtirish sxemasi.

Diskret-kosinus almashtirish:

```
void cvDCT( const CvArr* src, CvArr* dst, int flags );
```

Masofaviy almashtirish:

```
Void cvDistTransform(const CvArr* src,CvArr* dst,int distance_type  
= CV_DIST_L2,  
int mask_size = 3,const float* kernel = NULL,CvArr* labels =  
NULL);
```

Gistogrammali to'g'rilash:

```
void cvEqualizeHist( const CvArr* src, CvArr* dst );
```

Ta'kidlash kerakki, OpenCV da yana ko'plab funksiyalar mavjud, xususan tasvirlarni qayta ishlash, tasvirning identifikatsion belgilarini ajratib olish va tanib olish bilan bog'liq funksiyalar foydalanuvchilarga katta qulaylik tug'diradi. Ular to'g'risida kengroq ma'lumotlarni olish uchun OpenCV funksiyalari haqida yoritilgan adabiyotlardan foydalanish mumkin.

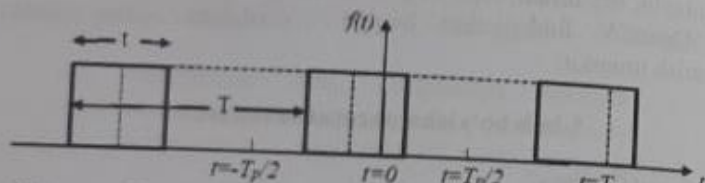
### 5-bob bo'yicha nazorat savollari.

1. OpenCV nima?
2. Open CVning qanday modullarini bilasiz va ularni xarakterlab bering.
3. Tasvirlarga ishlov berish va kompyuter ko'rish modulining asosiy funksiyalarini sanab bering.
4. Tasvir va videolarni kiritish/chiqarish, foydalanuvchi interfaoliqini yaratish moduli funksiyalarini keltiring.
5. OpenCV\_sore modulining qanday imkoniyatlarni bilasiz?
6. Tasvirlarga ishlov berish, filrlash, almashtirish funksiyalarini o'z ichiga olgan OpenCV moduli haqida nimalar bilasiz?
7. Open CVning eng ko'p ishlataladigan qanday funksiyalarini bilasiz?
8. HighCut modulining funksiyalari haqida tushunchalaringizni bildiring.
9. Tasvirlarni qayta ishlashning qanday amallarini bilasiz?
10. Tasvirlarni almashtirishning qanday usullarini bilasiz?

**6 bob.**  
**RAQAMLI VIDEO TASVIRDA OB'EKTLARNI AJRATIB  
OLISH**

**6.1. Raqamli video-tasvirlarni spektral almashtirish usullari  
Fure almashtirishi.**

Agar signal davriy bo'lmasa, u holda Fure qatoriga yoyish moslashtiriladi. Misol tariqasida 6.1-rasmida keltirilgan to'g'ri burchakli impulslar ketma-ketligidan impulslar takrorlanish davri  $T_p$  ni cheksizlikkacha davom ettarish natijasida yagona to'g'ri burchakli impulsni hosil bo'lishini ko'rib chiqamiz.



6.1-rasm. Davriy takrorlanuvchi to'g'ri burchakli impuls

$T_p$  ni kattalashtirib borilsa, garmonikalar orasidagi  $1/T_p = \omega/2\pi$  bo'lgan masofa  $d\omega/2\pi$  gacha kichiklashib boradi va nolga teng bo'ladi. Bu o'zgaruvchi diskret chastota  $n\omega$  dan uzlusiz o'zgaruvchi ( $\omega$  ga o'tishga, shu bilan bir vaqtda fazaviy va amplitudaviy spektr ham uzlusiz bo'lishiga olib keladi. Demak,  $T_p \rightarrow \infty$  bo'lganda  $d\omega \rightarrow d\omega$  bo'ladi. Ushbu o'zgartirishlarni e'tiborga olsak ifoda quyidagi ko'rinishni oladi

$$d(\omega) = \frac{d\omega}{2\pi} \int_{-\infty}^{\infty} S(t) e^{-j\omega t} dt \quad (6.1)$$

Qulay bo'lishi uchun (5.1) ifodani  $d\omega/2\pi$  ga bo'lib quyidagi ifodani olamiz:

$$\frac{d(\omega)}{d(\omega)/2\pi} = F(j\omega) = \int_{-\infty}^{\infty} S(t) e^{-j\omega t} dt \quad (6.2)$$

Bu formuladagi  $F(j\omega)$  Fure integrali V/Gs oddiygina Fure tasviri (ko'rinishi) deb ataladi. Agar  $F(j\omega)$ ni haqiqiy va mavhum qismlari yig'indisi shaklida quyidagicha ifodalash mumkin. Agar

$$F(j\omega) = \operatorname{Re}(j\omega) + j\operatorname{Im}(j\omega) = |F(j\omega)| e^{j\phi(\omega)} \quad (6.3)$$

bo'ladi va bu kattalik voltda emas V/Gs larda baxolanadi.  $F(j\omega)$  ni amplituda zichligi, ba'zan esa amplituda spektri zichligi yoki amplituda spektri deb ataladi. Amplituda spektriga mos ravishda faza siljishi  $\phi(\omega)$  quyidagicha aniqlanadi

$$\phi(\omega) = \arctan[\operatorname{Im}(j\omega) / \operatorname{Re}(j\omega)] \quad (6.4)$$

$|F(j\omega)|^2$  qiymati  $V^2/Gs^2$  shaklida baholanadi. Normallashtirilgan elektr quvvati, ya'ni qarshiligi 1 Om bo'lgan qarshilikda ajralib chiqayotgan quvvat  $V^2$  larda baholanadi, bu  $Dj/s$  yoki  $DjGs$  (Djoul - bu enerpiya birligi)ni anglatadi, u holda  $V^2/Gs^2$ -kattalik  $DjGs/Gs^2 = D/Gs^2$  ga tent bo'ladi. Demak  $|F(j\omega)|^2$  bir taqsim  $Gs$  energiyani, ya'ni  $|F(j\omega)|^2$  - spektr energiyasining zichligini anglatadi.  $|F(j\omega)|^2$  ning  $f$  ga bog'liqligi grafigi ostidagi yuza asosi  $f_0 - df$  va  $f_0 + df$  polosa  $f_0$  chastotasi o'rtacha kuchlanishini ifodalaydi.  $|F(j\omega)|^2$  ning  $f$  ga bog'liqliqi grafigi ostidagi yuza  $f_0$  chastotadagi energiya o'rtacha qiymatiga tent bo'ladi. Bundan tashqari spektr tahlilida ko'p hollarda spektr energiyasi zichligining chastotaga bog'liqlik grafigi (chizmasi) ham quriladi.

Agar impulsdan oniy qiymat olish markaziga (qoq o'rtasiga) mos kelsa, ya'ni  $x = \frac{1}{2}$  - bo'lganda ushbu impulsning Fure shakli (ko'rinishi) quyidagicha beriladi

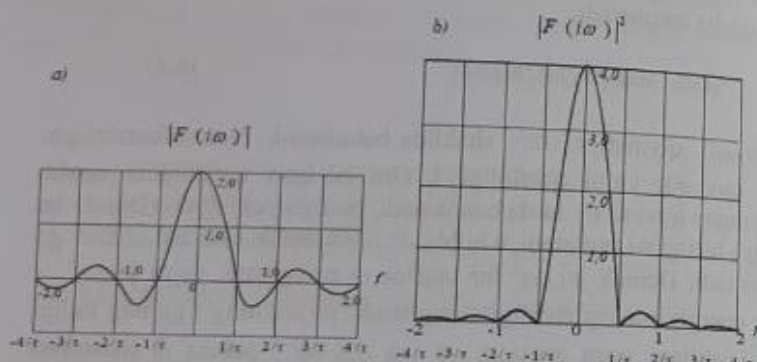
$$F(j\omega) = \frac{A \sin(\omega t/2)}{\omega t/2} = A \operatorname{sinc}(\omega t/2) \quad (6.5)$$

va haqiqiy hisoblanadi.  $F(j\omega)$  funksiya uzlusiz bo'lib, uning  $A = 1$ ,  $B$ ,  $T_p = 10c$  va  $t = 2c$  qiymatlari uchun grafigi 6.2a-rasmida tasvirlangan. Bu amplituda spektri oniy qiymatlar funksiyasiga proporsional bo'lib, hamma vaqt ideal past chastota filtriga

to'g'riburchakli impuls ta'sirida hosil bo'ladi, shu bilan birga har kanday davomiyligi t bilan cheklangan impuls ta'sirida ham yuzaga kelishi mumkin.

Amplitudasi  $2V$  bo'lgan impuls energiya spektral zichligi grafigi 6.2b-rasmida tasvirlangan, 6.2a-rasmida esa amplituda spekti tasvirlangan.

Shuni alohida ta'kidlash kerakki, funksiyaning chastotaga bog'liqligidan vaqt funksiyasiga Fure teskari almashtirishi yordamida o'tish mumkin. Bu holda



6.2-rasm. Impuls amplitudasi: a) amplituda spekti; b) energiya spekti.

$$f(t) = \frac{1}{2\pi} \int_{-\infty}^{\infty} F(i\omega) e^{i\omega t} d\omega = \int_{-\infty}^{\infty} F(i\omega) e^{i\omega t} df \quad (6.6)$$

### Fure diskret almashtirishi (FDA) va teskari FDA

Amalda signal Fure tashkil etuvchilari, unga analog ishlov berish natijasida emas, raqamli hisoblashlar natijasi orqali aniqlanadi. Analog signal cheksiz ko'p bir-biriga yaqin nuqtalardan iborat bo'lganligi uchun, uning hamma kiymatlarini ifodalash mumkin emas. Shuning uchun raqamli tizimlardan foydalanish uchun analog signalni bir xil vaqt oraliqlarida diskretlash kerak bo'ladi va bu oniy kiymat(o'lchov)lar ikkilik raqamli signal shakliga kisitish kerak bo'ladi. Bu oniy qiymatni o'lchash xotirada saqlash konturi yordamida amalga oshiriladi, so'ngra

analog-raqamli o'zgartirish amalga oshiriladi. Analog signalni yukori aniqlik bilan tiklash uchun bu bir sekund davomida olingan oniy qiymat (o'lchash)lar soni yetarli darajada. Nazariy nuqtai nazardan diskretlash kerakli tezligi Naykvist chastotasi deb ataladi va  $2f_m$  ga teng,  $f_m$  - signalning amplitudasi sezilarli darajada katta eng yuqori chasteota sinusoidal ko'rinishdagi tashkil etuvchi chasteota.

Shunday qilib, o'zgartirilishi kerak bo'lgan hamma ma'lumotlar endi diskret va nodavriy ham bo'lishi mumkin. Shuning uchun Fure almashtirishidan foydalanish mumkin emas, chunki u uzlusiz ma'lumotlar uchun mo'ljallangan. Ammo, shunday analog almashtirish borki, uni diskret ma'lumotlarga ham qo'llash mumkin - bu Fure diskret almashtirishi (FDA).

Faraz qilaylik, analog signalni bir xil vaqt  $T$  oraliqlarida diskretlash natijasida  $N$  ta oniy qiymat(o'lchash)ga ega bo'lgan quyidagi diskret ketma-ketlik olingan bo'lsin  $\{x(nT) = x(0), x(T), \dots, x((N-1)T)\}$ , bunda  $n$  - olingan oniy qiymat tartib raqami bo'lib,  $n = 0$  dan  $n = N-1$  gacha qiyatlarni qabul qiladi.  $x(nT)$  qiymati faqat kuchlanish spektriga tegishli vaqt qatoriga tegishli qiyatlarni ifodalaganda haqiqiy kattalik bo'ladi.

Shuning uchun signalning vaqt bo'yicha haqiqiy bo'lgan  $N$  ta qiyatlari FDAning chasteota bo'yicha  $N$  ta kompleks qiyatlariiga aylanadi

$$X(k) = F_D[x(nT)] = \sum_{n=0}^{N-1} x(nT) e^{-j2\pi nk/N}, k = 0, 1, \dots, N-1 \quad (6.7)$$

bunda  $F_D$  orqali Fure diskret almashtirishi belgilangan.

Teskari Fure diskret almashtirishi (TFDA) quyidagicha aniqlanadi

$$x(nT) = F_D^{-1}[X(k)] = \sum_{n=0}^{N-1} X(k) e^{j2\pi nk/N}, k = 0, 1, \dots, N-1 \quad (6.8)$$

Bunda  $F_D^{-1}$  - orqali teskari Fure diskret almashtirishi belgilangan.

### Diskret kosinus almashtirish (DKA)

Diskret kosinus almashtirishlardan korrelyatsiya va svertka

(o'ram)ni hisoblashni tezlashtirishda va spektr tahlilida foydalaniladi. Bundan tashqari bu usullardan ma'lumotlarni siqish, misol uchun ovozni (tovush) yoki tasvirmi uzatish, elektrokardioxramma va elektroensenogramma kabi meditsina signallarini yozish uchun foydalaniladi. Shuningdek DKAdan tasvir va nusxa (shablon)larni tanishda ham foydalaniladi. Buning natijasida signallarni uzatish uchun kodlashda talab etiladigan "bit"lar soni kamayadi, bu signal uzatish tezligini oshiradi. Bu esa, nisbatan tor polossal aloqa liniyalardan foydalanish imkoniyatini keltirib chiqaradi, shuningdek nusxa (shablon)larni tanishni osonlashtiradi (bu axborot hajmi kamaytirilishi hisobiga ruy beradi). DKAning ushbu xususiyatlari uni signallarni siqish nuktai nazaridan samaradorligini bildiradi, bu signal energiyasining past chastotalarda to'planishi natijasida ro'y beradi. Bundan tashqari hisoblashlarning soddaligi va o'rtacha kvadratik xatolikning kichik (minimal) bo'lishini ta'minlaydi.

Yuqorida fikrlar Fure diskret kosinus almashtirishdan (FDKA) foydalanishni taqozo etadi. Umuman olganda FDKA Fure diskret almashtirishining haqiqiy qismidan iborat, chunki Fure qatori haqiqiy va juft qismi faqat kosinusoidal tashkil etuvchilardan iborat bo'lib, misol uchun kuchlanishning diskret qiymatlaridan foydalanilganda ma'lumotlar haqiqiy bo'ladi, ularni ikki marta ko'p qilish uchun ularga manfiy tashkil etuvchilarini qo'shish kerak bo'ladi.

FDA quyidagi ko'rinishda bo'ladi

$$X(k) = \sum_{n=0}^{N-1} x_n e^{-j\frac{2\pi nk}{N}}, k = 0, 1, \dots, N-1 \quad (6.9)$$

Ushbu almashtirishning haqiqiy qismi DKAni anglatadi

$$X_r(k) = \operatorname{Re}[X(k)] = \sum_{n=0}^{N-1} x_n \cos\left(\frac{2k\pi n}{N}\right), k = 0, 1, \dots, N-1 \quad (6.10)$$

Bu DKAning bir xususiy ko'rinishi. DKAning umumiy ko'rinishi quyidagicha aniqlanadi

$$X_r(k) = \operatorname{Re}[X(k)] = \sum_{n=0}^{N-1} x_n \cos\left(\frac{2k\pi n + k\pi}{2N}\right) = \frac{1}{N} \sum_{n=0}^{N-1} x_n \cos\left(\frac{k\pi(2n+1)}{2N}\right), k = 0, 1, \dots, N-1 \quad (6.11)$$

### Uolsh almashtirishi

Hozirgacha ko'rib chiqilgan almashtirishlar sinus va kosinus funksiyalariga asoslangan edi. Impulsga o'xshash +1 va -1 ga asoslangan almashtirish nisbatan oson va tez hisoblash imkoniyatini beradi. Bundan tashqari bunday almashtirishlar uzlusizligi buzilgan signallarni ifodalashda ancha qulay hisoblanadi, misol uchun, tasvir signallarni almashtirishda. Shu bilan birga ular uzlusiz signallarni ifodalashda ancha noqulay bo'lib, ular fazalari bo'yicha moslikni ta'minlamaydilar, bu signal spektrining buzilishiga va natijada signal shaklining buzilishiga olib keladi. Shuning uchun Uolsh almashtirishidan odatda tasvir signallariga ishllov berish (astronomiya va spektroskopiya)da signallarni kodlash va filtrashga foydalaniladi.

Fure diskret almashtirishi garmonik sinusoidal va kosinusoidal tashkil etuvchilar orqali ifodalanganidek. Uolsh diskret almashtirishi (UDA) Uolsh funksiyalari deb ataluvchi to'g'ri to'rtburchakli o'rovchili garmonik signallar to'plami orqali ifodalashga asoslangan. Ammo to'g'riburchakli impulslar uchun ularning takrorlanish chastotasi noma'lum bo'lgani uchun analog signal uchun foydalaniladigan "ketma-ketlik" atamasidan foydalaniladi. "Ketma-ketlik" - bu vaqt birligida nolni kesib o'tishlar sonining yarmiga tent bo'ladi. 6.3-rasmida  $N=8$  gacha bo'lgan tartibdag'i Uolsh funksiyalari kattalashish tartibida ko'rsatilgan. Bu ko'rinishni Uolsh bo'yicha tartibga keltirilgan funksiya deb ataladi. Davomiylik vaqtiga  $t$  ga va tartibi  $p$  ga teng Uolsh funksiyasi quyidagicha belgilanadi  $\text{WAL}(n, t)$ . 6.3-rasmdan ko'rinaliki xuddi Fure qatorida toq va juft sinusoidal va kosinusoidal funksiyalar bir-biriga teng bo'lganidek, Uolsh funksiyasida ham bir xil sonli tok va juft funksiyalar bo'ladi. Uolsh  $\text{WAL}(2k, t)$  juft funksiyalari  $\text{CAL}(k, t)$  ko'rinishida ifodalanadi va  $\text{WAL}(2k+1, t)$  toq funksiyalari  $\text{CAL}(2k+1, t)$  ko'rinishida ifodalanadi, bu yerda  $k = 1, 2, \dots, N/2-1$ .

Har qanday  $S(t)$  signalni Uolsh funksiyalari majmua (jamlama)lariga yoyish mumkin (xuddi Fure katoriga yoygandek)

$$S(t) = a_0 \text{WAL}(0, t) + \sum_{i=1}^{\frac{N-1}{2}} \sum_{j=1}^{\frac{N-1}{2}} [a_i \text{CAL}(i, t) + b_i \text{CAL}(j, t)], \quad (6.12)$$

bunda  $a_i$  va  $b_i$  - qator koefitsientlari.

Har qanday ikkita Uolsh funksiyasi uchun quyidagi ifoda kuchga ega

$$\sum_{t=0}^{N-1} WAL(m, t) WAL(n, t) = \begin{cases} N & \text{agarda } n = m, \\ 0 & \text{agarda } n \neq m. \end{cases}$$

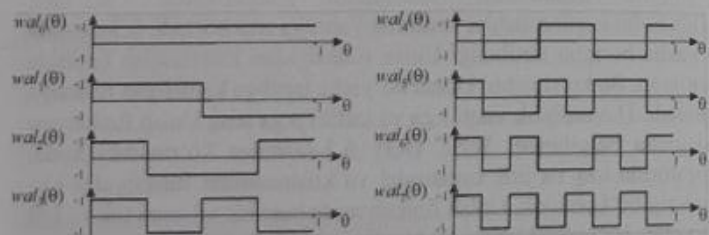
ya'ni Uolsh funksiyalari o'zaro ortogonal.

Uolsh almashtirishi uchun to'g'ri va teskari almashtirishlarni tadbiq etish mumkin:

$$X_k = \frac{1}{N} \sum_{t=0}^{N-1} x_t WAL(k, t), \quad k = 0, 1, \dots, N-1, \quad (6.13)$$

$$x_t = \sum_{k=0}^{N-1} X_k WAL(k, t), \quad k = 0, 1, \dots, N-1, \quad (6.14)$$

Agar  $1/N$  ko'paytmani e'tiborga olinmasa teskari almashtirish to'g'ri almashtirish bilan bir xil va  $WAL(k, i) = \pm 1$  bo'ladi.



6.3-rasm. Uolshning  $8 \times 8$  tartibli almashtirishi matritsasi uchun uning ketma-ket kattalashishi  $p = 1$  gacha tartiba keltirilgan funksiyalari.

Shuning uchun "shakl"lar juftlarini matritsalarni raqamli usul (metod) asosida ko'paytirish natijasida topish mumkin. Ammo faza haqidagi axborot yo'qligi uchun UDA tez korrelyatsiya (korrelyatsiya oralig'i kichik)larni va o'ramlarni hisoblash uchun yaroqsiz. (6.13) tenglik UDA  $k$  nchi elementini diskret signal har bir elementi  $x_t$  ni  $k$  ketma-ketlikli Uolsh funksiyasiga kupaytirishi va  $k$  ning hamma

qiymatlari uchun qo'shish orqali olish mumkin  $k=0, 1, \dots, N-1$   $k$  ning hamma elementlari uchun uni matritsa ko'rinishida yozish mumkin

(6.15)

$$X_k = x_t W_k$$

bunda  $X_k = [X_0, X_1, \dots, X_{N-1}]$  – ma'lumotlar ketma-ketligi.

$$W_k = \begin{bmatrix} W_{00} & W_{01} & \cdots & W_{0,N-1} \\ W_{10} & W_{11} & \cdots & W_{1,N-1} \\ \vdots & \vdots & \ddots & \vdots \\ W_{N-1,0} & W_{N-1,1} & \cdots & W_{N-1,N-1} \end{bmatrix}$$

- Uolsh almashtirishi matritsasi,

$X_k = [X_0, X_1, \dots, X_{N-1}]$  – UDA matritsasi tashkil etuvchilari. Alovida ta'kidlaymiz,  $W_k$  – bu  $N \times N$  tartibli matritsa, bunda  $N$  berilgan nuqtalar soni, ya'ni diskret signal nuqtalari. Agar  $N$  berilgan nuqtalar soni bo'lsa, u holda Uolsh funksiyasining dastlabki  $N$  ta tartiba keltirilganlarini ko'rib chiqish kerak bo'ladi. Ularning har biri  $N$  marta diskretizatsiyalanadi, bunda  $W_k$  matritsaning  $k$  -chi qatori  $k$  komponenta ketma-ketligining  $N$  ta diskret qiymatlariga to'g'ri keladi.

### Adamar almashtirishi

Adamar almashtirishi yoki Uolsh-Adamar almashtirgshgi bu xam mazmunan Uolsh almashtirishi bo'lib, fakat boshqa tartibdag'i Uolsh almashtirishlar natijasida olinadigan Adamar matritsasi, ikkinchi tartibi matritsaning massiv ostini uz ichiga oladi. 6.4-rasmda Adamarning  $8 \times 8$  tartibli matritsasi ko'rsatilgan bo'lib, u  ${}^2H$  ko'rinishida belgilanadi.

Uni matritsalar orkali yozish mumkin

$${}^2H = \begin{bmatrix} 1 & 1 \\ 1 & -1 \end{bmatrix} \text{ va } {}^{-2}H = \begin{bmatrix} -1 & -1 \\ -1 & 1 \end{bmatrix}$$

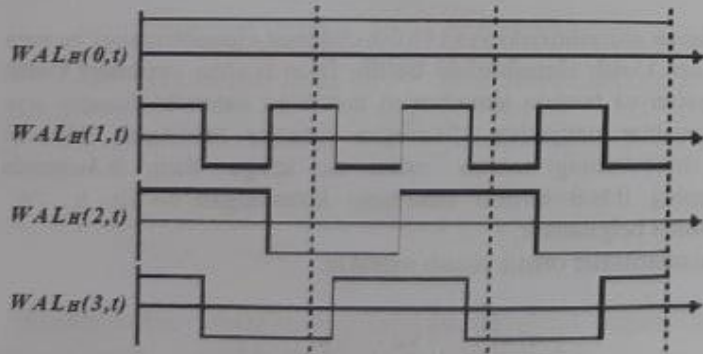
Adamarning har qanday  $2N$  tartibli matritsasini  ${}^2H$  dan rekursiya shaklda olish mumkin, ya'ni

$$z^N H = \begin{bmatrix} {}^N H & {}^N H \\ {}^N H & {}^N H \end{bmatrix} \quad (6.16)$$

	$j \rightarrow$							
	0	1	2	3	4	5	6	7
0	1	1	1	1	1	1	1	1
1	1	-1	1	-1	1	-1	1	-1
$k=2$	1	1	-1	-1	1	1	-1	-1
3	1	-1	-1	1	1	-1	-1	1
4	1	1	1	1	-1	-1	-1	-1
5	1	-1	1	-1	-1	1	-1	1
6	1	1	-1	-1	-1	-1	1	1
7	1	-1	-1	1	-1	1	1	-1

6.4-rasm. Adamarning 8x8 tartibli almashtirish matritsasi.

Bu rekursivlik xossasidan Uolsh funksiyaskni Adamar tomonidan aniqlangan tartibda joylashgirish natijasida olingan Uolsh-Adamar tez almashtirishini UDAga nisbatan ancha katta tezlik bilan xisoblash mumkin. Adamar tartibida joylashgan Uolsh (tabiiy tartibda joylashgan) funksiyasi 6.5-rasmda ko'rsatilgan.



6.5-rasm. Adamar 4x4 tartibli almashtirish matritsasi uchun diskretilatsiyalash vaqtini ko'rsatuvchi  $p=7$  gacha Adamar tartibida joylashgan Uolsh funksiyasi.

### Veyvlet almashtirishi

Geyzenberg noma'lumlik (noaniqlik) fizik prinsipiga asosan, bir vaqtning o'zida x zarrachaning holati va uning impulsi  $r$  ni aniq bilish mumkin emas. Amalda

$$xp \geq h = 6,626 \times 10^{-34} Dj \cdot s \quad xp \geq h = 6.626$$

bunda  $h$  — Plank doimiysi. Eynshteynning  $Ye = ts^2$  tenglamasi aoosida bu prinsipni signalarga ishlov berish sohasida ham qo'llash mumkin. Bunda Geizenberg prinsipi quyidagicha ta'riflanadi: bir vaqtning o'zida har qanday aniqlik bilan vaqt va chastotani aniqlash mumkin emas, ya'ni

$$\nabla f \cdot T \geq 1$$

bunda  $\nabla f$  va  $T$  chastota va vaqt bo'yicha farqlanishni ifodalaydi. Agar chastota qiymati yuqori aniqlik bilan farqlansa (aniqlansa), u holda chastota nisbatan kam aniqlik bilan baholanadi va aksincha.

Natijada bir vaqtning o'zida signal tashkil etuvchilar chastotasini va uning paydo bo'lish vaqtini yoki signal turli chastotali tashkil etuvchilarini vaqt bo'yicha ajratish talab darajasidagi yuqori aniqlik bilan o'lchash yetarli darajada murakkab bo'lishi mumkin. Bu holat agar signal yuqori chastotali tashkil etuvchilardan iborat bo'lsa va ular vaqt soxasida uzoq davomiyli tashkil etuvchilarga juda ham yaqin joylashgan bo'lsa va ular ham o'z vaqtida chastota sohasida yaqin joylashgan bo'lsa, hamda turli onlar (vaqtlar)da hosil bo'lsa yuz berishi mumkin.

Bunday signallar davriy bo'lmaydi. Bu chastota-vaqt tahlili umumiy muammosini yechish uchun Veyvlet almashtirishdan foydalilanadi (wavelet transform), u nostatsionar signallarni tahlil etish vositasи hisoblanadi. Veyvlet almashtirishdan signallarni filtrlashda, shovqinlarni yo'qotishda, sinulyarlik joyini topish va ularning taksimlanishini aniqlash kabi masalalarni yechishda foydalanish mumkin.

Fure almashtirishida signal qiymati darajasi ko'rsatkichida mavhum bo'lgan xissa (vesovoy) koeffitsienti bo'lsa va argument garmonik shaklda bo'lib chastotaga bog'liq bo'lsa, ya'ni sinusoidal tashkil

etuvchi bo'lsa, Veyvlet almashtirishda xususiy hissa koeffitsientlari qiymati sifatida Veyvlet funksiyalardan foydalaniladi.

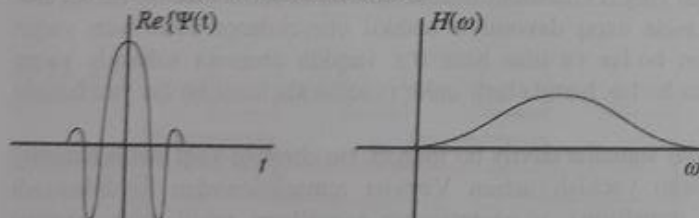
Hamma Veyvlet funksiyalar asosiy (bazaviy) Veyvlet funksiyasidan olinadi. Ba'zi xossalalar bo'lishini ta'minlash uchun bir qator asosiy (bazaviy) funksiyalardan foydalaniladi. Talab etiladigan xossalarga ega bo'lish uchun Veyvlet funksiya tebranishlar shaklida bo'lib, doimiy tashkil etuvchisi bo'lmasligi kerak, spektri ma'lum bir kichik polosada kichiklashishi va aksincha, kichik vaqt oraliq'ida o'zining eng katta qiyamatiga ega bo'lishi kerak. Bu xususiyat Veyvlet almashtirish bir qiyamatli bo'lishiga kafolat beradi. Asosiy funksiyani  $\Psi(t)$  ko'rinishida yozish mumkin. Misol uchun, Morlet yoki Gauss modifikatsiyalangan asosiy funksiyasi (Morle veyvleti) quyidagicha ifodalanadi

$$\Psi(t) = e^{i\omega_0 t} e^{-t^2/2}.$$

#### Uning Fure ko'rinishi

$$H(\omega) = \sqrt{2\pi} e^{-(\omega-\omega_0)^2/2}$$

Bu ikki signal 6.6-rasmda keltirilgan bo'lib, bundan ko'rindiki  $\Psi(t)$  funksiya yuqorida keltirilgan talablarga javob beradi, ya'ni tebranuvchan va nolgacha kichiklashadi.



**6.6-rasm.** Modifikatsiyalangan Gauss yoki Morlet,  $\Psi(t)$  ona (asosiy) veyvlet funksiyasi va uning Fure ko'rinishi  $H(\omega)$ .

Uzlusiz veyvlet almashtirishni  $(UVA)(a, \tau)$  quyidagicha ifodalash mumkin:

$$(UVA)(a, \tau) = (1/\sqrt{a}) \int s(t) \Psi\left(\frac{t-\tau}{a}\right) dt$$

Bu tenglama parametrlarini diskretlash natijasida diskret parametrlı veyvlet almashtirishi  $(DPVA)(m, n)$  ni olish mumkin, u quyidagicha aniqlanadi

$$(DPVA)(m, n) = a_0^{-m/2} \int s(t) \Psi\left((t - n\tau_0 a_0^m) / a_0^m\right) dt,$$

bunda quyidagi almashtirishlar amalga oshirilgan:  $a = a_0^m$ ,  $\tau = n\tau_0 a_0^m$ . Bu almashtirishlarda  $a_0$  va  $\tau_0$  lar  $a$  va  $\tau$  lar uchun diskretizatsiyalash oraliq'i;  $m$  va  $n$  lar esa butun sonlar.

Ko'p hollarda  $a_0 = 2a$  va  $\tau_0 = 1$  ga teng deb olinadi. Yuqoridagilarni e'tiborga olinsa

$$\begin{aligned} DPVA(m, n) &= 2^{-m/2} \int s(t) \Psi\left((t - n2^m) / 2^m\right) dt = \\ &= 2^{-m/2} \int s(t) \Psi(2^{-m}t - n) dt \end{aligned}$$

#### Radon almashtirishi.

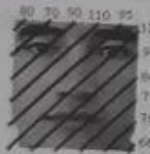
Raqamli tasvirlarni qayta ishslash va tanib olish bilan bog'liq ilmiy-amaliy masalalarni hal etishda tasvirlarning identifikatsion belgilarini ajratib olish (aniqlash) masalasi muhim hisoblanadi. Belgilarni aniqlash usullari ko'p, lekin tasvirning sifatiga va turli halaqitlarga nisbatan turg'un bo'lgan ishonchli usulni topish zarur. Hozirgi kunda shunday xususiyatlarga ega bo'lgan Radon va unga o'xshash almashtirishlardan dunyo olimlari keng foydalanmoqdalar.

#### Masalaning qo'yilishi

Ta'kidlanadiki, Radon almashtirishi yordamida ishonchli belgilar fazosini qurish mumkin. Olimlar tomonidan olib borilgan tadqiqotlarda shu narsa ma'lum bo'lganki, biror ob'ektini odam tanib olishi uchun shu ob'ekt tasviri ko'z yordamida skanerlanadi (skaner – ko'z yogurtirish, nusxa olish ma'nosini beradi). Skanerlash jarayoni tasvirdagi axborotlarni ma'lum bir qadam bilan biror to'g'ri chiziq bo'ylab o'qish orqali amalga oshiriladi. To'g'ri chiziqlarni turli burchaklarda

$(\theta \in [0, \pi])$  qurish orqali ko'plab skanerlash natijalarini olish mumkin. Demak, turli burchaklarda va ma'lum bir qadam (odatda 1 qadam olinadi) bilan to'g'ri chiziqlarni qurish va shu to'g'ri chiziqlarga mos kelgan tasvir piksel ranglari yig'indisini hisoblash orqali tasvirning Radon matritsasini shakllantirish algoritmini ishlab chiqish masalasi paydo bo'ladi.

Tasavvurga ega bo'lish uchun, berilgan kulrang tasvir (adam yuzi) uchun  $45^\circ$  da 10 qadam bilan qurilgan chiziqlar hamda ularga mos tushgan piksel ranglari summasi (yoki integral proeksiya qiymati) quyidagi rasmda (6.7-rasm) keltirilgan. Ta'kidlash kerakki, qiymatlar umumiy summaning piksellar soniga nisbati, ya'ni o'rtacha qiymat bilan berilgan.



6.7-rasm.  $45^\circ$  da 10 qadam bilan qurilgan chiziqlarga mos integral proeksiyalar.

#### Radon almashtirishning umumiy formularsi

Berilgan  $f(x, y)$  tasvirda  $I(s, \theta)$  to'g'ri chiziq bo'ylab proeksiyani hisoblash formulasi quyidagicha bo'ladi:

$$R_{\theta,s}[f(x,y)] = \int f(x,y) dl, \quad (6.17)$$

Bu yerda  $l$  to'g'ri chiziqning barcha nuqtalari quyidagi formulani qanoatlantirishi kerak:

$$x \cos(\theta) + y \sin(\theta) - s = 0, \quad (6.18)$$

bu yerda  $s$  – perpendikulyar masofa.

U holda (1) formulani quyidagicha yozish mumkin:

$$R_{\theta,s}[f(x,y)] = \iint f(x,y) \delta(x \cos \theta + y \sin \theta - s) dx dy, \quad (6.19)$$

bu yerda  $\delta(x)$  – delta (yoki Dirak) funksiya.

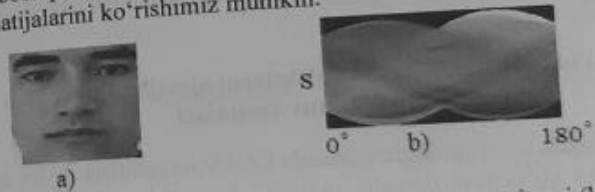
(6.19) formulaning diskret ko'rinishi quyidagicha bo'ladi:

$$R[\theta, s] = \sum_{x=0}^{W-1} \sum_{y=0}^{H-1} f(x,y) \delta(x \cos \theta + y \sin \theta - s), \quad (6.20)$$

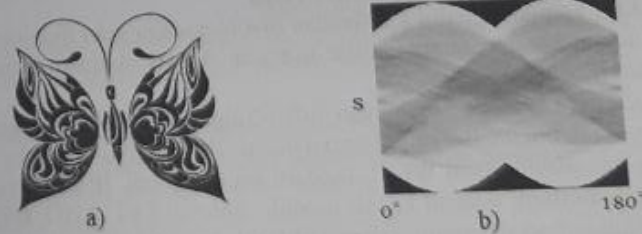
bu yerda  $W$  – tasvirning eni (ustunlar),  $H$  – tasvirning bo'yisi (qatorlar).

#### Olingen natijalar

Yuqoridagi formulalar asosida algoritm va amaliy dastur (C++ dasturlash tilida) yaratilgan. Quyida odam yuzi tasviri (6.8-rasm) hamda boshqa ob'ekt tasviri (6.9-rasm) uchun Radon matritsalarini qurish natijalarini ko'rshimiz mumkin.



6.8-rasm. Odam yuz tasviri (a) va uning Radon matritsasi (b).



6.9-rasm. Kapalak tasviri (a) va uning Radon matritsasi (b).

Radon matritsasi asosida identifikatsion belgilarni ajratib olish

Radon matritsasining o'zi bizga to'lgaligicha tasvir belgilarini berishi mumkin. Tasvirlarni o'xshashligini taqqoslashda undan foydalanish mumkin. Masalan, har bir ustun bo'yicha ( $0^\circ$  dan  $180^\circ$

gacha) alohida vektorlarni belgi sifatida qarab, ularni solishtirish mumkin. Vektorlarni solishtirishda Korrelyatsiya (Correlation), Xikvadrat (Chi-Square), Kesishma (Intersection) yoki Bhattacharyya masofasi (Bhattacharyya distance) kabi usullardan foydalanish mumkin.

Shuningdek, belgi sifatida Radon matritsasining konturlarini, momentlarini, LBP (Local Binary Patterns – lokal binar obrazlar) yoki LDP (Local Directional Patterns - lokal yo'nalgan obrazlar)larini olish mumkin.

Radon almashtirishi yordamida raqamli tasvirning turli tipdag'i belgilarini ajratib olish mumkin. Bu belgilar asosida tasvirlarni tahlil qilish, yoxud identifikasiyalash mumkin bo'ladi. Bu toifadagi belgilar tasvirning sifatiga, joylashuviga hamda mashtabiga invariant hisoblanadi. Lekin, hisoblash amallarining ko'pligi ushbu usuldan "aniq vaqt" (real time) rejimida tezkor foydalanish ikoniyatlarini cheklaydi.

## 6.2. Videoda harakatdagi ob'ektlarni ajratib olish usullari

### Videokuzatuv vositalari

Xavfsizlik va texnologik sektorda CCTV kameralari ikkita asosiy xususiyatga ko'ra tasniflanishi mumkin: kameraladan signalni uzatish turi va kameraning versiyasi turi. Ularni tartib bilan ko'rib chiqamiz.

#### KAMERADAN SIGNAL UZATISH TURI

Hozirgi vaqtida signalni kameraladan hisoblagichga yoki monitoriga uzatish uchun bir nechta standartlar mavjud. Asosiy standart tarmoq tuzilmalari hisoblanadi:

IP uzatish bazasiga asoslangan juft o'ralgan mis kabellar, optik kabellar yoki radiokanallar orqali signal uzatuvchi kompyuter tarmog'i, bularning hammasini asosi Wi-Fi standarti tashkil qiladi. IP-kameralar ushbu ma'lumotlarni uzatish kanali asosida ishlaydi. TVI, AHD, CVI, HD-SDI standartlari va ularning o'zgarishlarida signalni uzata oladigan koaksiyal kabel. Ilgari, koaks asosan PAL yoki NTSC standartlarida analog kuzatuv kameralaridan signalni uzatish uchun ishlatalgan, ammo so'nggi bir necha yil ichida barcha analogli video kuzatuvlar bozordan chiqib ketdi va o'mini zamonaviy yuqori aniqlikdagi raqamli standartlar egalladi.

Gibrild signal uzatish tizimlari uzatish media konvertorlari yordamida kompyuter tarmog'ini nafaqat o'ralgan juftlik kabeli yoki optik kabel orqali, balki koaksiyal kabel orqali ham tashkil qilish imkonini beradi va o'z navbatida, TVI, AHD, CVI, HD-SDI media adapterlari yordamida o'ralgan juftlik va optik kabel orqali bajarilishi mumkin.

Signalni uzatish uchun ular kompyuter tarmog'idan foydalanadilar, buning natijasida tarmoqqa ularish elementi maxsus vilkadagi 8 simli sim uchun RJ45 ulagichidir (Jek RJ, ba'zilari uni RG45 deb atashadi, lekin to'g'ri nomi RJ-ro'yxatdan o'tgan Jek). Boshqa tomondan, kabel odatda bir xil ulagichlarga ega bo'lgan kamutatorga ularadi. Variantlarda, kamutator o'rniiga kamerani Internetga to'g'ridan-to'g'ri ulash uchun yo'rqnoma bo'lishi mumkin, signal uzatish muhitini konvertoriga (media konvertori), signalni uzoq masofalarga uzatish uchun - 80 km yoki undan ko'proq masofaga uzatish mumkin. oraliq qurilmalardan foydalanmasdan optik kabel orqali uzatilishi mumkin, bu esa simlardan foydalanmasdan, Wi-Fi moduli bilan jihozlanishi mumkin, ularishi mumkin.

Quvvat to'g'ridan-to'g'ri, quvvat manbaidan kamerasiga yoki kompyuter tarmog'iga ularadigan bir xil o'ralgan kabeldan foydalanishi mumkin. Bunday holda, kamera ham, kamutator ham PoE (Power over Ethernet) ni qo'llab-quvvatlashi kerak. Ta'minot kuchlanishini kamerasiga o'tkazishni tashkil qilish uchun qo'shimcha qurilmalardan ham foydalanish mumkin - PoE injektorlari, ular ta'minot kuchlanishini (36-53V AC, nominal 48V) kabelga va PoE ajratgichlarga "haydash" imkonini beradi. PoE kalitidan PoE bo'lgan kamera, almashish quvvati va tarmoq ularishi

Shuni ta'kidlash kerakki, allaqachon to'liq simsiz IP kameralar mavjud (WiFi kamerasi quvvat manbaini talab qiladi, shuning uchun uni 100% simsiz kamera deb hisoblash mumkin emas). Kamida ikkita brend batareyalarda uzoq vaqt ishlaydigan bunday qurilmalarni ishlab chiqaradi - Arlo va Blink.

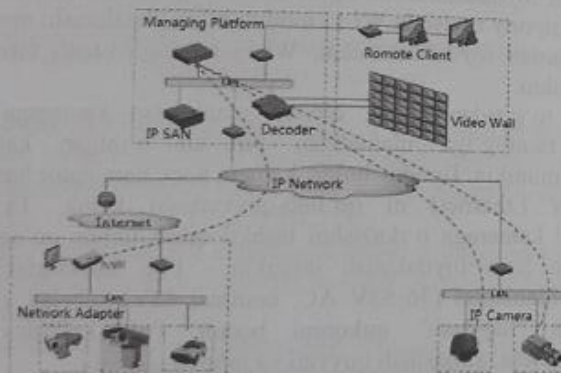
Signal uzatish diapazoni (ulanish simining uzunligi 100 metrgacha, garchi ba'zi ishlab chiqaruvchilar allaqachon "kamera-switcher" to'plamida kamerani ePoE bilan uzunligi 800 metrgacha bo'lgan kabel bilan ulash imkonini beradigan uskunalarni taqdim etgan bo'lsalar ham. WiFi bilan hammasi shartlarga bog'liq, ularish

diapazoni 5 dan 150 metrgacha, optika nuqtai nazaridan, ishlataladigan SFP moduliga qarab 80 km gacha.

Kadr o'chamlari standart 2 va 4 MP, qimmatroq loyihalarda 4K (8 MP), 7K (30MP) va undan yuqori kameralar mavjud va sotiladi. 3 va 5MP, asosan, 2, 4 va 8MP dan farqli o'laroq, ramkaning 4:3 nisbati bilan ajralib turadi, bu yerda tomonlar nisbati 16:9, zamonaviy monitorlar bilan bir xil. Va byudjet segmentida - 1 va 1,3 MP.

Deyarli barcha IP-kameralarda o'rnatilgan harakat detektori mayjud bo'lib, u hodisani yozib olish qurilmasiga xabar beradi. Murakkab kameralarda mikrofon, dinamiklar, tashqi sensorlarni ulash mumkin.

Yozib olish NVR yoki NAS drayverida oddiy yechimlarda va IP-kameralardan oqimni yanada ilg'or tizimlarda, jumladan bulutli saqlashda yozib olish uchun o'rnatilgan dasturiy ta'minotga ega serverlarda amalga oshirilishi mumkin.



6.10-rasm. Xavfsiz shahar video kuzatuvi tizimi sxemasi.

AHD - Nextchip tomonidan ishlab chiqilgan yuqori aniqlikdagi video uzatish standarti (Analog High Definition), HD-CVI - Dahua tomonidan ishlab chiqilgan yuqori aniqlikdagi koaksial video interfeysi (High Definition Coaxial Video Interface) uzatish standarti va HD-TVI - yuqori aniqlikdagi video uzatish standarti (High Definition Transport Video Interface) - Techpoint (chiplar) tomonidan ishlab chiqilgan va Hi

Sharp ko'magida Hikvision tomonidan tayyor uskuna sifatida taqdim etilgan - yuqori aniqlikdagi kameralarni 500 metrgacha koaksial kabel orqali uzatish imkonini beruvchi standartlar. Agar siz standartlar va raqamlarning yovvoyi tabiatiga kirmsangiz (standartlarning har biri juda o'xshash. Raqamli sinxronizatsiya bilan progressiv skanerlashda yuqori aniqlikdagi video signalni uzatish uchun kamera (uzatuvchi) tomonidan va ro'yxatga oluvchi (qabul qiluvchi) tomonidan maxsus mikrosxemalarning juftliklaridan foydalanish. Farqlar ishlataladigan chipsetlardir. Turli xil standartlar bir-biriga mos kelmaydi. Ammo agar yaqin vaqtgacha bu ma'lum bir brendning muxlislari uchun muammo bo'lgan bo'lsa, hozirda har uch formatda ham ishlay oladigan ko'p gibrid kameralar va magnitafonlarning ko'plab modellari ishlab chiqarilmoqda (+ IP va analog CCTV, natijada beshta format mavjud).

Odatiy imkoniyat (kameralarning ommaviy savdosi) 1MP (720p) va 2MP (1080p), lekin 3MP, 4MP, 5MP va 8MP kameralar va magnitafonlar ham sotiladi.

Yetkazish diapazoni, yuqorida aytilib o'tilganidek, 500 metrgacha va siz qilmoqchi bo'lgan ularish segmenti qanchalik uzun bo'lsa, qalinroq markaziy yadroli eng yaxshi koaksiyal kabeldan foydalanish qanchalik maqbulroq. Signal uzatish maxsus signal adapterlari yordamida o'ralgan juftlik va optik kabel orqali ham mumkin uzatilishi mumkin.

Standartlar ovoz va boshqaruvi signallarini kameradan kameraga bitta kabel orqali uzatishni nazarda tutadi, ammo bozorda bunday modellar ko'p emas.

Bu sohadagi so'nggi yutuqlar qatorida biz Dahuining yangi mahsulotlarini – 8MP (4K) o'chamli, video, tovush, boshqaruvi va kamera quvvatini bitta kabel orqali uzatish imkoniyatiga ega HD-CVI kameralarini ajratib ko'rsatishimiz mumkin.

HD TVI kameralarining maksimal ruxsati hali ham 5Mp (Turbo HD 3.0 texnologiyasi) darajasida, garchi Hikvision 4K ni e'lon qilgan bo'lsa-da, AHD ham 5Pm (AHD 3.0 texnologiyasi) ga ega.

Yozib olish tegishli standartlardagi videoregistratorlarda amalga oshiriladi. Ro'yxatga oluvchilarning deyarli barcha zamonaviy modellari IP tizimlariga keyingi integratsiya qilish yoki masofadan ko'rish uchun Internet orqali signal uzatish uchun kameralardan signalni IP oqimiga (odatda RTSP) aylantirishi mumkin. Kompyuterlar

va serverlarga o'matilgan raqamlashtirish platalarini tarqatilmagan. Ulanish uchun BNC ulagichlari bo'lgan koaksiyal kabel kameringating yonidan ham, ro'yxatga oluvchining yonidan ham ishlataladi. Muqobil ma'lumot uzatish kanallaridan (o'ralgan jutflik yoki optika) foydalanilganda, BNC konnektorlari media konvertorlarining chiqishlarida allaqachon mayjud.

Kameralar odatda kameralarning quvvat sarfiga mos keladigan 12V DC quvvat manbai bilan quvvatlanadi (24V AC quvvati PTZ va perimetrlı kameralar uchun ham ishlatalishi mumkin).

Teleradiokompaniyadan kelgan HD-SDI video kuzatuv texnologiyasi bir necha yil oldin xavfsizlik tizimlari bozorini zabit etishga harakat qildi, ammo uning yuqori, raqobatbardosh bo'lmagan narxi va kabel tizimiga yuqori talablarini tufayli u asta-sekin o'ziga xos mahsulotga aylandi. maksimal tasvir sifati talab qilinadigan ob'ektlarda qo'llaniladi - kameradan magnitafonga video signal siqilmasdan va 60 kadr/s gacha kadrlarni yangilash tezligi bilan keladi, bu esa kabel tarmog'iga katta talablarni qo'yadi (ma'lumotlar oqimi 1,485 Gbit / s va 2,970 Gbps, mos ravishda, HD-SDI va 3G-SDI). Texnologiya to'xtiamaydi, Eyenix (Janubiy Koreya) tomonidan ishlab chiqilgan EX-SDI (Kengaytirilgan Serial Digital Interface) standarti paydo bo'ldi va bu aslida HD-SDI / 3G-SDI standartlarini yanada rivojlantirishga qaratilgan. uzatish diapazonidagi 100-150 metrlik cheklovni yengib o'tishda. Buning uchun EX-SDI minimal JPEG siqishni (vizual ravishda sezilarli yo'qotishlarsiz) ishlataladi, bu video tasvimi vizual idrok etishga mutlaqo ta'sir qilmaydi, lekin video ma'lumotlar oqimini sezilarli darajada kamaytirishi mumkin (270 Mbit / s gacha). Natijada, video eshitirish diapazoni 400-500 m gacha ko'tariladi (koaksiyal kabelning turiga qarab). HD-SDI/3G-SDI standartlarining barcha afzalliklari saqlanib qolgan.

Kadr o'lchamlari - 2 MP (1080p), EX-SDI 4K uskunasi e'lon qilingan, ammo hali bozorda emas. Tavsiya etilgan markaziy yadro qismi kamida 1,1 mm HD-SDI — 100-150 metr, EX-SDI 400-500 metrgacha bo'lgan koaksiyal kabel orqali signal uzatish. Kameralar kameralarning quvvat sarfiga mos keladigan 12V DC quvvat manbai bilan quvvatlanadi (24V AC quvvati PTZ va perimetrlı kameralar uchun ham ishlatalishi mumkin).

Yozib olish HD-SDI/EX-SDI standartidagi videoregistratorlarda amalgalashiriladi (esda tutish kerakki, ba'zida EX-SDI uchun maxsus adapter talab qilinadi).

### Video kuzatuv kameralarning korpusli bajarish turlari

Ular o'matilgan matritsaga ega bo'lgan plata va uzatish uchun ulagichlardir. Tegishli korpusga o'matilishi mumkin. (Xitoymda kameralar odatda shunday yig'iladi - bir zavod modulli kameralar ishlab chiqaradi, boshqasi korpuslar ishlab chiqaradi, uchinchisi ular kamdan-kam hollarda qo'llaniladi, chunki, tunasi yo'q (va shunga mos ravishda mahkamlash va tashqi omillardan himoya qilish). Ular quti kameralarini ta'mirlash yoki yangilash uchun yoki o'z loyihibarida ishqibozlar tomonidan qo'llaniladi.

Silindrsimon o'q ("o'q" so'zidan olingan) kameralar - ichki o'matish uchun ob'ektivli kichik kameralar va (asosan) ko'chaga o'matish uchun (ko'plab narxlari ro'yxatlarida ular "Ko'cha kamerasi" deb ataladi). Bu silindr (yoki tsilindrga o'xshash narsa), bir tomoni shisha, ikkinchi tomoni esa har qanday sirtga o'matish uchun qavs. U dastlab linzalar bilan jihozlangan (qattiq, qo'lda sozlangan varifokal yoki avtofokusli ZOOM linzalari), chang va namlikdan himoya qilish sinfiga ega (IP66 yoki IP 67 ochiq havoda mos keladi), vandaldan himoyalangan metall korpus. B/w rejimida tungi kuzatish uchun IR yoritgichi bilan jihozlangan (kamdan-kam holatlar bundan mustasno, ishlab chiqaruvchi Starlight tipidagi matritsani qo'yadi, u tunda rangda ko'rsatiladi).

Turli sirtlarga (binoning tashqi yoki ichki burchagi, ustun va boshqalar) o'matish uchun yetakchi ishlab chiqaruvchilar maxsus qavslar va o'matish qutilarini taklif qilishadi. Sovuq hududlarda ishlash uchun uni qo'shimcha isitish yoki "sovuq ishga tushirish" tizimi bilan to'ldirish mumkin, bunda quvvat yoqilgandan so'ng isitish birinchisi marta yoqilganda va ma'lum bir ish haroratiga erishilganda elektronika quvvatlanadi (shunchaki -40 da sovuqda kamerani yoqish uning ishdan chiqishiga olib kelishi mumkin). Ulanish, odatda, 20-30 sm uzunlikdagi qavsdan o'tib, chiqish simlaridagi ulagichlar orqali amalgalashiriladi.

Shisha "qopqoq" bilan yarim shar tipidagi korpusdagi kameralar, Ichkarida braketga linzali kamera moduli o'rnatalgan. Braket linzalarni gorizontall va vertikal o'qlar bo'ylab aylantirib, kerakli yo'nalishga uchun ham, tashqi o'rnatish uchun ham (metall, shu jumladan vandalga qarshi korpus) bo'lishi mumkin. IQ yoritgich bilan jihozlanishi foydalanish imkoniyati o'q kameralariga o'xshaydi.

Kubik quti, tashqi ta'sirlardan himoyalamagan. Orqa tomondan to'g'ridan-to'g'ri korpusga ularish uchun ulagichlar. Keyinchalik murakkab video kuzatuv tizimlarini qurish uchun mo'ljallangan. Ular odatda linzalarsiz ta'minlanadi (ZOOM linzalari o'rnatalgan, noyob modellar bundan mustasno). Tashqi makonda foydalanish uchun ular vazifaga mos keladigan linzalar bilan jihozlangan va termal va germetik korpuslarga o'rnataladi, shu jumladan arktika sharoitida haroratlarda ishlash uchun ixtisoslashgan. -70 dan, portlovchi va aggressiv muhitlar uchun, sovutish tizimini o'rnatish bilan "issiq" do'konlarda ishlash uchun va hokazo.

"Sovun qutisi", "sfera" yoki "kub" ga o'xshash kameralar. Ular qattiq optikasi o'rnatalgan plastik quti. Ular odatda maishiy sohada - kvartiralarda, uylarda yoki kichik ofislarda ishlatiladi. O'rnatalgan mikrofon, IR yoki oq LED yoritgich, PIR harakat sensori, dinamik bilan jihozlanishi mumkin. Orqa tomondan kameralaring o'zida ularish ulagichlari. Ba'zi kub va sferik kameralar masofaviy mijozning signalini yoki dasturlashtirilgan dastur orqali gorizontal o'q bo'ylab aylantirilishi mumkin.

#### IPC-A151.png

Aylanuvchi PTZ (pan tilt zoom) kameralari ham yarim shar shakliga ega, lekin o'rnatilgan aylanish mexanizmi tufayli gumbaz kameralaridan biroz kattaroqdir. Ichki bo'lishi mumkin, lekin asosan ular namlik va changdan himoyalangan tashqi, tashqi kameralardir. Ular boshqaruv signallari yoki dasturlashtirilgan dasturga muvosiq kameralari gorizontal (odatda 360°), vertikal (90°) burish va ko'rish obyektiga yaqinlashish yoki undan uzoqlashish uchun zum linzalarini boshqarish imkonini beruvchi aylanuvchi mexanizm bilan jihozlangan. Ular turli sirtlarga o'rnatish uchun maxsus qavslar bilan jihozlanishi mumkin (va ba'zi ichki PTZ kameralari ham soxta shiftga o'rnatilishi mumkin). Ulanish to'g'ridan-to'g'ri kamera korpusida ham, ulagichlari

bo'lgan masofaviy simlarda ham amalga oshishi mumkin. Ular 150-200 metrgacha bo'lgan ultra uzoq masofani o'z ichiga olgan IR yoritgichi bilan jihozlanishi mumkin. Kamera linzalarini tozalash uchun tozalagichli modellar mavjud. Ushbu turdag'i kameralarda ob'ektni avtomatik kuzatish rejimi bo'lishi mumkin; bu kameralar patrul qilish va ob'ektdagi diqqatga sazovor joylarni yaqindan ko'rish uchun ishlatiladi. Aytish mumkinki, PTZ kameralari bosqqa kuzatuv kameralari orasida eng ko'p qirrali va funksionaldir. Lekin, shuningdek, chiziqlardagi eng qimmat

Texnologik jarayonni boshqarish uchun mo'ljallangan kameralar. Ommabop yechim - defekt detektorlari yoki o'rnatalgan kamerali mikroskoplar.

#### 1606141\_0gp.jpg

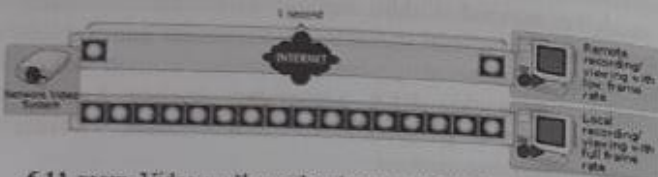
Maishiy buyumlar sifatida yashiringan kuzatuv kameralari. Kameralarni devorlarga, harakat sensorlariga, soatlarga va boshqa narsalarga yashirish imkonini beruvchi pin-teshikli linzalar bilan jihozlangan.

Web-kamera nima? Web-kamera – ichki web-serverli, tarmoqli interfeysi va LAN/WAN/Internetga to'g'ridan-to'g'ri ulangan statsionar o'rnatalgan kameradir (6.12-rasm). Ko'pgina tarmoq kameralari harakat detektori, e-mail ga habar yuborish, modem bilan ishlash, tashqi ogohlantirish qurilmalarini va datchiklarini ularish va shu kabi boshqa qo'shimcha vositalarga ega. Foydalanuvchilarning kameraliga murojaati standart web brauzerlar orqali amalga oshirilishi mumkin. Web-kamerani rostlash, undan olingan videotasvirni ko'rish tarmoqdag'i barcha foydalanuvchilarga yoki faqat mas'ul foydalanuvchilarga ochiq bo'лади.

Ko'pgina internet-kameralar kameradan olingan tasvirlarni saqlash uchun ishlatiladi va u video bufer deb ataladi. Video buferda axborot takroriy yangilanib turadi, ya'ni yangi kadr eski kadr o'miga yozilib turadi. Web-kameralarning video buferiga barcha siqilgan kadrlar yozilar ekan, u holda biror qurilmadan trevogali signal kelganda u trevoga bo'lmasdan oldingi va keyingi video kadrlarni formallashtirib, oldindan aniqlab qo'yilgan FTP yoki SMTP manzilga uzatadi.

Shuningdek, videotasvirlar bilan ishlashda CCD kameralardan ham foydalanish mumkin (6.13-rasm). Bu kameralarni maxsus kuzatuv vositalariga, shuningdek, kompyuterlarga ham ularish mumkin.

Ta'kidlash kerakki, CCD kameralarning texnik va dasturiy imkoniyatlari Web-kameralardan yuqoriq sanaladi.



6.11-rasm. Video ma'lumotlarning uzatilishi (kadrlar).



6.12-rasm. Web-kamera.



6.13-rasm. CCD kamera.

### Videotasvirlardagi ob'ektlarni aniqlash usullari va algoritmlari

Faoliik detektori ma'lumotlar oqimida faoliikni aniqlashga asoslangan. Faoliik qaysidir ob'ektning harakati bilan aniqlanishi mumkin. Biroq yorug'likning o'zgarishi yoki ma'lumotlarni ro'yxatga olishda va uzatishdagi xalaqtarda ham yolg'on ishlanmalardan holi emas. Harakat detektori boshqacha tamoyilda ishlaydi. Ularning vazifasi faqat kadrdagi harakatga shaylanishdir. Harakat manbai ma'lumotlarni ro'yxatga oluvchi qurilmaga nisbatan bir necha kadrlar davomida o'z joyini o'zgartiruvchi inson, hayvon yoki mexanik

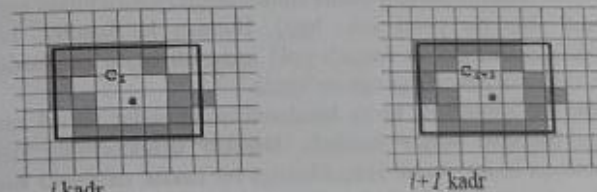
qurilma bo'lishi mumkin.

Dasturiy harakat detektori - bu videokadrlar oqimida harakatni aniqlash va harakatdagi ob'ektni kuzatishda qo'llaniladigan dasturiy ta'minot.

Videokadr - RGB formatidagi rastrli tasvir oluvchi raqamli qurilma, ya'nı raqamli videokameradan olinadigan videokadrlar ketma-ketligi.

Harakat - video oqim qo'shni kadrlarda kuzatiladigan bir necha gurux piksellarning harakatidir. Qo'shni kadrlarda ham xuddi shu piksellar guruxlari harakati nazarda tutiladi.

Harakatdagi ob'ekt - bu qo'shni kadrlarda o'z shaklini saqlovchi piksellar guruxi. Bu guruxning to'g'ri to'rtburchak bilan qoplanadigan o'chami saqlanib, markaziy nuqtasi bu kadrlar orasida siljiydi. 6.14-rasmda qo'shni kadrlarda to'g'ri to'rtburchak bilan qoplanan piksellar guruxi keltirilgan.



6.14-rasm. To'g'ri to'rtburchak bilan o'ralgan qo'shni kadrlardagi piksellar guruxi.

Kuzatish - video oqimda bir necha kadrlar harakatdagi ob'ektni ketma-ket ro'yxatga olish va uning harakat traektoriyasini qurish jarayoni.

Harakat detektorini ishlab chiqish rastrli tasvirlarni qayta ishlash va ularda harakatdagi ob'ektni aniqlash usullarini tadqiqot qilish va qo'llashdan iborat.

Tadqiqot natijalari quyidagi talablarga javob berishi kerak:

- Real vaqtda detektorning ishlash imkoniyati;
- Tashqi ta'sirlarga turg'un ishlashi;
- Ro'yxatga oluvchi va uzatuvchi qurilmalarning xalaqtalarida yolg'on axborotlarni sonining minimalligi;

- Qo'riqlanayotgan ob'ekt uchun xavf tug'diradigan yolg'on xalaqitlar (daraxtning qimirlashi, barg to'kilishi, turli o'simliklar va boshqalar)ning minimal soni.

Ishlab chiqilgan detektor ish sifati turli sharoitlarda turli raqamli videokameralarda tushirilgan kichik videofilmlarda sinab ko'rildi. Video ma'lumot deganda video tasvirlarning ketma-ket kadrlar tuzilmasidagi ma'lumotlar oqimi tushuniladi. Bu kadrlar oldindan o'rnatilgan tasvir oluvchi qurilmalar (raqamli yoki analogli kameralar) orqali olinadi yoki biror maxsus dasturiy ta'minot orqali sintezlashgan (animatsion) xolda uzatish va saqlash uchun qulay ifodalangan bo'ladi. Bir oqimdag'i (potok) barcha kadrlarda tasvirlar bir xil o'lchanma bo'ladi va ular aniq doimiy vaqt intervalida tushiriladi. Qo'shni kadrlar orasida teskari vaqt intervalidagi kattalik – bu bir sekundda ishlanishi kerak bo'lgan kadrlar soni (frames per second yoki fps). Bundan tashqari, oqimning barcha kadrlari rangi bir xil darajada bo'lib, kadning bir pikselini saqlash uchun ishlataladigan xotira bitlari sonida o'lchanadi (bits per pixel yoki bpp). Bundan ko'rinishi, EHM xotirasida saqlanadigan va dasturli yoki apparatli qayta ishlanadigan raqamli video ma'lumotlarga ega bo'lamiz.

Video ma'lumotlarga ko'ra harakatni aniqlashdan avval rastqli kadrlarga dastlabki ishlov beriladi. Harakat detektorining rastqli ma'lumotlarga ishlov berish ketma-ketligi bir necha dastlabki ishlab beruvchi va harakatdagi ob'ekt detektorining xususiy filtrlaridan iborat.

Video ma'lumotlarga ko'ra harakatni aniqlashdan avval rastqli kadrlarga dastlabki ishlov beriladi. Harakat detektorining rastqli ma'lumotlarga ishlov berish ketma-ketligi bir necha dastlabki ishlab beruvchi va harakatdagi ob'ekt detektorining xususiy filtrlaridan iborat.

Harakatni aniqlashning usullaridan biri kadrlararo farqlash usulidir. Kadrlararo farqni xisoblash usuli harakatni aniqlashning keng tarqalgan birinchi usuli xisoblanadi.

Biroq bunday yondashuv bilan harakatni baholash yaxshi samara bermaydi. Chunki tasvirga oluvchi apparatlardagi yoritish shartlarining o'zgarishida, kameraning kichik silkinishida va boshqa xolatlarida detektorning xato ishlashi kuzatilgan. Shuning uchun kadrlararo farqlarni xisoblashdan oldin video kadrlarga dastlabki ishlov berish kerak.

Video ma'lumotlar oqimida tasvirlarga dastlabki ishlov berish

to'g'risida to'xtolib o'tirmaymiz. Endi kadrlararo farqni hisoblaymiz, RGB formatidagi rangli video ma'lumotlar qayta ishlanganda ikki kadrlarning kadrlararo farqini hisoblash algoritmi quyidagicha bo'ladi:

- 1) Algoritm kirishida o'zida RGB formatida ketma-ket baytlarni ifodalaydigan ikki video kadr olinadi.
- 2) Kadrlararo pikseli farqlarni hisoblash quyidagicha amalga oshiriladi.

$$R'_{\text{qora}} = |R_1 - R_2|, \quad G'_{\text{qora}} = |G_1 - G_2|, \quad B'_{\text{qora}} = |B_1 - B_2|,$$

bu yerda  $R'_\text{qora}$ ,  $G'_\text{qora}$ ,  $B'_\text{qora}$  natijaviy rastrning  $i$ -nchi pikseli rangining qizil, yashil va ko'k komponentlari,  $R_1, G_1, B_1, R_2, G_2, B_2$  lar birinchi va ikkinchi kadrdagi  $i$ -nchi piksel rangining qizil, yashil va ko'k komponentlari.

- 3) Har bir piksel uchun rangning uchala komponentalari o'rtachasi hisoblanadi:

$$P' = (R'_\text{qora} + G'_\text{qora} + B'_\text{qora}) / 3$$

- 4) Tasvir binar oq-qora tasvirga o'tkaziladi, ya'ni berilgan  $T$  porog bo'yicha qiymat taqqoslanadi. Natijada taqqoslash ikkilik niqob shaklida bo'ladi:

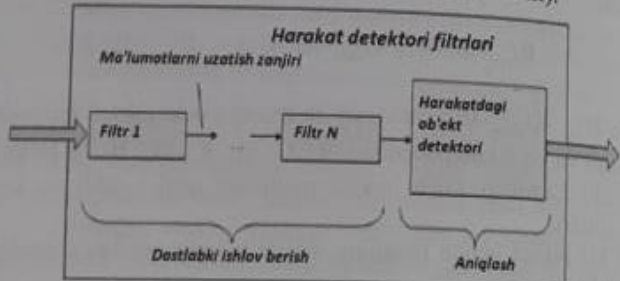
$$m' = \begin{cases} 0, & p' < T \\ 1, & p' \geq T \end{cases}$$

bu yerda  $m'$  - niqobning  $i$ -nchi element kiymati,  $T$  - taqqoslash porogi, ba'zan u sezuvchanlik darajasi deb ham nomlanadi. Shunday qilib, oq-qora ranli binar tasvir hosil qilish algoritmi chiqishida boshlang'ich ikki kadrlarning piksellari ranglarining uch komponentalariga mos bitta element hosil qilinadi. Natijaviy tasvir sohasida joylashgan niqobdagi birliklar harakat mavjud yoki mavjud emasligini aniqlashi mumkin. Undagi ayrim 1 lar yolg'on axborot berishi ham mumkin.

Harakat detektori filtrlarga rastqli ma'lumotlar, tasvir esa zaruriy elementlarni ajratib, qolganini yuqotish imkonini beruvchi ustida aniq almashtirishlarni ham bajaradi. Bundan so'ng qiziqtirayotgan

elementlar harakatdagi ob'ekt sifatida ro'yxatga olinadi, keyin yoki sinflanishi yoki x.o.ning ma'lumotlar bazasiga saqlanishi, yoki agar tizim to'liq avtomatlashirilmaganda inson qaror qabul qilishi talab etilganda operator displayei ekraniga chiqarishi mumkin.

Shunday qilib, harakat detektorining rastrli ma'lumotlarga ishlov berish ketma-ketligi bir necha dastlabki ishlab beruvchi va harakatdagi ob'ekt detektorining xususiy filtrlaridan borat. (6.15-rasm).



6.15-rasm. Harakat detektori filtrining ichki tuzilmasi.

### 6.3. Raqamli video-tasvirlarda identifikatsion belgilarning xossalari

#### Manba tasvir belgilari

Manba (dastlabki) tasvir deb kompyuter xotirasiga kiritilgan va asosan biror ko'rinishdagi ishlov berilmagan kulrang tasvirga tushuniladi.

Ko'pincha tasvirlarni tanish tahlil qilinganda manba tasvirdan turli tartibli asos va hosila belgilarni ajratish imkonini beradigan boshlang'ich belgilarni bilan cheklanadi. Ulardan ko'proq ishlataligidani quyidagilar:

1. Alohiba nuqta yorug'lik darajasi -  $f_{ij}$ . Bu belgi asosiy hisoblanadi va deyarli barcha qolgan belgilarni uning asosida aniqlanadi;

2. Tasvirdagi maksimal yorug'lik darajasi -  $f_{max}$ .

3. Minimal yorug'lik darajasi -  $f_{min}$ . Bunda  $f_{min}$  va  $f_{max}$  larning qiymatlari tasvir qiymatlari o'zgarish oralig'ini aniqlash imkonini beradi;

4. Tasvirdning o'rtacha yorug'lik darajasi:  $f_{\bar{r}} = \frac{1}{MN} \sum_{i=1}^N \sum_{j=1}^M g_{ij}$ , bu yerda

$N \times M$  tasvir o'lchamlaridir.

5. Ma'lum bir qiymatli nuqtalar soni -  $K_f$ . Odatda quyidagi ko'rinishda jadval tuziladi:

Nuqtaning yorug'lik qiymati	$X_0$	$X_1$	$X_2$	.....	$X_z$
Shu qiymatli nuqtalar soni	$K_0$	$K_1$	$K_2$	.....	$K_z$

Bu jadval tasvir elementlari yorug'lik qiymatlari histogrammasini beradi.  $K_i$  qiymatlarni  $N \times M$  ko'paytmaga bo'lib, yorug'lik taqsimoti ehtimolligi  $P_i$  ni olish mumkin. Ushbu histogramma asosida ko'psonli histogramma belgilari (statistik belgilari) olinadi, ulardan eng keng tarqalganlari quyida keltirilgan (6+11).

6. Tasvir energiyasi:

$$E = \sum_{i=1}^L p_i^2$$

7. Tasvir yorug'ligi o'rta qiymati -  $f_{\bar{r}}$ ;  $f_{\bar{r}} = 1/MN \sum_{i=1}^N \sum_{j=1}^M f_{ij}$ , bu yerda

$N, M$  - tasvir o'lchami.

8. Tasvir yorug'lik dispersiyasi -  $\sigma^2 = \sum_{i=1}^L (x_i - \bar{x})^2 p_i$ , bu yerda  $L$  - maksimal yorug'lik darajasi,  $P_i$  - o'rtacha  $|F - \mu|$  tasvirdning yorug'lik taqsimoti histogrammasi kiymati,  $\mu$  - matematik kutilma.

9. Yorug'lik qiymatlari histogrammasi asimetriyasi:

$$A = \frac{\sum_{i=1}^L (x_i - \bar{x})^3 p_i}{\left( \sqrt{\sum_{i=1}^L (x_i - \bar{x})^2 p_i} \right)^3}$$

10. Yorug'lik qiymatlari histogrammasi eksesssi:

$$E_r = \frac{\sum_{i=1}^k (x_i - \sum_{j=1}^n x_j p_j)^2 p_i}{\left( \sqrt{\sum_{i=1}^k (x_i - \sum_{j=1}^n x_j p_j)^2 p_i} \right)^2}$$

11. Tasvir entropiyasi:

$$H = - \sum_{i=1}^k p_i \log_2 p_i.$$

12. Ma'lum qiymatli nuqtalar juftliklari soni. Ularni xisoblash bir vaqtida paydo bo'lish matritsasini (BVPBM) hosil qiladi, bu matritsa asosida juftliklar taqsimotining ikki o'lchamli histogrammasi tuziladi. Bu histogramma qator belgilarini hisoblash imkonini beradi. Quyida ularni bazilari (13+21) keltirilgan.

13. BVPBM energiyasi:

$$\mathcal{D} = \sum_{i=1}^k \sum_{j=1}^l [M_{ij}[r, \theta]]^2.$$

14. BVPBM avtokorrelatsiya koefitsenti:

$$KA = \sum_{i=1}^k \sum_{j=1}^l ij M_{ij}[r, \theta], \text{ bu yerda } M_{ij}[r, \theta] - \text{VPBM elementlari.}$$

15. BVPBM kovariatsiya koefitsenti:

$$KK = \sum_{i=1}^k \sum_{j=1}^l (i-\mu)(j-\mu) M_{ij}[r, \theta], \text{ bu yerda } \mu - \text{matematik qutilma (BVPBM o'rtacha qiymati).}$$

16. Histogramma inersiya momenti:

$$\mu = \sum_{i=1}^k \sum_{j=1}^l (i-j)^2 M_{ij}[r, \theta].$$

17. O'rtacha absolyut ayirma:

$$AP = \sum_{i=1}^k \sum_{j=1}^l |j-i| M_{ij}[r, \theta].$$

18. Teskari ayirma:

$$OP = \sum_{i=1}^k \sum_{j=1}^l M_{ij}[r, \theta] / (1 + (i-j)^2).$$

19. BVPB entropiyasi:

$$H = - \sum_{i=1}^k \sum_{j=1}^l M_{ij}[r, \theta] \log_2 (M_{ij}[r, \theta]).$$

20. Tasvirning Fure spektri:

$$F(u, v) = \frac{1}{NM} \sum_{m=1}^N \sum_{n=1}^M F(m, n) \exp\left(\frac{12\pi(ium + vnm)}{MN}\right).$$

bu yerda  $F(m, n)$  - tasvir elementlari.  
21. Tasvirning Uolsh spektri:

$$Y(u, v) = \sum_{m=1}^M \sum_{n=1}^N F(m, n) W_{u,v}(m, n);$$

Uolsh almashtirish matritsasi  $W_{u,v}(m, n) = (-MxN)^{-1} \sum_{j=1}^{N-1} (m, n)_{u+j, v+j}^T (m, n)_j$ ,  
ko'rinishga ega. Bu yerda  $(m, n)_{u+j, v+j}^T$  - funksiya nomerining aksiltartibli Grey kod raqamlari,  $(m, n)_j$  - nuqta nomeri ikkilik kod raqamlari.

22. Tasvirning Adamar spektri:

$$A(u, v) = \sum_{m=1}^M \sum_{n=1}^N F(m, n) HAD_{u,v}(m, n);$$

bunda  $HAD_{u,v}(m, n) = 1/MN(-1)^{\sum_{j=1}^{N-1} (m, n)_{u+j, v+j}^T (m, n)_j}$ ,  
 $(m, n)_j$  - Grey kodining (to'g'ri tartibli)raqamlari.

23. Uolsh - Adamar spektri (UAS) -  $UA(u, v)$ . Turli tipdag'i

spektrlarni hisoblashning boshqa algoritmlari ham mayjud.

24. Qo'shni elementlar qiyatlari ayirmasi  $\Delta f = f_1 - f_2 - f = f_1$ .  
 $f_2$ . Bu ayirmani hisoblash manba tasvir belgilar: maksimal, minimal, o'rtacha yorug'liklar, histogramma belgilari, spektrlar va hokazolarni aniqlash imkonini beruvchi tasvir hosil qiladi.

25. Ma'lum uzunlikli va yo'nalishli bir hil qiyatlardan tashkil topgan chiziqlar soni, ya'ni takrorlanishlar ketma-ketligi. Bu belgidan chiziqlar uzunliklari histogrammasi tuzish va chiziqlarning statistik hususiyatlarini aniqlash mumkin.

Turli masalalarni yechish uchun zarur bo'lgan belgilarni aniqlovchi yana ko'plab usullar mayjud. Shuni aytib o'tish kerakki, belgilarni ko'pchiligi butun tasvirni emas, balki satr, ustun yoki biror bo'lak tahlili asosida aniqlanadi.

### Nuqtaviy ob'ektlar belgilari

Nuqtaviy ob'ekt deb o'zaro bog'liq bo'lgan nuqtalarni soni 9 tadan oshmaydigan va mustaqil ahamiyatga ega qismilarga bo'linmaydigan ob'ektlarga aytildi. Nuqtaviy ob'ekt (NO)larning belgilaridan kengroq qo'llaniladiganlari quyidagilar:

1. Alohida nuqtaning yorug'lik qiyomi:  $f_{ij}$ .
2. NO o'rtacha yorulik qiyomi:

$$f_{\text{yuz}} = \frac{1}{kl} \sum_{i=1}^k \sum_{j=1}^l f_{ij}$$

3. Tasvirdagi NO lar soni:  $n$ .

4. NO yuzasi – s. UNOdagi nuqtalar soniga teng.

5. Tasvirdagi NO larning umumiyligi yuzasi:  $S = \sum_{j=1}^s f_{ij}$

6. NO og'irlilik markazi koordinatalari:

$$x_n = \frac{1}{s} \sum_i \sum_j i \cdot f_{ij}, \quad y_n = \frac{1}{s} \sum_i \sum_j j \cdot f_{ij}$$

bu yerda  $f_{ij}$  va  $s$  lar har bir ob'ektga alohida aniqlanadi.

7. Og'irlilik markazidan koordinata markazigacha bo'lgan masofa:

$$r_i = \sqrt{x_n^2 + y_n^2}$$

8. NOLar orasidagi masofa:

$$r_{ij} = \sqrt{(x_{ni} - x_{nj})^2 + (y_{ni} - y_{nj})^2}$$

9. NOLar yuzalari histogrammasi. Bu histogramma asosida tasvirda NOLarning bir qator statistik xususiyatlari aniqlanadi.

10. NOLar orasidagi masofalar histogrammasi. Ularning "to'p-to'p"ligi va NOLarning tasvirda joylashishining bir qator statistik xossalarni aniqlash imkonini beradi.

11. Tasvirning NOLar bilan to'yinganligi:  $A = \frac{S}{MN}$ .

Bundan tashqari NO larning yana bir qancha inersiya momenti, tashqi chizilgan to'rburchak o'lchamlari va boshqa belgilarni aniqlash mumkin.

O'z navbatida, NOLi tasvirlarni manba tasvir deb qarab, unda tasvirga xos belgilarni xam ajratish mumkin.

### Uzuq chiziqli ob'ektlarning belgilari

Bu yerda uzlusiz chiziqlarning uzlusiz diskret ko'rinishi bo'lgan bitta nuqta qalinlikdagi chiziqlar ko'rildi. Odadta, bunday ob'ektlar tasvirlar binar bo'ladi. Shuning uchun quyida tasvirdagi bir qalinlikdagi qora (ob'ekt) nuqtalar muhokama etiladi va ularning belgilari asosan geometrik xususiyatlarini ifodalaydi. Bu belgilardan ko'proq foydalilanadiganlari quyidagilardir:

1. Birinchi tartibli tugun nuqtalari soni –  $k_1$ . Bu tugunlar chiziqning chetki (boshlang'ich va oxirgi) nuqtalaridir.
2. Uchinchi tartibli tugun nuqtalari soni –  $k_3$ . Bu T yoki Y ko'rinishidagi uchtali shohlash nuqtalaridir.
3. To'rtinchi tartibli shohlash nuqtalari –  $k_4$ . Bu ikki chiziqning o'zarो kesishish nuqtalaridir.
4. Chiziq uzunligi –  $L$ . U chiziq tuqtalari soniga proporsional;
5. Chiziq soni –  $n$ .

6. Barcha chiziqlarning umumiyligi uzunlikligi:  $L = \sum_{i=1}^n l_i$ .

$$7. Chiziqning (i,j) nuqtadagi egriligi \quad r_y = \frac{\Delta\varphi}{\Delta d} .$$

Bu yerda  $\Delta\varphi$ -chiziqning shu nuqtada o'zgarish burchagi,  $\Delta d$ - egri chiziq uzunligi.

8. Chiziqlarning burilishlar soni -  $\alpha$ .

9. Chiziqning mahalliy maksimumlari soni -  $\beta$ .

10. Chiziqning mahalliy minimumlari soni -  $\tau$ .

$$11. x o'qidagi chiziqning proeksiya uzunligi l^x = |x_{max} - x_{min}|$$

Bu yerda  $x_{max}, x_{min}$  - x chiziq elementlari koordinatasining ekstremal qiymatlari.

$$12. y o'qidagi chiziqning proeksiya uzunligi l^y = |y_{max} - y_{min}| .$$

Bu yerda  $y_{max}, y_{min}$  - chiziqning eng katta va eng kichik ordinalari.

$$13. Tasvirning chiziqlarga to'yinganligi B = \frac{l}{MN} .$$

14. Chiziqlarning chetki nuqtalari orasidagi eng qisqa masofa -  $r$ . Ikki nuqta orasidagi masofa ifodasidan aniqlanadi.

15. Chiziq uchlari orasidagi masofaning chiziq uzunligiga nisbati:  $R = r/l$ .

16. Chiziqning abssissaga proeksiyasi uzunligining chiziq uzunligiga nisbati:  $D^x = l^x / l$ .

17. Chiziqning ordinata proeksiyasi uzunligining chiziq uzunligiga nisbati  $D^y = l^y / l$ .

Belgilarni sanashni uzoq davom ettirish mumkin. Ular uzunliklar va egriliklar histogrammalarini asosida aniqlanadigan belgilar, 1,3,4-tartibili tugunlarning chiziqlar uzunliklariga yoki soniga nisbatlari, lokal ekstremumlar nisbatlari va shunga o'xshash boshqa belgilardir.

### Yopiq chiziqli ob'ektlarning belgilari

Bu yerda ham uzuq chiziqli ob'ektlarga aytilgan gaplar o'rini. Farqi - chiziqlarning uchlari tutashganligidan va qo'shimcha belgilarning mavjudligidadir. Shuning uchun faqat qo'shimcha belgilarni muhokama qilamiz.

1. Ob'ektlarning ichma-ich tartibi -  $V$ .

2. Ob'ektlarning markaz koordinatalari:

$$X_n = 1/S \sum_i \sum_j i \cdot f_{ij}, \quad Y_n = 1/S \sum_i \sum_j j \cdot f_{ij} .$$

3. Ob'ekt markazlari orasidagi masofa:

$$R_{ij} = \sqrt{(x_{ni} - x_{nj})^2 + (y_{ni} - y_{nj})^2}$$

4. Tashqi chizilgan to'rburchak o'lchamlari:  
 $a = |x_{max} - x_{min}| \cos\alpha, b = |y_{max} - y_{min}| \cos\alpha$  .

5. Ob'ekt markazi va koordinata boshi orasidagi masofa:  
 $r = \sqrt{x_n^2 + y_n^2} .$

6. Ob'ektlarni xo'qiga nisbatan inersiya momenti:  
 $\mu' = \sum_i \sum_j f_{ij} (i - x_n)^2$

7. Ob'ektlarni yo'qiga nisbatan inersiya momenti:  
 $\mu'' = \sum_i \sum_j f_{ij} (j - y_n)^2$

8. O'bektlarning aralash inersiya momenti:  
 $\mu''' = \sum_i \sum_j f_{ij} (i - x_n)(j - y_n)$

9. Ob'ektlarning asosiy inersiya momenti:  
 $M_{1,2} = \frac{\mu' + \mu''}{2} \pm \sqrt{\frac{1}{4}(\mu' - \mu'')^2 + (\mu''')^2} .$

10. Ob'ektlarni katta o'qi uzunligi (Martin diametri):  $O_1 = \max(dF_i)$ , bu yerda  $dF_i$  - Fere diametri.

11. Ob'ektning kichik o'qi uzunligi (Martini eni):  $O_2 = \min(dF_i)$ .

12. Ob'ekt eksentrisiteti:

$$e = \sqrt{\frac{(I \cdot e_i)}{(I \cdot e_i)}}.$$

Bu yerda

$I(\mu_x, \mu_y, \mu_z)$ ,  $e_i(\cos^2 \alpha, \sin^2 \alpha, -\sin^2 \alpha)$ ,  $e_x(\sin^2 \alpha, \cos^2 \alpha, \sin^2 \alpha)$  belgisi vektorlarning skalyar ko'paytmasi belgisi,  $\alpha$  – ob'ektning og'ish burchagi.

13. Ob'ekt yumaloqligi:  $\varrho = \frac{P^2}{4\pi S}$ , bu yerda  $P$  – perimetri,  $S$  – ob'ekt yuzasi.
14. Fere diametri:  $F: F = p_0 / \pi$ , bu yerda  $p_0$  – ob'ektga tashqi chizilgan eng kichik qavariq chiziqning perimetri;
15. Ob'ekt chizig'ining bo'laklanganlik darajasi:  $I = \frac{n}{S}$ , bu yerda  $n$  – tasvirdagi chiziqlar soni.
16. Ob'ektning kvadratga moslik koefitsenti:  $J = \frac{P}{4H}$ , bu yerda  $P$  – perimetri,  $H$  – ob'ektning Martin eni.
17. Ob'ekt chiziqlarining spirallik darajasi:  $C = \frac{P}{2L}$ , bu yerda  $L$  – ob'ektning Martin diametri.

### Yuzali ob'ektlarning belgilari

Elementlari soni to'qqizdan oshiq bo'lgan va mustaqil qismlarga ajratish mumkin bo'lgan ob'ektlarga yuzali ob'ektlar deyiladi. Ularning belgilarini aniqlash uchun manba tasvir belgilarini aniqlash algoritmlaridan foydalanish mumkin, chunki har bir ob'ektga tasvir yoki uning fragmenti deb qarash mumkin. Demak, quyida manba tasvirnikidan farqli belgilarni muhokama qilamiz.

1. Ob'ekt yuzasi –  $s$ , uning elementlar soniga teng.
2. Ob'ektdagi teshiklar soni –  $d$ ;
3. Ob'ektdagi teshik yuzasi  $s'$ . Teshik yuzasidagi nuqtalar soniga teng.
4. Ob'ektning umumiy maydoni:  $q = s + \sum_{i=1}^d s'_i$ .
5. Tasvirdagi ob'ektlar soni –  $n$ .
6. Barcha ob'ektlarning yig'indi yuzasi:  $S = \sum_{j=1}^n q_j$

7. Ob'ekt ilma teshikligi:  $u = d/q$ .

8. Tasvirming ob'ektlarga to'yiganligi:  $v = \frac{s}{MN}$ .

9. Ob'ekt og'irlik markazi koordinatalari:  
 $x_m = 1/s \sum_i i \cdot f_i$ ,  $y_m = 1/s \sum_j j \cdot f_g$ .

10. Absissa o'qiga nisbatan inersiya momenti:

$$\mu^x = \sum_i f_i (i - x_m)^2.$$

11. Ordinata o'qiga nisbatan inersiya momenti:

$$\mu^y = \sum_j f_g (j - y_m)^2$$

12. Aralash inersiya momenti

$$\mu^{xy} = \sum_{i,j} f_i (i - x_m)(j - y_m).$$

13. Inersiya bosh momentlari:

$$M_{1,2} = \frac{\mu^x + \mu^y}{2} \pm \sqrt{\frac{1}{4} (\mu^x - \mu^y)^2 + (\mu^{xy})^2}.$$

Yuzali ob'ektlar uchun aytil o'tilganlardan tashqari Eyler soni, ob'ektlarning ichma-ichligi, ob'ektlar orasidagi masofa, ob'ekt qobig'i parametri va yuzasi kabi ko'plab belgilarni aniqlash mumkin. Agar yuzali ob'ektlarning konturi olinsa, yopiq chiziqli ob'ektlarga ega bo'lamiz, natijada yuqoridagi muxokamalar ham yuzali ob'ektlar uchun o'rinni bo'ladi.

### Momentlar

Tasvir belgilarini aniqlash va ularni taqqoslashda momentlardan keng foydalaniladi. **Moment** quyidagicha hisoblanadi.

$$\mu_{pq} = \sum_{i=1}^n \sum_{j=1}^n x_i^p y_j^q f(x_i, y_j) .$$

Bu yerda  $f(x, y)$  - tasvirning  $x, y$  - koordinatasidagi piksel qiymati,  $n$  - tasvir o'lchami (eni va bo'yisi).

Ko'pincha  $p$  va  $q$  lar 0 dan 3 darajagacha bo'ladi. Ba'zi momentlarning o'z ma'nosi bor. Masalan:

1. Agar  $p, q = 0$  bo'lsa - energiya yoki nolinch darajali moment deb ataladi va bu holda  $f(x, y)$  bo'yicha summa aniqlanadi.
2. Agar  $p=1, q=0$  yoki  $p=0, q=1$  bo'lsa, birinchi darajali momentlar deb ataladi. Birinchi darajali momentlar orqali og'irlik markazini aniqlash mumkin, ya'ni:

$$\bar{x} = \frac{m_{10}}{m_{00}}, \quad \bar{y} = \frac{m_{01}}{m_{00}},$$

yoki bu quyidagi bilan teng kuchli

$$\bar{x} = \frac{1}{N} \sum_{i=1}^N x_i, \quad \bar{y} = \frac{1}{N} \sum_{i=1}^N y_i .$$

3. Agar  $p=2, q=0$  yoki  $p=0, q=2$  bo'lsa - inersiya momenti yoki ikkinchi darajali moment deb ataladi. U asosiy inersiya o'qini aniqlaydi. O'z navbatida ushbu momentlardan foydalaniib, asosiy o'qning og'ish burchagini quyidagicha aniqlash mumkin:

$$\alpha = \frac{1}{2} \operatorname{arctg} \frac{2\mu_{11}}{\mu_{20} - \mu_{02}} .$$



Tasvirdagi ob'ektning siljishiga nisbatan invariantilikni saqlash maqsadida **markaziy momentdan** foydalilanildi va u quyidagicha hisoblanadi:

$$\mu_{pq} = \sum_i \sum_j (x_i - \bar{x})^p \cdot (y_i - \bar{y})^q f(x_i, y_i) .$$

U holda tasvirning burilishiga, siljishiga va oyna (zerkalnoy) ko'rinishiga invariant momentlarni quyidagicha hisoblash mumkin:

$$\Phi_1 = \mu_{20} + \mu_{02},$$

$$\Phi_2 = (\mu_{20} - \mu_{02})^2 + 4\mu_{11}^2,$$

$$\Phi_3 = (\mu_{20} - 3\mu_{12})^2 + (3\mu_{21} - \mu_{03})^2,$$

$$\Phi_4 = (\mu_{20} + \mu_{12})^2 + (\mu_{21} + \mu_{03})^2,$$

$$\Phi_5 = (\mu_{20} - 3\mu_{12})(\mu_{20} + \mu_{12})[(\mu_{20} + \mu_{12})^2 - 3(\mu_{21} + \mu_{03})^2] +$$

$$+ (3\mu_{21} - \mu_{03})(\mu_{21} + \mu_{03})[(\mu_{20} + \mu_{12})^2 - (\mu_{21} + \mu_{03})^2],$$

$$\Phi_6 = (\mu_{20} - \mu_{02})(\mu_{20} + \mu_{12})[3(\mu_{20} + \mu_{12})^2 - (\mu_{21} + \mu_{03})^2] + 4\mu_{11}(\mu_{20} + \mu_{12})(\mu_{21} + \mu_{03}),$$

$$\Phi_7 = (3\mu_{21} - \mu_{03})(\mu_{20} - \mu_{12})[(\mu_{20} + \mu_{12})^2 - 3(\mu_{21} + \mu_{03})^2] -$$

$$- (\mu_{20} - 3\mu_{12})(\mu_{21} + \mu_{03})[3(\mu_{20} + \mu_{12})^2 - (\mu_{21} + \mu_{03})^2]$$

Affin almashtirishlarga, xususan masshtablashga nisbatan invariant momentlarni esa, quyidagicha aniqlash mumkin:

$$\eta_{pq} = \frac{\mu_{pq}}{(\mu_{00})^\gamma}, \text{ bu yerda } \gamma = \frac{p+q+1}{2} .$$

Bu formula darajalar  $p+q \geq 2$  bo'lgan holat uchun o'rnlidir.

U holda, tasvirning joylashuvi, masshtabi va orientatsiyasiga nisbatan invariant momentlar quyidagicha hisoblanadi:

$$\begin{aligned}
 M_1 &= \eta_{20} + \eta_{02}, \\
 M_2 &= (\eta_{20} - \eta_{02})^2 + 4\eta_{11}^2, \\
 M_3 &= (\eta_{30} - 3\eta_{12})^2 + (3\eta_{21} - \eta_{03})^2, \\
 M_4 &= (\eta_{30} + \eta_{12})^2 + (\eta_{21} + \eta_{03})^2, \\
 M_5 &= (\eta_{30} - 3\eta_{12})(\eta_{30} + \eta_{12})[(\eta_{30} + \eta_{12})^2 - 3(\eta_{21} + \eta_{03})^2] + \\
 &\quad + (3\eta_{21} - \eta_{03})(\eta_{21} + \eta_{03})[3(\eta_{30} + \eta_{12})^2 - (\eta_{21} + \eta_{03})^2], \\
 M_6 &= (\eta_{20} - \eta_{02})[(\eta_{30} + \eta_{12})^2 - (\eta_{21} + \eta_{03})^2] + 4\eta_{11}(\eta_{30} + \eta_{12})(\eta_{21} + \eta_{03}), \\
 M_7 &= (3\eta_{21} - \eta_{03})(\eta_{30} - \eta_{12})[(\eta_{30} + \eta_{12})^2 - 3(\eta_{21} + \eta_{03})^2] - \\
 &\quad - (\eta_{30} - 3\eta_{12})(\eta_{21} + \eta_{03})[3(\eta_{30} + \eta_{12})^2 - (\eta_{21} + \eta_{03})^2].
 \end{aligned}$$

#### 6.4. Tasvirlarning identifikatsion belgilarni aniqlash usullari va algoritmlari

##### Xaf almashtirishlari yordamida belgilarni aniqlash.

Xaf almashtirishlari orqali biz binar (ok-kora) tasvirda parametrlari egri chiziklarni topishimiz mumkin. Masalan, to'g'ri chiziq, aylana, ellips va h.k. Binar tasvirlarda ikki xil turdag'i ranglar katnashadi, bular – fon (oq) va ob'ekt (qora) ranglaridir.

**Usulning asosiy g'oyasi.** Xaf almashtirishining asosiy g'oyasi - bu qaralayotgan nuqtalarga yetarlicha katta miqdorda mos tushuvchi yoki shu nuqtalar orqali o'tuvchi egri chiziqlarni izlashdir. Tekislikda parametrla tenglama orqali berilgan egri chiziqlar oilasini quyidagicha ifodalaymiz:

$$F(a_1, a_2, \dots, a_n, x, y) = 0;$$

bu yerda  $F$  – biror funksiya,  $a_1, a_2, \dots, a_n$  – egri chiziqlar oilasiga mansub parametrlar,  $x, y$  – tekislikdagi koordinatalar. Egri chiziqlar oilasiga mansub parametrlar boshqa bir fazoni tashkil qiladi. Bunda xar bir nuqta  $a_1, a_2, \dots, a_n$  kabi aniq parametrlar orqali biror egri chiziqqa mos tushadi.

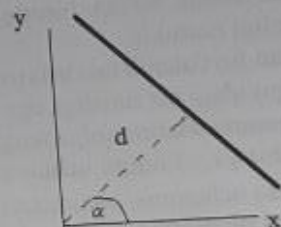
Fazoda hech bo'limganda bitta egri chiziq yotuvchi katakchaga tasvirda qaralayotgan nuqtalar sonini ko'rsatuvchi miqdor (xisoblagich)

qo'yish mumkin. Katakchadagi xisoblagichni tekshirib, unga eng ko'p mos tushgan nuqtalarni, ya'ni egri chiziqlarni topish mumkin. Misol: *Tasvirda to'g'ri chiziqni topish*. Ma'lumki, tekislikdagi to'g'ri chiziqni quyidagi formula yordamida ko'rsatish mumkin (6.16-rasm).

$$x \cdot \cos \alpha + y \cdot \sin \alpha = d,$$

bu yerda  $d$ -koordinatalar boshidan to'g'ri chiziqqa o'tkazilgan perpendikulyarning uzunligi.  $\alpha$  -  $Ox$ -qi bilan to'g'ri chiziqqa o'tkazilgan perpendikulyar orasidagi burchak bo'lib, u radianda beriladi ( $0 < \alpha < 2\pi$ ). Shunday qilib, to'g'ri chiziqlar oilasini ifodalovchi funksiya quyidagi ko'rinishga ega:

$$F(d, \alpha, x, y) = x \cdot \cos \alpha + y \cdot \sin \alpha - d.$$



6.16-rasm. To'g'ri chiziqni parametrli ko'rimishi.

Tasvirning har bir  $x, y$  nuqtasi orqali turli  $d$  va  $\alpha$  parametrlar bilan berilgan bir necha to'g'ri chiziqlar o'tkazish mumkin (6.17-rasm). Boshqacha aytganda tasvирning har bir  $(x, y)$  nuqtasiga  $(d, \alpha)$  fazosidagi sinusoydani tashkil qiluvchi nuqtalar to'plami mos keladi (6.18-rasm). O'z navbatida  $(d, \alpha)$  fazosidagi xar bir nuqta tasvirdagi to'g'ri chiziqni tashkil qiluvchi nuqtalar to'plamiga mos keladi.  $(d, \alpha)$  fazosining xar bir  $(d_0, \alpha_0)$  nuqtasiga  $x \cdot \cos \alpha_0 + y \cdot \sin \alpha_0 = d_0$ , to'g'ri chiziqda yotuvchi  $(x, y)$  nuqtalar soniga mos parametrlarni qiymatini qo'yish mumkin.

Boshlang'ich va kompyuterderagi ma'lumotlarni tasvirlashning diskretligini xisobga olgan xolda uzlusiz  $(d, \alpha)$  fazoni diskret fazoga

almashtirish kerak. Shuning uchun  $(d, \alpha)$  fazosini to'g'ri to'rtburchaklarga bo'lamiz. Fazoning har bir katakchasi  $d$  va  $\alpha$  ning yaqin qiymatlariga ega bo'lgan to'g'ri chiziqlar to'plamiga mos keladi. Endi fazoning xar bir katakchasiغا mos keluvchi quyidagi parametrlari kiritamiz:

$$[d_i, d_{i+1}] \times [\alpha_i, \alpha_{i+1}] .$$

Katakchaga mos nuktalar soni bo'lib, ular quyidagi tenglamani qanoatlantiradi:

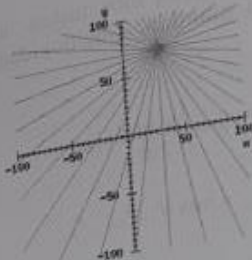
$$x \cdot \cos \alpha + y \cdot \sin \alpha = d, \text{ bu yerda } \alpha_i \leq \alpha \leq \alpha_{i+1}, d_i \leq d \leq d_{i+1}.$$

Katakchalar o'lchamini tashlashda quyidagilarni xisobga olish zarur.  
 1. Agar katakcha juda katta bo'lsa, u xolda «to'g'ri chiziq» sifatida bir-biridan yetarlichcha uzoqda yotgan nuqtalar to'plamini qabul qilish mumkin.

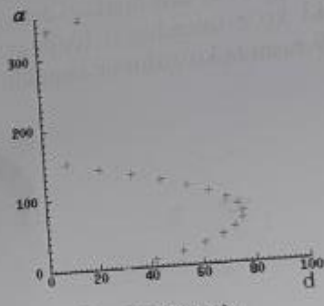
2. Agar katakchalar juda kichik bo'lsa, birorta xam to'g'ri chiziqni topish imkoniyati bo'lmasligi mumkin.

Xaf almashtirishlaridan foydalanim tasvirda to'g'ri chiziqni qidirish algoritmi umumiy xolda quyidagi ko'rinishga ega.

- 1) Hamma katakchalar parametrlerini nolga tenglaymiz.
- 2) Tekshirilayotgan har bir  $(x, y)$  nuqta uchun va berilgan nuqtadan o'tuvchi har bir to'g'ri chiziq uchunmos parametrlar qiymatini oshirish.
- 3) Parametrlarni maksimal qiymatiga mos katakchalarini tanlash.
- 4) Eng ko'p nuqtalardan o'tgan to'g'ri chiziqning parametrlarini  $(d, \alpha)$  fazosidagi katakchalarining markaz koordinatasiga teng qilib tanlash.



6.17-rasm. Bitta nuqtadan bir nechta to'g'ri chiziq o'sazish.



6.18-rasm. Simusynda.

Agar bir nechta to'g'ri chiziqlarni tanlash zarur bo'lsa, u xolda berilgan to'g'ri chiziqqa tegishli nuqtalar sonini ko'rsatuvchi parametrlarni qiymatini kamayish bo'yicha tartiblash yoki  $(d, \alpha)$  fazosidagi lokal minimumlarni ko'rib chiqish zarur.

Faraz qilaylik, bizga yuz tasvirida aylana shakliga yaqin bo'lган ко'з qorachig'ini aniqlash masalasi qo'yilgan. U holda Xaf almashtirishlari yordamida odamning ко'з qorachig'i joylashgan koordinatani aniqlashning bir algoritmi quyidagicha bo'lishi mumkin.

Dastlab, tasvirda yuz sohasi aniqlanadi va bu soha binar tasvirga o'tkaziladi. Bizga ma'lumki, ко'з qorachig'ining chegaraviy kontur chizig'i geometrik shakklardan aylanaga ko'proq mos tushadi. Demak, biz aylana shaklini Xaf almashtirish yordamida izlashimiz mumkin. Agar tanlangan ob'ekta biror  $P(x,y)$  ichki nuqta uchun  $R$  radiusda aylana chizilsa va bu aylana chegarasi ob'ektning chegaraviy

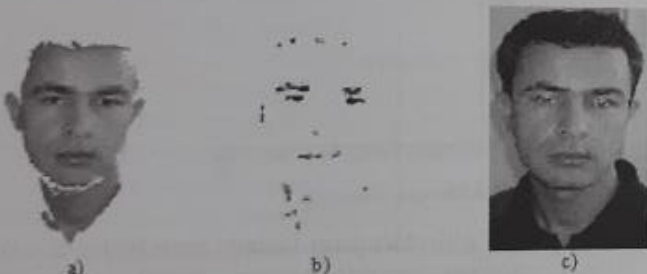
nuqtalariga foiz hisobida ko'proq mos tushsa, u holda shu nuqtani aylana markazi deb olish mumkin. Uni quyidagi formula bo'yicha ifodalash mumkin.

$$P_{x,y} = \frac{L_{\text{border}}}{2\pi R} \cdot 100,$$

$$P_{\text{max}} = \max \{P_1, P_2, \dots, P_n\}.$$

bu yerda  $R$ - qidirilayotgan aylana radiusi,  $L_{\text{border}}$  – aylanaga mos tushuvchi mavjud chegara nuqtalari soni (uzunligi).

Bunda natijaning yetarlicha katta bo'lsa (masalan,  $P > 80$ ), u holda qaralayotgan nuqtani  $R$  radiusli aylana markazi deb olsa bo'ladi. Ya'ni, shu joyda aylana (yoki ko'z qorachig'i) topilgan deb hisoblanadi. Algoritm natjasini 6.19-rasmda ko'rishimiz mumkin.



6.19-rasm. Ajratib olingan yuz tasviri (a), uni binarlashtirish natjasi (b) hamda Xaf almashtirishi yordamida aniqlangan ko'zlar koordinatalari (c).

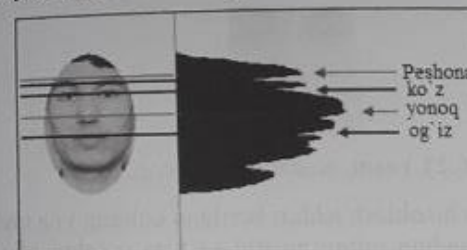
#### Integral proeksiyalash yordamida belgilarni aniqlash.

Tasvirning integral proeksiyasi deganda tasvirda vertikal va gorizontall o'qlar bo'yicha piksellar rang qiymatlari summasi yoki o'rtachasi tushuniladi. Uni quyidagi formula bo'yicha ifodalash mumkin:

$$GP(y) = \sum I(y), \quad VP(x) = \sum I(x).$$

Masalan, gorizontal o'q bo'yicha olsak, dastlab 1-qatordagi piksellar, keyin 2-qatordagilar va h.k., oxirida  $h$ -qatordagi piksellarning qiymatlari yig'iladi. Xuddi shu jarayon vertikal o'qlar bo'yicha, ya'ni tasvirning 1-dan  $w$ -gacha bo'lgan ustunlari uchun ham bajariladi. Natijada gorizontal bo'yicha  $h$  ta va vertikal bo'yicha  $w$  ta qiymat elementlaridan iborat massiv paydo bo'ladi. Massiv qiymatlarini chiziqlarda ifodalangan tasvirini 6.20-rasmda ko'rishimiz mumkin. Bunda faqat gorizontal integral proeksiya qurilgan. Massiv qiymatlarini tasvirdagi ob'ekt xususiyatlarini aniqlashda juda qo'l keladi. Rasmdan ko'rinish turibdiki, tasvirdagi ob'ektning (bizning misolda yuz tasviri) ma'lum bir belgilari (rasmda ko'z, qosh, burun va og'iz joylashgan qatorlar) ekstremal qiymatlarga, ya'ni maksimum yoki minimumlarga erishgan. Bu qiymatlar yordamida biz tasvirdan izlayotgan ob'ektlarni topishimiz mumkin bo'ladi.

Integral proeksiyalardan boshqa turdag'i tasvirlarni tahlil qilishda ham foydalanish mumkin. Bu usuldan ko'plab ilmiy-amaliy masalalarni yechishda muvoffaqiyatli foydalanib kelinmoqda.



6.20-rasm. Yuz tasvirining gorizontal integral proeksiyaları.

Tasvirda belgilarni izlab topishning yana boshqa usullari ham mavjud. Xususan, korrelyatsion tahlil asosida ham tasvirda bizni qiziqtingan ob'ektni izlab topish mumkin. Bu usul anchayin ishonchli hisoblanadi va shuning uchun ham uning amaliyotda samarali foydalanib kelinayotganligini kuzatishimiz mumkin. Korrelyatsiya koefitsientlarini hisoblash orqali nafaqat tasvirda ob'ektni izlab topish, balki ob'ektlarni (tasvirlarni) o'zarlo o'xshashligini taqqoslashda ham foydalanish mumkin. Korrelyatsiya koefitsientlarini hisoblash formulalari bilan keyingi bo'limlarda batafsil to'xtalamiz.

Tasvirda belgilarni izlab topishda ma'lum bir usullar bilan chegaralanib qolmaysdi. Ba'zan shunday masalalar uchraydiki, ularni hal etishda standart usullar ish bermay qolishi mumkin. Bunday paytlarda mavjud usullardan hamda o'z ijod mahsulimiz - yangi usul va algoritmlar kombinatsiyalaridan samarali foydalanish talab etiladi.

### "Lokal binar obrazlar" operatori asosida tasvir belgilarini aniqlash

Olimlar dastlab "Lokal binar obrazlar" (LBO) operatoridan teksturalarni tahlil qilishda foydalanishgan. Keyinroq esa, uni yuz tasviri uchun qo'llab ko'rishgan. Hozirgi kunga qadar LBOning bir nechta variantlari ishlab chiqilgan. Bu yo'nalishda chop etilgan ilmiy maqolalarni tahlil qilib aytish mumkinki, LBO operatori tasvirlarning, xususan yuz tasvirlarining belgilari fazosini ishonchli aniqlay oladi.

Faraz qilaylik, bizda ajratib olingan  $w \times h$  o'lchamli kulrang yuz tasviri (rang qiymatlari 0 dan 255 oralig'iда) mavjud (6.21-rasm).



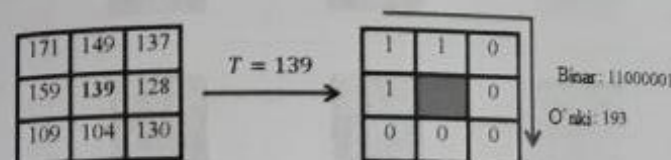
**6.21-rasm.** Kulrang yuz tasviri.

LBO operatorida hisoblash ishlari berilgan kulrang yuz tasvirining har bir koordinatasi uchun uning atrofdagi 8 ta qo'shni piksel rang qiymatlarini hisobga olgan holda amalga oshiriladi.

G'oya shunday:  $3 \times 3$  o'lchamli oynada markaziy qiymatni bo'sag'a qiymati ( $T$ ) sifatida olinadi. Keyin, 8 ta atrofdagi qo'shni rang qiymatlari  $T$  bilan taqqoslanadi. Agar qaralayotgan qo'shni rang qiymati  $T$  dan katta bo'lsa, unga "1" qiymati, aks holda esa, "0" qiymati beriladi. Xuddi shu tarzda barcha 8 ta qo'shnilar ham taqqoslanadi. Natijada "0" va "1" lardan iborat 8 ta ikkilik raqamlar paydo bo'ladi. Shundan so'ng, birlashtirilgan 8 ta raqamdan iborat ikkilik sonni o'nlikka o'tkaziladi (6.22-rasm). Kulrang tasvir matritsa qiymatlarini LBO operatori yordamida almashtirish quyidagi formula yordamida amalga oshiriladi.

$$LBP(x_c, y_c) = \sum_{n=0}^7 S(i_n - i_c) \cdot 2^n; \quad S(x) = \begin{cases} 1, & x \geq 0 \\ 0, & x < 0 \end{cases}$$

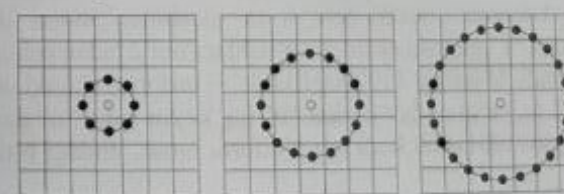
Bu yerda  $x_c, y_c$  – ishchi oyna ( $3 \times 3$ ) markazi koordinatasi;  $i_c$  – oyna markazidagi piksel rang rang qiymati;  $i_n$  – oyna atrofidagi 8 ta qo'shni piksellar rang qiymati.



**6.22-rasm.** LBO operatorining umumiy sxemasi.

Ta'kidlash kerakki, biz yuqorida ko'rgan LBO operatori  $3 \times 3$  o'lchamli oyna uchun, ya'ni 1 radiusli va 8 ta qo'shni oyna uchun mo'ljallangan. Radius va qo'shnilar qiymati o'zgargan holatlar uchun ham LBO ni hisoblash mumkin. 6.23-rasmida 1, 2 va 3 radiusli ishchi oynalarini ko'rishimiz mumkin. Bunda ko'rish mumkinki, radiuslar ortishi bilan qo'shni nuqtalar soni ham ortib boradi.

LBO operatori yordamida yuz tasvirini kodlashtirish natijalaridan namunalarni 6.1-jadvalda ko'rishimiz mumkin.



**6.23-rasm.** 1, 2 va 3 radiusli ishchi oynalar.

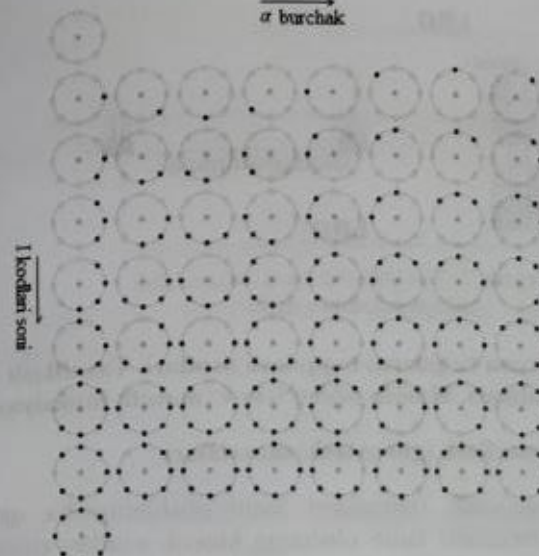
6.1-jadval. 1 va 2 radiusli LBO natijalari.

Kulrang yuz tasviri	1 radiusli LBO	2 radiusli LBO

Shuningdek, tadqiqotchilar ishchi oynadagi binar qiymatli obrazlarni turlarga ajratishgan. Tasvirdagi muhim belgilarni ajratish uchun “Tekis yo‘nalgan” (Uniform) obrazlardan foydalilanadi. “Uniform” obraz deb, 8 ta raqamdan iborat ikkilik kodlarda “0” dan “1” ga yoki aksincha o‘tishlar soni 2 tadan oshmagan holatlarga aytildi. Masalan, 11000001 kodi - Uniform, chunki undagi o‘tishlar soni 2 ta, ya’ni unda “1” dan “0” ga, keyin yana “0” dan “1” ga o‘tish mavjud. 10011000 kodi esa Uniform emas, undagi o‘tishlar soni 3 ga teng.

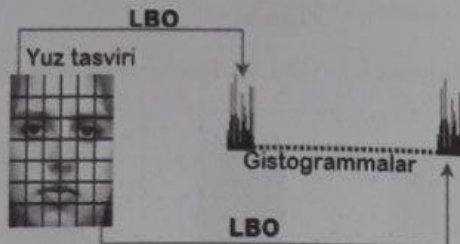
6.24-rasmda “Tekis yo‘nalgan” 58 ta obrazlar keltirilgan. Unda ikkilik kodning “1” raqami miqdori hamda ularning qanday burchak ostida joylashganligini ko‘rishimiz mumkin.

$\sigma$  burchak



6.24-rasm. “Tekis yo‘nalgan” (Uniform) 58 ta obrazlar.

LBO belgilari fazosini shakllantirish LBOga almashtirilgan tasvir matritsasi uchun gistogrammalar qurish orqali amalga oshiriladi. Ko‘pincha LBO tasvir matritsasi bir nechta bo‘laklarga ajratiladi va har bir bo‘lak uchun gistogrammalar quriladi. Masalan, yuz tasvirini  $7 \times 7$  o‘lchamda bo‘laklab olish va 49 ta tasvir bo‘lagi uchun alohida LBOlarni hisoblash hamda ular asosida belgilari vektorini qurish mumkin (6.25-rasm).



6.25-rasm.  $7 \times 7$  bo'lakli yuz tasviri uchun LBO gistogrammalarni qurish.

### 6.5. Identifikatsion belgilarni taqqolash usullari. Tasniflash (guruxlash) masalalari. Masofa tipli o'lchov (masofa funksiyasi)

#### Tasniflash (guruxlash) masalalari.

Belgilarni taqqoslash (obrazlarni tanib olish)ning bir qator usullari mavjud. Obrazlarni tanib olishning klassik usullari sifatida klaster tahlil (klaster-analiz)ni olishimiz mumkin. Klaster tahlil usullari yordamida ko'plab ob'ektlarni bo'laklarga ajratish (tasniflash, klasterlash, guruhlash) masalasi hal etiladi. U shunday amalga oshiriladiki, unda bir klasterga tegishli ob'ektlar boshqa klasterdagi ob'ektlarga nisbatan bir-biriga o'xshashroq bo'lishi ta'minlanadi.

Klaster tahlil uchun farqlash (taqqoslash) o'lchovlari quyidagi ko'rinishlarda bo'lishi mumkin:

- masofa tipli o'lchov (masofa funksiyasi). Bunda ob'ektlar orasida masofa qanchalik kichik bo'lsa, ular shunchalik o'xshash deb hisoblanadi. Shuning uchun bir qator mualliflar bu tipdagи o'xshashlik o'lchovini farqlash o'lchovi deb ham atashadi.
- ob'ektlarni o'xshashligini aniqlaydigan o'zaro bog'liqlik deb ataluvchi korrelyatsiya tipidagi o'lchov (o'xshashlik o'lchovi). Bu holatda ob'ektlar orasidagi bog'liqlik qanchalik katta bo'lsa, ular shunchalik o'xshash deb hisoblanadi.

#### Masofa tipli o'lchov funksiyalari

Minkovskiy metrikasi (o'lchovi). Eng umumiy o'lchov Minkovskiy metrikasi hisoblanadi va u quyidagi ko'rinishga ega:

$$d_g = \sqrt{\sum_{k=1}^n |x_k - x_{jk}|^r} .$$

$r=1$  bo'lgan holatda Minkovskiy metrikasi Manxetten masofasini (city block, Manhattan distance) beradi, ya'ni:

$$d_g = \sum_{k=1}^n |x_k - x_{jk}| .$$

Agar Minkovskiy metrikasida  $r=2$  qo'yilsa, standart Yevklid masofasiga ega bo'lamiz:

$$d_g = \sqrt{\sum_{k=1}^n (x_k - x_{jk})^2} .$$

Agar  $r \rightarrow \infty$  bo'lsa, Minkovskiy metrikasi ustunlik metrikasini (yoki Chebyshev masofasini) beradi:

$$d_g = \max_k |x_k - x_{jk}| , \quad k = 1, 2, \dots, n ,$$

bu esa, supremum-norma ( $\infty$ -norma) bilan mos keladi, ya'ni:

$$d_g = \sup \{ |x_k - x_{jk}| \} , \quad k = 1, 2, \dots, n .$$

Kanberra masofasi esa, quyidagicha hisoblanadi:

$$d_g = \sum_{k=1}^n \frac{|x_{jk} - x_k|}{|x_{jk} + x_k|} .$$

Pirson masofasi quyidagicha hisoblanadi:

$$d_{Pearson}(x, y) = \frac{\sum xy - \frac{\sum x \sum y}{N}}{\sqrt{\left( \sum x^2 - \frac{(\sum x)^2}{N} \right) \left( \sum y^2 - \frac{(\sum y)^2}{N} \right)}} .$$

**6.6. Identifikatsion belgilarni taqqolash usullari. Korrelyatsiya tipidagi o'chov (o'xhashlik o'chovi). Gistogrammaviy belgilarni taqqoslash usullari**

**Korrelyatsiya koefitsientlari yordamida to'plam yoki matritsalarni o'xhashligini taqqoslash**

Ikkita haqiqiy sonlar to'plamining korrelyatsiya koefitsienti (KK)ni hisoblashda qo'llaniladigan formulalarini keltiramiz.

Aytaylik,  $X = \{x_i\}_{i=1}^N$  va  $Y = \{y_i\}_{i=1}^N$  ( $i = \overline{1, N}$ ) haqiqiy sonlar to'plamlari berilgan bo'lsin. Bu to'plamlar uchun matematik kutilmani aniqlaymiz:

$$MX = \frac{1}{N} \sum_{i=1}^N x_i, \quad MY = \frac{1}{N} \sum_{i=1}^N y_i.$$

Shundan so'ng matematik kutilmasi nolga teng bo'lgan yangi  $\bar{X}$ ,  $\bar{Y}$  to'plamlarni hosil qilamiz:

$$\bar{X}_i = (x_i - MX), \quad \bar{Y}_i = (y_i - MY).$$

$\bar{X}$ ,  $\bar{Y}$  to'plamlar uchun korrelyatsion funksiyaning diskret formulasi yoki KK quyidagicha ko'rinishiga ega bo'ladi:

$$Cor_{uc} = \frac{\sum_{i=1}^N \bar{X}_i \cdot \bar{Y}_i}{\sqrt{\sum_{i=1}^N \bar{X}_i^2} \cdot \sqrt{\sum_{i=1}^N \bar{Y}_i^2}}.$$

Agar massiv elementlari  $\{A_y\}_{y=1}^M$  va  $\{B_y\}_{y=1}^N$  ko'rinishidagi matritsani tashkil etsa, u holda KK quyidagicha hisoblanadi:

$$Cor_{mc} = \frac{\sum_{i=1}^M \sum_{j=1}^N \bar{A}_y \cdot \bar{B}_y}{\sqrt{\left( \sum_{i=1}^M \sum_{j=1}^N \bar{A}_y^2 \right)} \cdot \sqrt{\left( \sum_{i=1}^M \sum_{j=1}^N \bar{B}_y^2 \right)}},$$

bu yerda

$$\bar{A}_y = \left\{ \left( A_y - MA \right) \right\}_{j=1}^{j=\overline{1, M}}, \quad \bar{B}_y = \left\{ \left( B_y - MB \right) \right\}_{j=1}^{j=\overline{1, N}},$$

$$MA = \frac{1}{M \cdot N} \sum_{i=1}^M \sum_{j=1}^N x_{ij}, \quad MB = \frac{1}{M \cdot N} \sum_{i=1}^M \sum_{j=1}^N y_{ij}.$$

Korrelyatsiya natijasi  $-1$  va  $+1$  oralig'ida bo'ladi. Natijaning yetarlicha katta bo'lishi, ya'ni  $+1$  ga yaqin kelishi taqqoslanayotgan vektor yoki matritsalarni o'xhashligidan dalolat beradi.

**Gistogrammaviy belgilarni taqqoslash usullari**

Gistogrammalarni taqqoslash uchun bir qator usullardan foydalish mumkin. Masalan, Korrelyatsiya (Correlation), Kesishma (Intersection), Bxattachariya masofasi (Bhattacharyya distance), Xikvadrat (Chi-Square) va h.k. Ular bilan quyida tanishamiz. Gistogrammalarni taqqoslashning **Korrelyatsiya** usuli:

$$d_{corr}(H_1, H_2) = \frac{\sum_i H'_1(i) \cdot H'_2(i)}{\sqrt{\sum_i H'^2_1(i) \cdot H'^2_2(i)}},$$

bu yerda  $H'_k(i) = H_k(i) - (1/N) \left( \sum_j H_k(j) \right)$ ,  $N$  – gistogrammada shkala (ustun)lar soni.

Korrelyatsiya natijasi  $-1$  va  $+1$  oralig'ida bo'ladi. Natijaning yetarlicha katta bo'lishi ( $d_{corr} > T$ ), ya'ni  $+1$  ga yaqin kelishi taqqoslanayotgan gistogrammalarni o'xhashligidan dalolat beradi.

Gistogrammalarni taqqoslashning **Kesishma** usuli:

$$d_{intersec}(H_1, H_2) = \sum_i \min(H_1(i), H_2(i)).$$

Bu usulda hisoblash ishlari tezkor. Agar har ikkala gistogramma 1 ga normallashtirilsa, to'liq mos tushish (o'xshash) 1 ga, mos tushmaslik esa 0 ga teng bo'ladi.

**Bxattachariya masofasi** bo'yicha gistogrammalarni taqqoslash quyidagicha bo'ladi:

$$d_{max}(H_1, H_2) = \sqrt{1 - \sum_i \frac{\sqrt{H_1(i) \cdot H_2(i)}}{\sqrt{\sum_i H_1(i)} \cdot \sqrt{\sum_i H_2(i)}}}$$

Agar gistogrammalar aynan o'xshash bo'lsa, Bxattachariya masofasi 0 ga teng bo'ladi.

Gistogrammalarni taqqoslashning *Xi-kvadrat* usuli esa, quyidagicha:

$$d_{chi^2}(H_1, H_2) = \sum_i \frac{(H_1(i) - H_2(i))^2}{H_1(i) + H_2(i)}$$

Bu usulda ham agar gistogrammalar aynan o'xshash bo'lsa, natija 0 ga teng bo'ladi.

#### 6 bob bo'yicha nazorat savollari

1. Fure qatorining qanday xossalari bilasiz?
2. Fure almashtirishlar deganda nimani tushunasiz?
3. Fure diskret almashtirishi (FDA) va teskari FDA nima maqsadda ishlatalidi?
4. Diskret kosinus almashtirishi (DKA) qanday afzalliliklarga ega?
5. Uolsh almashtirishi va DKAlar farqli jihatlarini sanab bering.
6. Adamar almashtirishning o'ziga xosligi nimadan iborat?
7. Veyvet almashtirishi imkoniyatlarini aytib bering.
8. Radon almashtirishi tafsiflab bering.
9. Videoda harakatdagi ob'ektni nima maqsadda ajratib olinadi.
10. Harakat detoktorining ishlash prinsipini tushuntiring.
11. Harakatni aniqlqshning usullarini keltiring.
12. Video tasvirlardagi identifikatsion belgilarning qanday xossalari bilasiz?
13. Tasvir belgilarini aniqlash va ularni taqqoslashda momentlar qanday hisoblanadi?
14. Xaf almashtirishi yordamida identifikatsion belgilarni qanday hisoblaydi?

#### Qisqartmalar va atamalar

BVPBM	- bir vaqtida paydo bo'lish matritsasi.
CCD	- (ingl. CCD - charge-coupled device) zaryad bog'lamali qurilma (kamera).
CIE	- Yoritilganlik bo'yicha halqaro komissiya (fran. Commission Internationale de l'Eclairage).
CMY	- ranglar fazosi: ko'kimtir (Cyan), qirmizi (Magenta) va sariq (Yellow).
DKA	- Diskret kosinus almashtirishi.
EHM	- elektron hisoblash mashinasi.
FDA	- Fure diskret almashtirishi
FTP	- (ingl. File Transfer Protocol) fayllarni uzatish protokoli.
HSI	- ranglar fazosi: rang toni (Hue), to'yinganlik (Saturation), yorqinlik (Intensity).
IP	- (Internet Protocol) internet protokol.
KK	- korrelyatsiya koefitsienti
LBO	- lokal binar obrazlar.
LBP	- (ingl. LBP – Local Binary Pattern) lokal binar obrazlar.
NO	- nuqtaviy ob'ekt.
OpenCV	- (Open Source Computer Vision Library) ochiq kodli kompyuterli ko'rish kutubxonasi.
O'UM	- o'quv uslubiy majmua.
RGB	- uchta rang (R-qizil, G-yashil, B-ko'k) aralashmasi.
SMTP	- (ingl. Simple Mail Transfer Protocol) pochtani uzatishning oddiy protokoli.
UAS	- Uolsh - Adamar spektro
UDA	- Uolsh diskret almashtirishi.
Web	- (ingl. web-to'r) internet maydoni.

## Testlar

### 1. Tasvirning qanday formatlari (turlari) mavjud?

- A. \*.bmp, \*.jpg, \*.gif, \*.ico
- B. \*.jpg, \*.avi, \*.dat, \*.gif
- C. \*.gif, \*.txt, \*.doc, \*.bmp
- D. Barcha javob to'g'ri.

### 2. Qaralayotgan $G(i, j)$ nuqta (piksel) uchun chap qo'shni nuqta (piksel) koordinatasi qanday bo'ladi?

- A.  $G(i+1, j)$
- \*B.  $G(i-1, j)$
- C.  $G(i, j-1)$
- D.  $G(i, j+1)$

### 3. Qaralayotgan $G(i, j)$ nuqta (piksel) uchun quyi qo'shni nuqta (piksel) koordinatasi qanday bo'ladi?

- A.  $G(i+1, j+1)$
- B.  $G(i+1, j)$
- C.  $G(i, j-1)$
- \*D.  $G(i, j+1)$

### 4. Bo'sag'a tanlashning k-o'rtacha algoritmi nimaga asoslangan?

- A. Tasvir matritsasining bevosita rang qiymatlariga asoslangan.
- B. Korrelyatsiya qiymatlariga asoslangan.
- C. Xaf almashtirishlariga asoslangan.
- \*D. Tasvir gistorammasiga asoslangan.

### 5. Bo'sag'a (porog) tushunchasini izohlang.

- A. Tasvir gistogrammasi.
- B. Rang qiymatlarining o'rtacha qiymati.
- \*C. Rang qiymatlari uchun chegaraviy qiymat.
- D. Piksel rang qiymati.

### 6. Tasvirni biror burchak ostiga burish formulasini ko'rsating.

- A.  $X_s = Y \cdot S_x, Y_s = X \cdot S_y$
- B.  $X_s = X \cdot S_x, Y_s = Y \cdot S_y$

$$\begin{aligned} C. \quad & x = x \cdot \sin \alpha - y \cdot \cos \alpha, \\ & y = x \cdot \cos \alpha + y \cdot \sin \alpha, \\ *D. \quad & x = x \cdot \cos \alpha - y \cdot \sin \alpha, \\ & y = x \cdot \sin \alpha + y \cdot \cos \alpha. \end{aligned}$$

### 7. Tasvir sifatini tiniqlashtirish formulasini ko'rsating.

- A.  $G(i, j) = \sqrt{X^2 + Y^2}$
- B.  $G(x, y) = 255 \cdot \frac{G(x, y) - G_{min}}{G_{max} - G_{min}}$
- \*C.  $G'(x, y) = 255 \cdot \frac{G(x, y) - G_{min}}{G_{max} - G_{min}}$
- D.  $G(i, j) = |F(i, j) - F(i+1, j+1)| + |F(i, j+1) - F(i+1, j)|$

### 8. Kontur ajratishning Sobel usulini ko'rsating.

- A.  $G(i, j) = F(i, j) - F(i+1, j)$
- B.  $G(i, j) = |F(i, j) - F(i+1, j+1)| + |F(i, j+1) - F(i+1, j)|$
- \*C.  $G(i, j) = \sqrt{X^2 + Y^2}, \text{ bu yerda } X = (A_2 + 2A_1 + A_4) - (A_6 + 2A_5 + A_7),$   
 $Y = (A_0 + 2A_1 + A_2) - (A_4 + 2A_3 + A_5).$
- D.  $T = (G_{max} + G_{min}) / 2$

### 9. Kontur ajratishning Roberts usulini ko'rsating.

- A.  $G(i, j) = \sqrt{X^2 + Y^2}$
- \*B.  $G(i, j) = ((F(i, j) - F(i+1, j+1))^2 + (F(i, j+1) - F(i+1, j))^2)^{1/2}$
- C.  $G(i, j) = F(i, j) - F(i+1, j)$
- D.  $G(i, j) = F(i, j) - F(i, j+1)$

### 10. Tasvirni mashtablash formulasini ko'rsating.

- A.  $x = x \cdot \cos \alpha - y \cdot \sin \alpha, y = x \cdot \sin \alpha + y \cdot \cos \alpha$
- \*B.  $X_s = X \cdot S_x, Y_s = Y \cdot S_y$
- C.  $G(i, j) = \sqrt{X^2 + Y^2}$
- D.  $G(i, j) = F(i, j) - F(i, j+1)$

### 11. Standart rang sistemalari qaysi javobda to'g'ri ko'rsatilgan?

- \*A. RGB, CMYK, ISH, YUV, XYZ, Lab
- B. \*.bmp, \*.jpg, \*.gif, \*.ico
- C. RGB, CMYK, ISH, YUV, XYZ, Lab

D. Hamma javob to'g'ri.

- 12. Hayotiy (haqiqiy) rang bo'yoqlarga qaysi rang sistemasi mos keladi?**
- A. RGB rang sistemasi.
  - B. CMYK rang sistemasi.
  - \*C. Lab rang sistemasi.
  - D. BMP rang sistemasi.

**13. Tasvir belgilari deganda nimani tushunasiz?**

- A. Tasirning kengaytmalarini (turlarini).
- B. Tasvir ranglarini.
- C. Tasvirning eni, bo'yisi, va baytlardagi xajmini.
- \*D. Tasvirni yoki undagi ob'ektni xarakterlovchi o'ziga xos xususiyatlarni.

**14. Binar (oq-qora) tasvirda necha xil rang qatnashadi?**

- A. 16777216 xil
- B. 256 xil.
- C. 255 xil
- \*D. 2 xil.

**15. Kulrang tasvirda necha xil rang qatnashadi?**

- A. 16777216 xil
- \*B. 256 xil.
- C. 255 xil
- D. 2 xil.

**16. Rangli tasvirda necha xil rang qatnashadi?**

- \*A. 16777216 xil
- B. 256 xil.
- C. 255 xil
- D. 2 xil.

**17. Tasvirlarni bo'laklash deganda nimani tushunasiz?**

- A. Tasvirning chegara (kontur) larini ajratish tushuniladi.
- B. Tasvirni katta-kichik qilish va burchak ostiga burish tushuniladi.

\*C. Tasvirlarni bo'laklash deb, ularni talqin etish mumkin bo'lgan bo'laklarga ajratish tushuniladi. Shu sababli uning amaliy jihatdan muhim xususiy holi – bu yorug'lik, geometrik va boshqa xususiyatlari tomonidan ham, mohiyati jihatidan ham turlicha bo'lgan ob'ektlarni ajratib olish masalasıdir.  
D. Hamma javob to'g'ri.

**18. Tasvir gistogrammasi deganda nimani tushunasiz?**

- \*A. Tasvirda har bir rangning miqdoriy (yoki tarqalish) grafigi tushuniladi.
- B. Tasvirda har bir rangning o'rtacha qiymatlari grafigi tushuniladi.
- C. Ranglarning gorizontal va vertikal yig'indisi tushuniladi.
- D. To'g'ri javob yo'q.

**19. Asl tasvir va yo'qotish bilan siqilgan tasvir o'rtasidagi farqning o'lcovni sifatida nimadan foydalanish mumkin?**

- \*A. Tasvir piksellarining tegishli atributlari me'yor qiymatlarining maksimal mumkin bo'lgan nisbati
- B. Kuzatuvchining fikri, o'rtacha kvadrat xatosi (L2-o'lcov, MSE - Mean Squared Error), signal-to-shovqin nisbati (PSNR - Peak Signal-to-Noise Ratio)
- C. Tasvir pikselining atributlari
- D. Signal-shovqin nisbati

**20. Diskret kosinus almashtirish qanday xossalarga ega?**

- \*A. O'zarobog'liq bo'limgan koefitsientlar, transformatsiya asosiy ma'lumotlarni oz sonli koefitsientlarda saqlaydi
- B. O'zarobog'liq koefitsientlar
- C. Transformatsiya asosiy ma'lumotlarni oz sonli koefitsientlarda saqlaydi
- D. Ma'lumotlarning aksariyati har qanday tasvir uchun past chastotali spektrda mavjud.

**21. Diskret kosinus transformatsiyasi qanday xossalarga ega?**

- \*A. Bir koefitsientni ifodalashning to'g'riliqi boshqa hech qanday, energiya siqilishiga bog'liq emas
- B. O'zarobog'liq koefitsientlar
- C. Energiya "siqilishi"

D. Ma'lumotlarning katta qismi silliq o'tishlari bo'lgan tasvirlarda yuqori chastotali spektrda mavjud

**22. JPEG tasvirni saqlash formatida siqish algoritmi qanday?**  
\*A. Diskret kosinus almashtirishdan foydalanish bo'yicha  
B. To'lqinli o'zgarishlardan foydalanish bo'yicha  
C. Ortonormal asosda kengayishdan foydalanish bo'yicha  
D. Diskret Furye konvertatsiyasidan foydalanish bo'yicha

**23. JPEG tasvirni saqlash formatida YCbCr rang maydoni nima uchun ishlataladi?**

- \*A. Tasvirning yorqinligini yanada aniqroq saqlash imkoniyati uchun
- B. Tasvirning kontrastini yanada aniqroq saqlash imkoniyati uchun
- C. Tasvir rangini yanada aniqroq saqlash imkoniyati uchun
- D. Tasvirning tafsilotlarini aniqroq saqlash imkoniyati uchun

**24. JPEG tasvirni saqlash formatida diskret kosinus transformatsiyasi qaysi bloklarga qo'llaniladi?**

- \*A. 8 x 8 piksel
- B. 2 x 2 piksel
- C. 4 x 4 piksel
- D. 16 x 16 piksel

**25. Diskret kosinus almashtirish qanday xossalarga ega?**

- \*A. O'zarobog'liq bo'lmagan koefitsientlar, transformatsiya asosiy ma'lumotlarni oz sonli koefitsientlarda saqlaydi
- B. O'zarobog'liq koefitsientlar
- C. Transformatsiya asosiy ma'lumotlarni oz sonli koefitsientlarda saqlaydi
- D. Ma'lumotlarning aksariyati har qanday tasvir uchun past chastotali spektrda mavjud

**26. Diskret kosinus transformatsiyasi qanday xossalarga ega?**

- \*A. Bir koefitsientni ifodalashning to'g'riligi boshqa hech qanday energiya siqilishiga bog'liq emas
- B. O'zarobog'liq koefitsientlar
- C. Energiya "siqilishi"
- D. Ma'lumotlarning katta qismi silliq o'tishlari bo'lgan tasvirlarda

yuqori chastotali spektrda mavjud

**27. JPEG tasvirni saqlash formatida rasmning vertikal o'lchami 8 ga bo'linmasa nima bo'ladi?**

- \*A. Pastdan oxirisiga mos keladigan qatorlarni qo'shish
- B. Eng o'ng ustunga mos keladigan ustunlarni qo'shing
- C. Ko'p sonli piksellli boshqa oyna tanlangan
- D. Etishmayotgan satrlar nollar bilan to'ldiriladi

**28. JPEG tasvirni saqlash formatida tasvirning horizontal o'lchami 8 ga bo'linmasa nima bo'ladi?**

- \*A. Eng o'ng ustunga mos keladigan ustunlarni qo'shing.
- B. Pastdan oxirisiga mos keladigan qatorlarni qo'shish.
- C. Ko'p sonli piksellli boshqa oyna tanlangan.
- D. Etishmayotgan satrlar nollar bilan to'ldiriladi.

**29. JPEG formatidagi tasvirni siqish algoritmida tasvirga qanday amallar bajariladi?**

- \*A. YCbCr rang modeliga o'tkazish.
- B. RGB rang modeliga o'tkazish.
- C. Piksellarni 8x8 blok bo'yicha tartiblash
- D. Zigzag tartiblash

**30. Veylet almashtirishning hisoblash murakkabligi nimadan iborat?**  
(bu erda N – almashtirish qo'llaniladigan ketma-ketlikning uzunligi)

- \*A. O (N)
- B. O (NxN)
- C. O (N<sup>2</sup>)
- D. O (2N<sup>2</sup>)

**31. NxN piksellar matritsasi uchun diskret kosinus almashtirishning hisoblash murakkabligi qanday?**

- \*A. O (NxN)
- B. O (N)
- C. O (N<sup>2</sup>)
- D. O (2N<sup>2</sup>)

## Adabiyotlar

32. NxN piksellar matritsasi uchun Furye diskret almashtirishning hisoblash murakkabligi qanday?

- \*A. O (NxN)
- B. O (N)
- C. O (N<sup>2</sup>)
- D. O (2N<sup>2</sup>)

33. Qaysi almashtirish eng yaxshi chastota-fazoviy lokalizatsiyaga ega?

- \*A. Veyvlet almashtirish
- B. Teskari veyvlet almashtirish
- C. Furye almashtirish
- D. Kosinus almashtirish

34. Qanday almashtirishlarga asoslangan tasvirni siqish algoritmlari bir xil siqish nisbati bilan tasvir sifatini saqlashda eng yaxshi natijalarni ko'rsatadi?

- \*A. Veyvlet almashtirishga
- B. Teskari veyvlet almashtirishga
- C. Furye almashtirishga
- D. Kosinus almashtirishga

35. JPEG tasvirlar qanday tartibda kodlanadi?

- \*A. rang maydoniga aylantirish; subdiskretizatsiya; diskret kosinus almashtirish; kodlash
- B. subdiskretizatsiya; diskret kosinus almashtirish; kvantlash; kodlash
- C. rang maydoniga aylantirish; subdiskretizatsiya; diskret kosinus almashtirish; kvantlash; kodlash
- D. rang maydoniga aylantirish; diskret Furye konvertatsiyasi; almashtirish, namunani pasasubdiskretizatsiya ; kvantlash; kodlash

1. Gavrilov I.A. va boshqalar. Raqamli televideniye. — Т.: Top Image Media, 2016. — 376 б.
2. Агостон Ж. Теория цвета и ее применение в искусстве и дизайне. — М.: Мир, 1982. — 181 с.
3. Айриг С., Айриг Э. Подготовка цифровых изображений для печати / Перев. с англ. — Минск: Попурри, 1997. — 176 с.
4. Володин А. Б. Адаптивная контекстная компрессия изображений // Вестник молодых ученых. — 2002. — № 9. — С. 88 — 96.
5. Глазер В. Д. Зрение и мышление. — Л.: Наука, 1985. — 246 с.
6. Гонсалес Р., Вудс Р. Цифровая обработка изображений / Перев. с англ. — М.: Техносфера, 2012. — 1104 с.
7. Ивенс Р. М. Введение в теорию цвета / Перев. с англ. — М.: Мир, 1964. — 442 с.
8. Красильников Н. Н. Математическая модель темновой адаптации в зрительной системе человека // Оптический журнал. — Т. 64 (1997). — № 11. — С. 38—44.
9. Красильников Н. Н. Влияние шумов на контрастную чувствительность и разрешающую способность приемной телевизионной трубы // Техника телевидения. — 1958. — Вып. 25. — С. 26—43.
10. Красильников Н. Н. Теория передачи и восприятия изображений. — М.: Радио и связь, 1986. — 247 с.
11. Красильников Н. Н., Красильникова О. И., Шелепин Ю. Е. Эффект кажущегося размытия резких и обострения размытых границ при наблюдении движущихся объектов // Оптический журнал. — Т. 71 (2004). — № 11. — С. 61—68.
12. Красильников Н.Н. Цифровая обработка 2D- и 3D- изображений: учеб. пособие. — СПб.: БХВ-Петербург, 2011. — 608 с.
13. Кривошеев М. И., Кустарев А. К. Цветовые измерения. — М.: Энергоатомиздат, 1990. — 240с.
14. Марр Д. Зрение. Информационный подход к изучению представления и обработки зрительных образов / Перев. с англ.— М.: Радио и связь, 1987. — 400 с.

15. Оппенхейм А. В., Лим Дж. С. Важность фазы при обработке сигналов // ТИИЭР. — Т. 69 (1981). — № 5. — С. 39—54.
16. Порев В. Н. Компьютерная графика. — СПб.: БХВ-Петербург, 2004. — 432
17. Прэтт У. К., Фожра О. Д., Гагалович А. Зрительное различие стохастических текстурных полей // ТИИЭР. — Т. 26 (1978). — № 11.
18. Прэтт У. Цифровая обработка изображений / Перев. с англ. — М.: Мир, 1982. — Т. 1. — 310 с. // М.: Мир, 1982. — Т. 2. — 790 с.
19. Телевидение: учебник для вузов / Под ред. В. Е. Джаконии. 4-е изд. — М.: Горячая линия-Телеком, 2007. — 616 с.
20. Физиология сенсорных систем. Ч. первая. Физиология зрения / Под ред. Г. В. Гершуни. — Л.: Наука, 1971. — 416 с.
21. Фурман Я. А., Кревецкий А. В., Передреев А. К. и др. Введение в контурный анализ и его приложения к обработке изображений и сигналов. — М.: Физ-матлит, 2003.
22. Цифровое кодирование телевизионных изображений / Под ред. И. И. Цуккермана. — М.: Радио и связь, 1981. — 239 с.
23. Dowling J.E. The retina. — (An approachable part of the brain) — Cambridge, Massachusetts, London, The Belknap press of Harvard university press. 1987. — 281 р.
24. Hammett S. T., Georgson M. A., Gorea A. Motion blur and motion sharpening: temporal smear and local contrast non-linearity // Vision Res. — 1998. — V. 38. — P. 2099—2108.
25. Sutherland N. The representation of three-dimensional objects // Nature. — 1979. — № 278. — P. 395—398.

## MUNDARIJA

1.	Kirish .....	3
1 bob.	TASVIRLAR VA SHOVQINLAR .....	6
1.1.	Real olam ob'ektlari va ularning xususiyatlari .....	6
1.2.	Saxna va uni tashkil qilgan ob'ektlar tasvirlarining ikki o'lchovli rastr modellari .....	7
1.3.	Ikki o'lchovli tasvirlarni ifodalashning vektor modeli .....	10
1.4.	Tasvirning ko'rinishlari .....	12
1.5.	Tasvir modellari .....	18
1.6.	Tasvirlarning fazoviy spektrlari .....	19
	1-bob bo'yicha nazorat savollari .....	21
2-bob.	TASVIRLARDA RANGLARNI QAYTA TIKLASH VA RANGLARNI BOSHQARISH .....	23
2.1.	Grassman aksiomalari va ranglarning aralashish qonuniyati .....	23
	Rang tenglamalari bo'yicha tajribalar .....	23
	Ranglar tengligi aksiomalari .....	25
2.2.	Kolorimetrik tizim tuzilishining tamoyillari .....	27
2.3.	RGB kolorimetrik tizimi .....	30
2.4.	XYZ kolorimetrik tizimi .....	34
2.5.	XYZ kolorometrik tizimda ranglar hisob kitobi .....	39
	Ranglar koordinatasi bilan berilgan ikki rang aralashmasining rangini aniqlash .....	39
	Rang koeffitsientlari bilan berilgan uch rang aralashmasi rangini aniqlash .....	40
	Rangdorlik koordinatalari va yorqinlik kattaligi bilan berilgan uchta rang aralashmasining rangini aniqlash .....	41
	Ustun turuvchi to'lqin uzunligi va rangning sofligini aniqlash .....	41
2.6.	Rang temperaturasi .....	43
2.7.	Boshqa kolorimetrik tizimlar .....	44
	Mansella kolorimetrik tizimi .....	45
	Mak-Adam kolorimetrik tizimi .....	46
	L*a*b* kolorimetrik tizimi .....	47
	HLS va HSB kolorimetrik tizimlari .....	51
	CMY va CMYK kolorimetrik tizimlari .....	51

2.8.	Rang modellari (sistemalari)ni o'zaro bir-biriga matematik almashtirish usullari .....	53	5.5.	OpenCVda tasvirlarni qayta ishlash .....	143
2.9.	Rangli tasvirlarni ekranga va bosmaga chiqarish.....	57	5.6.	OpenCV da tasvir o'zgartirishlar .....	146
2.10.	Ranglarni boshqarish, kalibrovkalash, CMS tizimi asoslari 2-bob bo'yicha nazorat savollari .....	61	5.7.	OpenCV da Xaf (Hough) almashtirishlari .....	147
<b>3-bob.</b>	<b>KO'RISH TIZIMI VA TASVIRLARNI QABUL QILISH.....</b>	<b>65</b>	5.8.	OpenCV da Affin almashtirishlar .....	148
3.1.	Tasvirlarni qayta tiklash sifatini baholash muammolari.....	66	<b>RAQAMLI VIDEO TASVIRDA OB'EKLARNI AJRATIB OLİSH .....</b>	<b>149</b>	
3.2.	Ko'rish tizimining tuzilishi haqida qisqacha ma'lumot .....	69	6.1.	Raqamli video-tasvirlarni spektral almashtirish usullari .....	150
3.3.	Ko'rishning barqarorligi .....	69	6.2.	Fure almashtirishi .....	150
3.4.	Harakatni idrok etish .....	79	6.3.	Fure diskret almashtirishi (FDA) va teskari FDA .....	152
3.5.	Rangni idrok etish .....	80	6.4.	Diskret kosinus almashtirish (DKA) .....	153
3.6.	Hajmni idrok etish .....	84	6.5.	Uolsch almashtirishi .....	155
3.7.	Kuzatishning chegara sharoitidagi ob'ektlarning tasvirlarini aniqlash va tanish .....	86	6.6.	Adamar almashtirishi .....	157
3-bob	bo'yicha nazorat savollari .....	87	6.7.	Veyvlet almashtirishi .....	159
<b>4-bob.</b>	<b>VIDEO TASVIRLAR VA ULARNI QAYTA ISHLASH .....</b>	<b>89</b>	6.8.	Radon almashtirishi .....	161
4.1.	Raqamli tasvir va video tushunchalari .....	89	6.9.	Videoda harakatdagi ob'ektlarni ajratib olish usullari .....	164
	Raqamli tasvir tushunchalari .....	89	6.10.	Videokuzatuv vositalari .....	164
	Raqamli video tushunchalari .....	91	6.11.	Videotasvirlardagi ob'ektlarni aniqlash usullari va algoritmlari .....	172
	Rangli tasvirlar haqida .....	93	6.12.	Raqamli video-tasvirlarda identifikatsion belgilarning xossalari .....	176
4.2.	Tasvir sifatini yaxshilash usullari .....	93	6.13.	Manba tasvir belgilari .....	176
	Mediana usuli .....	94	6.14.	Nuqtaviy ob'ektlar belgilari .....	180
	Chiziqli tiniqlashtirish usuli .....	95	6.15.	Uzuq chiziqli ob'ektlarning belgilari .....	181
4.3.	Tasvirni binarlashtirish usullari .....	98	6.16.	Yopiq chiziqli ob'ektlarning belgilari .....	182
4.4.	Tasvir kontur chiziqlarini aniqlash usullari .....	104	6.17.	Yuzali ob'ektlarning belgilari .....	184
4.5.	Tasvirni segmentatsiyalash usullari .....	110	6.18.	Momentlar .....	185
4.6.	Tasvir skeletini aniqlash usullari .....	119	6.19.	Tasvirlarning identifikatsion belgilarni aniqlash usullari va algoritmlari .....	188
4-bob	bo'yicha nazorat savollari .....	129	6.20.	Xaf almashtirishlari yordamida belgilarni aniqlash .....	188
<b>5-bob.</b>	<b>OPENCV BIBLIOTEKASI FUNKSIYALARIDAN FOYDALANIB VIDEO-TASVIRLARNI QAYTA ISHLASH TEKNOLOGIYALARI .....</b>	<b>131</b>	6.21.	Integral proeksiyalash yordamida belgilarni aniqlash .....	192
5.1.	OpenCV haqida .....	131	6.22.	"Lokal binar obrazlar" operatori asosida tasvir belgilarini aniqlash .....	194
5.2.	OpenCVda ko'p foydalilanadigan funksiyalar .....	132	6.23.	Identifikatsion belgilarni taqqolash usullari. Tasniflash (guruxlash) masalalari. Masofa tipli o'lchov (masofa funksiyasi) .....	198
5.3.	OpenCV da chizish .....	140	6.24.	Tasniflash (guruxlash) masalalari .....	198
5.4.	HighGUI modului funksiyalari .....	142	6.25.	Masofa tipli o'lchov funksiyalari .....	198

6.6. Identifikatsion belgilarni taqqolash usullari. Korrelyatsiya tipidagi o'chov (o'xshashlik o'chovi). Gistogrammaviy belgilarni taqqoslash usullari .....	200
Korrelyatsiya koeffitsientlari yordamida to'plam yoki matritsalarni o'xshashligini taqqoslash .....	200
Gistogrammaviy belgilarni taqqoslash usullari .....	201
6-bob bo'yicha nazorat savollari .....	202
<b>Qisqartmalar va atamalar.....</b>	203
Testlar.....	203
Adabiyotlar .....	204
	211

Muxamadiyev Abdivali Shukurovich

## VIDEOGA ISHLOV BERISH

o'quv qo'llanma

Toshkent - "METODIST NASHRIYOTI" - 2024

*Muharrir: Bakirov Nurmuhammad*

*Texnik muharrir: Tashatov Farrux  
Musahih: Saidova Nurshoda  
Dizayner: Ochilova Zarnigor*

*Bosishga 1.04.2024.da russat etildi.  
Bichimi 60x90. "Times New Roman" garniturasi.  
Ofset bosma usulida bosildi.  
Shartli bosma tabog'i 14. Nashr bosma tabog'i 13,75.  
Adadi 300 nusxa.*

"METODIST NASHRIYOTI" MCHJ matbaa bo'limida chop etildi.  
Manzil: Toshkent shahri, Shota Rustaveli 2-vagon tor ko'chasi, 1-uy.



+99893 552-11-21

*Nashriyot roziligidisiz chop etish ta'qiqlanadi.*

ISBN 978-9910-03-203-5



9 789910 032035

